

การสังเคราะห์ปัสสาวะที่ตรวจพบด้วยกระบวนการกลีโกลิซิสและฤทธิ์เร่งปฏิกิริยาเชิงแสง

ภายใต้แสงช่วงที่ตามองเห็น



นางสาวสายน้ำผึ้ง ไตรรักษ์

จุฬาลงกรณ์มหาวิทยาลัย
CHULALONGKORN UNIVERSITY

บทคัดย่อและแฟ้มข้อมูลฉบับเต็มของวิทยานิพนธ์ตั้งแต่ปีการศึกษา 2554 ที่ให้บริการในคลังปัญญาจุฬาฯ (CUIR)
เป็นแฟ้มข้อมูลของนิสิตเจ้าของวิทยานิพนธ์ ที่ส่งผ่านทางบัณฑิตวิทยาลัย

The abstract and full text of theses from the academic year 2011 in Chulalongkorn University Intellectual Repository (CUIR)
are the thesis authors' files submitted through the University Graduate School.

วิทยานิพนธ์นี้เป็นส่วนหนึ่งของการศึกษาตามหลักสูตรปริญญาวิทยาศาสตรมหาบัณฑิต

สาขาวิชาเทคโนโลยีเซรามิก ภาควิชาวัสดุศาสตร์

คณะวิทยาศาสตร์ จุฬาลงกรณ์มหาวิทยาลัย

ปีการศึกษา 2559

ลิขสิทธิ์ของจุฬาลงกรณ์มหาวิทยาลัย

SYNTHESIS OF BISMUTH VANADATE BY MOLTEN SALT PROCESS AND
PHOTOCATALYTIC ACTIVITY UNDER VISIBLE LIGHT

Miss Sainampeung Trirak



A Thesis Submitted in Partial Fulfillment of the Requirements
for the Degree of Master of Science Program in Ceramic Technology

Department of Materials Science

Faculty of Science

Chulalongkorn University

Academic Year 2016

Copyright of Chulalongkorn University

หัวข้อวิทยานิพนธ์	การสังเคราะห์ปิสมัทวานาเดตด้วยกระบวนการเกลือ หลอมละลายและฤทธิ์เร่งปฏิกิริยาเชิงแสงภายใต้แสงช่วงที่ ตามองเห็น
โดย	นางสาวสายน้ำผึ้ง ไตรรักษ์
สาขาวิชา	เทคโนโลยีเซรามิก
อาจารย์ที่ปรึกษาวิทยานิพนธ์หลัก	ผู้ช่วยศาสตราจารย์ ดร. พรนภา สุจรีตวรกุล
อาจารย์ที่ปรึกษาวิทยานิพนธ์ร่วม	ผู้ช่วยศาสตราจารย์ ดร. กานต์ เสรีวัลย์สถิตย์

คณะวิทยาศาสตร์ จุฬาลงกรณ์มหาวิทยาลัย อนุมัติให้หัวข้อวิทยานิพนธ์ฉบับนี้เป็นส่วนหนึ่ง
ของการศึกษาตามหลักสูตรปริญญาวิทยาศาสตรบัณฑิต

.....คณบดีคณะวิทยาศาสตร์
(รองศาสตราจารย์ ดร. พลกฤษณ์ แสงวนิช)

คณะกรรมการสอบวิทยานิพนธ์

.....ประธานกรรมการ
(ผู้ช่วยศาสตราจารย์ ดร. ดุจฤทัย พงษ์เก่า คະซีมา)
.....อาจารย์ที่ปรึกษาวิทยานิพนธ์หลัก
(ผู้ช่วยศาสตราจารย์ ดร. พรนภา สุจรีตวรกุล)
.....อาจารย์ที่ปรึกษาวิทยานิพนธ์ร่วม
(ผู้ช่วยศาสตราจารย์ ดร. กานต์ เสรีวัลย์สถิตย์)
.....กรรมการ
(ดร. ณ์ภูธรพล แรงทน)
.....กรรมการภายนอกมหาวิทยาลัย
(ดร. ศิริพร ลากเกียรติถาวร)

สายน้ำผึ้ง ไตรรักษ์ : การสังเคราะห์บิสมัทวานาเดตด้วยกระบวนการเกลือหลอมละลาย และฤทธิ์เร่งปฏิกิริยาเชิงแสงภายใต้แสงช่วงที่ตามองเห็น (SYNTHESIS OF BISMUTH VANADATE BY MOLTEN SALT PROCESS AND PHOTOCATALYTIC ACTIVITY UNDER VISIBLE LIGHT) อ.ที่ปรึกษาวิทยานิพนธ์หลัก: ผศ. ดร. พรนภา สุจริตวรกุล, อ.ที่ปรึกษาวิทยานิพนธ์ร่วม: ผศ. ดร. กานต์ เสรีวัลย์สถิตย์, หน้า.

งานวิจัยนี้ศึกษาผลของการเติมเกลือหลอมละลายในการสังเคราะห์บิสมัทวานาเดตด้วยกระบวนการเกิดปฏิกิริยาในของแข็งและกระบวนการตกตะกอนร่วม-แคลไซน์ โดยสารตั้งต้นที่ใช้คือ บิสมัทไนเตรดเพนตะไฮเดรต และแอมโมเนียมเมทวานาเดต และเกลือที่ใช้มี 3 ชนิด ได้แก่ ลิเทียมไนเตรด โซเดียมไนเตรด และเกลือผสมลิเทียมไนเตรด-โซเดียมไนเตรด โดยทำการศึกษาผลของอัตราส่วนสารตั้งต้นต่อเกลือ (1:0-1:12) และอุณหภูมิในการสังเคราะห์ ผลการศึกษาพบว่า การเติมเกลือในกระบวนการสังเคราะห์ทั้งสองกระบวนการช่วยส่งเสริมการเปลี่ยนแปลงเฟสของบิสมัทวานาเดตเป็นโครงสร้างโมโนคลินิกที่บริสุทธิ์ได้ที่อุณหภูมิต่ำลงเมื่อเทียบกับการสังเคราะห์ที่ไม่เติมเกลือ อนุภาคบิสมัทวานาเดตที่ได้จากกระบวนการเกิดปฏิกิริยาในสถานะของแข็งมีขนาดที่ใหญ่ระดับหลายร้อยนาโนเมตร รูปร่างและการกระจายขนาดที่ไม่สม่ำเสมอ และอนุภาคเกิดการโตขึ้นเมื่อเพิ่มอุณหภูมิการทำปฏิกิริยา และการเติมเกลือในสัดส่วนที่สูงขึ้น ซึ่งทำให้ประสิทธิภาพการเกิดปฏิกิริยาโฟโตคะตะไลซิสในการย่อยสลายสี้อมโรดามีนบีภายใต้แสงช่วงที่ตามองเห็นต่ำลง โดยตัวอย่างบิสมัทวานาเดตที่เตรียมด้วยกระบวนการเกิดปฏิกิริยาในสถานะของแข็งแบบไม่เติมเกลือทำปฏิกิริยาที่อุณหภูมิ 400 องศาเซลเซียส ให้ประสิทธิภาพสูงสุด 39.61 เปอร์เซ็นต์ ในขณะที่กระบวนการตกตะกอนร่วม-แคลไซน์ให้ขนาดอนุภาคบิสมัทวานาเดตระดับนาโนที่มีขนาดที่สม่ำเสมอ และเมื่อเติมเกลือแล้วแคลไซน์ที่อุณหภูมิที่สูงกว่าจุดหลอมเหลวของเกลือ (ประมาณ 30-85 องศาเซลเซียส) ช่วยให้อนุภาคมีการกระจายตัวที่ดี และสม่ำเสมอขึ้น มีพื้นที่ผิวที่สูงขึ้น จึงช่วยส่งเสริมประสิทธิภาพการย่อยสลายสารละลายโรดามีนบีให้สูงขึ้น โดยตัวอย่างบิสมัทวานาเดตที่เตรียมด้วยกระบวนการตกตะกอน แบบเติมเกลือโซเดียมไนเตรด (1:2) แคลไซน์ที่ 340 องศาเซลเซียส ให้ประสิทธิภาพสูงสุดที่ 67.01 เปอร์เซ็นต์ ซึ่งสูงกว่าตัวอย่างที่เติมเกลือลิเทียมไนเตรด (1:8) แคลไซน์ที่ 335 องศาเซลเซียส ตัวอย่างที่เติมเกลือผสมลิเทียมไนเตรด-โซเดียมไนเตรด (1:4) แคลไซน์ที่ 273 องศาเซลเซียส และตัวอย่างที่ไม่เติมเกลือ แคลไซน์ที่ 500 องศาเซลเซียส ซึ่งมีประสิทธิภาพ 66.67, 59.80 และ 45.24 เปอร์เซ็นต์ ตามลำดับ

ภาควิชา	วัสดุศาสตร์	ลายมือชื่อนิสิต
สาขาวิชา	เทคโนโลยีเซรามิก	ลายมือชื่อ อ.ที่ปรึกษาหลัก
ปีการศึกษา	2559	ลายมือชื่อ อ.ที่ปรึกษาร่วม

5672238923 : MAJOR CERAMIC TECHNOLOGY

KEYWORDS:

SAINAMPEUNG TRIRAK: SYNTHESIS OF BISMUTH VANADATE BY MOLTEN SALT PROCESS AND PHOTOCATALYTIC ACTIVITY UNDER VISIBLE LIGHT. ADVISOR: ASST. PROF. DR. PORNAPA SUJARIDWORAKUN, CO-ADVISOR: ASST. PROF. DR. KARN SERIVALSATIT, pp.

This research studied the effect of molten salt addition on the synthesis of bismuth vanadate (BiVO_4) by solid state reaction and coprecipitation-calcination method. Bismuth nitrate pentahydrate and ammonium metavanadate were used as the starting precursors and three types of salts: LiNO_3 , NaNO_3 and $\text{LiNO}_3\text{-NaNO}_3$. The weight ratio of BiVO_4 precursors to salts was varied from 1:0 to 1:12 and the effect of synthesis temperature was performed. As the results, it was indicated that adding the salts in both synthesis methods promoted phase transformation to pure monoclinic structure at low temperature when compared nonsalt preparation. The particle size of BiVO_4 synthesized by solid state reaction was large in range of hundreds nanometers in which shape and particle distribution were not homogeneous. The growth of particles was due to the increasing of the synthesis temperature. When adding salts with the higher ratio resulted in decreasing the photocatalytic activity under the visiblelight region. BiVO_4 synthesized by solid state reaction without adding salts at 400°C showed the highest photocatalytic activity which was about 39.61%, while shape and size of BiVO_4 synthesized by coprecipitation-calcination was homogeneous. Moreover, adding salt and calcination temperature higher than their melting point (around $30\text{-}85^\circ\text{C}$) contributed good and homogeneous distribution of particle leading to enhanced photocatalytic activity. BiVO_4 synthesized by coprecipitation-calcination with adding NaNO_3 (1:2) at 340°C exhibited the highest photocatalytic activity which was 67.01% followed by adding LiNO_3 (1:8) at 335°C , adding $\text{LiNO}_3\text{-NaNO}_3$ (1:4) at 273°C and nonsalt preparation at 500°C which were 66.67%, 59.80% and 45.24%, respectively.

Department: Materials Science Student's Signature

Field of Study: Ceramic Technology Advisor's Signature

Academic Year: 2016 Co-Advisor's Signature

กิตติกรรมประกาศ

วิทยานิพนธ์เล่มนี้สำเร็จไปได้ด้วยดี เพราะได้รับความกรุณา และความช่วยเหลือจาก ผู้ช่วยศาสตราจารย์ ดร.พรนภา สุจริตวรกุล อาจารย์ที่ปรึกษาวิทยานิพนธ์ และที่ปรึกษา วิทยานิพนธ์ร่วม ผู้ช่วยศาสตราจารย์ ดร.กานต์ เสรีวัลย์สถิตย์ ซึ่งให้คำปรึกษาต่างๆ เกี่ยวกับการ ดำเนินงานวิจัย และช่วยเหลือในการตรวจทานการเขียนวิทยานิพนธ์

ขอขอบพระคุณคณะกรรมการสอบวิทยานิพนธ์ทุกท่าน สำหรับการให้ความรู้ ตรวจทานและแก้ไขข้อผิดพลาดบางประการในวิทยานิพนธ์ฉบับนี้ ทำให้วิทยานิพนธ์ฉบับนี้ สมบูรณ์ยิ่งขึ้น

ขอบพระคุณดร. Jiaqian Qin ผู้ให้คำแนะนำ ความรู้ และสนับสนุนเครื่องมือใน งานวิจัยนี้

หน่วยงานปฏิบัติการวิจัยเซรามิกขั้นสูง ภาควิชาวัสดุศาสตร์ คณะวิทยาศาสตร์ จุฬาลงกรณ์มหาวิทยาลัยที่ให้การสนับสนุนในด้านสถานที่ บุคลากร และเครื่องมือในงานวิจัย

ขอขอบพระคุณพี่ๆ น้องๆ ภาควิชาวัสดุศาสตร์ ที่คอยให้คำแนะนำ คำปรึกษา และ แลกเปลี่ยนความคิดเห็น

สุดท้ายขอขอบพระคุณ บิดา มารดา และครอบครัวที่ให้ความรัก ความเอาใจใส่ กำลังใจ และการสนับสนุนในทุกด้าน

สารบัญ

หน้า

บทคัดย่อภาษาไทย.....	ง
บทคัดย่อภาษาอังกฤษ.....	จ
กิตติกรรมประกาศ.....	ฉ
สารบัญ.....	ช
สารบัญตาราง.....	ฑ
สารบัญภาพ	ต
บทที่ 1 บทนำ	30
1.1 ความเป็นมาและความสำคัญของปัญหา.....	30
1.2 วัตถุประสงค์ของงานวิจัย.....	31
1.3 ขอบเขตของการวิจัย.....	31
1.4 ประโยชน์ที่คาดว่าจะได้รับ.....	31
บทที่ 2 เอกสารและงานวิจัยที่เกี่ยวข้อง	32
2.1 บิสมัทวานาเดต (Bismuth Vanadate, BiVO_4).....	32
2.2 การนำไปใช้ประยุกต์ใช้งาน (Application).....	36
2.3 กระบวนการเตรียมบิสมัทวานาเดต (Bismuth vanadate preparations).....	37
2.3.1 การเตรียมด้วยการเกิดปฏิกิริยาในสถานะของแข็ง (Solid state reaction)(9)	37
2.3.2 การเตรียมด้วยกระบวนการตกตะกอนร่วม (Co-precipitation) (7).....	38
2.3.3 การเตรียมด้วยกระบวนการไฮโดร-โซลโวเทอร์มัล (Hydrothermal and sovochemical reactions) (10),(11).....	39
2.3.4 การเตรียมด้วยกระบวนการโซลเจล (Sol-gel process) (12).....	39
2.3.5.การเตรียมด้วยกระบวนการไมโครเวฟ (Microwave process)(14)	40
2.3.6 การเตรียมด้วยกระบวนการเกลือหลอมละลาย (Molten salt process)(15).....	40
2.4 เกลือในกลุ่มไนเตรต (nitratesalt)(16).....	41

2.5	หลักการการเกิดปฏิกิริยาเชิงแสง (Fundamental of Photocatalysis Reaction).....	43
2.5.1	พลังงานแสง	45
2.5.2	ชนิดของการเร่งปฏิกิริยาเชิงแสง	46
2.5.3	ตัวเร่งปฏิกิริยาหรือตัวแคตตาลิสต์(Catalyst)	47
2.5.4	กลไกการเกิดปฏิกิริยาเชิงแสง (Mechanism of Photocatalysis Reaction).....	48
2.5.5	ปัจจัยสำคัญที่ส่งผลต่อประสิทธิภาพทางกระบวนการเร่งปฏิกิริยาเชิงแสง	50
2.6	รายงานการวิจัยที่เกี่ยวข้อง	51
บทที่ 3	วิธีดำเนินการวิจัย.....	57
3.1	วัตถุประสงค์และสารเคมีที่ใช้ในการทดลอง.....	57
3.2	ขั้นตอนการวิจัย	57
3.2.1	การเตรียมตัวเร่งปฏิกิริยาเชิงแสงบิสมัทวานาเดตด้วยกระบวนการเกิดปฏิกิริยาในสถานะของแข็ง	57
3.2.1.1	ศึกษาผลของการสังเคราะห์โดยไม่เติมเกลือที่อุณหภูมิต่างๆ.....	57
3.2.1.2	ศึกษาผลของการเติมเกลือชนิดต่างๆ ในการสังเคราะห์บิสมัทวานาเดต.....	57
3.2.2	การเตรียมตัวเร่งปฏิกิริยาเชิงแสงบิสมัทวานาเดตด้วยกระบวนการตกตะกอนร่วม-แคลไซน์	60
3.2.2.1	ศึกษาผลของการสังเคราะห์โดยไม่เติมเกลือที่อุณหภูมิต่างๆ.....	60
3.2.2.2	ศึกษาผลของการเตรียมตัวเร่งปฏิกิริยาเชิงแสงชนิดผงตัวอย่างบิสมัทวานาเดตด้วยกระบวนการตกตะกอนร่วมและแคลไซน์โดยเติมเกลือหลอมละลายที่อุณหภูมิต่างๆ.....	62
3.3	การวิเคราะห์ลักษณะและสมบัติเฉพาะของผงตัวอย่างบิสมัทวานาเดตที่สังเคราะห์ได้.....	63
3.3.1	วิเคราะห์โครงสร้างและองค์ประกอบเฟสด้วยเทคนิคเอกซเรย์ดิฟแฟรกชัน (X-ray diffraction, XRD)	63

3.3.2 การวิเคราะห์ลักษณะทางสัณฐานวิทยาและโครงสร้างจุลภาคด้วยเทคนิคกล้องจุลทรรศน์อิเล็กตรอนแบบส่องกราด ชนิดฟิลด์อิมิสชัน (Field Emission Scanning Electron Microscope, Fe-SEM).....	63
3.3.3 การวิเคราะห์พื้นที่ผิวจำเพาะด้วยเทคนิคบีอีที (Brunauer Emmett Teller, BET)...	64
3.3.4 การวิเคราะห์ค่าแถบช่องว่างพลังงาน (Energy band gap, Eg)	64
3.3.5 ขนาดและการกระจายตัวของขนาดอนุภาค (Particle size distribution)	65
3.3.6 สมบัติการเป็นตัวเร่งปฏิกิริยาเชิงแสง.....	65
บทที่ 4 วิธีดำเนินการวิจัย.....	67
4.1 ผลของการเตรียมตัวเร่งปฏิกิริยาเชิงแสงบิสมัทวานาเดตด้วยกระบวนการเกิดปฏิกิริยาในสถานะของแข็ง.....	68
4.1.1 ศึกษาผลของการสังเคราะห์โดยไม่เติมเกลือที่อุณหภูมิต่างๆ.....	68
-ผลวิเคราะห์โครงสร้างและองค์ประกอบเฟสของผงตัวอย่างบิสมัทวานาเดต	68
-ผลวิเคราะห์โครงสร้างจุลภาค และสัณฐานวิทยาของบิสมัทวานาเดต.....	71
- ผลการวิเคราะห์สมบัติทางแสงและแถบช่องว่างพลังงาน	72
-ผลวิเคราะห์สมบัติการเป็นตัวเร่งปฏิกิริยาเชิงแสงของตัวอย่างบิสมัทวานาเดต (Photocatalytic activity).....	75
4.1.2 ศึกษาผลของการเติมเกลือในการสังเคราะห์บิสมัทวานาเดต	78
1) ผลของการเติมเกลือลิเทียมไนเตรต.....	78
1.1) ศึกษาผลของอัตราส่วนของสารตั้งต้นบิสมัทวานาเดตต่อเกลือลิเทียมไนเตรต	78
-ผลวิเคราะห์โครงสร้างและองค์ประกอบเฟสของผงตัวอย่างบิสมัทวานาเดต.....	79
-ผลวิเคราะห์โครงสร้างจุลภาค และสัณฐานวิทยา	81
-ผลการวิเคราะห์สมบัติทางแสงและแถบช่องว่างพลังงาน.....	86
-ผลวิเคราะห์สมบัติการเป็นตัวเร่งปฏิกิริยาเชิงแสงของผงตัวอย่างบิสมัทวานาเดต (Photocatalytic activity).....	87

1.2) ศึกษาผลของการเพิ่มอุณหภูมิแคล์ไซน์	89
-ผลวิเคราะห์โครงสร้างและองค์ประกอบเฟสของผงตัวอย่างบิสมัทวานาเดต.....	89
-ผลวิเคราะห์โครงสร้างจุลภาค และสัณฐานวิทยาของบิสมัทวานาเดต.....	90
-ผลการวิเคราะห์สมบัติทางแสงและแถบช่องว่างพลังงาน.....	94
-ผลวิเคราะห์สมบัติการเป็นตัวเร่งปฏิกิริยาเชิงแสงของผงตัวอย่างบิสมัทวานาเดต (Photocatalytic activity).....	95
-ผลวิเคราะห์การกระจายตัวของอนุภาคบิสมัทวานาเดตที่เตรียมแบบไม่เติมเกลือ และเติมเกลือลิเทียมไนเตรตที่อัตราส่วน 1:8.....	99
2) ผลของการเติมเกลือโซเดียมไนเตรต.....	100
2.1) ศึกษาผลของอัตราส่วนของสารตั้งต้นบิสมัทวานาเดตต่อเกลือโซเดียมไนเตรต ต่างๆ.....	100
-ผลวิเคราะห์โครงสร้างและองค์ประกอบเฟสของผงตัวอย่างบิสมัทวานาเดต.....	101
-ผลวิเคราะห์โครงสร้างจุลภาค และสัณฐานวิทยา	102
-ผลการวิเคราะห์สมบัติทางแสงและแถบช่องว่างพลังงาน.....	107
-ผลวิเคราะห์สมบัติการเป็นตัวเร่งปฏิกิริยาเชิงแสงของตัวอย่างบิสมัทวานาเดต (Photocatalytic activity).....	108
2.2) ศึกษาผลของการเพิ่มอุณหภูมิแคล์ไซน์	110
-ผลวิเคราะห์โครงสร้างและองค์ประกอบเฟสของผงตัวอย่างบิสมัทวานาเดต.....	110
-ผลวิเคราะห์โครงสร้างจุลภาค และสัณฐานวิทยาของบิสมัทวานาเดต.....	111
-ผลการวิเคราะห์สมบัติทางแสงและแถบช่องว่างพลังงาน.....	113
-ผลวิเคราะห์สมบัติการเป็นตัวเร่งปฏิกิริยาเชิงแสงของตัวอย่างบิสมัทวานาเดต (Photocatalytic activity).....	115
3) ผลของการเติมเกลือผสมลิเทียมไนเตรต-โซเดียมไนเตรต	117

3.1) ศึกษาผลของอัตราส่วนของสารตั้งต้นบิสมัทวานาเดตต่อเกลือผสมลิเทียมไนเตรต-โซเดียมไนเตรต.....	117
-ผลวิเคราะห์โครงสร้างและองค์ประกอบเฟสของบิสมัทวานาเดต.....	118
-ผลวิเคราะห์โครงสร้างจุลภาค และสัณฐานวิทยา.....	119
-ผลการวิเคราะห์สมบัติทางแสงและแถบช่องว่างพลังงาน.....	125
-ผลวิเคราะห์สมบัติการเป็นตัวเร่งปฏิกิริยาเชิงแสงของตัวอย่างบิสมัทวานาเดต (Photocatalytic activity).....	126
3.2) ศึกษาผลของการเพิ่มอุณหภูมิแคลไซน์.....	129
-ผลวิเคราะห์โครงสร้างและองค์ประกอบเฟสของผงตัวอย่างบิสมัทวานาเดต.....	129
-ผลวิเคราะห์โครงสร้างจุลภาค และสัณฐานวิทยาของบิสมัทวานาเดต.....	130
-ผลการวิเคราะห์สมบัติทางแสงและแถบช่องว่างพลังงาน.....	133
-ผลวิเคราะห์สมบัติการเป็นตัวเร่งปฏิกิริยาเชิงแสงของตัวอย่างบิสมัทวานาเดต (Photocatalytic activity).....	134
4.2 ผลของการเตรียมตัวเร่งปฏิกิริยาเชิงแสงชนิดบิสมัทวานาเดตด้วยกระบวนการตกตะกอนร่วม-แคลไซน์.....	136
4.2.1 ศึกษาผลของการสังเคราะห์โดยไม่เติมเกลือที่อุณหภูมิต่างๆ.....	136
-ผลวิเคราะห์โครงสร้างและองค์ประกอบเฟสของผงตัวอย่างบิสมัทวานาเดตก่อนการแคลไซน์.....	136
-ผลวิเคราะห์โครงสร้างจุลภาคของสารตั้งต้นบิสมัทวานาเดต.....	137
-ผลวิเคราะห์โครงสร้างและองค์ประกอบเฟสของผงตัวอย่างบิสมัทวานาเดต.....	138
-ผลวิเคราะห์โครงสร้างจุลภาคของบิสมัทวานาเดตที่ผ่านการแคลไซน์ที่อุณหภูมิต่างๆ.....	139
-ผลการวิเคราะห์สมบัติทางแสงและแถบช่องว่างพลังงาน.....	142
-ผลวิเคราะห์สมบัติการเป็นตัวเร่งปฏิกิริยาเชิงแสงของตัวอย่างบิสมัทวานาเดต (Photocatalytic activity).....	143

4.2.2	ศึกษาผลของการเตรียมตัวเร่งปฏิกิริยาเชิงแสงชนิดผงตัวอย่างบิสมัทวานาเดตด้วย กระบวนการตกตะกอนร่วมและแคลไซน์โดยเติมเกลือหลอมละลายที่อุณหภูมิต่างๆ.....	146
4.2.2.1	ผลการเติมเกลือผสมลิเทียมไนเตรต-โซเดียมไนเตรต ผ่านการแคลไซน์ที่อุณหภูมิ ต่างๆ (ช่วงอุณหภูมิ 200 – 500 องศาเซลเซียส)	146
	-ผลวิเคราะห์โครงสร้างและองค์ประกอบเฟสของผงตัวอย่างบิสมัทวานาเดต.....	146
	-ผลวิเคราะห์โครงสร้างจุลภาค และสัณฐานวิทยาของบิสมัทวานาเดต.....	148
	-ผลวิเคราะห์สมบัติการเป็นตัวเร่งปฏิกิริยาเชิงแสงของตัวอย่างบิสมัทวานาเดต (Photocatalytic activity).....	150
4.2.2.2	ผลการเติมเกลือผสมลิเทียมไนเตรต-โซเดียมไนเตรต ที่สภาวะเดียวกับการเตรียม ด้วยกระบวนการเกิดปฏิกิริยาในของแข็ง.....	152
	-โครงสร้างและองค์ประกอบเฟสของผงตัวอย่างบิสมัทวานาเดต.....	152
	-ผลวิเคราะห์โครงสร้างจุลภาค และสัณฐานวิทยาของบิสมัทวานาเดต.....	154
	-ผลวิเคราะห์สมบัติการเป็นตัวเร่งปฏิกิริยาเชิงแสงของตัวอย่างบิสมัทวานาเดต (Photocatalytic activity).....	155
4.2.2.3	ผลการเติมเกลือลิเทียมไนเตรต ที่สภาวะเดียวกับการเตรียมด้วยกระบวนการ เกิดปฏิกิริยาในของแข็ง	158
	-โครงสร้างและองค์ประกอบเฟสของผงตัวอย่างบิสมัทวานาเดต.....	158
	-ผลวิเคราะห์โครงสร้างจุลภาค และสัณฐานวิทยาของบิสมัทวานาเดต.....	159
	-ผลการวิเคราะห์สมบัติทางแสงและแถบช่องว่างพลังงาน.....	162
	-ผลวิเคราะห์สมบัติการเป็นตัวเร่งปฏิกิริยาเชิงแสงของตัวอย่างบิสมัทวานาเดต (Photocatalytic activity).....	163
4.2.2.4	ผลการเติมเกลือโซเดียมไนเตรต ที่อุณหภูมิต่างๆ ที่สภาวะเดียวกับการเตรียม ด้วยกระบวนการเกิดปฏิกิริยาในของแข็ง.....	166
	-โครงสร้างและองค์ประกอบเฟสของผงตัวอย่างบิสมัทวานาเดต.....	166

-ผลวิเคราะห์โครงสร้างจุลภาค และสัณฐานวิทยาของบิสมัทวานาเดต.....	167
-ผลวิเคราะห์สมบัติการเป็นตัวเร่งปฏิกิริยาเชิงแสงของตัวอย่างบิสมัทวานาเดต (Photocatalytic activity).....	170
บทที่ 5 สรุปผลการวิจัย อภิปรายผล และข้อเสนอแนะ	160
5.1 สรุปผลการวิจัย	160
5.1.1 ผลของการเติมเกลือหลอมละลายในการสังเคราะห์บิสมัทวานาเดตด้วย กระบวนการเกิด ปฏิกิริยาในสถานะของแข็ง	160
5.1.2 ผลของการเติมเกลือหลอมละลายในการสังเคราะห์บิสมัทวานาเดตด้วยกระบวนการ ตกตะกอนร่วม-แคลไซน์	161
5.2 ข้อเสนอแนะสำหรับการวิจัยเพิ่มเติม	162
.....	163
รายการอ้างอิง	163
ประวัติผู้เขียนวิทยานิพนธ์	169

สารบัญตาราง

ตารางที่ 2.1 เซลล์พารามิเตอร์และความยาวพันธะของโครงสร้างบิสมัทวานาเดตแบบซีไลต์และเซอร์คอน ¹⁸	34
ตารางที่ 2.2 สมบัติของบิสมัทวานาเดต (Properties of Bismuth Vanadate)	36
ตารางที่ 2.3 คุณสมบัติของเกลือลิเทียมไนเตรต ¹⁹	42
ตารางที่ 2.4 คุณสมบัติของเกลือโซเดียมไนเตรต ¹⁹	43
ตารางที่ 2.5 แสดงชนิดแสงต่างๆ ของพลังงานแสงอาทิตย์	46
ตารางที่ 4.1 ค่าแถบช่องว่างพลังงานของผงตัวอย่างบิสมัทวานาเดตที่สังเคราะห์ด้วยกระบวนการเกิดปฏิกิริยาในสถานะของแข็ง โดยผ่านการแคลไซน์ที่อุณหภูมิที่แตกต่างกัน.....	73
ตารางที่ 4.2 ค่าประสิทธิภาพของการย่อยสลายของสารละลายโรดามีนบีที่ 120 นาที ภายใต้แสงช่วงที่ตามองเห็น และค่าคงที่อัตราการเกิดปฏิกิริยาโฟโตคะตะลิสต์ของบิสมัทวานาเดตเตรียมด้วยกระบวนการเกิดปฏิกิริยาในสถานะของแข็ง โดยทำการเผาแคลไซน์ที่อุณหภูมิ 200-700 องศาเซลเซียส	76
ตารางที่ 4.3 แถบช่องว่างพลังงานของบิสมัทวานาเดตที่สังเคราะห์ด้วยกระบวนการเกิดปฏิกิริยาในสถานะของแข็งวิเคราะห์ที่อัตราส่วนสารตั้งต้นบิสมัทวานาเดตต่อเกลือลิเทียมไนเตรตต่างๆ.....	86
ตารางที่ 4.4 ค่าประสิทธิภาพของการย่อยสลายสารละลายโรดามีนบีภายใต้แสงที่ตามองเห็นที่ 120 นาที และค่าคงที่อัตราการเกิดปฏิกิริยาโฟโตคะตะลิสต์ของผงตัวอย่างบิสมัทวานาเดตที่เตรียมด้วยอัตราส่วนสารตั้งต้นบิสมัทวานาเดตต่อเกลือลิเทียมไนเตรตต่างๆ อุณหภูมิ 280 องศาเซลเซียส เป็นเวลา 4 ชั่วโมง.....	87
ตารางที่ 4.5 แถบช่องว่างพลังงานของบิสมัทวานาเดตที่สังเคราะห์ด้วยกระบวนการเกิดปฏิกิริยาในสถานะของแข็งแบบไม่เติมเกลือ และแบบเติมเกลือที่อุณหภูมิต่างๆ	94
ตารางที่ 4.6 ค่าประสิทธิภาพของการสลายตัวของสารละลายโรดามีนบีภายใต้แสงที่ตามองเห็นที่ 120 นาที และค่าคงที่อัตราการเกิดปฏิกิริยาโฟโตคะตะลิสต์ของตัวอย่างบิสมัทวานาเดตผงตัวอย่างบิสมัทวานาเดตที่เตรียมแบบไม่เติมเกลือ และแบบเติมเกลือที่อัตราส่วน	

สารตั้งต้นบิสมัทวานาเดตต่อเกลือลิเทียมไนเตรต 1:8 แคลไซน์ที่ 280 และ 335 องศาเซลเซียส.....	96
ตารางที่ 4.7 พื้นที่ผิวจำเพาะ (Specific surface area) ของผงตัวอย่างบิสมัทวานาเดตที่เตรียมแบบไม่เติมเกลือและเติมเกลือลิเทียมไนเตรตที่อัตราส่วนสารตั้งต้นบิสมัทวานาเดตต่อเกลือ 1:8 แคลไซน์ที่อุณหภูมิ 335 องศาเซลเซียส.....	98
ตารางที่ 4.8 การกระจายขนาดอนุภาคบิสมัทวานาเดตที่เตรียมแบบไม่เติมเกลือและเติมเกลือลิเทียมไนเตรตที่อัตราส่วนสารตั้งต้นบิสมัทวานาเดตต่อเกลือ 1:8 แคลไซน์ที่อุณหภูมิ 335 องศาเซลเซียส.....	99
ตารางที่ 4.9 แถบช่องว่างพลังงานของบิสมัทวานาเดตที่สังเคราะห์ด้วยกระบวนการเกิดปฏิกิริยาในสถานะของแข็งสังเคราะห์ด้วยอัตราส่วนสารตั้งต้นบิสมัทวานาเดตต่อเกลือโซเดียมไนเตรตต่างๆ	107
ตารางที่ 4.10 ค่าประสิทธิภาพของการสลายตัวของสารละลายโรดามีนบีที่ 120 นาที่ภายใต้แสงที่ตามองเห็น และและค่าคงที่อัตราการเกิดปฏิกิริยาโฟโตคะตะลิสต์ตัวอย่างบิสมัทวานาเดตที่เตรียมด้วยอัตราส่วนสารตั้งต้นบิสมัทวานาเดตต่อเกลือโซเดียมไนเตรตต่างๆ อุณหภูมิ 340 องศาเซลเซียส.....	109
ตารางที่ 4.11 แถบช่องว่างพลังงานของบิสมัทวานาเดตที่สังเคราะห์ด้วยกระบวนการเกิดปฏิกิริยาในสถานะของแข็งแบบเติมและไม่เติมเกลือที่อุณหภูมิต่างๆ.....	114
ตารางที่ 4.12 ค่าประสิทธิภาพของการสลายตัวของสารละลายโรดามีนบีภายใต้แสงที่ตามองเห็นที่ 120 นาที่ และค่าคงที่อัตราการเกิดปฏิกิริยาโฟโตคะตะลิสต์ของตัวอย่างบิสมัทวานาเดตที่เตรียมแบบไม่เติมเกลือ และแบบเติมเกลือที่อัตราส่วนสารตั้งต้นบิสมัทวานาเดตต่อเกลือโซเดียมไนเตรต 1:2 โดยแคลไซน์ที่อุณหภูมิ 340 และ 395 องศาเซลเซียส.....	116
ตารางที่ 4.13 แถบช่องว่างพลังงานของบิสมัทวานาเดตที่สังเคราะห์ที่อัตราส่วนสารตั้งต้นบิสมัทวานาเดตต่อเกลือผสมลิเทียมไนเตรต-โซเดียมไนเตรตต่างๆ แคลไซน์ที่อุณหภูมิ 218 องศาเซลเซียส.....	125
ตารางที่ 4.14 ค่าประสิทธิภาพของการสลายตัวของสารละลายโรดามีนบีภายใต้แสงที่ตามองเห็นที่ 120 นาที่ และค่าคงที่อัตราการเกิดปฏิกิริยาโฟโตคะตะลิสต์ของผงตัวอย่างบิสมัท	

วานาเดตที่เตรียมด้วยอัตราส่วนสารตั้งต้นบิสมัทวานาเดตต่อเกลือผสมลิเทียมไนเตรต-และ โซเดียมไนเตรตต่างๆ แคลไซน์ที่อุณหภูมิ 218 องศาเซลเซียส.....	127
ตารางที่ 4.15 แถบช่องว่างพลังงานของบิสมัทวานาเดตที่สังเคราะห์ด้วยกระบวนการ เกิดปฏิกิริยาในสถานะของแข็ง.....	133
ตารางที่ 4.16 ค่าประสิทธิภาพของการสลายตัวของสารละลายโรดามีนบีภายใต้แสงที่ตามอง เห็นที่ 120 นาที และค่าคงที่อัตราการเกิดปฏิกิริยาโฟโตคะตะลิสต์ของผงตัวอย่างบิสมัท วานาเดตที่เตรียมแบบไม่เติมเกลือ และแบบเติมเกลือที่อัตราส่วนสารตั้งต้นบิสมัทวานาเดต ต่อเกลือผสมลิเทียมไนเตรต-โซเดียมไนเตรต 1:4 โดยแคลไซน์ที่อุณหภูมิ 218 และ 273 องศาเซลเซียส.....	135
ตารางที่ 4.17 แถบช่องว่างพลังงานของผงตัวอย่างบิสมัทวานาเดตที่แคลไซน์ที่อุณหภูมิที่ ต่างกัน	142
ตารางที่ 4.18 ค่าประสิทธิภาพของการย่อยสลายตัวของสารละลายโรดามีนบีภายใต้แสงที่ตามอง เห็นที่ 120 นาที และค่าคงที่อัตราการเกิดปฏิกิริยาโฟโตคะตะลิสต์ของผงตัวอย่างบิสมัท วานาเดตที่สังเคราะห์ด้วยกระบวนการตกตะกอนร่วมและแคลไซน์ที่อุณหภูมิ 200-500 องศา เซลเซียส.....	144
ตารางที่ 4.19 ค่าประสิทธิภาพของการสลายตัวของสารละลายโรดามีนบีภายใต้แสงที่ตามอง เห็นที่ 120 นาที และค่าคงที่อัตราการเกิดปฏิกิริยาโฟโตคะตะลิสต์ของผงตัวอย่างบิสมัท วานาเดตที่สังเคราะห์ด้วยกระบวนการตกตะกอนร่วม แบบเติมเกลือผสมลิเทียมไนเตรต- โซเดียมไนเตรต แคลไซน์ที่อุณหภูมิ 200-500 องศาเซลเซียส.....	151
ตารางที่ 4.20 ค่าประสิทธิภาพของการสลายตัวของสารละลายโรดามีนบี ภายใต้แสงที่ตามอง เห็นที่ 120 นาที และค่าคงที่อัตราการเกิดปฏิกิริยาโฟโตคะตะลิสต์ของตัวอย่างบิสมัท วานาเดตที่เตรียมแบบไม่เติมเกลือ และแบบเติมเกลือ ที่อัตราส่วนสารตั้งต้นบิสมัทวานาเดตต่อ เกลือผสมลิเทียมไนเตรต-โซเดียมไนเตรตที่ 1:4 และแคลไซน์ที่ 218 และ 273 องศา เซลเซียส.....	156
ตารางที่ 4.21 แถบช่องว่างพลังงานของบิสมัทวานาเดตที่สังเคราะห์ด้วยกระบวนการ ตกตะกอนร่วมแบบไม่เติมเกลือ และแบบเติมเกลือลิเทียมไนเตรตแคลไซน์ที่อุณหภูมิ 280 และ 355 องศาเซลเซียส	162

ตารางที่ 4.22 ค่าประสิทธิภาพของการสลายตัวของสารละลายโรดามีนบีภายใต้แสงที่ตา
มองเห็นที่ 120 นาที และค่าคงที่อัตราการเกิดปฏิกิริยาโฟโตคะตะลิสต์ของผงตัวอย่างบิสมัท
วานาเดตที่เตรียมแบบไม่เติมเกลือและแบบเติมเกลือที่อัตราส่วนสารตั้งต้นบิสมัทวานาเดตต่อ
เกลือลิเทียมไนเตรต 1:8 แคลไซน์ที่อุณหภูมิ 280 และ 335 องศาเซลเซียส..... 164

ตารางที่ 4.23 ค่าประสิทธิภาพของการสลายตัวของสารละลายโรดามีนบีภายใต้แสงที่ตา
มองเห็นที่ 120 นาที และค่าคงที่อัตราการเกิดปฏิกิริยาโฟโตคะตะลิสต์ของตัวอย่างบิสมัท
วานาเดตที่แบบไม่เติมเกลือและแบบเติมเกลือที่อัตราส่วนสารตั้งต้นบิสมัทวานาเดตต่อเกลือ
โซเดียมไนเตรต 1:2 แคลไซน์ที่อุณหภูมิ 340 และ 395 องศาเซลเซียส 171



สารบัญภาพ

ภาพที่ 2.1 ผงบิสมัทวานาเดต (ซ้าย) แร่เพอร์ไลต์ (ขวา).....	32
ภาพที่ 2.2 การเปลี่ยนแปลงโครงสร้างเฟสของบิสมัทวานาเดต ¹⁸	33
ภาพที่ 2.3 โครงสร้างผลึกบิสมัทวานาเดต (ก) เตตระโกนอลแบบซีไลต์ และ(ข) เตตระโกนอลแบบเซอร์คอน ¹⁸	33
ภาพที่ 2.4 โครงสร้างผลึกบิสมัทวานาเดตที่แสดงความยาวพันธะ(Å) (ก) โมโนคลินิกแบบซีไลต์ (ข) เตตระโกนอลแบบซีไลต์ และ(ค) เตตระโกนอลแบบเซอร์คอน ¹⁸	34
ภาพที่ 2.5 แถบโครงสร้างพลังงานของโครงสร้างผลึกบิสมัทวานาเดตเตตระโกนอลแบบซีไลต์ (s-t BiVO ₄) และ โมโนคลินิกแบบซีไลต์ (s-m BiVO ₄) ⁶	35
ภาพที่ 2.6 กระจกอนโซลเจลโดยแสดงกระบวนการเปลี่ยนสถานะจากโซลเป็นเจล ¹¹	40
ภาพที่ 2.7 การเตรียมวัสดุในกระบวนการเกิดลอมละลาย ¹²	41
ภาพที่ 2.8 การเปรียบเทียบพลังงานการเกิดออกซิเดชันของสารอินทรีย์แบบไม่มีตัวเร่งปฏิกิริยาและแบบมีตัวเร่งปฏิกิริยา ⁴	44
ภาพที่ 2.9 สเปกตรัมของคลื่นแม่เหล็กไฟฟ้า ⁹	45
ภาพที่ 2.10 ความยาวคลื่นแสงในช่วงต่างๆ จากดวงอาทิตย์ ¹	46
ภาพที่ 2.11 แถบพลังงานของสารกึ่งตัวนำและโลหะ ³²	48
ภาพที่ 2.12 กลไกการเกิดปฏิกิริยาเชิงแสงของบิสมัทวานาเดตและการสังเคราะห์แสงในพืช ²⁷ ..	49
ภาพที่ 2.13 กลไกการเกิดปฏิกิริยาเชิงแสงของตัวเร่งปฏิกิริยาเชิงแสง ²⁷	49
ภาพที่ 2.14 (B1) บิสมัทวานาเดตที่เตรียมจากบิสมาทไนเตรดเพนตะไฮเดรตที่อุณหภูมิ 450 องศาเซลเซียส (B2) บิสมัทวานาเดตที่เตรียมจากบิสมาทไนเตรดเพนตะไฮเดรต ที่อุณหภูมิ 350 องศาเซลเซียส (B3) บิสมัทวานาเดตที่เตรียมจากบิสมาทอะซิเตทที่อุณหภูมิ 450 องศาเซลเซียส ²	53
ภาพที่ 3.1 การสังเคราะห์บิสมัทวานาเดตด้วยกระบวนการเกิดปฏิกิริยาในสถานะของแข็งที่อัตราส่วนต่างๆ	59

ภาพที่ 3.2 การสังเคราะห์สารตั้งต้นบิสมัทวานาเดตด้วยกระบวนการตกตะกอนร่วม-แคลไซน์.. 61

ภาพที่ 4.1 กราฟ XRD ของผงตัวอย่างบิสมัทวานาเดตที่สังเคราะห์ด้วยกระบวนการเกิดปฏิกิริยาในสถานะของแข็งแบบไม่เต็มเกลือ โดยแคลไซน์ที่อุณหภูมิ 200-700 องศาเซลเซียส เป็นเวลา 4 ชั่วโมง..... 68

ภาพที่ 4.2 ภาพถ่าย FE-SEM ผงตัวอย่างบิสมัทวานาเดตที่สังเคราะห์ด้วยกระบวนการเกิดปฏิกิริยาในสถานะของแข็งที่อุณหภูมิแคลไซน์ 200 กำลังขยาย 20000 เท่า..... 70

ภาพที่ 4.3 ภาพถ่าย FE-SEM ผงตัวอย่างบิสมัทวานาเดตที่สังเคราะห์ด้วยกระบวนการเกิดปฏิกิริยาในสถานะของแข็งที่อุณหภูมิแคลไซน์ (ก) 200 (ข) 300 (ค) 400 (ง) 500 (จ) 600 และ (ฉ) 700 องศาเซลเซียส เป็นเวลา 4 ชั่วโมง..... 71

ภาพที่ 4.4 กราฟแสดงค่าการดูดกลืนแสงที่ความยาวคลื่นแสงต่างๆ ของบิสมัทวานาเดตที่สังเคราะห์ด้วยกระบวนการเกิดปฏิกิริยาในสถานะของแข็งโดยผ่านการแคลไซน์ที่อุณหภูมิต่างๆ..... 72

ภาพที่ 4.5 กราฟความสัมพันธ์ระหว่าง $(F(R)h\nu)^2$ กับพลังงานโฟตอนของบิสมัทวานาเดตที่สังเคราะห์ด้วยกระบวนการเกิดปฏิกิริยาในสถานะของแข็ง แคลไซน์ที่อุณหภูมิต่างๆ 73

ภาพที่ 4.6 การลดลงของค่าการดูดกลืนแสงของสารละลายโรดามีนบีภายใต้แสงช่วงที่ตามองเห็นของบิสมัทวานาเดตแบบไม่เต็มเกลือ แคลไซน์ที่อุณหภูมิ 200-700 องศาเซลเซียส 75

ภาพที่ 4.7 อัตราการเกิดปฏิกิริยาเชิงแสงของบิสมัทวานาเดตแบบไม่เต็มเกลือ แคลไซน์ที่อุณหภูมิ 200-700 องศาเซลเซียส 75

ภาพที่ 4.8 แผนภาพเฟสไดอะแกรมของ $\text{LiNO}_3 - \text{NaNO}_3$ 78

ภาพที่ 4.9 กราฟ XRD ของผงตัวอย่างบิสมัทวานาเดตที่เตรียมแบบไม่เต็มเกลือหลอมละลายและแบบเต็มเกลือหลอมละลายที่อัตราส่วนสารตั้งต้นบิสมัทวานาเดตต่อเกลือลิเทียมไนเตรตต่างๆ แคลไซน์ที่อุณหภูมิ 280 องศาเซลเซียส เป็นเวลา 4 ชั่วโมง..... 79

ภาพที่ 4.10 ภาพถ่าย FE-SEM ของเกลือลิเทียมไนเตรตที่กำลังขยาย 4000 เท่า 81

ภาพที่ 4.11 ภาพถ่าย FE-SEM ผงตัวอย่างบิสมัทวานาเดตที่เตรียมด้วยกระบวนการเกิดปฏิกิริยาในของแข็ง (ก) แบบไม่เต็มเกลือ และแบบเต็มเกลือที่อัตราส่วนสารตั้งต้นบิสมัท

วานาเดตต่อเกลือลิเทียมไนเตรตที่ (ข) 1:2 (ค) 1:4 (ง) 1:8 (จ) 1:12 แคลไซต์ที่อุณหภูมิ 280 องศาเซลเซียส เป็นเวลา 4 ชั่วโมง..... 82

ภาพที่ 4.12 ภาพถ่าย FE-SEM ผงตัวอย่างก่อนล้างเกลือสังเคราะห์ที่อัตราส่วนสารตั้งต้น บิสทังวานาเดตต่อเกลือลิเทียมไนเตรตที่ 1:2 ที่กำลังขยาย 50000 เท่า แคลไซต์ที่อุณหภูมิ 280 องศาเซลเซียส เป็นเวลา 4 ชั่วโมง..... 83

ภาพที่ 4.13 ผลวิเคราะห์ EDS ของผงตัวอย่างบิสทังวานาเดตที่สังเคราะห์ด้วยกระบวนการ เกิดปฏิกิริยาในสถานะของแข็งที่อัตราส่วนสารตั้งต้นบิสทังวานาเดตต่อเกลือลิเทียมไนเตรตที่ แตกต่างกัน (ก) 1:0 (ข) 1:8 ที่อุณหภูมิ 280 องศาเซลเซียส เป็นเวลา 4 ชั่วโมง 84

ภาพที่ 4.14 กราฟแสดงค่าการดูดกลืนแสงที่ความยาวคลื่นต่างๆ ของบิสทังวานาเดต สังเคราะห์ด้วยอัตราส่วนสารตั้งต้นบิสทังวานาเดตต่อเกลือลิเทียมไนเตรตต่างๆ 85

ภาพที่ 4.15 กราฟพล็อตระหว่าง $(F(R)hv)^2$ กับพลังงานโฟตอนของบิสทังวานาเดต สังเคราะห์ด้วยอัตราส่วนสารตั้งต้นบิสทังวานาเดตต่อเกลือลิเทียมไนเตรตต่างๆ 85

ภาพที่ 4.16 การลดลงของค่าการดูดกลืนแสงของสารละลายโรดามีนบีภายใต้แสงที่ตามองเห็นของบิสทังวานาเดตที่เตรียมด้วยอัตราส่วนสารตั้งต้นบิสทังวานาเดตต่อเกลือลิเทียมไนเตรตต่างๆ แคลไซต์ที่อุณหภูมิ 280 องศาเซลเซียส เป็นเวลา 4 ชั่วโมง..... 87

ภาพที่ 4.17 อัตราการเกิดปฏิกิริยาเชิงแสงของบิสทังวานาเดตที่เตรียมด้วยอัตราส่วนสารตั้งต้นบิสทังวานาเดตต่อเกลือลิเทียมไนเตรตต่างๆ แคลไซต์ที่อุณหภูมิ 280 องศาเซลเซียส เป็นเวลา 4 ชั่วโมง 87

ภาพที่ 4.18 กราฟ XRD ของผงตัวอย่างบิสทังวานาเดตที่เตรียมแบบไม่เติมเกลือ และแบบเติมเกลือที่อัตราส่วนสารตั้งต้นบิสทังวานาเดตต่อเกลือลิเทียมไนเตรต 1:8 โดยแคลไซต์ที่อุณหภูมิ 280 และ 335 องศาเซลเซียส เป็นเวลา 4 ชั่วโมง 89

ภาพที่ 4.19 ภาพถ่าย FE-SEM ผงตัวอย่างบิสทังวานาเดตที่สังเคราะห์ด้วยกระบวนการ เกิดปฏิกิริยาในสถานะของแข็งแบบไม่เติมเกลือแคลไซต์ที่อุณหภูมิ (ก) 280 องศาเซลเซียส และ (ข) 335 องศาเซลเซียส และแบบเติมเกลือที่อัตราส่วนสารตั้งต้นบิสทังวานาเดตต่อเกลือลิเทียมไนเตรตที่ 1.8 แคลไซต์ที่อุณหภูมิ (ค) 280 องศาเซลเซียส และ (ง) 335 องศาเซลเซียส เป็นเวลา 4 ชั่วโมง..... 90

ภาพที่ 4.20 ผลวิเคราะห์ EDS ของผงตัวอย่างบิสม์ทวานาเดตที่เตรียมแบบไม่เติมเกลือ และแบบเติมเกลือที่อัตราส่วนสารตั้งต้นบิสม์ทวานาเดตต่อเกลือลิเทียมไนเตรต 1:8 โดยแคลไซต์ที่อุณหภูมิ 280 และ 335 องศาเซลเซียส	92
ภาพที่ 4.21 กราฟแสดงค่าการดูดกลืนแสงที่ความยาวคลื่นต่างๆ ของบิสม์ทวานาเดตที่สังเคราะห์ด้วยกระบวนการเกิดปฏิกิริยาในสถานะของแข็งแบบไม่เติมเกลือ และแบบเติมเกลือที่อุณหภูมิต่างๆ	93
ภาพที่ 4.22 กราฟพล็อตระหว่าง $(F(R)hv)^2$ กับพลังงานโฟตอนของบิสม์ทวานาเดตที่สังเคราะห์ด้วยกระบวนการเกิดปฏิกิริยาในสถานะของแข็งแบบไม่เติมเกลือ และแบบเติมเกลือที่อุณหภูมิต่างๆ	93
ภาพที่ 4.23 การลดลงของค่าการดูดกลืนแสงของสารละลายโรดามีนบีภายใต้แสงที่ตามองเห็นที่ 120 นาทีของผงตัวอย่างบิสม์ทวานาเดตที่เตรียมแบบไม่เติมเกลือ และแบบเติมเกลือที่อัตราส่วนสารตั้งต้นบิสม์ทวานาเดตต่อเกลือลิเทียมไนเตรต 1:8 โดยแคลไซต์ที่อุณหภูมิ 280 และ 335 องศาเซลเซียส	95
ภาพที่ 4.24 อัตราการเกิดปฏิกิริยาเชิงแสงของผงตัวอย่างบิสม์ทวานาเดตที่เตรียมแบบไม่เติมเกลือ และแบบเติมเกลือที่อัตราส่วนสารตั้งต้นบิสม์ทวานาเดตต่อเกลือลิเทียมไนเตรต 1:8 โดยแคลไซต์ที่ 280 และ 335 องศาเซลเซียส	95
ภาพที่ 4.25 การกระจายขนาดอนุภาคบิสม์ทวานาเดตที่เตรียมแบบไม่เติมเกลือและเติมเกลือลิเทียมไนเตรตที่อัตราส่วนสารตั้งต้นบิสม์ทวานาเดตต่อเกลือ 1:8 แคลไซต์ที่อุณหภูมิ 335 องศาเซลเซียส.....	99
ภาพที่ 4.26 แผนภาพเฟสไดอะแกรมของ $\text{NaNO}_3 - \text{KNO}_3$	100
ภาพที่ 4.27 กราฟ XRD ของผงตัวอย่างผงตัวอย่างบิสม์ทวานาเดตที่สังเคราะห์ด้วยกระบวนการเกิดปฏิกิริยาในสถานะของแข็งที่อัตราส่วนสารตั้งต้นบิสม์ทวานาเดตต่อเกลือโซเดียมไนเตรตต่างๆ ที่อุณหภูมิ 340 องศาเซลเซียส เป็นเวลา 4 ชั่วโมง.....	101
ภาพที่ 4.28 ภาพถ่าย FE-SEM ของเกลือโซเดียมที่กำลังขยาย 150 เท่า	102
ภาพที่ 4.29 ภาพถ่าย FE-SEM ผงตัวอย่างบิสม์ทวานาเดตที่สังเคราะห์ด้วยกระบวนการเกิดปฏิกิริยาในสถานะของแข็ง แคลไซต์ที่อุณหภูมิ 340 องศาเซลเซียส (ก) แบบไม่เติมเกลือ	

และแบบเติมเกลือที่อัตราส่วนสารตั้งต้นบิสมัทวานาเดตต่อเกลือโซเดียมไนเตรต (ข) 1:2 (ค) 1:4 (ง) 1:8 (จ) 1:12 103

ภาพที่ 4.30 ภาพถ่าย FE-SEM ผงตัวอย่างก่อนล้างเกลือสังเคราะห์ที่อัตราส่วนสารตั้งต้นบิสมัทวานาเดตต่อเกลือโซเดียมไนเตรตที่ 1:8 กำลังขยาย 10000 เท่า..... 104

ภาพที่ 4.31 ผลวิเคราะห์ EDS ของผงตัวอย่างบิสมัทวานาเดตที่สังเคราะห์ที่อัตราส่วนสารตั้งต้นบิสมัทวานาเดตต่อเกลือโซเดียมไนเตรตที่แตกต่างกัน (ก) 1:0 (ข) 1:8 แคลไซน์ที่อุณหภูมิตั้ง 340 องศาเซลเซียส..... 105

ภาพที่ 4.32 กราฟแสดงค่าการดูดกลืนแสงที่ความยาวคลื่นต่างๆ ของบิสมัทวานาเดตสังเคราะห์ด้วยอัตราส่วนสารตั้งต้นบิสมัทวานาเดตต่อเกลือโซเดียมไนเตรตต่างๆ 106

ภาพที่ 4.33 กราฟพล็อตระหว่าง $(F(R)hv)^2$ กับพลังงานโฟตอนของบิสมัทวานาเดตสังเคราะห์ด้วยอัตราส่วนสารตั้งต้นบิสมัทวานาเดตต่อเกลือโซเดียมไนเตรตที่ต่างๆ 106

ภาพที่ 4.34 การลดลงของค่าการดูดกลืนแสงของสารละลายโรดามีนบีภายใต้แสงที่ตามองเห็นที่ 120 นาที่ของผงตัวอย่างบิสมัทวานาเดตที่เตรียมด้วยอัตราส่วนสารตั้งต้นบิสมัทวานาเดตต่อเกลือโซเดียมไนเตรตต่างๆ แคลไซน์ที่อุณหภูมิตั้ง 340 องศาเซลเซียส..... 108

ภาพที่ 4.35 อัตราการเกิดปฏิกิริยาเชิงแสงของบิสมัทวานาเดตที่เตรียมด้วยอัตราส่วนสารตั้งต้นบิสมัทวานาเดตต่อเกลือโซเดียมไนเตรตต่างๆ แคลไซน์ที่อุณหภูมิตั้ง 340 องศาเซลเซียส 108

ภาพที่ 4.36 กราฟ XRD ของผงตัวอย่างบิสมัทวานาเดตที่เตรียมแบบไม่เติมเกลือ และแบบเติมเกลือที่อัตราส่วนสารตั้งต้นบิสมัทวานาเดตต่อเกลือโซเดียมไนเตรต 1:2 โดยแคลไซน์ที่อุณหภูมิตั้ง 340 และ 395 องศาเซลเซียส 110

ภาพที่ 4.37 ภาพถ่าย FE-SEM ผงบิสมัทวานาเดตที่สังเคราะห์ด้วยกระบวนการเกิดปฏิกิริยาในสถานะของแข็งแบบไม่เติมเกลือ แคลไซน์ที่อุณหภูมิตั้ง (ก) 340 องศาเซลเซียส และ (ข) 395 องศาเซลเซียส และแบบเติมเกลือที่อัตราส่วนสารตั้งต้นบิสมัทวานาเดตต่อเกลือโซเดียมไนเตรตที่ 1:2 แคลไซน์ที่อุณหภูมิตั้ง (ค) 340 องศาเซลเซียส (ง) 395 องศาเซลเซียส เป็นเวลา 4 ชั่วโมง 111

ภาพที่ 4.38 ผลวิเคราะห์ EDS ของผงตัวอย่างบิสมัทวานาเดตที่สังเคราะห์ด้วยกระบวนการเกิดปฏิกิริยาในสถานะของแข็งที่อุณหภูมิตั้ง 395 องศาเซลเซียส (ก) แบบไม่เติมเกลือ และ

(ข) แบบเติมเกลือที่อัตราส่วนสารตั้งต้นบิสมีทวานาเดตต่อเกลือโซเดียมไนเตรตที่แตกต่างกัน
 1:2 เป็นเวลา 4 ชั่วโมง 112

ภาพที่ 4.39 กราฟแสดงค่าการดูดกลืนแสงที่ความยาวคลื่นต่างๆ ของบิสมีทวานาเดตที่
 สังเคราะห์ด้วยกระบวนการเกิดปฏิกิริยาในสถานะของแข็งแบบเติมและไม่เติมเกลือ แคลไซต์
 อุณหภูมิต่างๆ 113

ภาพที่ 4.40 กราฟพล็อตระหว่าง $(F(R)hv)^2$ กับพลังงานโฟตอนของบิสมีทวานาเดตที่
 สังเคราะห์ด้วยกระบวนการเกิดปฏิกิริยาในสถานะของแข็งแบบเติมและไม่เติมเกลือ แคลไซต์
 ที่อุณหภูมิต่างๆ 113

ภาพที่ 4.41 การลดลงของค่าการดูดกลืนแสงของสารละลายโรดามีนบีภายใต้แสงที่ตา
 มองเห็นที่ 120 นาที่ของผงตัวอย่างบิสมีทวานาเดตที่เตรียมแบบไม่เติมเกลือ และแบบเติม
 เกลือที่อัตราส่วนสารตั้งต้นบิสมีทวานาเดตต่อเกลือโซเดียมไนเตรต 1:2 โดยแคลไซต์ที่
 อุณหภูมิ 340 และ 395 องศาเซลเซียส 115

ภาพที่ 4.42 อัตราการเกิดปฏิกิริยาเชิงแสงของผงตัวอย่างบิสมีทวานาเดตที่เตรียมแบบไม่เติม
 เกลือ และแบบเติมเกลือที่อัตราส่วนสารตั้งต้นบิสมีทวานาเดตต่อเกลือโซเดียมไนเตรต 1:2
 โดยแคลไซต์ที่อุณหภูมิ 340 และ 395 องศาเซลเซียส 115

ภาพที่ 4.43 แผนภาพเฟสไดอะแกรมของ $LiNO_3 - NaNO_3$ 117

ภาพที่ 4.44 กราฟ XRD ของบิสมีทวานาเดตที่สังเคราะห์ด้วยกระบวนการเกิดปฏิกิริยาใน
 สถานะของแข็งที่อัตราส่วนสารตั้งต้นบิสมีทวานาเดตต่อเกลือผสมลิเทียมไนเตรต-โซเดียมไน
 เเตรต แคลไซต์ที่อุณหภูมิ 218 องศาเซลเซียส เป็นเวลา 4 ชั่วโมง 118

ภาพที่ 4.45 ภาพถ่าย FE-SEM เกลือผสมลิเทียมไนเตรต-โซเดียมไนเตรตที่กำลังขยาย 150
 เท่า..... 119

ภาพที่ 4.46 ภาพถ่าย FE-SEM ผงตัวอย่างบิสมีทวานาเดตที่สังเคราะห์ด้วยกระบวนการ
 เกิดปฏิกิริยาในสถานะของแข็ง แคลไซต์ที่อุณหภูมิ 218 องศาเซลเซียส (ก) แบบไม่เติมเกลือ
 และแบบเติมเกลือที่อัตราส่วนสารตั้งต้นบิสมีทวานาเดตต่อเกลือผสมลิเทียมไนเตรต-โซเดียม
 ไนเตรตที่ (ข) 1:2 (ค) 1:4 (ง) 1:8 (จ) 1:12 120

ภาพที่ 4.47 ภาพถ่าย FE-SEM ผงตัวอย่างบิสม์ทวานาเดตก่อนนำไปล้างที่สังเคราะห์ด้วย อัตราส่วนสารตั้งต้นบิสม์ทวานาเดตต่อเกลือผสมลิเทียม-โซเดียมไนเตรตที่ 1:4 อุณหภูมิ 218 องศาเซลเซียส ที่กำลังขยาย (ก) 10000 เท่า และ (ข) 50000 เท่า.....	121
ภาพที่ 4.48 ผลวิเคราะห์ EDS ของผงตัวอย่างบิสม์ทวานาเดตที่สังเคราะห์ด้วยกระบวนการ เกิดปฏิกิริยาในสถานะของแข็ง แคลไซต์ที่อุณหภูมิ 218 องศาเซลเซียส (ก) แบบไม่เติม เกลือ และแบบเติมเกลือที่อัตราส่วนสารตั้งต้นบิสม์ทวานาเดตต่อเกลือผสมลิเทียมไนเตรต- โซเดียมไนเตรต (ข) 1:2 (ค) 1:4.....	122
ภาพที่ 4.49 กราฟแสดงค่าการดูดกลืนแสงที่ความยาวคลื่นต่างๆ ของบิสม์ทวานาเดตด้วย สังเคราะห์อัตราส่วนสารตั้งต้นบิสม์ทวานาเดตต่อเกลือผสมลิเทียม-โซเดียมไนเตรตต่างๆ	124
ภาพที่ 4.50 กราฟพล็อตระหว่าง $(F(R)hv)^2$ กับพลังงานโฟตอนของบิสม์ทวานาเดตด้วย สังเคราะห์อัตราส่วนสารตั้งต้นบิสม์ทวานาเดตต่อเกลือผสมลิเทียม-โซเดียมไนเตรตต่างๆ	124
ภาพที่ 4.51 การลดลงของค่าการดูดกลืนแสงของสารละลายโรดามีนบีภายใต้แสงที่ตา มองเห็นที่ 120 นาที่ของผงตัวอย่างบิสม์ทวานาเดตที่เตรียมด้วยอัตราส่วนสารตั้งต้นบิสม์ทวา นาเดตต่อเกลือผสมลิเทียมไนเตรต-โซเดียมไนเตรตต่างๆ แคลไซต์ที่อุณหภูมิ 218 องศา เซลเซียส.....	126
ภาพที่ 4.52 อัตราการเกิดปฏิกิริยาเชิงแสงของผงตัวอย่างบิสม์ทวานาเดตที่เตรียมด้วย อัตราส่วนสารตั้งต้นบิสม์ทวานาเดตต่อเกลือผสมลิเทียมไนเตรต-โซเดียมไนเตรตต่างๆ แคล ไซต์ที่อุณหภูมิ 218 องศาเซลเซียส	127
ภาพที่ 4.53 กราฟ XRD ของผงตัวอย่างบิสม์ทวานาเดตที่เตรียมแบบไม่เติมเกลือ และแบบ เติมเกลือที่อัตราส่วนสารตั้งต้นบิสม์ทวานาเดตต่อเกลือผสมลิเทียมไนเตรต-โซเดียมไนเตรต 1:4 โดยแคลไซต์ที่อุณหภูมิ 218 และ 273 องศาเซลเซียส	129
ภาพที่ 4.54 ภาพถ่าย FE-SEM ผงตัวอย่างบิสม์ทวานาเดตที่สังเคราะห์ด้วยกระบวนการ เกิดปฏิกิริยาในสถานะของแข็งแบบไม่เติมเกลือ แคลไซต์ที่ (ก) 218 องศาเซลเซียส (ข) 273 องศาเซลเซียส แบบเติมเกลือที่อัตราส่วนสารตั้งต้นบิสม์ทวานาเดตต่อเกลือผสมลิเทียม ไนเตรต-โซเดียมไนเตรต ที่ 1:4 แคลไซต์ที่ (ค) 218 องศาเซลเซียส (ง) 273 องศาเซลเซียส	130
ภาพที่ 4.55 ผลวิเคราะห์ EDS ของผงตัวอย่างบิสม์ทวานาเดตที่สังเคราะห์ด้วยกระบวนการ เกิดปฏิกิริยาในสถานะของแข็ง (ก) แบบไม่เติมเกลือ แคลไซต์ที่ 340 องศาเซลเซียส (ข)	

แบบเติมเกลือที่อัตราส่วนสารตั้งต้นบิสมัทวานาเดตต่อเกลือผสมลิเทียมไนเตรต-โซเดียมไนเตรต ที่ 1:8 แคลไซน์ที่ 340 องศาเซลเซียส..... 131

ภาพที่ 4.56 กราฟแสดงค่าการดูดกลืนแสงที่ความยาวคลื่นต่างๆ ของบิสมัทวานาเดตที่สังเคราะห์ด้วยกระบวนการเกิดปฏิกิริยาในสถานะของแข็งแบบเติมและไม่เติมเกลือ แคลไซน์ที่อุณหภูมิต่างๆ..... 132

ภาพที่ 4.57 กราฟพล็อตระหว่าง $(F(R)hv)^2$ กับพลังงานโฟตอนของบิสมัทวานาเดตที่สังเคราะห์ด้วยกระบวนการเกิดปฏิกิริยาในสถานะของแข็งแบบเติมและไม่เติมเกลือ แคลไซน์ที่อุณหภูมิต่างๆ..... 132

ภาพที่ 4.58 การลดลงของค่าการดูดกลืนแสงของสารละลายโรดามีนบีที่ 120 นาที่ภายใต้แสงที่ตามองเห็นของผงตัวอย่างบิสมัทวานาเดตที่เตรียมแบบไม่เติมเกลือ และแบบเติมเกลือที่อัตราส่วนสารตั้งต้นบิสมัทวานาเดตต่อเกลือผสมลิเทียมไนเตรต-โซเดียมไนเตรต 1:4 โดยแคลไซน์ที่อุณหภูมิ 218 และ 273 องศาเซลเซียส 134

ภาพที่ 4.59 อัตราการเกิดปฏิกิริยาเชิงแสงของผงตัวอย่างบิสมัทวานาเดตที่เตรียมแบบไม่เติมเกลือ และแบบเติมเกลือที่อัตราส่วนสารตั้งต้นบิสมัทวานาเดตต่อเกลือผสมลิเทียมไนเตรต-โซเดียมไนเตรต 1:4 โดยแคลไซน์ที่อุณหภูมิ 218 และ 273 องศาเซลเซียส 134

ภาพที่ 4.60 กราฟ XRD ของสารตั้งต้นบิสมัทวานาเดต (precusor) เตรียมด้วยกระบวนการตกตะกอนร่วม ก่อนการแคลไซน์..... 136

ภาพที่ 4.61 ภาพถ่าย FE-SEM ของสารตั้งต้นบิสมัทวานาเดต (precusor) ที่ได้จากกระบวนการตกตะกอนร่วม ก่อนการแคลไซน์..... 137

ภาพที่ 4.62 กราฟ XRD ของผงตัวอย่างบิสมัทวานาเดตที่สังเคราะห์ด้วยกระบวนการตกตะกอนร่วมแบบไม่เติมเกลือ โดยแคลไซน์ที่อุณหภูมิ 200-500 องศาเซลเซียส เป็นเวลา 4 ชั่วโมง 138

ภาพที่ 4.63 ภาพถ่าย FE-SEM ของผงตัวอย่างบิสมัทวานาเดตที่สังเคราะห์ด้วยกระบวนการตกตะกอนร่วมและแคลไซน์ที่อุณหภูมิ (ก) 200 (ข) 300 (ค) 400 (ง) 500 องศาเซลเซียส เป็นเวลา 4 ชั่วโมง 139

ภาพที่ 4.64 ผลวิเคราะห์ EDS ของผงตัวอย่างบิสมัทวานาเดตที่สังเคราะห์ด้วยกระบวนการตกตะกอนร่วมและแคลไซน์ที่ 500 องศาเซลเซียส..... 140

ภาพที่ 4.65 กราฟแสดงค่าการดูดกลืนแสงที่ความยาวคลื่นต่างๆ ของบิสมัทวานาเดตที่สังเคราะห์โดยแคลไซต์ที่อุณหภูมิต่างๆ..... 141

ภาพที่ 4.66 กราฟพล็อตระหว่าง $(F(R)hv)^2$ กับพลังงานโฟตอนของบิสมัทวานาเดตที่แคลไซต์ที่อุณหภูมิต่างๆ..... 141

ภาพที่ 4.67 การลดลงของค่าการดูดกลืนแสงของสารละลายโรดามีนบีภายใต้แสงที่ตามองเห็นของผงตัวอย่างบิสมัทวานาเดตที่สังเคราะห์ด้วยกระบวนการตกตะกอนร่วมและแคลไซต์ที่อุณหภูมิ 200-500 องศาเซลเซียส 143

ภาพที่ 4.68 อัตราการเกิดปฏิกิริยาเชิงแสงของผงตัวอย่างบิสมัทวานาเดตที่สังเคราะห์ด้วยกระบวนการตกตะกอนร่วมและแคลไซต์ที่อุณหภูมิ 200-500 องศาเซลเซียส 144

ภาพที่ 4.69 กราฟ XRD ของผงตัวอย่างบิสมัทวานาเดตที่สังเคราะห์ด้วยกระบวนการตกตะกอนร่วมและเติมเกลือผสมลิเทียมไนเตรต-โซเดียมไนเตรต ผ่านการแคลไซต์ที่อุณหภูมิต่างๆ (ช่วงอุณหภูมิ 200 – 500 องศาเซลเซียส) เป็นเวลา 4 ชั่วโมง..... 146

ภาพที่ 4.70 ภาพถ่าย FE-SEM ผงตัวอย่างบิสมัทวานาเดตที่สังเคราะห์ด้วยกระบวนการตกตะกอนร่วม แบบเติมเกลือผสมลิเทียมไนเตรต-โซเดียมไนเตรต ผ่านการแคลไซต์ที่อุณหภูมิ (ก) 200 (ข) 300 (ค) 400 (ง) 500 องศาเซลเซียส 148

ภาพที่ 4.71 ผลวิเคราะห์ EDS ของผงตัวอย่างบิสมัทวานาเดตที่สังเคราะห์ด้วยกระบวนการตกตะกอนร่วมแบบเติมเกลือผสมลิเทียมไนเตรต-โซเดียมไนเตรต ผ่านการแคลไซต์ที่อุณหภูมิ 200 องศาเซลเซียส..... 149

ภาพที่ 4.72 การลดลงของค่าการดูดกลืนแสงของสารละลายโรดามีนบีภายใต้แสงที่ตามองเห็นที่ 120 นาที่ของผงตัวอย่างบิสมัทวานาเดตที่สังเคราะห์ด้วยกระบวนการตกตะกอนร่วม แบบเติมเกลือผสมลิเทียมไนเตรต-โซเดียมไนเตรต แคลไซต์ที่อุณหภูมิ 200-500 องศาเซลเซียส..... 150

ภาพที่ 4.73 อัตราการเกิดปฏิกิริยาเชิงแสงของผงตัวอย่างบิสมัทวานาเดตที่สังเคราะห์ด้วยกระบวนการตกตะกอนร่วม แบบเติมเกลือผสมลิเทียมไนเตรต-โซเดียมไนเตรต แคลไซต์ที่อุณหภูมิ 200-500 องศาเซลเซียส 150

ภาพที่ 4.74 กราฟ XRD ของบิสม์ทวานาเดตที่สังเคราะห์แบบไม่เติมเกลือ และแบบเติมเกลือ ที่อัตราส่วนสารตั้งต้นบิสม์ทวานาเดตต่อเกลือผสมลิเทียมไนเตรต-โซเดียมไนเตรตที่ 1:4 และ แคลไซต์ที่อุณหภูมิ 218 และ 273 องศาเซลเซียส เป็นเวลา 4 ชั่วโมง 152

ภาพที่ 4.75 ภาพถ่าย FE-SEM ผงตัวอย่างบิสม์ทวานาเดตที่สังเคราะห์แบบไม่เติมเกลือแคลไซต์ที่อุณหภูมิ (ก) 218 องศาเซลเซียส และ (ข) 273 องศาเซลเซียส และแบบเติมเกลือ ที่อัตราส่วนสารตั้งต้นบิสม์ทวานาเดตต่อเกลือผสมลิเทียมไนเตรต-โซเดียมไนเตรตที่ 1:4 แคลไซต์ที่อุณหภูมิ (ค) 218 องศาเซลเซียส และ (ง) 273 องศาเซลเซียส..... 154

ภาพที่ 4.76 การลดลงของค่าการดูดกลืนแสงของสารละลายโรดามีนบีภายใต้แสงที่ตามองเห็นที่ 120 นาที่ของผงตัวอย่างบิสม์ทวานาเดตที่เตรียมแบบไม่เติมเกลือ และแบบเติมเกลือ ที่อัตราส่วนสารตั้งต้นบิสม์ทวานาเดตต่อเกลือผสมลิเทียมไนเตรต-โซเดียมไนเตรตที่ 1:4 และแคลไซต์ที่ 218 องศาเซลเซียส และ 273 องศาเซลเซียส 155

ภาพที่ 4.77 อัตราการเกิดปฏิกิริยาเชิงแสงของผงตัวอย่างบิสม์ทวานาเดตที่เตรียมแบบไม่เติมเกลือ และแบบเติมเกลือ ที่อัตราส่วนสารตั้งต้นบิสม์ทวานาเดตต่อเกลือผสมลิเทียมไนเตรต-โซเดียมไนเตรตที่ 1:4 และแคลไซต์ที่ 218 และ 273 องศาเซลเซียส 156

ภาพที่ 4.78 กราฟ XRD ของผงตัวอย่างบิสม์ทวานาเดตที่สังเคราะห์ที่เตรียมแบบไม่เติมเกลือ และแบบเติมเกลือที่อัตราส่วนสารตั้งต้นบิสม์ทวานาเดตต่อเกลือลิเทียมไนเตรต 1:8 แคลไซต์ที่อุณหภูมิ 280 และ 335 องศาเซลเซียส เป็นเวลา 4 ชั่วโมง 158

ภาพที่ 4.79 ภาพถ่าย FE-SEM ผงตัวอย่างบิสม์ทวานาเดตที่เตรียมแบบไม่เติมเกลือที่อุณหภูมิ (ก) 280 องศาเซลเซียส และ (ข) 335 องศาเซลเซียส และแบบเติมเกลือที่อัตราส่วนสารตั้งต้นบิสม์ทวานาเดตต่อเกลือลิเทียมไนเตรต 1:8 แคลไซต์ที่อุณหภูมิ (ค) 280 องศาเซลเซียส และ (ง) 335 องศาเซลเซียส..... 159

ภาพที่ 4.80 ผลวิเคราะห์ EDS ของผงตัวอย่างบิสม์ทวานาเดตที่เตรียม (ก) แบบไม่เติมเกลือ และ (ข) แบบเติมเกลือลิเทียมไนเตรต แคลไซต์ที่อุณหภูมิ 355 องศาเซลเซียส..... 160

ภาพที่ 4.81 กราฟแสดงค่าการดูดกลืนแสงที่ความยาวคลื่นต่างๆ ของบิสม์ทวานาเดตที่สังเคราะห์ด้วยกระบวนการตกตะกอนร่วมแบบไม่เติมเกลือ และแบบเติมเกลือลิเทียมไนเตรต แคลไซต์ที่อุณหภูมิ 280 และ 355 องศาเซลเซียส 161

ภาพที่ 4.82 กราฟพล็อตระหว่าง $(F(R)hv)^2$ กับพลังงานโฟตอนของบิสม์ทวานาเดตที่สังเคราะห์ด้วยกระบวนการตกตะกอนร่วมแบบไม่เติมเกลือ และแบบเติมเกลือลิเทียมไนเตรด แคลไซน์ที่อุณหภูมิ 280 และ 355 องศาเซลเซียส	161
ภาพที่ 4.83 การลดลงของค่าการดูดกลืนแสงของสารละลายโรดามีนบีภายใต้แสงที่ตามองเห็นที่ 120 นาที่ของผงตัวอย่างบิสม์ทวานาเดตที่เตรียมแบบไม่เติมเกลือและแบบเติมเกลือที่อัตราส่วนสารตั้งต้นบิสม์ทวานาเดตต่อเกลือลิเทียมไนเตรด 1:8 แคลไซน์ที่อุณหภูมิ 280 และ 335 องศาเซลเซียส	163
ภาพที่ 4.84 อัตราการเกิดปฏิกิริยาเชิงแสงของผงตัวอย่างบิสม์ทวานาเดตที่เตรียมแบบไม่เติมเกลือและแบบเติมเกลือที่อัตราส่วนสารตั้งต้นบิสม์ทวานาเดตต่อเกลือลิเทียมไนเตรด 1:8 แคลไซน์ที่อุณหภูมิ 280 และ 335 องศาเซลเซียส	163
ภาพที่ 4.85 กราฟ XRD ของบิสม์ทวานาเดตที่สังเคราะห์ด้วยกระบวนการตกตะกอนร่วมเตรียมแบบไม่เติมเกลือและแบบเติมเกลือที่อัตราส่วนสารตั้งต้นบิสม์ทวานาเดตต่อเกลือโซเดียมไนเตรด 1:2 แคลไซน์ที่อุณหภูมิ 340 และ 395 องศาเซลเซียส เป็นเวลา 4 ชั่วโมง... ..	166
ภาพที่ 4.86 ภาพถ่าย FE-SEM ผงตัวอย่างบิสม์ทวานาเดตที่สังเคราะห์ที่เตรียมแบบไม่เติมเกลือแคลไซน์ที่อุณหภูมิ (ก) 340 องศาเซลเซียส และ (ข) 395 องศาเซลเซียส และแบบเติมเกลือที่อัตราส่วนสารตั้งต้นบิสม์ทวานาเดตต่อเกลือโซเดียมไนเตรด 1:2 แคลไซน์ที่อุณหภูมิ (ค) 340 องศาเซลเซียส และ (ง) 395 องศาเซลเซียส.....	167
ภาพที่ 4.87 ภาพถ่าย FE-SEM ผงตัวอย่างก่อนล้างเกลือ แบบเติมเกลือที่อัตราส่วนสารตั้งต้นบิสม์ทวานาเดตต่อเกลือโซเดียมไนเตรดที่ 1:2 แคลไซน์ที่อุณหภูมิ 395 องศาเซลเซียส ที่กำลังขยาย 10000 เท่า.....	168
ภาพที่ 4.88 ผลวิเคราะห์ EDS ของผงตัวอย่างบิสม์ทวานาเดตที่สังเคราะห์ด้วยกระบวนการตกตะกอนร่วม (ก) แบบไม่เติมเกลือ และ (ข) แบบเติมเกลือโซเดียมไนเตรด โดยแคลไซน์ที่ 395 องศาเซลเซียส	169
ภาพที่ 4.89 การลดลงของค่าการดูดกลืนแสงของสารละลายโรดามีนบีภายใต้แสงที่ตามองเห็นที่ 120 นาที่ของผงตัวอย่างบิสม์ทวานาเดตที่เตรียมแบบไม่เติมเกลือ และแบบเติมเกลือที่อัตราส่วนสารตั้งต้นบิสม์ทวานาเดตต่อเกลือโซเดียมไนเตรด 1:2 แคลไซน์ที่อุณหภูมิ 340 และ 395 องศาเซลเซียส	170

ภาพที่ 4.90 อัตราการเกิดปฏิกิริยาเชิงแสงของผงตัวอย่างบิสมาทวานาเดตที่เตรียมแบบไม่เต็ม
 เกลือ และแบบเต็มเกลือที่อัตราส่วนสารตั้งต้นบิสมาทวานาเดตต่อเกลือโซเดียมไนเตรต 1:2
 แคลไซน์ที่อุณหภูมิ 340 และ 395 องศาเซลเซียส 171



บทที่ 1

บทนำ

1.1 ความเป็นมาและความสำคัญของปัญหา

ปัจจุบันมลพิษทางน้ำและอากาศมีความรุนแรงมากขึ้น ดังนั้นการศึกษาวิจัยและพัฒนาเทคโนโลยีเพื่อนำมาใช้ในการบำบัดมลพิษเหล่านั้นจึงมีความสำคัญ ซึ่งปฏิกิริยาโฟโตคะตะลิสต์เป็นแนวทางที่ได้รับความสนใจอย่างมากเนื่องจากเป็นกระบวนการที่เป็นมิตรกับสิ่งแวดล้อมและมีประสิทธิภาพสูงต่อการย่อยสลายสารอินทรีย์ที่เป็นมลพิษ สารกึ่งตัวนำที่มีสมบัติโฟโตคะตะลิสต์ที่นิยมใช้อย่างแพร่หลายคือไทเทเนียมไดออกไซด์ เนื่องจากไทเทเนียมไดออกไซด์มีประสิทธิภาพในการย่อยสลายสารอินทรีย์ได้สูง ราคาไม่แพง ไม่เป็นพิษ และมีความเสถียรทางเคมี แต่เนื่องจากว่าไทเทเนียมไดออกไซด์มีแถบช่องว่างพลังงาน 3.2 eV จึงทำให้สามารถเกิดกระบวนการโฟโตคะตะลิสต์ภายใต้แสงยูวี (UV light, $\lambda < 400$ nm) เท่านั้น ซึ่งแสงยูวีมีปริมาณจำกัดเพียง 4 เปอร์เซ็นต์ของพลังงานแสงอาทิตย์ทั้งหมด[1] ดังนั้นจึงได้มีการศึกษาและพัฒนาสารกึ่งตัวนำที่มีสมบัติโฟโตคะตะลิสต์ได้ภายใต้ความยาวคลื่นแสงที่ตามองเห็น (visible-light region, 400 nm-700 nm) มาแทนที่ไทเทเนียมไดออกไซด์ บิสมัทวานาเดตจัดเป็นสารกึ่งตัวนำที่น่าสนใจ เนื่องจากสามารถเกิดปฏิกิริยาโฟโตคะตะลิสต์เมื่อถูกกระตุ้นด้วยแสงในช่วงที่ตามองเห็น ซึ่งเป็นพลังงานส่วนมากในแสงอาทิตย์ โดยจากการศึกษาที่ผ่านมาบิสมัทวานาเดตสามารถสังเคราะห์ด้วยกระบวนการต่างๆ เช่น กระบวนการเกิดปฏิกิริยาในสถานะของแข็ง กระบวนการตกตะกอนร่วมกระบวนการโซลเจล กระบวนการไฮโดร-โซลโวลเทอร์มัล เป็นต้น สำหรับในงานวิจัยนี้สนใจวิธีการสังเคราะห์บิสมัทวานาเดตด้วยกระบวนการเกิดปฏิกิริยาในสถานะของแข็ง และกระบวนการตกตะกอนร่วม-แคลไซน์ โดยทำการศึกษาผลของการเติมเกลือหลอมละลายในการสังเคราะห์ทั้งสองกระบวนการ ซึ่งยังไม่มีการศึกษากันอย่างแพร่หลายกับวัสดุบิสมัทวานาเดต ทั้งนี้กระบวนการดังกล่าวเป็นกระบวนการที่ง่าย อุปกรณ์ไม่ซับซ้อน สามารถสังเคราะห์สารที่มีความบริสุทธิ์สูงได้ และจากรายงานงานวิจัยที่ผ่านมาพบว่าการเติมเกลือหลอมละลายในกระบวนการสังเคราะห์ออกไซด์บางชนิด รวมถึงบิสมัทวานาเดตด้วยกระบวนการข้างต้นสามารถช่วยลดอุณหภูมิในการสังเคราะห์ลงได้ โดยเกลือที่ใช้เป็นเกลือที่ละลายน้ำ ซึ่งสามารถถูกกำจัดออกได้ง่าย

ดังนั้นงานวิจัยนี้จึงทำการศึกษากการสังเคราะห์บิสมัทวานาเดต ด้วยกระบวนการเตรียมที่ใช้เกลือหลอมละลาย โดยเลือกเกลือที่จุดหลอมเหลวต่ำ และศึกษาผลของการเติมเกลือหลอมละลายต่อการเกิดเฟสองค์ประกอบ โครงสร้างจุลภาค สัณฐานของอนุภาค ที่ส่งผลต่อสมบัติทางโฟโตคะตะลิสต์ภายใต้แสงช่วงที่ตามองเห็นของวัสดุที่สังเคราะห์ได้ โดยหาภาวะที่เหมาะสมในการปรับปรุงประสิทธิภาพในกระบวนการเกิดปฏิกิริยาโฟโตคะตะลิส

1.2 วัตถุประสงค์ของงานวิจัย

ศึกษาผลของชนิด และอัตราส่วนของเกลือต่อสารตั้งต้น และอุณหภูมิในการสังเคราะห์บิสมัทวานาเดตด้วยวิธีเกลือหลอมละลาย ต่อโครงสร้างจุลภาค องค์ประกอบทางเฟส พื้นที่ผิว และสมบัติการเป็นตัวเร่งปฏิกิริยาเชิงแสงภายใต้แสงช่วงที่ตามองเห็น

1.3 ขอบเขตของการวิจัย

1.3.1 ศึกษากระบวนการสังเคราะห์ ตัวเร่งปฏิกิริยาเชิงแสงชนิดบิสมัทวานาเดต ด้วยกระบวนการเกิดปฏิกิริยาในสถานะของแข็ง และกระบวนการตกตะกอนร่วม-แคลไซน์ โดยเตรียมแบบเติมและไม่เติมเกลือหลอมละลาย

1.3.2 ศึกษาผลของตัวแปรต่างๆ ในการเตรียมตัวเร่งปฏิกิริยาเชิงแสงชนิดบิสมัทวานาเดต ดังต่อไปนี้ ผลของชนิดและอัตราส่วนของสารตั้งต้นต่อเกลือ และอุณหภูมิในการสังเคราะห์บิสมัทวานาเดต ต่อโครงสร้างจุลภาค องค์ประกอบทางเฟส พื้นที่ผิว และสมบัติการเป็นตัวเร่งปฏิกิริยาเชิงแสงในการย่อยสลายสารละลายโรดามีนบีภายใต้แสงช่วงที่ตามองเห็น

1.4 ประโยชน์ที่คาดว่าจะได้รับ

ได้บิสมัทวานาเดตที่มีสมบัติโฟโตคะตะลิสต์ที่ตอบสนองต่อแสงช่วงที่ตามองเห็นจากกระบวนการเกลือหลอมละลาย

บทที่ 2

เอกสารและงานวิจัยที่เกี่ยวข้อง

2.1 บิสมัทวานาเดต (Bismuth Vanadate, BiVO_4)

บิสมัทวานาเดต เป็นชื่อเรียกของสารกึ่งตัวนำที่มีสูตรทั่วไปคือ BiVO_4 โดยการเตรียม บิสมัทวานาเดตได้ถูกรายงานครั้งแรกในปี ค.ศ.1924(1) และเริ่มได้รับความสนใจมากขึ้นในด้านการนำมาใช้เพื่อเป็นเม็ดสีที่ให้สีเหลือง (Yellow Pigments) แทนตะกั่ว และแคดเมียม เนื่องจาก ตะกั่ว และแคดเมียม ถึงปกปิดพื้นผิวได้ดี (high hiding) แต่ก็มีความเป็นพิษสูง อีกทั้งบิสมัทวานายังมีคุณสมบัติที่เป็นเม็ดสีที่ดีคือสามารถย้อมติดได้ดี (good tinting) ปกปิดพื้นผิวได้ดี (high hiding) และไม่มีความเป็นพิษ (nontoxic)(2) นอกจากนี้บิสมัทวานาเดตเป็นสารกึ่งตัวนำที่มีประสิทธิภาพสูงในการเป็นตัวเร่งปฏิกิริยาเชิงแสง (Photocatalyst) (3),(4) จึงถูกนำมาประยุกต์ใช้งานทางด้านต่างๆ เช่น ด้านอุตสาหกรรม ได้แก่ สี สิ่งทอ พลาสติก เซรามิก และด้านสิ่งแวดล้อม ได้แก่ การบำบัดน้ำเสียหรือมลพิษทางอากาศ การย่อยสลายสารอินทรีย์ สำหรับงานวิจัยนี้ได้ให้ความสนใจบิสมัทวานาเดตในด้านสมบัติการเป็นตัวเร่งปฏิกิริยาเชิงแสง เนื่องจากว่าบิสมัทวานาเดตมีสมบัติโฟโตคะตะลิสต์ได้ภายใต้ความยาวคลื่นแสงที่ตามองเห็นซึ่งพบมากในพลังงานแสงอาทิตย์(5)



ภาพที่ 2.1 ผงบิสมัทวานาเดต (ซ้าย) แร่เพอร์ไลต์ (ขวา)(2)

โครงสร้างบิสมัทวานาเดตมักจะเกิดในธรรมชาติในรูปของ pucherite mineral ดังแสดงในภาพที่ 2.1 ซึ่งจะมีโครงสร้างอยู่ในรูปของ ออร์โธโรมบิก (orthorhombic) แต่บิสมัทวานาเดตที่ได้จากการสังเคราะห์จะรูปของซีไลต์ (scheelite) และเซอร์คอน (zircon) โดยโครงสร้างผลึกของผงบิสมัทวานาเดตประกอบด้วยโครงสร้างทั้งหมด 3 รูปแบบได้แก่ 1. โมโนคลินิกแบบซีไลต์

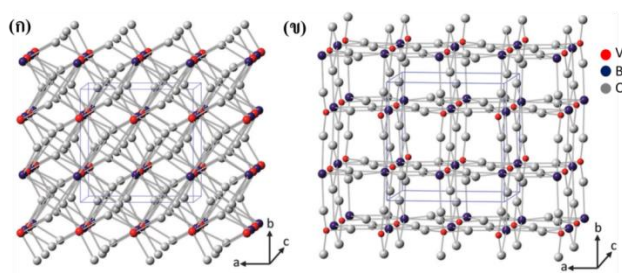
(scheelite structure with monoclinic, s-m) 2.เตตระโกนอลแบบซีไลต์ (scheelite structure with tetragonal, s-t) 3.เตตระโกนอลแบบเซอร์คอน (zircon structure with tetragonal, z-t)(6)

จากงานวิจัยที่ผ่านมาที่ได้ศึกษาการสังเคราะห์บิส്മัทวานาเดตที่อุณหภูมิต่ำจะให้บิส്മัทวานาเดตโครงสร้างเตตระโกนอลแบบเซอร์คอน (z-t) ในขณะที่การสังเคราะห์ที่อุณหภูมิที่สูงกว่าจะให้บิส്മัทวานาเดตโครงสร้างโมโนคลินิกแบบซีไลต์ (s-m) โดยการเปลี่ยนแปลงโครงสร้างเฟสเกิดขึ้นเมื่อทำการสังเคราะห์บิส്മัทวานาเดตที่อุณหภูมิ 255 องศาเซลเซียส โครงสร้างเตตระโกนอลแบบซีไลต์ สามารถเปลี่ยนโครงสร้างเป็นโครงสร้างโมโนคลินิกแบบซีไลต์ และเมื่อทำการสังเคราะห์ที่อุณหภูมิ 397-497 องศาเซลเซียส โครงสร้างโครงสร้างเตตระโกนอลแบบเซอร์คอน สามารถเปลี่ยนโครงสร้างเป็นโครงสร้างโมโนคลินิกแบบซีไลต์ได้ ดังแสดงในภาพที่ 2.2



ภาพที่ 2.2 การเปลี่ยนแปลงโครงสร้างเฟสของบิส്മัทวานาเดต(7)

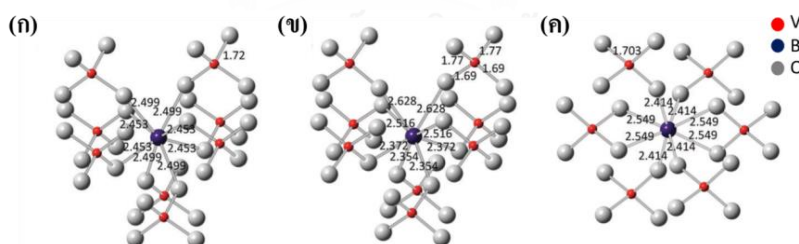
ในโครงสร้างบิส്മัทวานาเดตแบบซีไลต์ แต่ละวานาเดียมไอออนจะเชื่อมต่อกันด้วย 4 อะตอมของออกซิเจน ในขณะที่ในแต่ละบิส്മัทไอออนจะเชื่อมต่อกันด้วย 8 อะตอมของออกซิเจน จาก 8 ยูนิตที่แตกต่างกันของ $\text{VO}_4(7)$ ดังแสดงในภาพที่ 2.3



ภาพที่ 2.3 โครงสร้างผลึกบิส്മัทวานาเดต (ก) เตตระโกนอลแบบซีไลต์ และ(ข) เตตระโกนอลแบบเซอร์คอน(7)

ตารางที่ 2.1 เซลล์พารามิเตอร์และความยาวพันธะของโครงสร้างบิสมัทวานาเดตแบบซีไลต์และเซอร์คอน(7)

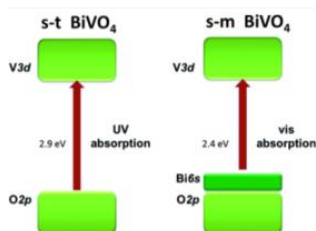
Crystal system	cell parameter				Bond length/Å	
	a	B	C	B	Bi-O	V-O
scheelite structure with monoclinic	5.193	5.090	11.697	90.4	2.354×2	1.69×2
					2.372×2	1.77×2
					2.516×2	
					2.628×2	
scheelite structure with tetragonal	5.147	5.147	11.722	90.0	2.453×4	1.72×4
					2.499×4	
zircon structure with tetragonal	7.303	7.303	6.584		2.414×4	1.70×4
					2.549×4	



ภาพที่ 2.4 โครงสร้างผลึกบิสมัทวานาเดตที่แสดงความยาวพันธะ(Å) (ก) โมโนคลินิกแบบซีไลต์ (ข) เตตระโกนอลแบบซีไลต์ และ(ค) เตตระโกนอลแบบเซอร์คอน(7)

จากรายงานการวิจัย(7) พบว่าโครงสร้างผลึกบิสมัทวานาเดตชนิดต่างๆ ให้ค่าเซลล์พารามิเตอร์และความยาวพันธะของโครงสร้างบิสมัทวานาเดตที่แตกต่างกัน ดังที่แสดงในภาพที่ 2.4 และตารางที่ 2.1 โดยในงานวิจัยได้ทำการเปรียบเทียบโครงสร้างโมโนคลินิกแบบซีไลต์กับโครงสร้างเตตระโกนอลแบบซีไลต์ พบว่ามีลักษณะโครงสร้างที่คล้ายกัน ดังที่แสดงในภาพที่ 2.4(ก) และ 2.4(ข) แต่ความยาวพันธะ Bi-O และ V-O มีขนาดไม่เท่ากัน โดยจากข้อมูลตาราง

ที่ 2.1 จะแสดงให้เห็นว่า โครงสร้างโมโนคลินิกแบบซีไลต์มีความยาวพันธะ Bi-O เท่ากับ 2.354 Å 2.372 Å 2.516 Å และ 2.628 Å และมีความยาวพันธะ V-O เท่ากับ 1.69 Å และ 1.77 Å ในขณะที่โครงสร้างเตตระโกนอลแบบซีไลต์มีความยาวพันธะ Bi-O เท่ากับ 2.453 Å 2.499 Å และมีความยาวพันธะ V-O เท่ากับ 1.73 Å การที่โครงสร้างมีความยาวพันธะไม่เท่ากันเกิดเนื่องมาจาก โครงสร้างโมโนคลินิกแบบซีไลต์มีการบิด (distortion) ของพันธะ Bi-O และ V-O มากกว่าโครงสร้างเตตระโกนอลแบบซีไลต์ ทำให้ความยาวของพันธะโครงสร้างโมโนคลินิกแบบซีไลต์มีค่าความยาวพันธะ Bi-O ที่แตกต่างกันถึง 4 แบบ ซึ่งการที่ความยาวของพันธะโครงสร้างมีการบิดที่ต่างกันนั้นส่งผลถึงแถบช่องว่างพลังงานของวัสดุด้วย และเมื่อศึกษาแถบช่องว่างพลังงานของโครงสร้างโมโนคลินิกแบบซีไลต์และโครงสร้างเตตระโกนอลแบบซีไลต์พบว่าโครงสร้างโมโนคลินิกแบบซีไลต์มีค่าแถบช่องว่างพลังงานประมาณ 2.4 อิเล็กตรอนโวลต์ ในขณะที่โครงสร้างเตตระโกนอลแบบซีไลต์มีค่าแถบช่องว่างพลังงานประมาณ 2.9 อิเล็กตรอนโวลต์ การที่โครงสร้างโมโนคลินิกแบบซีไลต์มีค่าแถบช่องว่างพลังงานที่น้อยกว่า เนื่องจากภาพที่ 2.5 ในแถบวาเลนซ์ (valence band)จะมีชั้นของ O 2p และ Bi 6s อยู่ในชั้นนั้น ทำให้เมื่อตัวเร่งได้รับพลังงานที่กระตุ้นได้มากกว่าหรือเท่ากับ 2.4 อิเล็กตรอนโวลต์ อิเล็กตรอนในแถบวาเลนซ์จะเคลื่อนที่ไปยังแถบการนำไฟฟ้า (conduction band) ได้ ในขณะที่ในแถบวาเลนซ์ของโครงสร้างเตตระโกนอลแบบซีไลต์ จะมีเพียงชั้น O 2p เพียงอย่างเดียว ทำให้ตัวเร่งต้องได้รับพลังงานที่กระตุ้นได้มากกว่าหรือเท่ากับ 2.9 อิเล็กตรอนโวลต์ อิเล็กตรอนในแถบวาเลนซ์จะเคลื่อนที่ไปยังแถบการนำไฟฟ้าได้ โดยสมบัติของบิสมัทวานาเดตแสดงดังตารางที่ 2.2



ภาพที่ 2.5 แถบโครงสร้างพลังงานของโครงสร้างผลึกบิสมัทวานาเดตเตตระโกนอลแบบซีไลต์ (s-t BiVO₄) และ โมโนคลินิกแบบซีไลต์ (s-m BiVO₄)(8)

ตารางที่ 2.2 สมบัติของบิสมัทวานาเดต (Properties of Bismuth Vanadate)

ชื่อ (Name)	บิสมัทวานาเดต (Bismuth vanadate)
สูตรทางเคมี (Formula)	BiVO_4
ชื่ออื่น ๆ (Synonyms)	บิสมัททออร์โทวานาเดต, บิสมัทวานาเดต วานา ดิก แอซิก, บิสมัท ซอลส์
น้ำหนักโมเลกุล (Molecular weight)	323.92 กรัมต่อโมล
จุดหลอมเหลว (Melting point)	934 องศาเซลเซียส
จุดเดือด (Boiling point)	1997 องศาเซลเซียส
โครงสร้างผลึก (Structure)	โมโนคลินิก(Monoclinic), เตตระโกนอล(Tetragonal)
การติดไฟ (Combustibility)	ไม่ติดไฟ
กลิ่น (Odor)	ไม่มีกลิ่น
ลักษณะ (Appearance)	เป็นผงของแข็งสีเหลือง
การละลายในน้ำ (Solubility in water)	ไม่ละลายในน้ำ, ละลายได้ดีในกรดแก่
ความเสถียรภาพ (Stability)	มีความเสถียรภายใต้สภาวะปกติ
ความหนาแน่น (Density)	6.95 กรัมต่อลูกบาศก์เซนติเมตร
แถบช่องว่างพลังงาน (Band gap)	2.4 อิเล็กตรอนโวลต์สำหรับโครงสร้างแบบโม โนคลินิก, 2.9 อิเล็กตรอนโวลต์สำหรับโครงสร้าง แบบเตตระโกนอล
ค่าความถ่วงจำเพาะ (Specific gravity)	6.98

2.2 การนำไปใช้ประยุกต์ใช้งาน (Application)

บิสมัทวานาเดต มีความเป็นเม็ดสีเหลืองคุณภาพสูง สามารถย้อมติดได้ดี (good tinting) ปกปิดพื้นผิวได้ดี (high hiding) นอกจากนี้ยังมีความความต้านทานต่อตัวทำละลาย, กรด, ด่าง และก๊าซซัลเฟอร์ไดออกไซด์ และมีความคงทนต่อแสงอาทิตย์ และทนต่อสภาพอากาศ ทำให้มีความเหมาะสมที่จะใช้ในงานด้านต่างๆ หลายด้าน อาทิเช่น ด้านอุตสาหกรรม เช่น การเคลือบ

สียานยนต์ เคลือบผลิตภัณฑ์ เคลือบเซรามิก ใช้เป็นตัวตรวจจับสน้ำ ใช้เป็นขั้วไฟฟ้าประจุบวก ในแบตเตอรี่ลิเทียม และใช้เป็นสีทาได้ เป็นต้น ด้านสิ่งแวดล้อม เช่น การย่อยสลายสารอินทรีย์ เป็นต้น

2.3 กระบวนการเตรียมบิสมัทวานาเดต (Bismuth vanadate preparations)

การเตรียมบิสมัทวานาเดตสามารถเตรียมได้หลายวิธี ได้แก่ การเตรียมด้วยการเกิดปฏิกิริยาในสถานะของแข็ง (solid state reaction), การเตรียมด้วยวิธีการตกตะกอนร่วม (coprecipitation), การเตรียมด้วยวิธีการไฮโดรเทอร์มัล (hydrothermal reaction), การเตรียมด้วยวิธีการไฮโดร-โซโวเคมีคัล (hydrothermal and sovochemical reactions), การเตรียมด้วยวิธีการโซล-เจล (sol-gel process), และการเตรียมด้วยวิธีไมโครเวฟ (microwave process) เป็นต้น โดยกระบวนการที่ใช้ในการเตรียมส่งผลต่อสมบัติของตัวเร่งปฏิกิริยาเชิงแสงที่เตรียมได้

2.3.1 การเตรียมด้วยการเกิดปฏิกิริยาในสถานะของแข็ง (Solid state reaction)(9)

การเตรียมด้วยการเกิดปฏิกิริยาในสถานะของแข็งเป็นวิธีที่เตรียมง่าย และสามารถสังเคราะห์ให้ได้ในปริมาณที่มาก เป็นวิธีการเตรียมตัวอย่างแบบผง โดยนำสารตั้งต้นที่มีสถานะเป็นของแข็งมาในอัตราส่วนที่ต้องการ จากนั้นจึงนำไปปด และผสมให้เป็นเนื้อเดียวกัน ต่อมานำไปเผาที่อุณหภูมิและเวลาต่างๆ ตามที่ต้องการ โดยปัจจัยที่มีผลต่อการเกิดปฏิกิริยาในสถานะของแข็ง เช่น ธรรมชาติของสารตั้งต้น และสารที่ได้จากการทำปฏิกิริยา ขนาดของอนุภาค และลักษณะการกระจายตัวของอนุภาค โดยถ้าใช้อนุภาคที่มีขนาดเล็ก อัตราการเกิดปฏิกิริยาจะสูงขึ้น เนื่องจากมีพื้นที่ผิวในการเกิดปฏิกิริยามากขึ้น และอนุภาคของสารตั้งต้นเคลือบที่ด้วยระยะทางที่ใกล้ทำให้สามารถเกิดได้เร็วขึ้น นอกจากนี้ยังมีปัจจัยอื่นๆ ประกอบด้วย เช่น การผสมให้เป็นเนื้อเดียวกันของอนุภาค ความบริสุทธิ์ของสารตั้งต้น อุณหภูมิ และเวลาที่ใช้ในการสังเคราะห์ เป็นต้น การเตรียมด้วยการเกิดปฏิกิริยาในสถานะของแข็ง เป็นการเตรียมที่มีความนิยมใช้มากที่สุด เนื่องจากมีค่าใช้จ่ายน้อยเมื่อเทียบกับวิธีอื่นๆ และขั้นตอนไม่ซับซ้อน อย่างไรก็ตามวิธีการเตรียมดังกล่าวก็มักจะมีปัญหาคือ สารที่ได้จากการสังเคราะห์เป็นอนุภาคที่มีขนาดใหญ่ มักมีการเกาะกลุ่มเป็นก้อนโต (agglomeration) นอกจากนั้นสารที่สังเคราะห์ได้บางที่มี

ความบริสุทธิ์ต่ำ มีการปนเปื้อนสิ่งแปลกปลอม (contamination) ที่อาจปะปนมาจากอุปกรณ์ที่ใช้เตรียม ทำให้บางที่อาจได้เฟสที่ไม่ต้องการในสารที่สังเคราะห์

2.3.2 การเตรียมด้วยกระบวนการตกตะกอนร่วม (Co-precipitation) (7)

การเตรียมตัวเร่งปฏิกิริยาด้วยกระบวนการตกตะกอนร่วมถือ เป็นวิธีที่ได้รับความนิยมอีกวิธีหนึ่ง เนื่องจากสามารถเตรียมได้ง่าย ได้ผลิตภัณฑ์ออกมาที่มีความบริสุทธิ์สูง โดยในกระบวนการตกตะกอนร่วมยังมีส่วนในการควบคุมลักษณะเฉพาะของวัสดุที่สังเคราะห์ ให้มีขนาด รูปร่าง การกระจายตัวของอนุภาค และพื้นที่ผิวจำเพาะที่ต้องการได้ นอกจากนี้ระยะเวลาในการปั่นกววนของสารละลายที่ใช้ระยะเวลาพอ ยังมีผลต่อการที่จะทำให้ได้ปริมาณตัวเร่งปฏิกิริยามากตามไปด้วย แต่อย่างไรก็ตามการใช้ระยะเวลาในการปั่นกววนสารที่นานเกินไปก็ไม่ใช่วิธีที่ดีเสมอไป เนื่องจากว่าอนุภาคที่ได้ออกมาจะเกิดการมาเกาะกลุ่มกันเป็นก้อนขนาดใหญ่ ซึ่งจะส่งผลต่อประสิทธิภาพการเร่งปฏิกิริยาเชิงแสงได้ กระบวนการตกตะกอนร่วมสามารถทำได้ โดยการผสมกันระหว่างสารละลายที่มีส่วนประกอบของสารที่จะใช้ในการสังเคราะห์ และสารละลายที่จะใช้เป็นตัวรองรับ จากนั้นทำการเติมตัวตกตะกอน (precipitant) ลงไป โดยขั้นตอนนี้จะเป็นการรวมตัวกันของตัวตกตะกอน และสารที่จะเกิดไปเป็นตะกอน ปั่นกววนให้เข้ากัน โดยจะเป็นการเร่งปฏิกิริยาการเกิดการตกตะกอน และเป็นการย่อยตะกอน ทำให้ตะกอนมีการรวมตัวกันทำให้มีกลุ่มก้อนของตะกอนที่ใหญ่ขึ้น หลังจากนั้นจึงนำไปกรอง ซึ่งเป็นการแยกตะกอนออกจากสารละลาย โดยทั่วไปนิยมใช้เป็นกระดาษกรอง หรือวัสดุที่เหมาะสมกับขนาดอนุภาคของตะกอน ต่อจากนั้นจึงนำตะกอนที่กรองได้ไปล้างตะกอน และนำไปทำให้ตะกอนแห้ง

กระบวนการตกตะกอนจะเกิดขึ้นเมื่อมีการเติมตัวตกตะกอนเข้าไปในสารละลายที่เตรียมไว้ แล้วทำให้สารละลายนั้นมีความอิ่มตัวยังยวด (supersaturated solution) โดยการตกตะกอนจะเกิดขึ้นได้จะประกอบด้วย การเกิดนิวเคลียส (nucleation) และการเติบโต (growth) โดยเกิดขึ้นจากการที่อนุภาคเล็กๆ ที่เรียกว่า นิวคลีไอ (nuclei) เกิดการรวมตัวกัน จากนั้นเกิดการเติบโตขยายเป็นอนุภาคที่ใหญ่ขึ้น เรียกว่า อนุภาคคอลลอยด์ (colloidal particle) ในการเกิดปฏิกิริยาถ้าอัตราการเกิดนิวเคลียสสูง จะทำให้อัตราการโตช้า ทำให้อนุภาคตะกอนที่ได้ออกมามีขนาดเล็ก ในทางตรงกันข้ามถ้าอัตราการเกิดนิวเคลียสต่ำ จะทำให้อัตรา

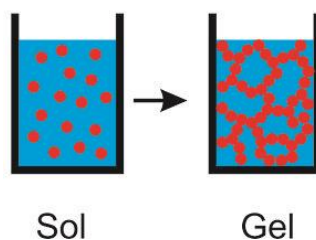
การโตเร็ว ทำให้อนุภาคตะกอนที่ได้ออกมา มีขนาดใหญ่ นอกจากนี้ยังมีที่ส่งผลต่อขนาดอนุภาค ตะกอน เช่น อุณหภูมิ ความเข้มข้นของสาร อัตราเร็วในการผสมสาร และสภาพการละลายของ ตะกอน เป็นต้น

2.3.3 การเตรียมด้วยกระบวนการไฮโดร-โซลเจลเทอร์มัล (Hydrothermal and solvochemical reactions) (10),(11)

การเตรียมด้วยกระบวนการไฮโดร-โซลเจลเทอร์มัล เป็นการสังเคราะห์สารภายใต้สภาวะที่มี อุณหภูมิ สารละลาย และความดันในภาชนะปิด (autoclave) เป็นกระบวนการที่เตรียมง่าย สามารถทำได้ในขั้นเดียว และใช้อุณหภูมิต่ำในการสังเคราะห์ไม่สูง ผลิตภัณฑ์ที่สังเคราะห์ได้มี ความเป็นเนื้อเดียวกันสูงโดยการเตรียมด้วยกระบวนการนี้ยังมีส่วนในการควบคุมลักษณะเฉพาะ ของวัสดุที่สังเคราะห์ ให้มีขนาด รูปร่าง การกระจายตัวของอนุภาคที่ต้องการได้ขนาด ความ แตกต่างของกระบวนการไฮโดรเทอร์มัลกับกระบวนการโซลเจลเทอร์มัลคือ กระบวนการไฮโดรเทอร์ มัลจะใช้น้ำในการเป็นสารละลาย ในขณะที่โซลเจลเทอร์มัลจะใช้สารละลายอื่นๆ เช่น เอทานอล เมทานอล เป็นต้น

2.3.4 การเตรียมด้วยกระบวนการโซลเจล (Sol-gel process) (12)

การเตรียมด้วยกระบวนการโซลเจล เป็นกระบวนการเตรียมทางเคมีแบบเปียก (wet process) โดยทั่วไปกระบวนการทั่วไปเริ่มจากการที่เตรียมสารตั้งต้นในรูปสารละลายมาผสมกัน จนเกิดผลิตภัณฑ์ที่เป็นสายโซ่ยาวเกิดขึ้น โดยเป็นกระบวนการเปลี่ยนสถานะจากของเหลวที่ เรียกว่า โซล (sol) เป็นของแข็งที่เรียกว่า (gel) ดังแสดงในภาพที่ 2.6 การเตรียมด้วย กระบวนการโซลเจลได้รับความนิยมอย่างมากในการผลิตวัสดุ เนื่องจากสามารถนำมาใช้ผลิต ให้ได้วัสดุในรูปแบบต่างๆ เช่น ไฟเบอร์ ผง การเคลือบฟิล์ม และตัวเร่งปฏิกิริยา เป็นต้น นอกจากนี้การผลิตด้วยกระบวนการโซลเจลยังให้วัสดุที่มีความบริสุทธิ์สูงด้วย เพราะว่าเป็นการ เตรียมสารในระดับโมเลกุล ทำให้สามารถกำหนดสมบัติต่างๆ ได้



ภาพที่ 2.6 กระบวนการโซลเจลโดยแสดงกระบวนการเปลี่ยนสถานะจากโซลเป็นเจล(13)

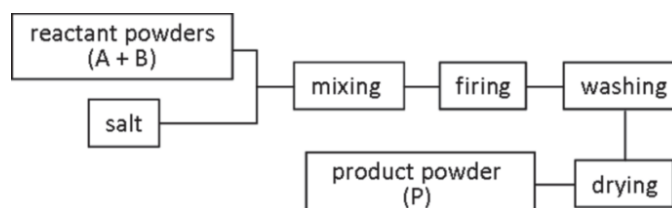
2.3.5. การเตรียมด้วยกระบวนการไมโครเวฟ (Microwave process)(14)

การเตรียมด้วยกระบวนการไมโครเวฟ เป็นการเตรียมโดยใช้คลื่นไมโครเวฟที่มีความถี่ในช่วง 300 เมกะเฮิรตซ์ถึง 300 กิกะเฮิรตซ์ ข้อดีของกระบวนการนี้คือ เตรียมได้ง่าย และใช้เวลาในการเกิดปฏิกิริยาน้อยกว่าวิธีการสังเคราะห์แบบอื่น แต่ก็ยังมีข้อเสียคือ ไม่สามารถสังเคราะห์ในปริมาณที่มากได้ โดยหลักการทำงานของกระบวนการไมโครเวฟคือ ไมโครเวฟแผ่คลื่นไมโครเวฟไปทุกทิศทางในเตา ทำให้วัสดุที่เตรียมในการสังเคราะห์สามารถดูดกลืนคลื่นได้ เมื่อคลื่นไปกระทบกับวัสดุทุกทิศทางจะทำให้อัตราการเกิดปฏิกิริยาเกิดได้สูง โดยกระบวนการนี้สามารถที่จะควบคุมอุณหภูมิ และเวลาที่ใช้ในการสังเคราะห์ได้อย่างแม่นยำ ซึ่งจะส่งผลต่อคุณสมบัติของวัสดุที่สังเคราะห์ได้

2.3.6 การเตรียมด้วยกระบวนการเกลือหลอมละลาย (Molten salt process)(15)

การเตรียมด้วยกระบวนการเกลือหลอมละลาย (molten salt process) เป็นหนึ่งในวิธีที่ใช้ในการสังเคราะห์ตัวเร่งปฏิกิริยาเชิงแสง โดยการให้เกลือเป็นตัวกลาง (medium) ในการเตรียมสารประกอบออกไซด์ (complex oxides) กระบวนการนี้จะเริ่มต้นด้วยการเป็นการผสมเกลือเข้ากับสารตั้งต้นที่ใช้ในการสังเคราะห์ โดยเกลือที่ใช้จะทำหน้าที่เหมือนสารเติมแต่ง (additives) ที่จะเข้าไปเพิ่มอัตราเกิดปฏิกิริยาในสถานะของแข็งให้เพิ่มขึ้นในระยะเวลาที่ยาวขึ้น โดยเมื่อวิธีการคือจะต้องให้ความร้อนที่มากกว่าจุดหลอมเหลวของเกลือ เพื่อที่เกลือจะเกิดการหลอมเหลวขึ้น และเกิดการฟอรัมตัวของอนุภาคเกิดขึ้น โดยอนุภาคเกลือที่หลอมละลาย และการเลือกอุณหภูมิที่ใช้ในการสังเคราะห์นี้จะมีส่วนในการควบคุมลักษณะเฉพาะของวัสดุที่สังเคราะห์ ให้มีขนาดและรูปร่างที่ต้องการ ต่อมาเมื่อได้สังเคราะห์ได้ผลิตภัณฑ์ที่ต้องการแล้วก็ต้องนำมาล้างเกลือออก

ด้วยน้ำกลั่น หรือเอทานอล แล้วจึงนำผลิตภัณฑ์ที่ได้ไปทำให้แห้ง จากกระบวนการที่กล่าวมาข้างต้นจะเห็นว่าเป็นกระบวนการที่เหมือนกับกระบวนการเกิดปฏิกิริยาในสถานะของแข็ง (solid state reaction) เพียงแต่จะมีการเติมเกลือเข้ามา และตอนท้ายมีการล้างเกลือออกไป ดังภาพที่ 2.7



ภาพที่ 2.7 การเตรียมวัสดุในกระบวนการเกลือหลอมละลาย(15)

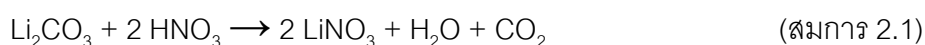
ดังนั้นจึงเห็นได้ว่ากระบวนการเกลือหลอมละลายเป็นกระบวนการที่สามารถทำได้ง่าย และสามารถสังเคราะห์ให้ได้ในปริมาณที่มาก เกลือที่ใช้ส่วนใหญ่อยู่ในกลุ่มของซัลไฟต์ คลอไรด์ และไนเตรต คุณสมบัติของเกลือที่ดีจะต้องมีความเสถียร (stable) ละลายน้ำได้ง่าย เพื่อที่จะง่ายต่อการล้างออก นอกจากนั้นแล้วต้องราคาไม่แพง และหาซื้อได้ง่าย

2.4 เกลือในกลุ่มไนเตรต (nitratesalt)(16)

เกลือในกลุ่มไนเตรต คือเกลือที่มีอนุพันธ์เป็นไนเตรต โดยทั่วไปได้แก่ เกลือลิเทียมไนเตรต (LiNO_3) และโซเดียมไนเตรต (NaNO_3) ซึ่งเกลือที่มีลักษณะเป็นผงผลึกสีขาว ไม่มีกลิ่น สามารถละลายน้ำได้ง่าย

-เกลือลิเทียมไนเตรต

เกลือลิเทียมไนเตรต มีลักษณะเป็นผลึกสีขาว สังเคราะห์ได้จากกรดไนตริกและลิเทียมคาร์บอเนต ดังสมการที่ 2.1



เมื่อมีการสลายตัวทางความร้อน (thermal decomposition) โดยเกลือลิเทียมไนเตรตจะให้ ลิเทียมออกไซด์ และออกซิเจน ดังสมการที่ 2.2



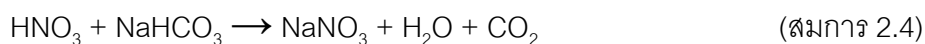
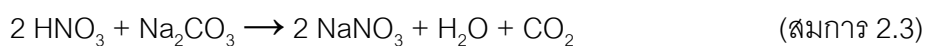
โดยเกลือลิเทียมไนเตรตมีสมบัติดังตารางที่ 2.3

ตารางที่ 2.3 คุณสมบัติของเกลือลิเทียมไนเตรต(17)

ชื่อ (Name)	ลิเทียมไนเตรต (Lithium Nitrate)
สูตรทางเคมี (Formula)	LiNO ₃
น้ำหนักโมเลกุล(Molecular weight)	68.946 กรัมต่อโมล
ความหนาแน่น (Density)	2.38 กรัมต่อลูกบาศก์เซนติเมตร
จุดหลอมเหลว (Melting point)	255 องศาเซลเซียส
จุดเดือด (Boiling point)	600 องศาเซลเซียส
ลักษณะภายนอก (Appearance)	ของแข็งสีขาวจนถึงสีเหลืองอ่อน
กลิ่น (Odor)	ไม่มีกลิ่น
ความสามารถในการละลายน้ำ (Solubility in water)	234 กรัมต่อ 100 มิลลิลิตรที่อุณหภูมิ 100 องศาเซลเซียส
ความสามารถในการละลาย (Solubility)	เอทานอล เมทานอล ไพริดีน แอมโมเนีย และอะซิโตน

-เกลือโซเดียมไนเตรต

เกลือโซเดียมไนเตรต เป็นเกลือที่มีลักษณะของแข็ง สีขาว ดังรูปภาพที่ 2.9 สามารถละลายได้ดีในน้ำ โดยเกลือโซเดียมไนเตรต สามารถสังเคราะห์ได้จากการทำปฏิกิริยากันของกรดไนตริกกับโซเดียมคาร์บอเนต หรือโซเดียมไบคาร์บอเนต ดังสมการที่ 2.3 และ 2.4



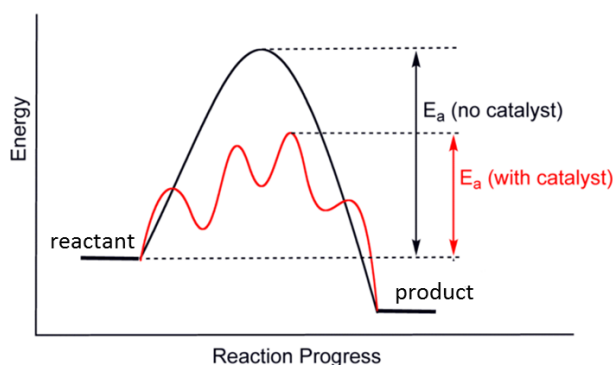
โดยเกลือโซเดียมไนเตรตมีสมบัติดังตารางที่ 2.4

ตารางที่ 2.4 คุณสมบัติของเกลือโซเดียมไนเตรต(17)

ชื่อ (Name)	โซเดียมไนเตรต (Sodium Nitrate)
สูตรทางเคมี (Formula)	NaNO ₃
น้ำหนักโมเลกุล(Molecular weight)	84.9947 กรัมต่อโมล
ความหนาแน่น (Density)	2.257 กรัมต่อลูกบาศก์เซนติเมตร
จุดหลอมเหลว (Melting point)	310 องศาเซลเซียส
จุดเดือด (Boiling point)	380 องศาเซลเซียส
ลักษณะภายนอก (Appearance)	ของแข็งสีขาว
กลิ่น (Odor)	ไม่มีกลิ่น
ความสามารถในการละลายน้ำ (Solubility in water)	180 กรัมต่อ 100 มิลลิลิตรที่อุณหภูมิ 100 องศาเซลเซียส
ความสามารถในการละลาย (Solubility)	ละลายได้ดีในน้ำเอทานอล เมทานอล ละลายได้บ้างในไพรีดีน และไม่ละลาย ในอะซิโตน

2.5 หลักการการเกิดปฏิกิริยาเชิงแสง (Fundamental of Photocatalysis Reaction)

หลักการการเกิดปฏิกิริยาเชิงแสง เป็นการเกิดปฏิกิริยาเคมีของตัวเร่งปฏิกิริยาหรือตัวคะตะลิสต์(catalyst) เช่น สารกึ่งตัวนำ บิสมัทวานาเดต โดยการใช้แสงในการกระตุ้น ซึ่งตัวเร่งปฏิกิริยาจะไม่สลาย หรือหายไปเมื่อปฏิกิริยานั้นเสร็จสิ้นลง เมื่อตัวเร่งปฏิกิริยาถูกกระตุ้นด้วยแสง ซึ่งมีการให้พลังงานโฟตอน (photon energy) มากพอที่จะทำปฏิกิริยาขึ้นได้ ซึ่งต้องมีค่ามากกว่าหรือเท่ากับค่าแถบช่องว่างพลังงาน(band gap energy) จึงจะทำให้เกิดปฏิกิริยาขึ้นได้ ($E \geq E_{bg}$)



ภาพที่ 2.8 การเปรียบเทียบพลังงานการเกิดออกซิเดชันของสารอินทรีย์แบบไม่มีตัวเร่งปฏิกิริยาและแบบมีตัวเร่งปฏิกิริยา(18)

โดยจากภาพที่ 2.8 จะแสดงให้เห็นถึงการเกิดปฏิกิริยาออกซิเดชันของสารอินทรีย์ที่มีตัวเร่งปฏิกิริยาเปรียบเทียบกับปฏิกิริยาออกซิเดชันของสารอินทรีย์ที่ไม่มีตัวเร่งปฏิกิริยา พบว่าค่าพลังงานการกระตุ้นการเกิดปฏิกิริยาของปฏิกิริยาที่ไม่มีตัวเร่งปฏิกิริยา มีค่ามากกว่า และค่าพลังงานการกระตุ้นการเกิดปฏิกิริยาจะลดลงไปสำหรับปฏิกิริยาที่มีตัวเร่งปฏิกิริยา ถึงแม้ว่าพลังงานของสารตั้งต้น และผลิตภัณฑ์จะยังคงเท่าเดิม จะเห็นได้ว่าตัวเร่งปฏิกิริยาช่วยให้อัตราการเกิดปฏิกิริยาเคมีเร็วขึ้น โดยการลดพลังงานกระตุ้น นอกจากนี้ตัวเร่งปฏิกิริยายังสามารถตอบสนองต่อแสงได้ โดยสามารถเกิดการกระตุ้นได้เมื่อมีการให้พลังงานที่มีมากกว่าหรือเท่ากับค่าแถบช่องว่างพลังงาน (band gap energy)

การเกิดปฏิกิริยาเชิงแสง จะต้องมีองค์ประกอบดังต่อไปนี้

1. พลังงานแสง ที่มีค่ามากกว่าหรือเท่ากับค่าแถบช่องว่างพลังงาน
2. ตัวเร่งปฏิกิริยา เช่น โลหะตัวนำ (transition metal), สารกึ่งตัวนำ (semiconductor)
3. ออกซิเจน หรือ ตัวออกซิแดนท์ (oxidants) อื่นๆ
4. น้ำ

2.5.1 พลังงานแสง

การฉายแสงในกระบวนการเกิดปฏิกิริยาเชิงแสง คือการให้พลังงานโฟตอนหรือพลังงานกระตุ้นกับระบบ เมื่อให้พลังงานโฟตอนมากพอก็จะทำให้สามารถเกิดปฏิกิริยาขึ้นได้ โดยสามารถคำนวณได้จากสมการของพลังค์ (Planck's equation) ดังต่อไปนี้

$$E = hv = hc / \lambda$$

โดยที่ E คือ พลังงานควอนตัม (Quantum Energy, จูล)

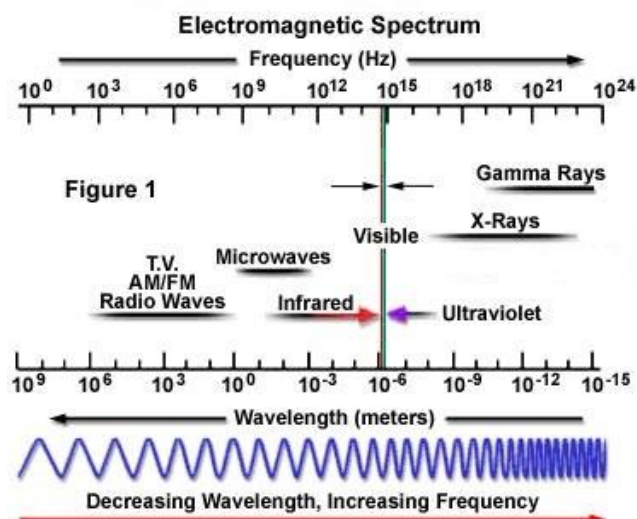
h คือ ค่าคงที่ของพลังค์ (Planck's Constant) มีค่า 6.625×10^{-34} จูลต่อวินาที

c คือ ความเร็วของคลื่นแสงมีค่า 2.998×10^8 เมตรต่อวินาที

λ คือ ความยาวคลื่นแสง (นาโนเมตร)

v คือ ความถี่ของคลื่นแสง (เฮิรตซ์ หรือ ต่อวินาที⁻¹)

ความสัมพันธ์ระหว่างพลังงานและคลื่นแสงจะพบว่า เมื่อคลื่นแสงมีความยาวคลื่นลดลง จะมีพลังงานแสงมากขึ้น ดังภาพที่ 2.9

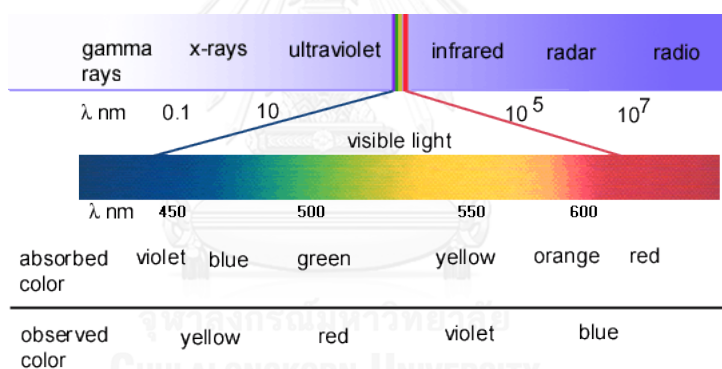


ภาพที่ 2.9 สเปกตรัมของคลื่นแม่เหล็กไฟฟ้า(19)

ตารางที่ 2.5 แสดงชนิดแสงต่างๆ ของพลังงานแสงอาทิตย์(20)

ชนิดแสงต่างๆ	ความยาวคลื่น (นาโนเมตร)
รังสีอัลตราไวโอเล็ตซี (ultraviolet C, UVC)	100-280
รังสีอัลตราไวโอเล็ตบี (ultraviolet B, UVB)	280-315
รังสีอัลตราไวโอเล็ตเอ (ultraviolet A, UVA)	315-400
แสงที่ตามองเห็น (visible light)	400-700
รังสีอินฟราเรด (infrared light)	700-1700

ถึงแม้ว่าแสงอัลตราไวโอเล็ตจะมีพลังงานสูง จึงได้รับความสนใจในการนำมาใช้ในกระบวนการเกิดปฏิกิริยาเชิงแสง แต่อย่างไรก็ตามแสงที่ตามองเห็น (visible light) ได้รับความสนใจในกระบวนการเกิดปฏิกิริยาเชิงแสงเป็นอย่างมากกว่า เนื่องจากว่าเป็นพลังงานที่พบมากในพลังงานแสงอาทิตย์ที่ส่องมายังโลก ในขณะที่แสงอัลตราไวโอเล็ตที่พบในดวงอาทิตย์มีแค่ 4 เปอร์เซ็นต์จากพลังงานทั้งหมด



ภาพที่ 2.10 ความยาวคลื่นแสงในช่วงต่างๆ จากดวงอาทิตย์(21)

2.5.2 ชนิดของการเร่งปฏิกิริยาเชิงแสง

การเร่งปฏิกิริยาเชิงแสง สามารถแบ่งได้ 2 ประเภท โดยพิจารณาจากสถานะของตัวเร่งปฏิกิริยา

1. การเร่งปฏิกิริยาเชิงแสงแบบสถานะเดียว (Homogeneous photocatalysis) เป็นการที่ใช้ตัวเร่งปฏิกิริยาซึ่งมีสถานะเดียวกับสารอินทรีย์ที่ต้องการกำจัด โดยทั่วไปนิยมใช้ตัวเร่งปฏิกิริยาเป็นของเหลว มีข้อดีคือสามารถเร่งปฏิกิริยาได้ง่าย แต่ในขณะเดียวกันการแยกตัวเร่งปฏิกิริยาออกจาก

สารตั้งต้นและสารผลิตภัณฑ์นั้นทำได้ยาก ทำให้การนำกลับมาใช้ใหม่ของตัวเร่งปฏิกิริยามีค่าใช้จ่ายสูง

2. การเร่งปฏิกิริยาเชิงแสงแบบสถานะต่าง (Heterogeneous photocatalysis) เป็นการที่ใช้ตัวเร่งปฏิกิริยาซึ่งมีสถานะต่างกับสารอินทรีย์ที่ต้องการกำจัด โดยทั่วไปนิยมใช้ตัวเร่งปฏิกิริยาเป็นของแข็ง

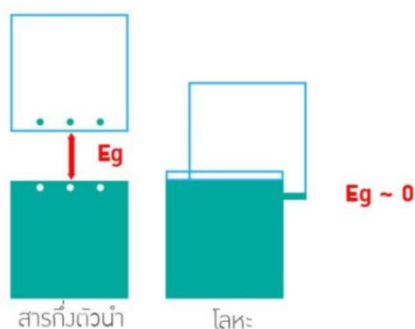
2.5.3 ตัวเร่งปฏิกิริยาหรือตัวแคตตาลิสต์(Catalyst)

ตัวเร่งปฏิกิริยาหรือตัวแคตตาลิสต์(catalyst) คือ สารที่เติมลงไปปฏิกิริยาแล้ว ทำให้ช่วยเพิ่มอัตราการเกิดปฏิกิริยา โดยที่ระหว่างการเกิดปฏิกิริยานั้นตัวเร่งปฏิกิริยาจะต้องมีสมบัติเหมือนเดิม ไม่เกิดการสูญหายไป และไม่ทำให้ปฏิกิริยานั้นเกิดสารที่ไม่ต้องการ โดยตัวเร่งปฏิกิริยาจะทำหน้าที่ลดพลังงานการกระตุ้นของการเกิดปฏิกิริยา (activation energy, E_a) ให้ต่ำลง จึงทำให้มีโมเลกุลที่มีพลังงานสูงกว่าหรือเท่ากับพลังงานการกระตุ้นของการเกิดปฏิกิริยามากขึ้น จึงไปเพิ่มอัตราเร็วของปฏิกิริยา

สารที่ใช้เป็นตัว catalyst ในปฏิกิริยา photocatalysis ได้แก่

- 1) โลหะตัวนำ (transition Metal) เช่น ทองแดง โคบอลต์ นิกเกิล เป็นต้น
- 2) สารกึ่งตัวนำ (semiconductor) เช่น ไทเทเนียมไดออกไซด์ สังกะสีออกไซด์ (ZnO) แคดเมียมซัลไฟด์ (CdS) เป็นต้น

เมื่อพิจารณาในโครงสร้างแถบพลังงานจะประกอบด้วยแถบวาเลนซ์ (valence band) และแถบการนำไฟฟ้า(conduction band) ในโลหะตัวนำจะมีแถบวาเลนซ์และแถบการนำไฟฟ้าอยู่ใกล้กัน ทำให้ช่องว่างระหว่างแถบพลังงานซ้อนทับกัน ในขณะที่สารกึ่งตัวนำจะมีแถบวาเลนซ์และแถบการนำไฟฟ้าจะไม่ติดกัน ทำให้เกิดเป็นช่องว่างระหว่างแถบพลังงาน(band gap)

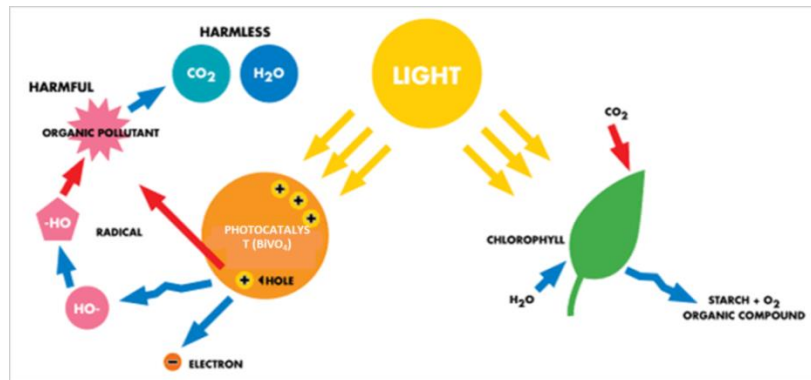


ภาพที่ 2.11 แถบพลังงานของสารกึ่งตัวนำและโลหะ(2)

การที่โลหะไม่มีช่องว่างระหว่างแถบพลังงาน ทำให้เมื่อมีพลังงานมากกระตุ้น อิเล็กตรอนที่อยู่แถบวาเลนซ์สามารถเคลื่อนที่ไปแถบนำไฟฟ้าได้ง่าย แต่ในขณะเดียวกันก็สามารถเคลื่อนที่กลับไปแถบวาเลนซ์ได้ง่ายเช่นกัน ทำให้เกิดปัญหาการรวมตัวกันใหม่ของคู่อิเล็กตรอนและโฮล (recombination) ได้ง่าย ในขณะที่สารกึ่งตัวนำจะมีช่องว่างระหว่างแถบพลังงานคั่นอยู่ทำให้การรวมตัวกันใหม่ของอิเล็กตรอนและโฮลเกิดขึ้นได้ยากกว่าโลหะ

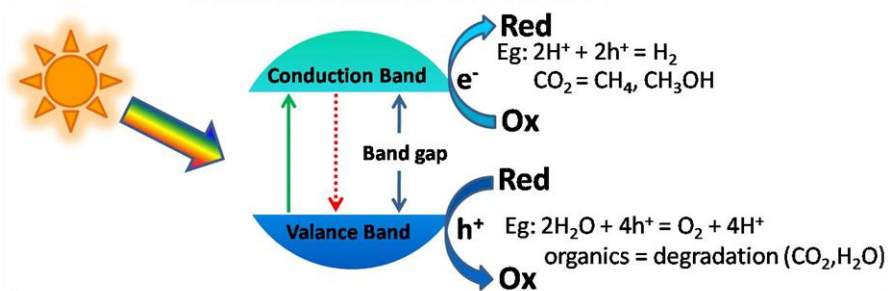
2.5.4 กลไกการเกิดปฏิกิริยาเชิงแสง (Mechanism of Photocatalysis Reaction)

การเกิดปฏิกิริยาเชิงแสงของบิสมัทวาเดอิตจะทำหน้าที่ตรงกันข้ามกับการสังเคราะห์แสงในพืช คือในการสังเคราะห์แสงในพืชจะมีการใช้คลอโรฟิลล์ในการดูดซับแสงและเปลี่ยนให้คาร์บอนไดออกไซด์และน้ำ กลายเป็นออกซิเจน และกลูโคส ในขณะที่การเกิดปฏิกิริยาเชิงแสงของบิสมัทวาเดอิตจะทำหน้าที่ในการย่อยสลายสารอินทรีย์ที่เป็นพิษให้กลายเป็นคาร์บอนไซด์และน้ำ ดังภาพที่ 2.12



ภาพที่ 2.12 กลไกการเกิดปฏิกิริยาเชิงแสงของบิสมัทวานาเดตและการสังเคราะห์แสงในพืช(23)

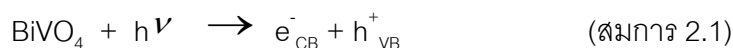
ในการเกิดปฏิกิริยาเชิงแสง เกิดขึ้นเมื่อพลังงานแสงมากกระตุ้นตัวเร่งปฏิกิริยา ทำให้เกิดคู่อิเล็กตรอนและโฮล (Electron – Hole Pairs, e^-/h^+) เกิดขึ้น โดยเกิดจากการที่อิเล็กตรอนที่อยู่ในชั้นวาเลนซ์ เคลื่อนที่ไปชั้นแถบการนำไฟฟ้า จากนั้นจะเกิดโฮลที่ชั้นแถบการนำไฟฟ้าขึ้น ต่อมาอิเล็กตรอนจะเกิดปฏิกิริยารีดักชัน (reduction) กับออกซิเจนในอากาศ และเกิดซูเปอร์ออกไซด์เรดิคัล (superoxide radical, $O_2^{\cdot-}$) ออกมา ในขณะที่โฮลจะเกิดปฏิกิริยาออกซิเดชัน (oxidation) กับน้ำและหมู่ไฮดรอกซิล ทำให้เกิดไฮดรอกซิลเรดิคัล (hydroxyl radical, OH^{\cdot}) ซึ่งทั้งสองปฏิกิริยาที่เกิดขึ้นจะมีความสามารถในการย่อยสลายสารอินทรีย์ที่เป็นพิษให้กลายเป็นคาร์บอนไดออกไซด์และน้ำ ดังภาพที่ 2.15



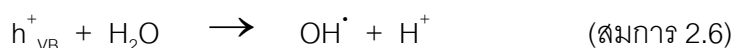
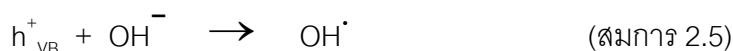
ภาพที่ 2.13 กลไกการเกิดปฏิกิริยาเชิงแสงของตัวเร่งปฏิกิริยาเชิงแสง(23)

กระบวนการเร่งปฏิกิริยาแสงของบิสมัทวานาเดตจะแสดงดังสมการต่อไปนี้

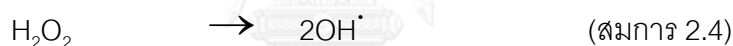
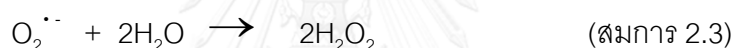
ปฏิกิริยาการกระตุ้นด้วยแสง



ปฏิกิริยาออกซิเดชัน



ปฏิกิริยารีดักชัน



2.5.5 ปัจจัยสำคัญที่ส่งผลต่อประสิทธิภาพทางกระบวนการเร่งปฏิกิริยาเชิงแสง

ปัจจัยที่ส่งผลต่อประสิทธิภาพทางกระบวนการเร่งปฏิกิริยาเชิงแสงนั้นมีหลายประการ โดยปัจจัยหลักที่สำคัญที่ควรพิจารณาคือ สมบัติของการเป็นตัวเร่งปฏิกิริยา ความสามารถในการดูดซับแสงของตัวเร่งปฏิกิริยา ขนาดและพื้นที่ผิวของตัวเร่งปฏิกิริยา การกระจายตัวของตัวเร่งปฏิกิริยา อัตราการเกิดปฏิกิริยารีดักชันและออกซิเดชันของอิเล็กตรอนและโฮล และอัตราการรวมตัวกันใหม่ของคู่อิเล็กตรอนและโฮล

ตัวเร่งปฏิกิริยาที่มีขนาดเล็ก ส่งผลให้มีพื้นที่ผิวในการเกิดปฏิกิริยาสูง ทำให้มีโอกาสที่จะดูดซับแสงที่มากทำปฏิกิริยาได้มาก จึงเกิดอัตราการเกิดปฏิกิริยารีดักชันและออกซิเดชันของอิเล็กตรอนและโฮลเร็วขึ้น ส่งผลให้ประสิทธิภาพทางกระบวนการเร่งปฏิกิริยาเชิงแสงเพิ่มขึ้น แต่เมื่อพิจารณาการที่ตัวเร่งปฏิกิริยามีพื้นที่ผิวที่มากกว่า จะทำให้การเกิดการรวมตัวกันใหม่ของคู่อิเล็กตรอนและโฮลเร็วกว่าด้วย ดังนั้นจึงควรพิจารณาว่าการตัวเร่งปฏิกิริยามีพื้นที่ผิวมากจะ

ส่งผลต่อกระบวนการเร่งปฏิกิริยาเชิงแสงหรือการรวมตัวกันใหม่ของคู่อิเล็กตรอนและโฮลมากกว่ากัน นอกจากนี้แล้วลักษณะทางโครงสร้างตัวเร่งปฏิกิริยาก็ส่งผลต่อประสิทธิภาพทางกระบวนการเร่งปฏิกิริยาเชิงแสงเช่นเดียวกัน ตัวเร่งปฏิกิริยาที่มีโครงสร้างผลึกที่มีผลึกไม่สมบูรณ์ หรือเป็นอสัณฐาน (amorphous) มักจะพบจุดบกพร่อง ซึ่งทำให้โอกาสเกิดการรวมตัวกันใหม่ของคู่อิเล็กตรอนและโฮลได้ง่าย ซึ่งส่งผลทำให้ประสิทธิภาพทางกระบวนการเร่งปฏิกิริยาเชิงแสงลดลง

2.6 รายงานการวิจัยที่เกี่ยวข้อง

ตัวอย่างงานวิจัยการสังเคราะห์บิส്മัทวานาเดตด้วยกระบวนการไฮโดรไลซิสได้แก่

Saimi Tokunaga และคณะ(7) ได้ศึกษาการสังเคราะห์บิส്മัทวานาเดตด้วยกระบวนการไฮโดรไลซิสโดยการละลาย $\text{Bi}(\text{NO}_3)_3 \cdot 5\text{H}_2\text{O}$ และ $\text{Na}_3\text{VO}_4 \cdot 7\text{H}_2\text{O}$ ในกรดไนตริกที่อุณหภูมิห้อง โดยเติม Na_2CO_3 หรือ NaHCO_3 และใช้เวลาในการเตรียม 4.5-46 ชั่วโมง พบว่าบิส്മัทวานาเดตที่เตรียม 4.5 ชั่วโมงจะเกิดโครงสร้าง tetragonal และเริ่มปรากฏโครงสร้าง monoclinic เมื่อเตรียมบิส്മัทวานาเดตที่ 9 และ 24 ชั่วโมง และบิส്മัทวานาเดตจะเกิดโครงสร้าง monoclinic อย่างสมบูรณ์ที่ 46 ชั่วโมง โดยขนาดอนุภาคของบิส്മัทวานาเดตที่เตรียม 4.5 ชั่วโมง จะได้ประมาณ 2 ไมโครเมตร ขนาดอนุภาคของบิส്മัทวานาเดตที่เตรียม 24 ชั่วโมง จะได้ประมาณ 1 ไมโครเมตร และขนาดอนุภาคของบิส്മัทวานาเดตที่เตรียม 46 ชั่วโมงจะได้ประมาณ 0.2-1 ไมโครเมตร ซึ่งมีความเป็นผลึกที่ดีที่สุด และเมื่อนำไปทดสอบสมบัติโฟโตคะตะลิสต์กับสารละลายซิลเวอร์ไนเตรตพบว่าบิส്മัทวานาเดตโครงสร้าง monoclinic มีสมบัติที่ดีกว่า tetragonal

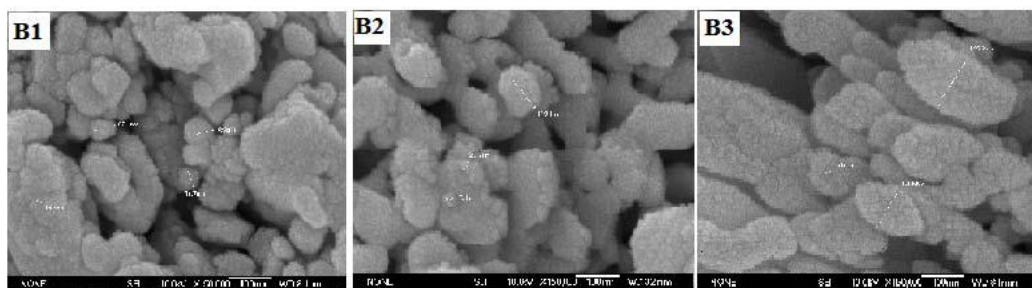
ตัวอย่างงานวิจัยการสังเคราะห์บิส്മัทวานาเดตด้วยกระบวนการ solution combustion ได้แก่

Zhijie Zhang และคณะ(24) ได้ศึกษาการสังเคราะห์บิส്മัทวานาเดตที่อุณหภูมิต่ำด้วยวิธีการ solution combustion โดยเตรียมสารละลาย A ซึ่งก็คือ $\text{Bi}(\text{NO}_3)_3 \cdot 5\text{H}_2\text{O}$ กับกรดซिटริกที่ละลายในกรดไนตริก และเตรียมสารละลาย B ซึ่งก็คือ NH_4VO_3 กับกรดซिटริกที่ละลายในน้ำกลั่นอุณหภูมิ 80 องศาเซลเซียสจากนั้นผสมสารละลาย A และ B เข้าด้วยกัน และเติม

$\text{NH}_3 \cdot \text{H}_2\text{O}$ เข้าไป นำไปอบที่ 80 องศาเซลเซียส เป็นเวลา 12 ชั่วโมง จากนั้นนำไปเผาแคลไซต์ที่ 500 องศาเซลเซียส เป็นเวลา 3 ชั่วโมง พบว่าสารที่สังเคราะห์ได้มีโครงสร้าง monoclinic และมีพื้นที่ผิวจำเพาะ 1.6 ตารางเมตรต่อกรัม เมื่อนำไปทดสอบสมบัติโฟโตคะตะลิสต์สามารถย่อยสลายสารละลายโรดามีนบีที่มีความเข้มข้น 4 โมลต่อลิตรได้ถึง 99.2% ในเวลา 4 ชั่วโมง ภายใต้ความยาวคลื่นแสงที่ตามองเห็น เมื่อเทียบกับการย่อยสลายสารละลายโรดามีนบีของ TiO_2 (Degussa P25) ที่ทำได้ 92.0% ภายใต้สภาวะเดียวกัน

ตัวอย่างงานวิจัยการสังเคราะห์บิสมัทวานาเดตด้วยกระบวนการด้วยวิธีการตกตะกอนร่วม ได้แก่

Abdul Halim Abdullah และคณะ(25) ได้ศึกษาการสังเคราะห์บิสมัทวานาเดต ด้วยวิธีการตกตะกอนร่วมโดยการเตรียมสารตั้งต้นบิสมัทวานาเดต จากการผสมกันระหว่างสารละลายบิสมัทอะซิเตทกับแอมโมเนียมเมตาวานาเดต จากนั้นนำสารละลายที่ได้ไปไทเทรตด้วยแอมโมเนียมไฮโดรเจนคาร์บอเนต จะเกิดการตกตะกอนขึ้นมา จากนั้นนำตะกอนที่ได้มากรอง และล้างตะกอน จากนั้นนำไปอบที่ 60 องศาเซลเซียส เป็นเวลาหนึ่งคืน จึงได้สารตั้งต้นบิสมัทวานาเดตออกมา นำสารตั้งต้นบิสมัทวานาเดตที่ได้เผาแคลไซต์ที่ 450 องศาเซลเซียส เป็นเวลา 4 ชั่วโมง จากนั้นได้ทำการทดลองเตรียมสารตั้งต้นบิสมัทวานาเดตอีกครั้ง โดยทำการทดลองด้วยวิธีเดิม เพียงแต่เปลี่ยนสารละลายที่ใช้ในการทำปฏิกิริยาจากบิสมัทอะซิเตทเป็นบิสมัทไนเตรดเพนตะไฮเดรต เมื่อได้สารตั้งต้นบิสมัทวานาเดตแล้วจึงนำไปเผาแคลไซต์ที่ 300 และ 450 องศาเซลเซียส เป็นเวลา 4 ชั่วโมง จากการศึกษาพบว่าอุณหภูมิที่ใช้ในการแคลไซต์มีส่วนที่สำคัญต่อขนาดและรูปร่างของอนุภาค โดยอนุภาคที่สังเคราะห์ที่อุณหภูมิ 300 องศาเซลเซียสจะมีลักษณะเล็กเป็นทรงกลม เกาะกลุ่มกัน ในขณะที่อนุภาคสังเคราะห์ที่อุณหภูมิ 450 องศาเซลเซียสจะมีลักษณะทรงกลม ขนาดอนุภาคใหญ่ขึ้น เกาะกลุ่มกันมากขึ้น โดยที่อุณหภูมิต่ำกว่าจะได้อนุภาคจะมีการเกาะกลุ่มกันเป็นลักษณะเป็น flake structure ในขณะที่เมื่ออุณหภูมิสูงขึ้น อนุภาคจะมีการเกาะกันแบบทรงกลมไร้รูปร่าง (irregular spherical structure) ดังภาพที่



ภาพที่ 2.14 (B1) บิทัมนาเดตที่เตรียมจากบิสมีทไนเตรดเพนตะไฮเดรตที่อุณหภูมิ 450 องศาเซลเซียส (B2) บิทัมนาเดตที่เตรียมจากบิสมีทไนเตรดเพนตะไฮเดรต ที่อุณหภูมิ 350 องศาเซลเซียส (B3) บิทัมนาเดตที่เตรียมจากบิสมีทอะซิเตทที่อุณหภูมิ 450 องศาเซลเซียส(25)

Jianqiang Yu และคณะ(26) ได้ศึกษาการสังเคราะห์บิทัมนาเดตด้วยวิธีการตกตะกอนร่วมจากการเติมแอมโมเนียลงไปนสารละลายผสม $\text{Bi}(\text{NO}_3)_3 \cdot 5\text{H}_2\text{O}$ และ NH_4VO_3 ภายใต้อุณหภูมิห้อง ทำการเผาแคลไซน์ที่อุณหภูมิ 200-500 องศาเซลเซียส เป็นเวลา 5 ชั่วโมง พบว่าวิธีการตกตะกอนร่วม และการเผาแคลไซน์ที่อุณหภูมิต่างๆ มีผลต่อขนาดเกรน และการทำให้เกิดเป็นโครงสร้าง monoclinic และ tetragonal โดยสารที่สังเคราะห์ได้เกิดโครงสร้าง monoclinic อย่างสมบูรณ์ที่อุณหภูมิ 300 องศาเซลเซียสขึ้นไป และที่อุณหภูมิ 200 300 400 และ 500 องศาเซลเซียสพบว่าพื้นที่ผิวจำเพาะ 31 26 4.2 และ 7.8 ตารางเมตรต่อกรัม ตามลำดับ และเมื่อทำการทดลองเทียบกับวิธีเกิดปฏิกิริยาในสถานะของแข็งโดยการผสม $\text{Bi}(\text{NO}_3)_3 \cdot 5\text{H}_2\text{O}$ และ NH_4VO_3 จากนั้นนำไปอบที่ 120 องศาเซลเซียสเป็นเวลา 24 ชั่วโมง จากนั้นนำตะกอนที่ได้มาบดทำการเผาแคลไซน์ที่อุณหภูมิ 700 องศาเซลเซียสเป็นเวลา 8 ชั่วโมง พบว่าจะเกิดเป็นโครงสร้าง monoclinic อย่างสมบูรณ์ และมีพื้นที่ผิวจำเพาะ 1.8 ตารางเมตรต่อกรัม เมื่อนำไปทดสอบสมบัติโฟโตคะตะลิสต์ พบว่าพื้นที่ผิวมีความสำคัญต่อสมบัติโฟโตคะตะลิสต์ โดยสารที่สังเคราะห์ด้วยวิธีการตกตะกอนร่วมที่เผาแคลไซน์อุณหภูมิ 200 องศาเซลเซียส เป็นเวลา 5 ชั่วโมงสามารถย่อยสลายสารละลายเมทิลีนบลูได้ 97.6% ในระยะเวลา 4 ชั่วโมง ภายใต้ความยาวคลื่นแสงที่ตามองเห็น เมื่อเทียบกับวิธีเกิดปฏิกิริยาในสถานะของแข็งสามารถย่อยสลายสารละลายเมทิลีนบลูได้ 96.7% ภายใต้สภาวะเดียวกัน

A.Martinez-de la Cruz และคณะ(27) ได้ศึกษาการสังเคราะห์บิสมาทวานาเดตด้วยวิธีการตกตะกอนร่วมโดยการใส่ $\text{Bi}(\text{NO}_3)_3 \cdot 5\text{H}_2\text{O}$ ละลายใน HNO_3 และ NH_4VO_3 ละลายใน NH_4OH และใช้ NH_4OH ในการปรับค่าพีเอช ให้ความร้อนที่ 200 องศาเซลเซียสเป็นเวลา 61 ชั่วโมง พบว่าจะเกิดเป็นโครงสร้าง monoclinic ได้อย่างสมบูรณ์ และมีพื้นที่ผิวจำเพาะ 1.5 ตารางเมตรต่อกรัมและเมื่อเปรียบเทียบกับ การสังเคราะห์โดยวิธีการเกิดปฏิกิริยาในสถานะของแข็งโดยการใส่ $\text{Bi}(\text{NO}_3)_3 \cdot 5\text{H}_2\text{O}$ และ NH_4VO_3 พบว่าเกิดเป็นโครงสร้าง monoclinic ได้อย่างสมบูรณ์ที่อุณหภูมิ 700 องศาเซลเซียส และมีพื้นที่ผิวจำเพาะ 0.3 ตารางเมตรต่อกรัม เมื่อนำสารที่สังเคราะห์โดยการตกตะกอนร่วมที่พีเอชต่างๆ ไปทดสอบสมบัติโฟโตคะตะลิสต์พบว่า ค่าพีเอชของสารละลายโรดามีนบีในขณะทดสอบปฏิกิริยามีผลต่อสมบัติโฟโตคะตะลิสต์ โดยที่ค่าพีเอช 10 สามารถย่อยสลายสารละลายโรดามีนบีได้ถึง 99% ในระยะเวลา 300 นาที

ตัวอย่างงานวิจัยที่ศึกษาการสังเคราะห์สารด้วยกระบวนการใช้เกลือหลอมละลาย ได้แก่

Joo-Sin Lee(28)ได้ทำการสังเคราะห์ ผง NdAlO_3 (Lanthanide aluminate) โดยใช้กระบวนการเกลือหลอมละลาย โดยเกลือที่เลือกใช้คือ เกลือ NaCl และเกลือ KCl ซึ่งเกลือ NaCl และเกลือ KCl มีจุดหลอมเหลวอยู่ที่ 801 องศาเซลเซียส และ 771 องศาเซลเซียส ตามลำดับ โดยในการสังเคราะห์ได้ทำการผสม Nd_2O_3 และ Al_2O_3 เข้าด้วยกัน จะได้เป็นสารตั้งต้นออกมา ต่อจากนั้นได้นำสารตั้งต้นมาผสมกับเกลือ NaCl หรือเกลือ KCl โดยใช้อัตราส่วนสารตั้งต้นต่อเกลือ คือ 4:1 จากนั้นนำไปเผาให้ความร้อนในช่วง 700-1200 องศาเซลเซียส พบว่า สารตั้งต้นที่เตรียมโดยใช้เกลือ NaCl หรือเกลือ KCl สามารถสังเคราะห์ให้เกิดเฟส NdAlO_3 อย่างสมบูรณ์ ได้ที่อุณหภูมิ 1100 องศาเซลเซียส เมื่อทำการสังเคราะห์เปรียบเทียบกับกระบวนการเกิดปฏิกิริยาในสถานะของแข็ง คือการนำ Nd_2O_3 และ Al_2O_3 มาผสมเข้าด้วยกัน พบว่าเมื่อนำไปเผาที่อุณหภูมิ 1600 องศาเซลเซียส สารที่สังเคราะห์ได้ก็ยังไม่สามารถที่จะเกิดเฟส NdAlO_3 อย่างสมบูรณ์ได้ และต่อมาเมื่อนำสารสังเคราะห์ได้ไปวิเคราะห์ด้วยเทคนิค FE-SEM พบว่าสารสังเคราะห์ด้วยกระบวนการเกลือหลอมละลาย ซึ่งมีเกลือ NaCl หรือเกลือ KCl ด้วยนั้นจะให้รูปร่างอนุภาคที่คล้ายกัน คือเป็นอนุภาคขนาดเล็ก ในขณะที่สารสังเคราะห์ด้วยกระบวนการเกิดปฏิกิริยาในสถานะของแข็งอนุภาคจะมีหลายขนาด ซึ่งการที่อนุภาคมีหลาย

ขนาดเป็นเพราะว่าปฏิกิริยาเกิดช้ากว่าการเกิดปฏิกิริยาในเกลือหลอมละลาย การที่มีเกลือเข้ามาช่วยในการเกิดปฏิกิริยา เกลือจะทำหน้าที่เป็น template ช่วยให้ Nd_2O_3 ทำปฏิกิริยากับ Al_2O_3 ได้ดีขึ้น

จากงานวิจัยนี้จะเห็นได้ว่ากระบวนการเกลือหลอมละลาย เป็นอีกวิธีหนึ่งที่ใช้ในการสังเคราะห์สารในกรณีที่ต้องการสังเคราะห์สารในอุณหภูมิที่ต่ำกว่าวิธีโดยทั่วไป และเป็นการเตรียมอนุภาคเล็กได้ง่ายด้วยการใช้อัตราส่วนของสารตั้งต้นต่อเกลือที่เลือกใช้เข้าช่วย โดยจะเกลือจะเหมือนทำหน้าที่เป็นฟลักซ์ (flux) ซึ่งในวิธีสังเคราะห์ดังกล่าวจะต้องคำนึงถึงจุดหลอมเหลวของเกลือด้วย

ตัวอย่างงานวิจัยที่ศึกษาการสังเคราะห์บิสมาทวานาเดต ด้วยกระบวนการใช้เกลือหลอมละลาย ได้แก่

Ye Liu และคณะ(29) ได้ศึกษาการสังเคราะห์บิสมาทวานาเดตที่อุณหภูมิต่ำโดยวิธีการใช้เกลือหลอมละลาย พบว่าการเกิดโครงสร้าง monoclinic และ tetragonal สามารถควบคุมได้ที่อุณหภูมิการแคลไซน์ และอัตราส่วนโดยน้ำหนักเกลือ $\text{LiNO}_3\text{-NaNO}_3$ ต่อบิสมาทวานาเดต โดยที่อัตราส่วนโดยน้ำหนักเกลือ $\text{LiNO}_3\text{-NaNO}_3$ ต่อสารตั้งต้นบิสมาทวานาเดตคือ 1:8 แคลไซน์ที่อุณหภูมิ 340 องศาเซลเซียส 8 ชั่วโมง จะได้โครงสร้าง monoclinic เมื่อทดสอบด้วยเทคนิค UV-Vis พบว่าค่าการดูดกลืนแสงของวัสดุมีค่าความยาวคลื่นอยู่ประมาณ 520 นาโนเมตร ซึ่งอยู่ในแสงช่วงตามองเห็น เมื่อนำไปทดสอบสมบัติโฟโตคะตะลิสต์

Chunguang Li และคณะ(30) ได้ศึกษาการการสังเคราะห์บิสมาทวานาเดตด้วยวิธีการใช้เกลือหลอมละลายโดยอัตราส่วนโดยน้ำหนักเกลือ LiNO_3 ต่อบิสมาทวานาเดตที่ 6:1, 12:1 และ 24:1 นำไปเผาแคลไซน์ที่อุณหภูมิ 270 องศาเซลเซียส เป็นเวลา 6, 12 และ 18 ชั่วโมง ตามลำดับ เปรียบเทียบกับการเตรียมโดยการให้ความร้อนโดยตรงในการเตรียมบิสมาทวานาเดตที่ 500 องศาเซลเซียส เป็นเวลา 10 ชั่วโมง ผลการศึกษาพบว่าสามารถสังเคราะห์ให้มีโครงสร้าง monoclinic ที่สมบูรณ์ที่อุณหภูมิ 270 องศาเซลเซียสเป็นเวลา 18 ชั่วโมง ขนาดอนุภาคโดยเฉลี่ยอยู่ระหว่าง 30- 52 นาโนเมตร พื้นที่ผิวจำเพาะของบิสมาทวานาเดตที่เผาแคลไซน์ 500 องศา

เซลล์เชื้อคือ 1.9 ตารางเมตรต่อกรัม ในขณะที่บิสมัทวานาเดตที่เผาแคลไซต์ที่อุณหภูมิ 270 องศาเซลเซียสเป็นเวลา 18 ชั่วโมง โดยอัตราส่วนเกลือ LiNO_3 ต่อบิสมัทวานาเดตที่ 6:1, 12:1 และ 24:1 มีพื้นที่ผิวจำเพาะ 24.1, 18.2 และ 10.0 ตารางเมตรต่อกรัม ตามลำดับ เมื่อนำไปทดสอบสมบัติโฟโตคะตะลิสต์กับ rhodamine dye solution ภายใต้ความยาวคลื่นแสงที่ตามองเห็นได้ พบว่าสัดส่วนโดยน้ำหนักเกลือ LiNO_3 ต่อบิสมัทวานาเดตที่ 24:1 ให้สมบัติที่ดีที่สุด



บทที่ 3

วิธีดำเนินการวิจัย

3.1 วัสดุดิบและสารเคมีที่ใช้ในการทดลอง

1. บิสมัทไนเตรดเพนตะไฮเดรต ($\text{Bi}(\text{NO}_3)_3 \cdot 5\text{H}_2\text{O}$, AR grade, Aldrich Chem)
2. แอมโมเนียมเมทาวานาเดต (NH_4VO_3 , AR grade, Ajax Finechem)
3. เกลือลิเทียมไนเตรด (LiNO_3 , AR grade, Lobachemie)
4. เกลือโซเดียมไนเตรด (NaNO_3 , AR grade, Ajax Finechem)
5. เอทานอล (Ethanol absolute, AR grade, Merck)
6. กรดไนตริก (HNO_3 65%, AR grade, Orec)
7. โรดามีน บี (Rhodamine B, AR grade, Lobachemie)

3.2 ขั้นตอนการวิจัย

3.2.1 การเตรียมตัวเร่งปฏิกิริยาเชิงแสงบิสมัทวานาเดตด้วยกระบวนการเกิดปฏิกิริยาในสถานะของแข็ง

3.2.1.1 ศึกษาผลของการสังเคราะห์โดยไม่เติมเกลือที่อุณหภูมิต่างๆ

การเตรียมบิสมัทวานาเดตโดยนำสารตั้งต้นสำหรับเตรียมบิสมัทวานาเดตได้แก่ $\text{Bi}(\text{NO}_3)_3 \cdot 5\text{H}_2\text{O}$ 2.91 กรัมกับ NH_4VO_3 0.702 กรัม นำไปบดให้ละเอียด และนำไปเผาแคลไซน์ที่อุณหภูมิ 200-700 องศาเซลเซียส

3.2.1.2 ศึกษาผลของการเติมเกลือชนิดต่างๆ ในการสังเคราะห์บิสมัทวานาเดต

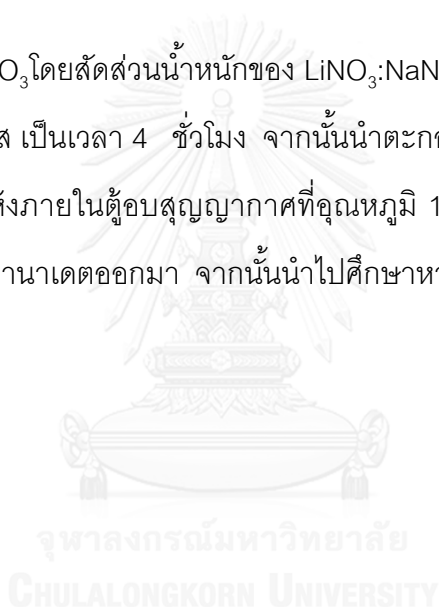
การเตรียมบิสมัทวานาเดตโดยนำสารตั้งต้นสำหรับเตรียมบิสมัทวานาเดตได้แก่ $\text{Bi}(\text{NO}_3)_3 \cdot 5\text{H}_2\text{O}$ 2.91 กรัมกับ NH_4VO_3 0.702 กรัม นำไปบดให้ละเอียด และนำไปผสมกับเกลือชนิดต่างๆ ได้แก่ เกลือลิเทียมไนเตรด (LiNO_3), โซเดียมไนเตรด (NaNO_3) และเกลือผสมลิเทียมไนเตรด-โซเดียมไนเตรด ($\text{LiNO}_3\text{-NaNO}_3$) สำหรับการศึกษาค้นคว้าผลของการเติมเกลือชนิดต่างๆ ได้ทำ

การเปลี่ยนสัดส่วนโดยนำหนักของสารตั้งต้นบิสมาทวานาเดต(ที่เตรียมด้วยกระบวนการ 3.2.2.1) ต่อเกลือ ที่สัดส่วน ดังนี้ 1:0, 1:4, 1:8 และ 1:12 และกำหนดอุณหภูมิที่ใช้ในการแคลไซน์ใน กระบวนการสังเคราะห์ที่สูงกว่าจุดหลอมเหลวของเกลือที่เดิมนั้น ดังต่อไปนี้

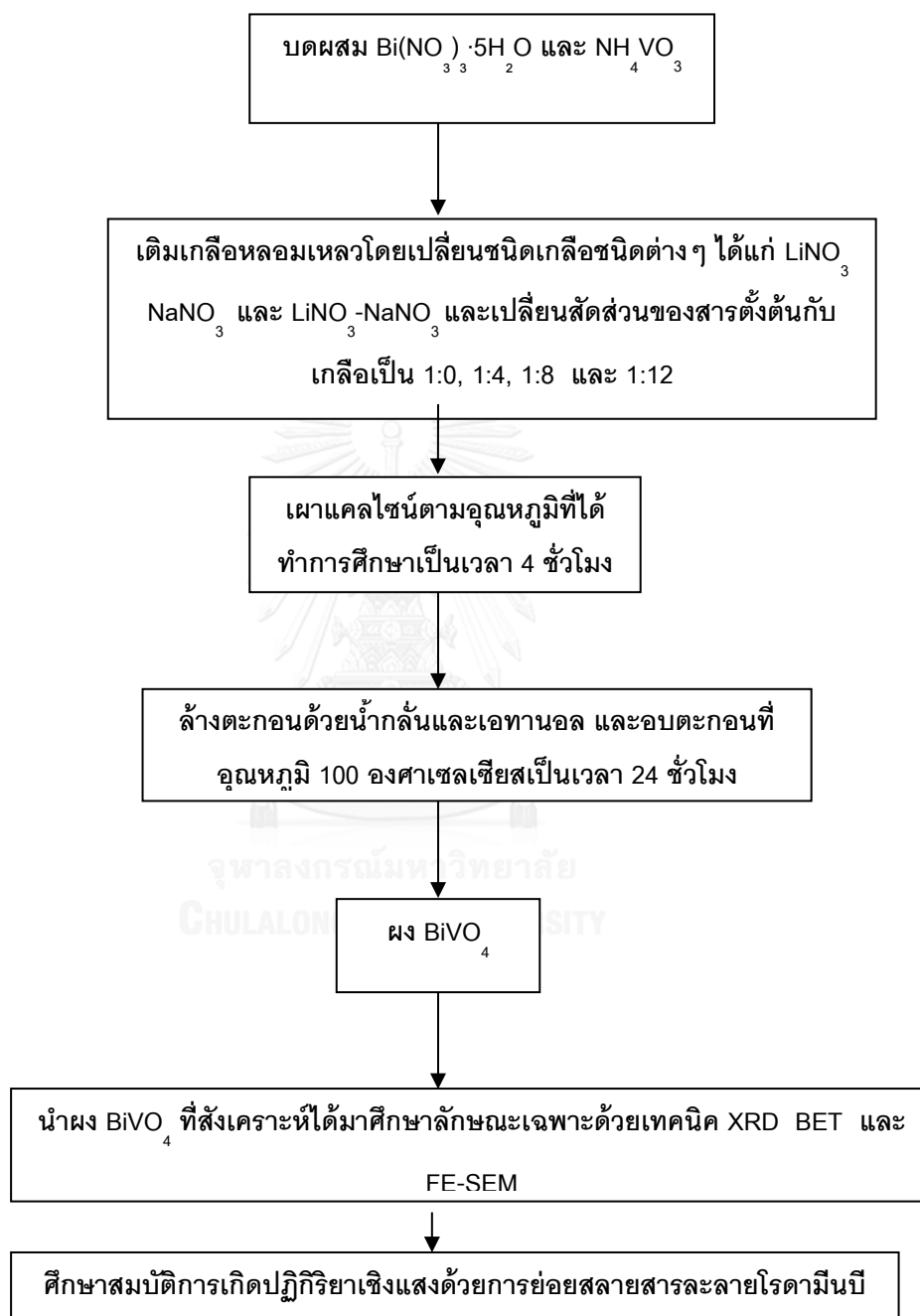
1) LiNO_3 ใช้อุณหภูมิการแคลไซน์ที่ 280 องศาเซลเซียส (จุดหลอมเหลวของ LiNO_3 อยู่ที่ 250 องศาเซลเซียส) เป็นเวลา 4 ชั่วโมง

2) NaNO_3 ใช้อุณหภูมิการแคลไซน์ที่ 340 องศาเซลเซียส (จุดหลอมเหลวของ NaNO_3 อยู่ที่ 310 องศาเซลเซียส) เป็นเวลา 4 ชั่วโมง

3) LiNO_3 - NaNO_3 โดยสัดส่วนนำหนักของ LiNO_3 : NaNO_3 คือ 27:23 ใช้อุณหภูมิการแคลไซน์ที่ 218 องศาเซลเซียส เป็นเวลา 4 ชั่วโมง จากนั้นนำตะกอนที่ได้ไปล้างด้วยน้ำกลั่น และเอทานอล อบตะกอนให้แห้งภายในตู้อบสุญญากาศที่อุณหภูมิ 100 องศาเซลเซียส เป็นเวลา 24 ชั่วโมง จึงได้ผงบิสมาทวานาเดตออกมา จากนั้นนำไปศึกษาหาลักษณะเฉพาะต่างๆ ดังแสดงในแผนภาพที่ 3.1



แผนผังงานวิจัย



ภาพที่ 3.1 การสังเคราะห์บิสมัทวานาเดตด้วยกระบวนการเกิดปฏิกิริยาในสถานะของแข็งที่อัตราส่วนต่างๆ

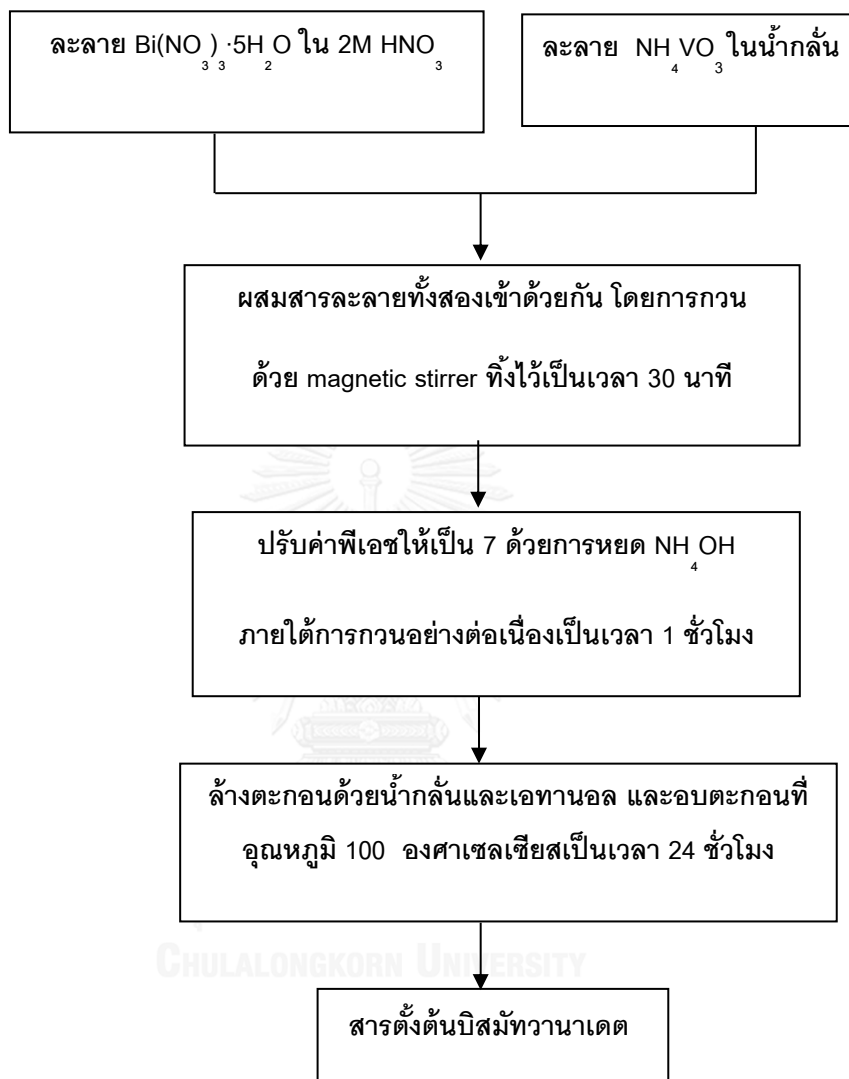
จากนั้นทำการศึกษาผลของการเพิ่มอุณหภูมิในการแคลไซน์ของการเตรียมบิสมัทวานาเดตด้วยเกลือแต่ละชนิด โดยทำการเตรียมบิสมัทวานาเดตแบบไม่เติมเกลือและเติมเกลือ ซึ่งทำการเลือกอัตราส่วนสารตั้งต้นบิสมัทวานาเดตต่อเกลือที่ดีที่สุดในการย่อยสลายสารละลายโรดามีน บี โดยเกลือลิเทียมไนเตรต ทำการแคลไซน์ที่อุณหภูมิ 280 และ 335 องศาเซลเซียส เกลือโซเดียมไนเตรต ทำการแคลไซน์ที่อุณหภูมิ 340 และ 395 องศาเซลเซียส และเกลือผสมลิเทียมไนเตรต-โซเดียมไนเตรต ทำการแคลไซน์ที่อุณหภูมิ 218 และ 273 องศาเซลเซียส

3.2.2 การเตรียมตัวเร่งปฏิกิริยาเชิงแสงบิสมัทวานาเดตด้วยกระบวนการตกตะกอนร่วม-แคลไซน์

3.2.2.1 ศึกษาผลของการสังเคราะห์โดยไม่เติมเกลือที่อุณหภูมิต่างๆ

การเตรียมสารตั้งต้นบิสมัทวานาเดตทำได้โดยเตรียมสารละลายที่ 1 โดยการละลาย $\text{Bi}(\text{NO}_3)_3 \cdot 5\text{H}_2\text{O}$ 2.91 กรัมใน HNO_3 0.2 โมลาร์ ปริมาตร 180 มิลลิลิตร และเตรียมสารละลายที่ 2 โดยการละลาย NH_4VO_3 0.702 กรัมในน้ำกลั่น 180 มิลลิลิตร จากนั้นปั่นกวนสารละลายทั้งสองอย่างต่อเนื่อง 30 นาที ผสมสารละลายทั้งสองเข้าด้วยกัน แล้วปรับค่าพีเอชด้วยกรดไนตริกให้เท่ากับ 7 ปั่นกวนสารละลายทั้งสองอย่างต่อเนื่อง 1 ชั่วโมง นำสารที่ได้ไปล้างตะกอนด้วยน้ำกลั่น 4000 มิลลิลิตร และเอทานอล 500 มิลลิลิตร อบตะกอนให้แห้งที่อุณหภูมิ 100 องศาเซลเซียสเป็นเวลา 24 ชั่วโมง เพื่อใช้เป็นสารตั้งต้นบิสมัทวานาเดต (แสดงในภาพที่ 3.2) ในกระบวนการเติมเกลือหลอมละลายต่อไป นอกจากนี้ได้นำสารตั้งต้นบิสมัทวานาเดตไปแคลไซน์ที่อุณหภูมิต่างๆ ได้แก่ 200 300 400 และ 500 องศาเซลเซียสเป็นเวลา 4 ชั่วโมง

แผนผังงานวิจัย



ภาพที่ 3.2 การสังเคราะห์สารตั้งต้นบิสมัทวานาเดตด้วยกระบวนการตกตะกอนร่วม-แคลไซน์

3.2.2.2 ศึกษาผลของการเตรียมตัวเร่งปฏิกิริยาเชิงแสงชนิดผงตัวอย่างบิสมัทวานาเดต ด้วยกระบวนการตกตะกอนร่วมและแคลไซน์โดยเติมเกลือหลอมละลายที่อุณหภูมิต่างๆ

โดยทำการศึกษาผลของการเพิ่มอุณหภูมิในการแคลไซน์ของการเตรียมบิสมัทวานาเดต ด้วยเกลือแต่ละชนิด โดยทำการเตรียมบิสมัทวานาเดตแบบไม่เติมเกลือและเติมเกลือ ซึ่งเกลือผสมลิเทียมไนเตรต-โซเดียมไนเตรต ทำการแคลไซน์ที่อุณหภูมิ 200-500 เพื่อนำไปเปรียบเทียบกับ การเตรียมบิสมัทวานาเดตแบบไม่เติมเกลือ (ที่เตรียมด้วย 3.2.2.1)

จากนั้นทำการศึกษาผลของการเพิ่มอุณหภูมิในการแคลไซน์ของการเตรียมบิสมัทวานาเดตด้วยเกลือแต่ละชนิดได้แก่ เกลือผสมลิเทียมไนเตรต-โซเดียมไนเตรต ทำการแคลไซน์ที่ 218 และ 273 องศาเซลเซียส เกลือลิเทียมไนเตรต ทำการแคลไซน์ที่อุณหภูมิ 280 และ 335 องศาเซลเซียส และเกลือโซเดียมไนเตรต ทำการแคลไซน์ที่อุณหภูมิ 340 และ 395 องศาเซลเซียส โดยนำไปเปรียบเทียบกับ การสังเคราะห์บิสมัทวานาเดตด้วยกระบวนการเกิดปฏิกิริยาในสถานะของแข็ง ที่ทำการเติมเกลือที่สภาวะเดียวกัน

3.3 การวิเคราะห์ลักษณะและสมบัติเฉพาะของผงตัวอย่างบิสมัทวานาเดตที่สังเคราะห์ได้

3.3.1 วิเคราะห์โครงสร้างและองค์ประกอบเฟสด้วยเทคนิคเอกซเรย์ดิฟแฟรกชัน (X-ray diffraction, XRD)

การวิเคราะห์โครงสร้างและองค์ประกอบเฟสด้วยเครื่อง X-ray diffractionmeter (XRD; D8- Advance, Bruker AXS Model D8 Discover) โดยใช้เทคนิคการเลี้ยวเบนของรังสีเอกซ์โดยมี $\text{Cu-K}\alpha$ เป็นแหล่งกำเนิดแสง X-ray ที่มีความต่างศักย์เป็น 40 กิโลโวลต์ และกระแสไฟฟ้า 25 มิลลิแอมแปร์ อัตราการวิเคราะห์เฟสเป็น 0.2 องศาวินาที โดยใช้มุม 2θ จาก 5 ถึง 80 องศา โดยโครงสร้างผลึกและขนาดผลึกสามารถหาได้ด้วยสมการ Scherrer ดังที่แสดงที่สมการ 3.1

$$D_c = \frac{K\lambda}{\beta \cos \theta}$$

(สมการ 3.1)

เมื่อ D_c คือขนาดผลึกเฉลี่ย (นาโนเมตร)

K คือค่าคงที่ Scherrer มีค่าเท่ากับ 0.89

λ คือความยาวคลื่น X-ray มีค่าเท่ากับ 0.154 นาโนเมตร

β คือความกว้างของความสูงครึ่งหนึ่งของพีค XRD (full width at half-maximum (FWHM))

θ คือมุมสะท้อน (Diffraction angle)

3.3.2 การวิเคราะห์ลักษณะทางสัณฐานวิทยาและโครงสร้างจุลภาคด้วยเทคนิคกล้องจุลทรรศน์อิเล็กตรอนแบบส่องกราด ชนิดฟิลด์อิมิสชัน (Field Emission Scanning Electron Microscope, Fe-SEM)

สำหรับการเตรียมตัวอย่างโดยการนำผงบิสมัทวานาเดตที่สังเคราะห์ได้ มาทำการกระจายตัว โดยใส่ลงในเอทานอล และนำไปเข้าเครื่องอัลตราโซนิก (ultrasonic probe) เป็นเวลา 10 นาที จากนั้นนำสารละลายที่ได้ไปหยดลงบนกระจกสไลด์ แล้วทิ้งให้แห้งที่อุณหภูมิห้อง และ

นำไปเข้าเตาอบที่อุณหภูมิ 100 องศาเซลเซียส เป็นเวลา 1 คืน จากนั้นจึงนำตัวอย่างที่เตรียมไว้ไปติดกับแท่นวางตัวอย่างโดยใช้เทปคาร์บอน และนำไปฉาบผิวด้วยทองคำ ก่อนนำไปวิเคราะห์ลักษณะทางสัณฐานวิทยาและโครงสร้างจุลภาคด้วยเทคนิคกล้องจุลทรรศน์อิเล็กตรอนแบบส่องกราด ชนิดฟิลด์อีมิสชัน (JEOL JSM 7610 F) โดยใช้ศักย์ไฟฟ้าที่ 5.0 kV และถ่ายภาพที่ กำลังขยาย 50,000 เท่า

3.3.3 การวิเคราะห์พื้นที่ผิวจำเพาะด้วยเทคนิคบีอีที (Brunauer Emmett Teller, BET)

นำตัวอย่างของผงบิสมัทวานาเดตที่สังเคราะห์ด้วยวิธีการต่างกันไปที่สภาวะต่างๆ มาวิเคราะห์พื้นที่ผิวจำเพาะ ด้วยเทคนิคบีอีที (Brunauer Emmett Teller) ด้วยเครื่อง micromeritics ASAP 2020 โดยศึกษาการดูดซับของแก๊สไนโตรเจนบนผิว

3.3.4 การวิเคราะห์ค่าแถบช่องว่างพลังงาน (Energy band gap, E_g)

การวิเคราะห์ค่าแถบช่องว่างพลังงานทำโดยใช้เครื่อง UV-VIS spectrophotometer โหมด diffuse reflectance spectra ซึ่งค่าแถบช่องว่างพลังงาน (Energy band gap, E_g) สามารถหาได้จากสมการ Kubelka Munk ดังสมการ 3.2 และ 3.3

$$F(R) = \frac{(1-R)^2}{2R} \quad (\text{สมการ 3.2})$$

เมื่อ R คือ การสะท้อน (Refletance)

$F(R)$ คือ ค่าฟังก์ชันของการสะท้อน ซึ่งคือค่าสัมประสิทธิ์การดูดซับ (absorbance coefficient, α)

$$F(R)E = A(E - E_g)^n \quad (\text{สมการ 3.3})$$

เมื่อ A คือ ค่าคงที่ตาม

E คือ ค่าพลังงานโฟตรอน (eV)

E_g คือ ค่าแถบช่องว่างพลังงาน (eV)

n คือ เลขชี้กำลังทรานซิชัน

ในกรณีของการทดสอบกับผงบิสม์ทวานาเดต ค่า $n=1/2$

3.3.5 ขนาดและการกระจายตัวของขนาดอนุภาค (Particle size distribution)

วิเคราะห์ขนาดและการกระจายตัวของอนุภาคด้วยเทคนิค laser light scattering x โดยใช้เครื่องวัดขนาดอนุภาค (Particle Sizing Unified System) รุ่น mastersizer 2000 สามารถวัดขนาดอนุภาคของสารตัวอย่าง ในช่วง $0.02-2000 \mu\text{m}$ โดยมีหลักการการทำงานคือ เมื่ออนุภาคเคลื่อนที่ผ่านลำแสงเลเซอร์จากแหล่งกำเนิดแสงเลเซอร์ จะเกิดการเลี้ยวเบนของแสงขึ้นในมุมต่างๆ ตามลักษณะขนาดของอนุภาคที่แสงเลเซอร์ตกกระทบ โดยมุมการเลี้ยวเบนของแสงจะแปรผกผันกับขนาดของอนุภาค ถ้าอนุภาคมีขนาดใหญ่ มุมของการเลี้ยวเบนของแสงเลเซอร์จะแคบ แต่ถ้าอนุภาคมีขนาดเล็ก มุมของการเลี้ยวเบนของแสงเลเซอร์จะกว้าง ซึ่งความเข้มแสงที่เกิดจากการเลี้ยวเบนของแสงเลเซอร์ที่มุมต่างๆ จะถูกตรวจวัดด้วยหัวตรวจวัดของเครื่องวัดขนาดอนุภาค และจะถูกนำมาคำนวณเป็นค่าเฉลี่ยของขนาดอนุภาคได้

3.3.6 สมบัติการเป็นตัวเร่งปฏิกิริยาเชิงแสง

โดยการทดสอบการย่อยสลายสารละลายโรดามีนบีภายใต้การฉายแสงยูวีด้วยหลอด Xenon lamp โดยมีความเข้มของแสง (light intensity) ที่ความสูง 7.5 cm ที่ 404 mW หรือ 521 mW/cm^2 ซึ่งมีขั้นตอนการทดสอบดังนี้

1) เตรียมสารละลายโรดามีนบีความเข้มข้น 0.01 มิลลิโมลาร์ ปริมาณ 200 มิลลิลิตร แล้ววัดค่าการดูดกลืนแสง (Absorbance) ของสารละลายโรดามีนบีที่มีความยาวคลื่น 556 นาโนเมตร ด้วยเครื่อง UV-VIS spectrophotometer (Perkin Elmer Lambda 35) โดยจะทำการวิเคราะห์ในช่วงระหว่างความยาวคลื่นภายใต้แสงที่ตามองเห็น ($400-700$ นาโนเมตร)

2) นำผงบิสม์ทวานาเดต 0.2 กรัม ใส่ลงในสารละลายโรดามีนบีปริมาตร 200 มิลลิลิตร ผสมกวนให้เข้ากันอย่างต่อเนื่องในที่มีดด้วยเครื่องกวนแม่เหล็กเป็นเวลา 30 นาที

3) นำสารแขวนลอยที่ได้ไปหมุนเหวี่ยงด้วยเครื่องเซนตริฟิวก์ (centrifuge) ความเร็วรอบ 6000 รอบต่อวินาที เป็นเวลา 10 นาที แล้วแยกเอาเฉพาะส่วนที่เป็นสารละลายใส่ไปวัดค่าการดูดกลืนแสงยูวีที่ความยาวคลื่น 556 นาโนเมตร ด้วยเครื่อง UV-VIS spectrophotometer

4) ทำซ้ำจนกระทั่งผงตัวอย่างดูดซับสารละลายโรดามีนบีจนอิ่มตัว จากนั้นเปลี่ยนจากการกวนในที่มืดเป็นภาวะภายใต้การฉายแสงทุก 10 นาที เป็นเวลา 120 นาที โดยทำเช่นเดิมจนสีของสารละลายโรดามีนบีเปลี่ยนจากสีชมพูเป็นสารละลายใสไม่มีสี

5) นำค่าการดูดกลืนแสงที่วัดได้ทั้งหมดไปคำนวณหาประสิทธิภาพในการย่อยสลายสารละลายโรดามีนบี ซึ่งสามารถคำนวณได้ดังสมการ 3.3 โดยทำการ plot กราฟความสัมพันธ์ระหว่างความเข้มข้นที่เปลี่ยนไปของสารละลายโรดามีนบีกับเวลาที่ใช้ในการย่อยสลายโรดามีนบี

$$%D = \left(\frac{A_0 - A_t}{A_t} \right) \times 100$$

(สมการ 3.3)

โดยที่ %D คือ ประสิทธิภาพในการย่อยสลายสารละลายโรดามีนบี

A_0 คือ ความเข้มข้นเริ่มต้นของสารละลายโรดามีนบี

A_t คือ ความเข้มข้นของสารละลายโรดามีนบีที่เวลาต่างๆ

CHULALONGKORN UNIVERSITY

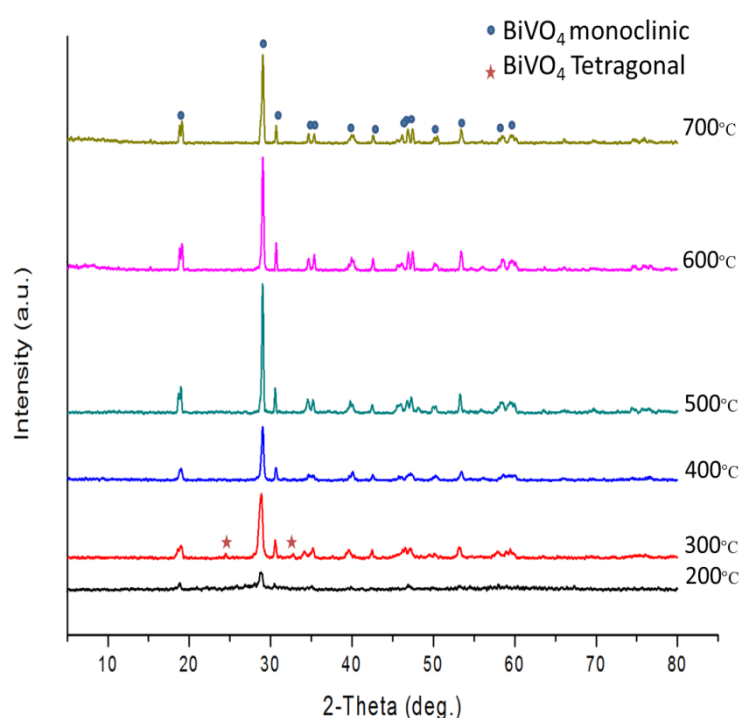
บทที่ 4 วิธีดำเนินการวิจัย

งานวิจัยนี้ได้ศึกษาผลการเติมเกลือหลอมละลายในการสังเคราะห์ตัวเร่งปฏิกิริยาเชิงแสงชนิดบิสมีทวานาเดต โดยได้แบ่งการทดลองเป็น 2 ส่วน ได้แก่ ส่วนที่ 1 การสังเคราะห์ตัวเร่งปฏิกิริยาด้วยกระบวนการเกิดปฏิกิริยาในสถานะของแข็ง (solid state reaction) โดยมีการเปรียบเทียบกันระหว่างการไม่เติม และการเติมเกลือหลอมละลาย และส่วนที่ 2 การสังเคราะห์ตัวเร่งปฏิกิริยาด้วยกระบวนการตกตะกอนร่วมแล้วเผาแคลไซน์ (coprecipitation-calcination) และมีการเปรียบเทียบกันระหว่างการไม่เติม และการเติมเกลือหลอมละลาย โดยได้ทำการศึกษาผลของตัวแปรต่างๆ ที่ส่งผลต่อตัวเร่งปฏิกิริยาเชิงแสง ได้แก่ ผลของชนิดและอัตราส่วนของเกลือต่อสารตั้งต้น อุณหภูมิในการสังเคราะห์บิสมีทวานาเดตต่อโครงสร้างจุลภาค องค์ประกอบทางเฟส พื้นที่ผิว และสมบัติการเป็นตัวเร่งปฏิกิริยาเชิงแสงภายใต้แสงช่วงที่ตามองเห็นด้วยการทดสอบสารละลายโรดามีนบี ภายใต้แสงช่วงที่ตามองเห็น (visible light)

4.1 ผลของการเตรียมตัวเร่งปฏิกิริยาเชิงแสงบิส്മัทวานาเดตด้วยกระบวนการเกิดปฏิกิริยาในสถานะของแข็ง

4.1.1 ศึกษาผลของการสังเคราะห์โดยไม่เติมเกลือที่อุณหภูมิต่างๆ

-ผลวิเคราะห์โครงสร้างและองค์ประกอบเฟสของผงตัวอย่างบิส്മัทวานาเดต



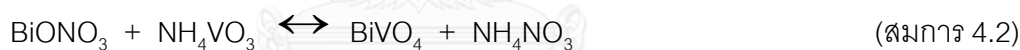
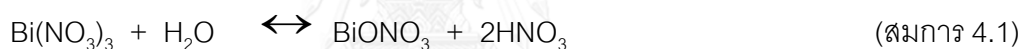
ภาพที่ 4.1 กราฟ XRD ของผงตัวอย่างบิส്മัทวานาเดตที่สังเคราะห์ด้วยกระบวนการเกิดปฏิกิริยาในสถานะของแข็งแบบไม่เติมเกลือ โดยแคลไซน์ที่อุณหภูมิ 200-700 องศาเซลเซียส เป็นเวลา 4 ชั่วโมง

จากผลการวิเคราะห์องค์ประกอบทางเฟสของผงตัวอย่างบิส്മัทวานาเดตที่เตรียมด้วยกระบวนการเกิดปฏิกิริยาในสถานะของแข็งแบบไม่เติมเกลือ โดยทำการเผาแคลไซน์ที่อุณหภูมิ 200-700 องศาเซลเซียส) ดังแสดงในภาพที่ 4.1 พบว่าผงตัวอย่างบิส്മัทวานาเดตที่สังเคราะห์โดยแคลไซน์ที่อุณหภูมิ 200 องศาเซลเซียส แสดงโครงสร้างผลึกอสัณฐาน (amorphous) ซึ่งเป็นโครงสร้างที่ยังไม่เป็นผลึกอย่างสมบูรณ์ และต่อมาเมื่อเพิ่มอุณหภูมิในการแคลไซน์ในช่วง

300-700 องศาเซลเซียส จะแสดงโครงสร้างที่มีความเป็นผลึกมากขึ้น โดยผงตัวอย่างบิสมัทวานาเดตที่สังเคราะห์ที่อุณหภูมิ 300 องศาเซลเซียส จะประกอบไปด้วยโครงสร้างโมโนคลินิก (BiVO_4 , Monoclinic, JCPD file no. 00-014-0688) และเตตระโกนอล (BiVO_4 , Tetragonal, JCPD file no. 00-014-0133) ในขณะที่ผงตัวอย่างบิสมัทวานาเดตที่สังเคราะห์โดยการเผาแคลไซต์ที่อุณหภูมิ 400, 600 และ 700 องศาเซลเซียสจะประกอบไปด้วยโครงสร้างโมโนคลินิกเพียงเฟสเดียว

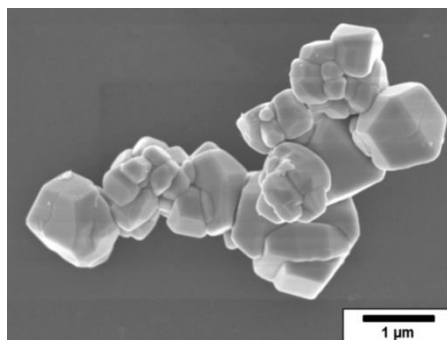
ดังนั้นจากข้อมูลจึงสามารถสรุปได้ว่าการเพิ่มอุณหภูมิในการแคลไซต์จะช่วยให้ตัวอย่างบิสมัทวานาเดตมีความเป็นผลึกที่มากขึ้น และเมื่อเพิ่มอุณหภูมิตั้งแต่ 400 องศาเซลเซียสเป็นต้นไปจะพบโครงสร้างเฟสโมโนคลินิกเพียงเฟสเดียว

สำหรับกลไกการเกิดบิสมัทวานาเดตด้วยกระบวนการเกิดปฏิกิริยาในสถานะของแข็งอธิบายได้ดังสมการต่อไปนี้[28]



จากงานวิจัยที่ผ่านมา(31) ได้มีการศึกษาและอธิบายผลของการเกิดโครงสร้างจุลภาคและสัณฐานวิทยาของผงตัวอย่างบิสมัทวานาเดต ซึ่งสอดคล้องกับงานวิจัยคือ เมื่อนำสารตั้งต้นบิสมัทไนเตรดเพนตะไฮเดรต ($\text{Bi}(\text{NO}_3)_3 \cdot 5\text{H}_2\text{O}$) กับ แอมโมเนียมเมทาวานาเดต (NH_4VO_3) นำไปบดผสมให้ละเอียด และผ่านการแคลไซต์ จะเกิดปฏิกิริยาดังสมการที่ 4.1 และ 4.2 จากปฏิกิริยาดังกล่าวได้มีการเกิดนิวเคลียส (nucleation) เกิดเป็นนิวคลีโอ จากนั้นนิวคลีโอได้เกาะกลุ่มกัน และเติบโตอย่างรวดเร็ว ในสภาวะที่ระบบมีความเป็นกรดอย่างมากในตอนแรก ส่งผลให้อนุภาคบิสมัทวานาเดตมีการฟอร์มตัวกันเป็นรูปทรงหลายหน้า (polyhedron-shape) ดังจะเห็นได้จากการนำผงตัวอย่างบิสมัทวานาเดตแคลไซต์ที่อุณหภูมิ 200-700 องศาเซลเซียส มาศึกษาโครงสร้างจุลภาค และสัณฐานวิทยาด้วยเทคนิคกล้องจุลทรรศน์อิเล็กตรอนแบบส่องกราดชนิดฟิลด์อีมิสชัน (FE-SEM) พบว่าผงตัวอย่างบิสมัทวานาเดตที่สังเคราะห์ แคลไซต์ที่อุณหภูมิ 200 องศาเซลเซียส มีลักษณะอนุภาคผลึกรูป polyhedrons ค่อนข้างใหญ่ มีขนาดและรูปร่าง

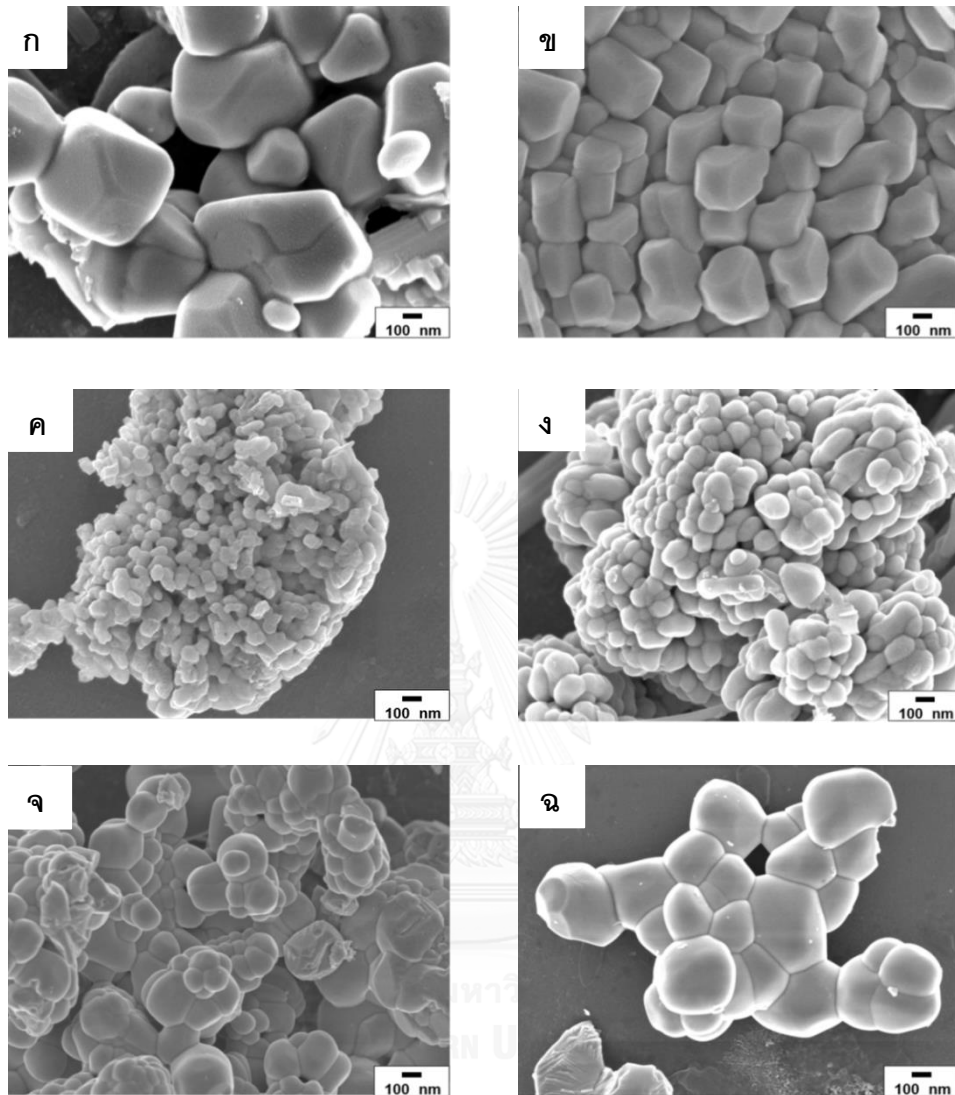
ไม่สม่ำเสมอ ขนาดอนุภาคที่วัดจากภาพถ่าย FE-SEM เฉลี่ยเท่ากับ 230-970 นาโนเมตร ดังภาพที่ 4.2 (กำลังขยาย 20000 เท่า) และภาพ 4.3 (ก) (กำลังขยาย 50000 เท่า)



ภาพที่ 4.2 ภาพถ่าย FE-SEM ผงตัวอย่างบิสมัทวานาเดตที่สังเคราะห์ด้วยกระบวนการเกิดปฏิกิริยาในสถานะของแข็งที่อุณหภูมิแคลไซน์ 200 กำลังขยาย 20000 เท่า



-ผลวิเคราะห์โครงสร้างจุลภาค และสัณฐานวิทยาของบิสมัทวานาเดต



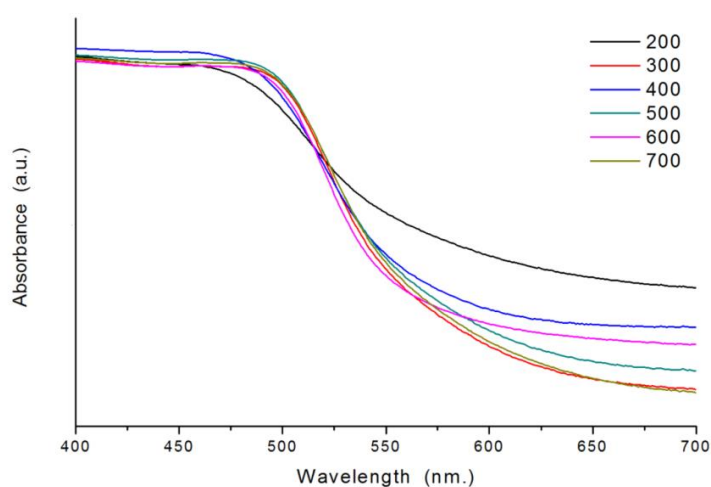
ภาพที่ 4.3 ภาพถ่าย FE-SEM ผงตัวอย่างบิสมัทวานาเดตที่สังเคราะห์ด้วยกระบวนการเกิดปฏิกิริยาในสถานะของแข็งที่อุณหภูมิแคลไซน์ (ก) 200 (ข) 300 (ค) 400 (ง) 500 (จ) 600 และ (ฉ) 700 องศาเซลเซียส เป็นเวลา 4 ชั่วโมง

จากนั้นเมื่อทำการเพิ่มอุณหภูมิแคลไซน์ในการสังเคราะห์บิสมัทวานาเดตที่ 300 องศาเซลเซียส พบว่ามีลักษณะอนุภาคที่มีการเกาะกลุ่มกัน ขนาดอนุภาคเฉลี่ยเท่ากับ 460 นาโนเมตร ดังภาพที่ 4.3 (ข) (กำลังขยาย 50000 เท่า)

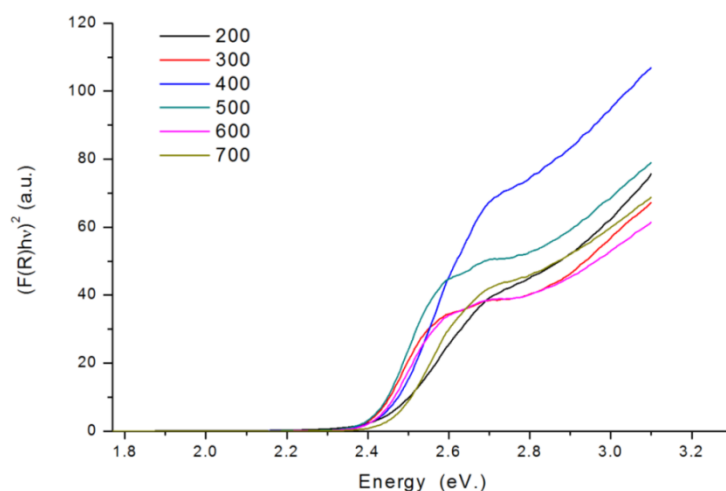
จากภาพที่ 4.3 (ค) (ง) (จ) และ (ฉ) ได้แสดงว่าอนุภาคของผงตัวอย่างที่เผาแคลไซน์ที่อุณหภูมิ 400-700 องศาเซลเซียส อนุภาคมีขนาดและรูปร่างไม่สม่ำเสมอ และมีการเกาะกลุ่มกัน (agglomerate) โดยผงตัวอย่างที่เผาแคลไซน์ที่อุณหภูมิ 700 องศาเซลเซียส จะมีลักษณะ

อนุภาคมีขนาดใหญ่ขึ้นกว่าผงตัวอย่างที่เผาแคลไซต์ที่อุณหภูมิอื่นๆ แสดงให้เห็นว่าการเพิ่มอุณหภูมิในการแคลไซต์มีผลต่อการโตของขนาดอนุภาค สำหรับผงตัวอย่างที่แคลไซต์ที่อุณหภูมิ 400, 500, 600 และ 700 องศาเซลเซียสมีขนาดอนุภาคเฉลี่ยวัดจากภาพถ่าย FE-SEM 70, 70-230, 120-400, 300-600 นาโนเมตร ตามลำดับ

- ผลการวิเคราะห์สมบัติทางแสงและแถบช่องว่างพลังงาน



ภาพที่ 4.4 กราฟแสดงค่าการดูดกลืนแสงที่ความยาวคลื่นแสงต่างๆ ของบิสมาทวานาเดตที่สังเคราะห์ด้วยกระบวนการเกิดปฏิกิริยาในสถานะของแข็งโดยผ่านการแคลไซต์ที่อุณหภูมิต่างๆ



ภาพที่ 4.5 กราฟความสัมพันธ์ระหว่าง $(F(R)hv)^2$ กับพลังงานโฟตอนของบิสมัททอานาเดตที่สังเคราะห์ด้วยกระบวนการเกิดปฏิกิริยาในสถานะของแข็ง แคลไซน์ที่อุณหภูมิต่างๆ

ตารางที่ 4.1 ค่าแถบช่องว่างพลังงานของผงตัวอย่างบิสมัททอานาเดตที่สังเคราะห์ด้วยกระบวนการเกิดปฏิกิริยาในสถานะของแข็ง โดยผ่านการแคลไซน์ที่อุณหภูมิต่างกัน

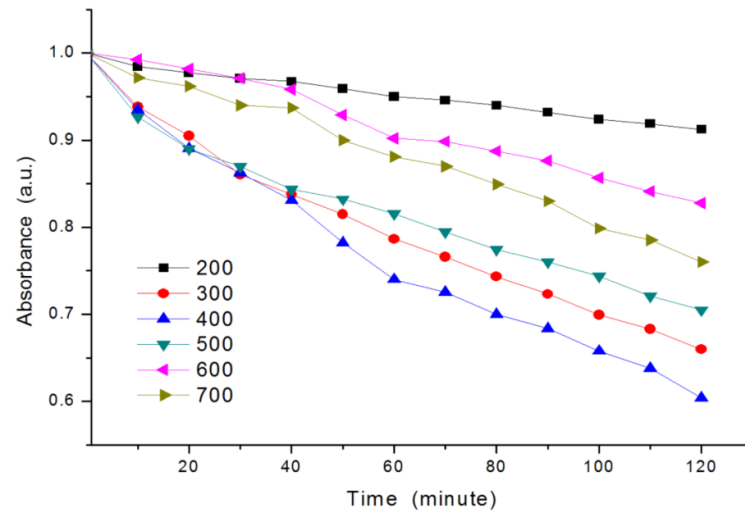
อุณหภูมิแคลไซน์ (องศาเซลเซียส)	แถบช่องว่างพลังงาน (อิเล็กตรอนโวลต์)	ความยาวคลื่นที่ ตอบสนอง (นาโนเมตร)
1) 200	2.37	≤ 524
2) 300	2.36	≤ 526
3) 400	2.42	≤ 513
4) 500	2.38	≤ 522
5) 600	2.39	≤ 520
6) 700	2.37	≤ 524

จากการศึกษาการดูดกลืนแสงของผงตัวอย่างบิสมัททอานาเดตที่สังเคราะห์ที่อุณหภูมิต่างกันที่ช่วงความยาวคลื่นแสงที่ตามองเห็น (400-700 นาโนเมตร) ด้วยเทคนิค Diffused Reflectance UV-Vis Spectroscopy (UV/DRS) พบว่า จากภาพที่ 4.4 ผงตัวอย่างบิสมัททอานาเดตที่สังเคราะห์ที่อุณหภูมิต่างๆ สามารถดูดซับแสงได้ตั้งแต่ความยาวคลื่น 400 นาโนเมตร และจะมีการดูดกลืนแสงลดลงอย่างมากในช่วงความยาวคลื่นประมาณ 513-526 นาโนเมตร

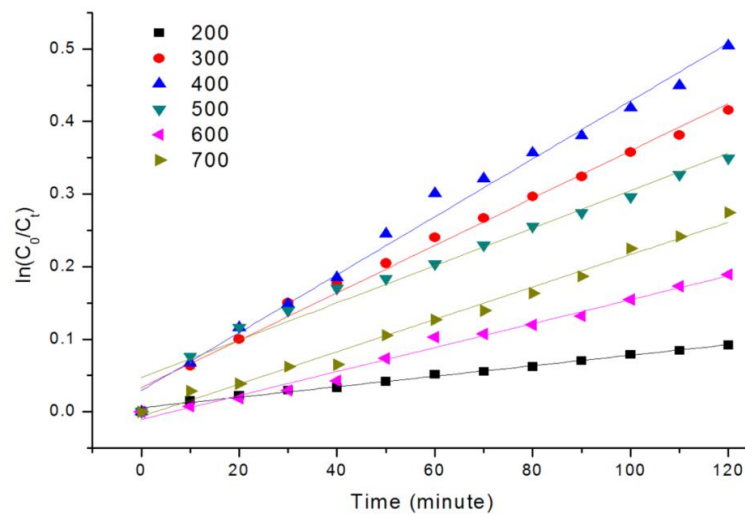
และค่อยๆ ลดลง เมื่อพิจารณากราฟของฟังก์ชันอย่างบิสมัทวานาเดตแคลไซต์ที่อุณหภูมิ 200 องศาเซลเซียส จะเห็นได้ว่ากราฟมีความชันต่ำกว่าฟังก์ชันอย่างแคลไซต์ที่อุณหภูมิ 300 400 500 600 และ 700 องศาเซลเซียส เนื่องจากฟังก์ชันอย่างนั้นมีโครงสร้างที่เป็นออสซิลลูม เกิดผลึกไม่สมบูรณ์[29] ในขณะที่เมื่ออุณหภูมิในการสังเคราะห์มีค่าเพิ่มขึ้น จะพบว่าค่าความชันกราฟมีค่ามากขึ้น ซึ่งแสดงให้เห็นว่าอุณหภูมิในการสังเคราะห์ และโครงสร้างออสซิลลูมมีผลต่อค่าการดูดกลืนแสง จากนั้นเมื่อนำข้อมูลที่ได้มาวิเคราะห์หาค่าแถบช่องว่างพลังงานของฟังก์ชันอย่างบิสมัทวานาเดต โดยทำการพล็อตกราฟระหว่าง $(F(R)hv)^2$ กับพลังงานโฟตอนของบิสมัทวานาเดตที่สังเคราะห์ที่อุณหภูมิต่างๆ ดังภาพที่ 4.5 พบว่าแถบช่องว่างพลังงานของฟังก์ชันอย่างบิสมัทวานาเดตสังเคราะห์ที่อุณหภูมิที่ต่างๆ จะมีค่าอยู่ในช่วง 2.36-2.42 อิเล็กตรอนโวลต์ และสามารถตอบสนองต่อแสงในช่วงที่ตามองเห็นที่ความยาวคลื่นไม่เกิน 526 นาโนเมตร ดังแสดงในตารางที่ 4.1



-ผลวิเคราะห์สมบัติการเป็นตัวเร่งปฏิกิริยาเชิงแสงของตัวอย่างบิสม์ทวานาเดต
(Photocatalytic activity)



ภาพที่ 4.6 การลดลงของค่าการดูดกลืนแสงของสารละลายโรดามีนบีภายใต้แสงช่วงที่ตามองเห็นของบิสม์ทวานาเดตแบบไม่เติมเกลือ แคลไซน์ที่อุณหภูมิ 200-700 องศาเซลเซียส

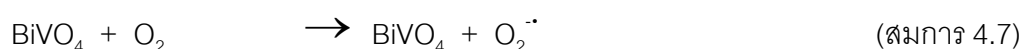
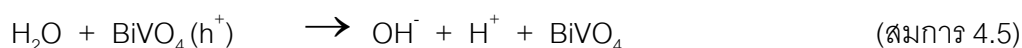
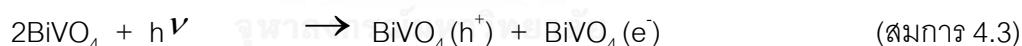


ภาพที่ 4.7 อัตราการเกิดปฏิกิริยาเชิงแสงของบิสม์ทวานาเดตแบบไม่เติมเกลือ แคลไซน์ที่อุณหภูมิ 200-700 องศาเซลเซียส

ตารางที่ 4.2 ค่าประสิทธิภาพของการย่อยสลายของสารละลายโรดามีนบีที่ 120 นาที ภายใต้แสงช่วงที่ตามองเห็น และค่าคงที่อัตราการเกิดปฏิกิริยาโฟโตคะตะลิสต์ของ บิสมัทวานาเดตเตรียมด้วยกระบวนการเกิดปฏิกิริยาในสถานะของแข็ง โดยทำการเผา แคลไซน์ที่อุณหภูมิ 200-700 องศาเซลเซียส

อุณหภูมิแคลไซน์ (องศาเซลเซียส)	ค่าประสิทธิภาพของการสลายตัว ของสารละลายโรดามีนบี (Photodegradation efficiency, %)	ค่าคงที่อัตราการ เกิดปฏิกิริยาโฟโตคะตะ ลิสต์ ($\times 10^{-3} \text{ min}^{-1}$)
1) 200	8.77	7.2
2) 300	34.02	32.6
3) 400	39.61	39.9
4) 500	29.51	25.8
5) 600	17.24	16.5
6) 700	24.00	22.3

จากการศึกษาสมบัติการเป็นตัวเร่งปฏิกิริยาเชิงแสงของผงบิสมัทวานาเดต โดยศึกษาการย่อยสลายสารละลายโรดามีนบี เป็นเวลา 2 ชั่วโมง ภายใต้แสงที่ตามองเห็น (visible-light region, 400 nm-700 nm) สามารถอธิบายปฏิกิริยาการย่อยสลายสารละลายโรดามีนบีของผงบิสมัทวานาเดต ได้ดังสมการต่อไปนี้(27)



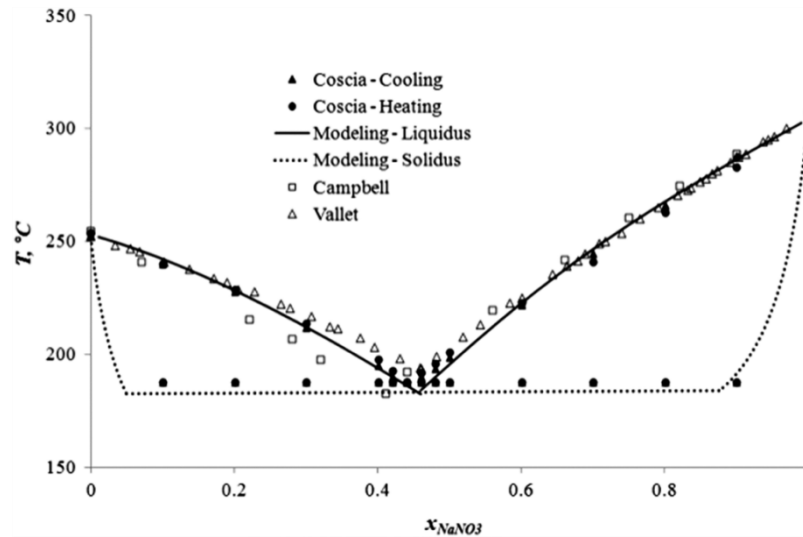
จากภาพที่ 4.6, 4.7 และตารางที่ 4.2 พบว่าผงบิสม์ทวานาเดตที่ทำการเผาแคลไซน์ที่อุณหภูมิ 400 องศาเซลเซียส สามารถย่อยสลายสารละลายโรดามีนบีภายในระยะเวลาที่ 120 นาที ได้อย่างมีประสิทธิภาพมากที่สุด ซึ่งสามารถย่อยสลายได้ถึง 39.61 เปอร์เซ็นต์ มีค่าคงที่การเกิดปฏิกิริยาโฟโตคะตะลิสต์ เท่ากับ 39.9×10^{-3} ต่อนาที ($R^2 = 0.9727$) ในขณะที่ผงบิสม์ทวานาเดตที่อุณหภูมิ 200, 300, 500, 600 และ 700 องศาเซลเซียส สามารถย่อยสลายสารละลายโรดามีนบีได้ 8.77, 34.02, 29.51, 17.24 และ 24.00 เปอร์เซ็นต์ ตามลำดับ และมีค่าคงที่การเกิดปฏิกิริยาโฟโตคะตะลิสต์ เท่ากับ 7.2×10^{-3} , 32.6×10^{-3} , 25.8×10^{-3} , 16.5×10^{-3} และ 22.3×10^{-3} ต่อนาที ตามลำดับ ($R^2 = 0.9944, 0.9893, 0.9898, 0.9869$ และ 0.9888 ตามลำดับ) จะเห็นได้ว่าการที่ผงบิสม์ทวานาเดตที่ทำการเผาแคลไซน์ที่อุณหภูมิ 400 องศาเซลเซียส สามารถย่อยสลายสารละลายโรดามีนบีได้อย่างมีประสิทธิภาพมากที่สุดนั้น น่าจะเป็นผลมาจากโครงสร้างจุลภาคแสดงจากภาพถ่าย FE-SEM ที่มีขนาดเล็กที่สุด ทำให้พื้นที่ผิวในการเกิดปฏิกิริยาสูง ในขณะที่ผงตัวอย่างที่แคลไซน์ที่อุณหภูมิ 200-300 องศาเซลเซียส ยังคงมีความเป็นผลึกไม่สมบูรณ์ และเมื่อแคลไซน์ที่อุณหภูมิสูงตั้งแต่ 500-700 องศาเซลเซียส อนุภาคเกิดการเกาะกลุ่มและโตทำให้พื้นที่ผิวลดต่ำลง

ดังนั้นจากข้อมูลสามารถสรุปได้ว่าการเพิ่มอุณหภูมิในการแคลไซน์มีผลต่อขนาดผลึกโครงสร้างทางจุลภาค ค่าการดูดซับแสง และการเกิดปฏิกิริยาเชิงแสงของผงตัวอย่างบิสม์ทวานาเดต

4.1.2 ศึกษาผลของการเติมเกลือในการสังเคราะห์บิสมัทวานาเดต

1) ผลของการเติมเกลือลิเทียมไนเตรต

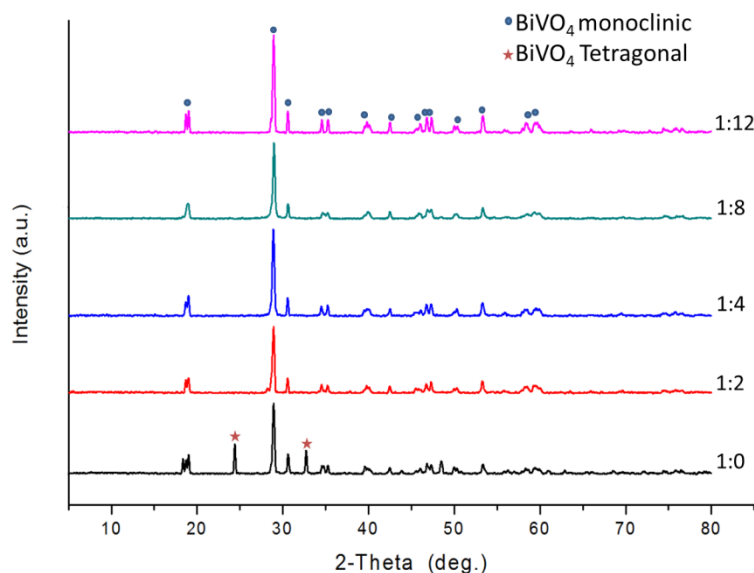
1.1) ศึกษาผลของอัตราส่วนของสารตั้งต้นบิสมัทวานาเดตต่อเกลือลิเทียมไนเตรต



ภาพที่ 4.8 แผนภาพเฟสไดอะแกรมของ $\text{LiNO}_3 - \text{NaNO}_3$

ในการสังเคราะห์ผงตัวอย่างบิสมัทวานาเดตด้วยกระบวนการเกลือหลอมละลายได้ทำการเลือกเติมเกลือลิเทียมไนเตรต ซึ่งจุดหลอมเหลวของเกลือลิเทียมไนเตรตอยู่ที่ 250 องศาเซลเซียส[18] ดังที่แสดงในภาพที่ 4.8 เป็นแผนภาพเฟสไดอะแกรมของ $\text{LiNO}_3 - \text{NaNO}_3$ ดังนั้นจึงได้ทำการเลือกอุณหภูมิที่ใช้ในการสังเคราะห์ที่ 280 องศาเซลเซียส เนื่องจากว่าต้องการใช้อุณหภูมิที่สูงพอที่จะทำให้เกลือที่เลือกให้เกิดการหลอมละลายได้

-ผลวิเคราะห์โครงสร้างและองค์ประกอบเฟสของผงตัวอย่างบิสมัทวานาเดต



ภาพที่ 4.9 กราฟ XRD ของผงตัวอย่างบิสมัทวานาเดตที่เตรียมแบบไม่เติมเกลือหลอมละลาย และแบบเติมเกลือหลอมละลายที่อัตราส่วนสารตั้งต้นบิสมัทวานาเดตต่อเกลือลิเทียมไนเตรตต่างๆ แคลสไนท์อุณหภูมิ 280 องศาเซลเซียส เป็นเวลา 4 ชั่วโมง

ภาพที่ 4.9 ได้แสดงผลการวิเคราะห์องค์ประกอบทางเฟสของผงตัวอย่างบิสมัทวานาเดตที่เตรียมด้วยกระบวนการเกิดปฏิกิริยาในสถานะของแข็ง โดยเติมเกลือหลอมละลายที่อัตราส่วนของสารตั้งต้นต่อเกลือลิเทียมไนเตรตที่แตกต่างกัน ทำการสังเคราะห์ที่อุณหภูมิเดียวกันคือ 280 องศาเซลเซียส จากการศึกษาพบว่าผงตัวอย่างบิสมัทวานาเดตที่สังเคราะห์โดยใช้อัตราส่วนสารตั้งต้นบิสมัทวานาเดตต่อเกลือลิเทียมไนเตรตที่ 1:0 (แบบไม่ได้เติมเกลือ) ประกอบไปด้วยโครงสร้างโมโนคลินิก (BiVO_4 , Monoclinic, JCPD file no. 00-014-0688) และเตตระโกนอล (BiVO_4 , Tetragonal, JCPD file no. 00-014-0133) ในขณะที่ผงตัวอย่างบิสมัทวานาเดตที่สังเคราะห์โดยใช้อัตราส่วนสารตั้งต้นบิสมัทวานาเดตต่อเกลือลิเทียมไนเตรตที่ 1:2, 1:4, 1:8 และ 1:12 ประกอบไปด้วยโครงสร้างโมโนคลินิกเพียงเฟสเดียว โดยเมื่อเปรียบเทียบผลของการไม่เติมเกลือลิเทียมไนเตรต และการเติมเกลือลิเทียมไนเตรต เมื่อทำการสังเคราะห์ที่อุณหภูมิเดียวกัน พบว่า การเติมเกลือลิเทียมไนเตรตส่งผลต่อการเกิดโครงสร้างเฟสของบิสมัทวานาเดต

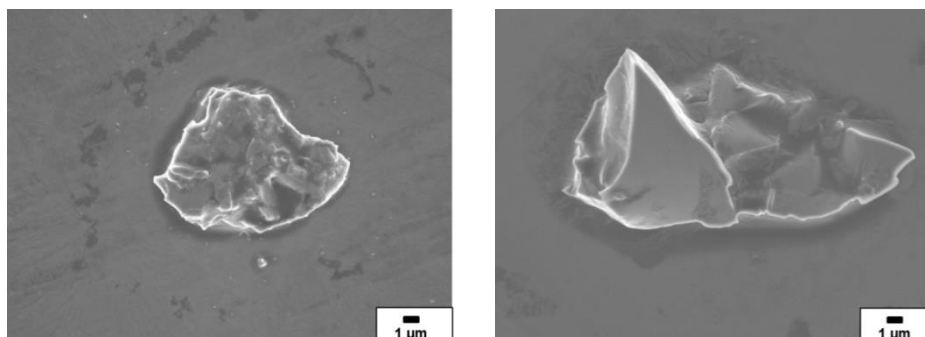
โดยการเติมเกลือลิเทียมไนเตรตมีส่วนช่วยในการส่งเสริมการเกิดเฟสโมโนคลินิกที่มีความผลึกสูงขึ้น เมื่อสัดส่วนเกลือมากขึ้น

ซึ่งจากงานวิจัยที่ผ่านมาได้อธิบายหลักการเกิดกระบวนการเกลือหลอมละลายคือ เป็นกลไกที่ใช้เกลือเป็นตัวกลาง โดยที่เกลือที่เลือกใช้จะต้องไม่ทำปฏิกิริยากับสารตั้งต้นบิสมาทวานาเดต และต้องเป็นตัวทำละลายที่ดี เมื่อทำการสังเคราะห์ที่อุณหภูมิสูงกว่าจุดหลอมเหลวของเกลือสารตั้งต้นบิสมาทวานาเดตจะถูกละลายด้วยเกลือหลอมละลาย (ionic liquid) ทำให้อัตราการแพร่ของสารที่สูงขึ้น ช่วยเร่งอัตราการเกิดปฏิกิริยาได้ โดยเกลือจะทำหน้าที่เป็นตัวกลางที่ทำให้อนุภาคบิสมาทวานาเดตเกิดความเป็นเนื้อเดียวกัน (homogeneous) ช่วยส่งเสริมเกิดเป็นผลึก (crystalline) ขึ้นมา โดยเมื่อมีการเกิดผลึกจนกระทั่งมีการอิมิตัวเกิดขึ้น จะเกิดการตกผลึกมาใหม่ (recrystallization) ซึ่งจะมีการเกิดของนิวเคลียส (nucleation) และการเติบโตของผลึก (growth)(28)

โดยเกลือที่เลือกใช้ในงานวิจัยนี้คือเกลือในกลุ่มไนเตรตได้แก่ ลิเทียมไนเตรต โซเดียมไนเตรต และเกลือผสมลิเทียม-โซเดียมไนเตรต การที่เลือกใช้เกลือในกลุ่มดังกล่าวเนื่องจากเป็นเกลือที่ไม่ทำปฏิกิริยากับสารตั้งต้นบิสมาทวานาเดต เป็นเกลือที่สามารถเป็นตัวทำละลายที่ดี คือมีจุดหลอมเหลวต่ำ สามารถล้างออกด้วยน้ำได้ง่าย ราคาถูก และหาซื้อได้ง่าย ซึ่งสามารถแตกตัวได้ตามสมการดังต่อไปนี้(15, 29)

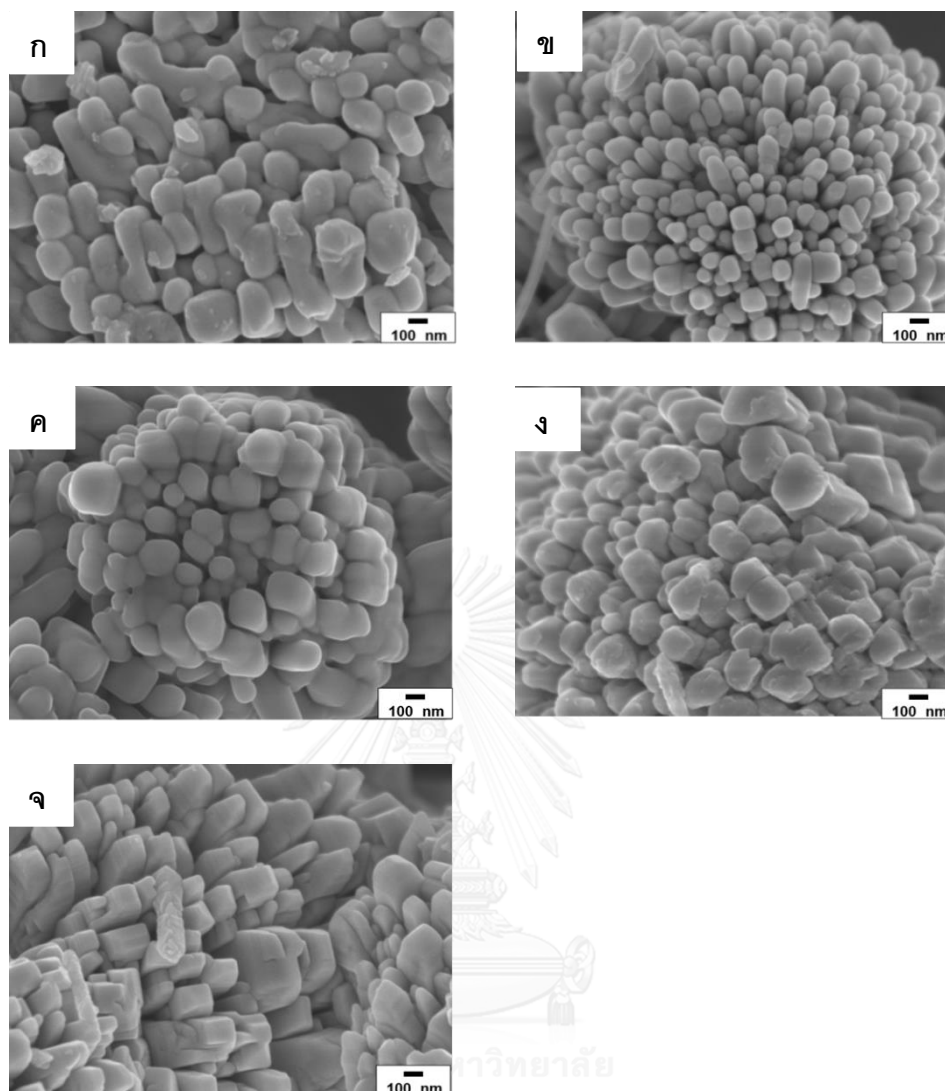


-ผลวิเคราะห์โครงสร้างจุลภาค และสัณฐานวิทยา



ภาพที่ 4.10 ภาพถ่าย FE-SEM ของเกลือลิเทียมไนเตรดที่กำลังขยาย 4000 เท่า

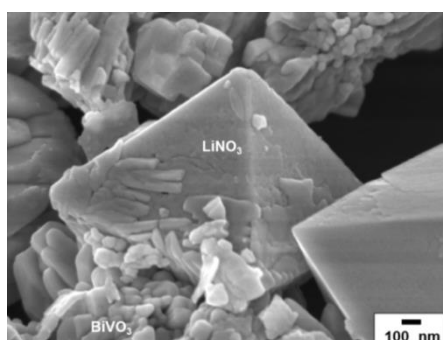
จากภาพที่ 4.10 ได้แสดงภาพถ่าย Fe-SEM ของเกลือลิเทียมไนเตรดที่กำลังขยาย 4000 เท่าจะเห็นได้ว่าเกลือมีลักษณะเป็นผลึก ขนาดใหญ่ และมีรูปร่างไม่แน่นอน



ภาพที่ 4.11 ภาพถ่าย FE-SEM ผงตัวอย่างบิส്മัทวานาเดตที่เตรียมด้วยกระบวนการเกิดปฏิกิริยาในของแข็ง (ก) แบบไม่เต็มเกล็ด และแบบเต็มเกล็ดที่อัตราส่วนสารตั้งต้นบิส്മัทวานาเดตต่อเกล็ดลิเทียมไนเตรตที่ (ข) 1:2 (ค) 1:4 (ง) 1:8 (จ) 1:12 แคลสไนท์ที่อุณหภูมิ 280 องศาเซลเซียส เป็นเวลา 4 ชั่วโมง

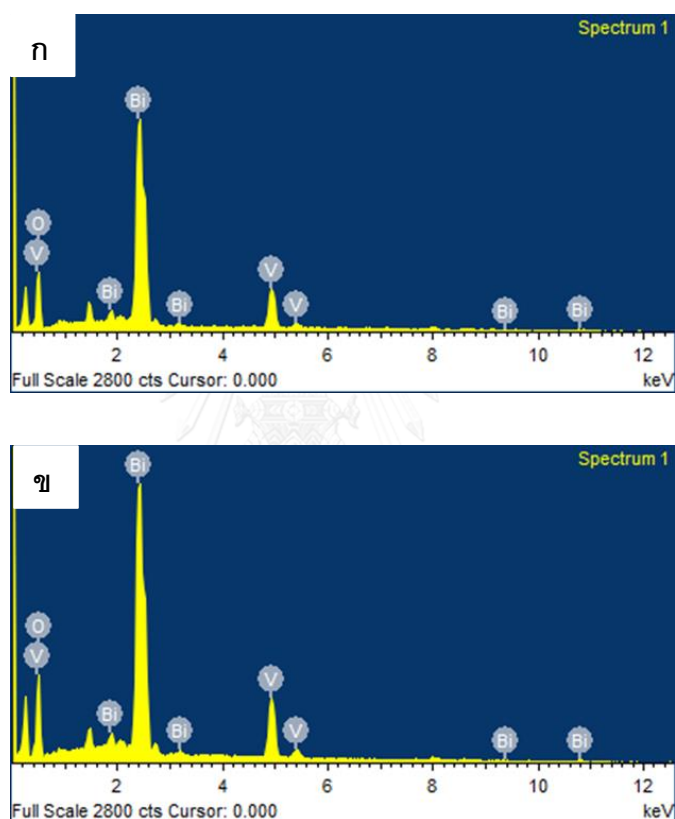
เมื่อนำผงตัวอย่างที่สังเคราะห์ด้วยกระบวนการเกิดปฏิกิริยาในสถานะของแข็ง โดยเติมเกล็ดหลอมละลายที่อัตราส่วนสารตั้งต้นบิส്മัทวานาเดตต่อเกล็ดลิเทียมไนเตรตที่แตกต่างกันมาวิเคราะห์โครงสร้างทางจุลภาคด้วย FE-SEM ที่กำลังขยาย 50,000 เท่า แสดงดังภาพที่ 4.11 พบว่าอนุภาคบิส്മัทวานาเดตจากการเตรียมที่อัตราส่วนสารตั้งต้นบิส്മัทวานาเดตต่อเกล็ดลิเทียมไนเตรตที่แตกต่างกันส่งผลให้ลักษณะรูปร่างของอนุภาคแตกต่างกัน

จากภาพที่ 4.11(ก) แสดงถึงผงบิสมีทวานาเดตที่เตรียมแบบไม่เติมเกลือซึ่งมีลักษณะโครงสร้างอนุภาคค่อนข้างกลมมาเชื่อมติดกัน มีขนาดอนุภาคเฉลี่ยในช่วง 165-300 นาโนเมตร ในขณะที่ผงบิสมีทวานาเดตที่เตรียมแบบเติมเกลือลิเทียมไนเตรตที่อัตราส่วนสารตั้งต้นต่อเกลือลิเทียมไนเตรตที่ 1:2, 1:4 และ 1:8 โครงสร้างอนุภาคมีลักษณะคล้ายกันคือ เกาะกันเป็นกลุ่ม โดยมีขนาดอนุภาคเฉลี่ยในช่วง 65-165, 200-330 และ 220-360 นาโนเมตร ตามลำดับ ส่วนผงบิสมีทวานาเดตที่เตรียมด้วยอัตราส่วนสารตั้งต้นต่อเกลือลิเทียมไนเตรตที่ 1:12 อนุภาคจะมีรูปร่างคล้ายแท่ง มีขนาดอนุภาคความกว้างและความยาวเฉลี่ยเท่ากับ 200 และ 570 นาโนเมตร ตามลำดับ โดยจะเห็นว่าการเติมเกลือที่อัตราส่วนแตกต่างกันไปจะทำให้อนุภาคมีรูปร่างและขนาดอนุภาคแตกต่างกัน จากขนาดอนุภาคดังกล่าวได้แสดงให้เห็นว่าขนาดผลึกมีแนวโน้มที่จะมีค่ามากขึ้น เมื่อมีการเพิ่มอัตราส่วนเกลือเข้าไปในระหว่างการเกิดกระบวนการเกลือหลอมละลาย การเติมเกลือลิเทียมไนเตรตเข้าไปจะส่งเสริมผลึกให้มีการโตขึ้น (crystal growth) และมีความเป็นผลึกมากขึ้น การโตของอนุภาคบิสมีทวานาเดตแสดงให้เห็นว่าเมื่อมีการให้ความร้อนที่มากเกินไปจะทำให้เกลือมีการหลอมละลาย จะสามารถช่วยให้เกิดกระบวนการละลายและการโตของอนุภาคเกิดขึ้น (dissolution-growth process) ในระหว่างกระบวนการเกลือหลอมละลาย (29) และเมื่อพิจารณาเปรียบเทียบระหว่างผงตัวอย่างเตรียมแบบไม่เติมเกลือและแบบเติมเกลือลิเทียมไนเตรตจะเห็นว่า การเติมเกลือลิเทียมไนเตรตช่วยในการทำให้อนุภาคมีความสม่ำเสมอมากขึ้น (homogeneous)



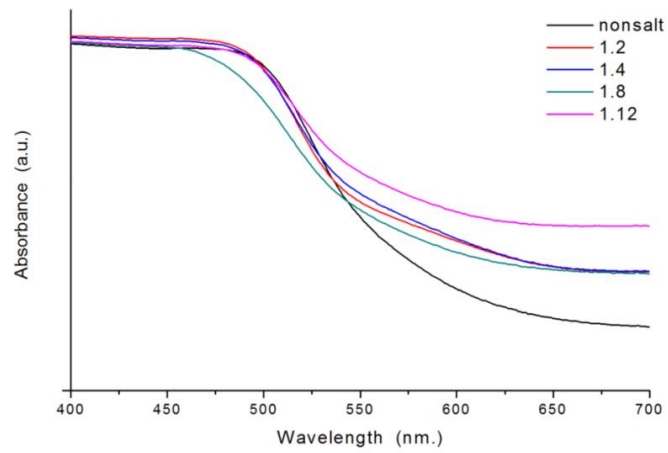
ภาพที่ 4.12 ภาพถ่าย FE-SEM ผงตัวอย่างก่อนล้างเกลือสังเคราะห์ที่อัตราส่วนสารตั้งต้นบิสมีทวานาเดตต่อเกลือลิเทียมไนเตรตที่ 1:2 ที่กำลังขยาย 50000 เท่า แคลสไซน์ที่อุณหภูมิ 280 องศาเซลเซียส เป็นเวลา 4 ชั่วโมง

เมื่อนำผงตัวอย่างบิสมัทวานาเดต ซึ่งเตรียมที่อัตราส่วนสารตั้งต้นบิสมัทวานาเดตต่อเกลือลิเทียมไนเตรตที่ 1:2 ที่ยังไม่ได้ล้างเกลือ แคลไซน์ที่อุณหภูมิ 280 องศาเซลเซียส มาวิเคราะห์โครงสร้างทางจุลภาคพบว่า อนุภาคบิสมัทวานาเดตมีการเกาะกลุ่มกันเป็นก้อนเกิดขึ้น โดยที่มีผลึกเกลือลิเทียมไนเตรตแยกกันอยู่ไม่ได้เข้าไปทำปฏิกิริยากับอนุภาคบิสมัทวานาเดต ที่จะทำให้เกิดสารใหม่ ดังแสดงในภาพที่ 4.12 และผลึกเกลือจะหายไปหลังจากการล้าง

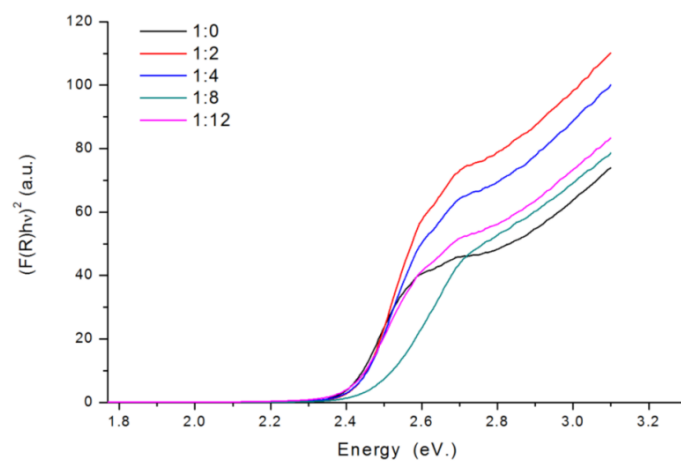


ภาพที่ 4.13 ผลวิเคราะห์ EDS ของผงตัวอย่างบิสมัทวานาเดตที่สังเคราะห์ด้วยกระบวนการเกิดปฏิกิริยาในสถานะของแข็งที่อัตราส่วนสารตั้งต้นบิสมัทวานาเดตต่อเกลือลิเทียมไนเตรตที่แตกต่างกัน (ก) 1:0 (ข) 1:8 ที่อุณหภูมิ 280 องศาเซลเซียส เป็นเวลา 4 ชั่วโมง

ภาพที่ 4.13 ได้แสดงถึงผลการนำผงตัวอย่างบิสมัทวานาเดตมาวิเคราะห์ด้วยเทคนิค EDS ซึ่งแสดงให้เห็นว่าอนุภาคที่สังเคราะห์ได้นั้นมีความบริสุทธิ์ ไม่มีเกลือเหลืออยู่ โดยแสดงสเปกตรัมประกอบไปด้วยธาตุบิสมัท วานาเดียม และออกซิเจนเท่านั้น



ภาพที่ 4.14 กราฟแสดงค่าการดูดกลืนแสงที่ความยาวคลื่นต่างๆ ของบิสมีทวานาเดตสังเคราะห์ด้วยอัตราส่วนสารตั้งต้นบิสมีทวานาเดตต่อเกลือลิเทียมไนเตรตต่างๆ



ภาพที่ 4.15 กราฟพล็อตระหว่าง $(F(R)hv)^2$ กับพลังงานโฟตอนของบิสมีทวานาเดตสังเคราะห์ด้วยอัตราส่วนสารตั้งต้นบิสมีทวานาเดตต่อเกลือลิเทียมไนเตรตต่างๆ

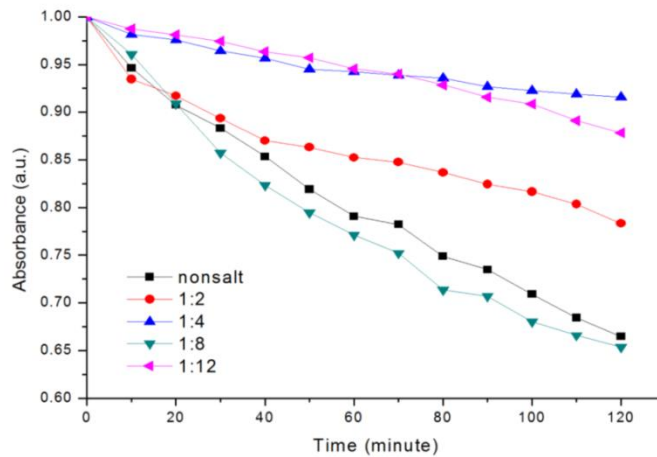
-ผลการวิเคราะห์สมบัติทางแสงและแถบช่องว่างพลังงาน

ตารางที่ 4.3 แถบช่องว่างพลังงานของบิสมัทวานาเดตที่สังเคราะห์ด้วยกระบวนการเกิดปฏิกิริยาในสถานะของแข็งวิเคราะห์ที่อัตราส่วนสารตั้งต้นบิสมัทวานาเดตต่อเกลือลิเทียมในเตรตต่างๆ

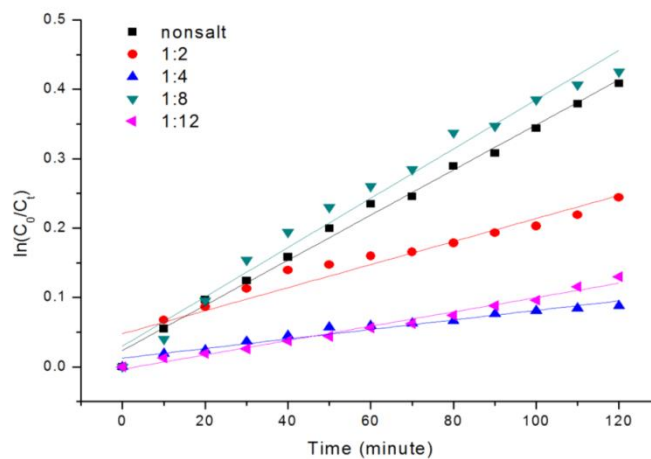
สภาวะในการเตรียม	แถบช่องว่างพลังงาน (อิเล็กตรอนโวลต์)	ความยาวคลื่นที่ ตอบสนอง (นาโนเมตร)
1) แบบไม่เติมเกลือ	2.37	≤ 524
2) BiVO ₄ : LiNO ₃ 1:2	2.41	≤ 515
3) BiVO ₄ : LiNO ₃ 1:4	2.40	≤ 518
4) BiVO ₄ : LiNO ₃ 1:8	2.44	≤ 509
5) BiVO ₄ : LiNO ₃ 1:12	2.37	≤ 524

จากการศึกษาการดูดกลืนแสงของผงตัวอย่างบิสมัทวานาเดตที่เตรียมแบบไม่เติมเกลือและเติมเกลือที่อัตราส่วนสารตั้งต้นบิสมัทวานาเดตต่อเกลือลิเทียมในเตรตต่างๆ ในช่วงความยาวคลื่นแสงที่ตามองเห็น (400-700 นาโนเมตร) ด้วยเทคนิค UV/DRS พบว่า จากภาพที่ 4.14 ผงตัวอย่างบิสมัทวานาเดตที่สังเคราะห์อัตราส่วนสารตั้งต้นบิสมัทวานาเดตต่อเกลือลิเทียมในเตรตต่างๆ สามารถดูดซับแสงในช่วงความยาวคลื่นแสงช่วงที่ตาสามารถมองเห็นได้ตั้งแต่ความยาวคลื่น 400 นาโนเมตร และจะมีการดูดกลืนแสงลดลงอย่างมากในช่วงความยาวคลื่นประมาณ 509-524 นาโนเมตร และค่อยๆ ลดลง เมื่อพิจารณากราฟของผงตัวอย่างบิสมัทวานาเดตที่สังเคราะห์โดยใช้อัตราส่วนสารตั้งต้นบิสมัทวานาเดตต่อเกลือลิเทียมในเตรตที่ 1:8 จะเห็นได้ว่ากราฟมีความชันต่ำกว่าผงตัวอย่างที่สังเคราะห์ที่อัตราส่วนอื่นๆ ซึ่งทำให้ได้ค่าแถบช่องว่างพลังงานที่มีค่ามากกว่าผงตัวอย่างที่สังเคราะห์ที่อัตราส่วนอื่นๆ จะเห็นว่าการเติมเกลือที่อัตราส่วนแตกต่างกันนั้นส่งผลต่อแถบช่องว่างพลังงาน และโครงสร้างอัญฐานด้วย จากนั้นเมื่อนำข้อมูลที่ได้มาวิเคราะห์หาค่าแถบช่องว่างพลังงานของผงตัวอย่างบิสมัทวานาเดต โดยทำการพล็อตกราฟระหว่าง $(F(R)hv)^2$ กับพลังงานโฟตอนของบิสมัทวานาเดตที่สังเคราะห์ที่สภาวะต่างๆ ดังภาพที่ 4.15 พบว่าแถบช่องว่างพลังงานของผงตัวอย่างบิสมัทวานาเดตสังเคราะห์ที่สัดส่วนต่างๆ จะมีค่าอยู่ในช่วง 2.37-2.44 อิเล็กตรอนโวลต์ และสามารถตอบสนองต่อแสงในช่วงที่ตามองเห็นที่ความยาวคลื่นไม่เกิน 524 นาโนเมตร ดังแสดงในตารางที่ 4.3

-ผลวิเคราะห์สมบัติการเป็นตัวเร่งปฏิกิริยาเชิงแสงของผงตัวอย่างบิสมัทวานาเดต (Photocatalytic activity)



ภาพที่ 4.16 การลดลงของค่าการดูดกลืนแสงของสารละลายโรดามีนบีภายใต้แสงที่ตามองเห็นของบิสมัทวานาเดตที่เตรียมด้วยอัตราส่วนสารตั้งต้นบิสมัทวานาเดตต่อเกลือลิเทียมไนเตรตต่างๆ แคลไซน์ที่อุณหภูมิ 280 องศาเซลเซียส เป็นเวลา 4 ชั่วโมง



ภาพที่ 4.17 อัตราการเกิดปฏิกิริยาเชิงแสงของบิสมัทวานาเดตที่เตรียมด้วยอัตราส่วนสารตั้งต้นบิสมัทวานาเดตต่อเกลือลิเทียมไนเตรตต่างๆ แคลไซน์ที่อุณหภูมิ 280 องศาเซลเซียส เป็นเวลา 4 ชั่วโมง

ตารางที่ 4.4 ค่าประสิทธิภาพของการย่อยสลายสารละลายโรดามีนบีภายใต้แสงที่ตามองเห็นที่ 120 นาที และค่าคงที่อัตราการเกิดปฏิกิริยาโฟโตคะตะลิสต์ของผง

ตัวอย่างบิสมัทวานาเดตที่เตรียมด้วยอัตราส่วนสารตั้งต้นบิสมัทวานาเดตต่อเกลือลิเทียมไนเตรตต่างๆ อุณหภูมิ 280 องศาเซลเซียส เป็นเวลา 4 ชั่วโมง

อัตราส่วนสารตั้งต้น $\text{BiVO}_4 : \text{LiNO}_3$	ค่าประสิทธิภาพย่อยสลายของ สารละลายโรดามีนบี (Photodegradation efficiency, %)	ค่าคงที่อัตราการ เกิดปฏิกิริยาโฟโต คะตะลิสต์ ($\times 10^{-3} \text{ min}^{-1}$)
1) แบบไม่เติมเกลือ	33.52	32.3
2) 1:2	21.67	16.6
3) 1:4	8.4	6.9
4) 1:8	34.65	35.5
5) 1:12	12.18	10.3

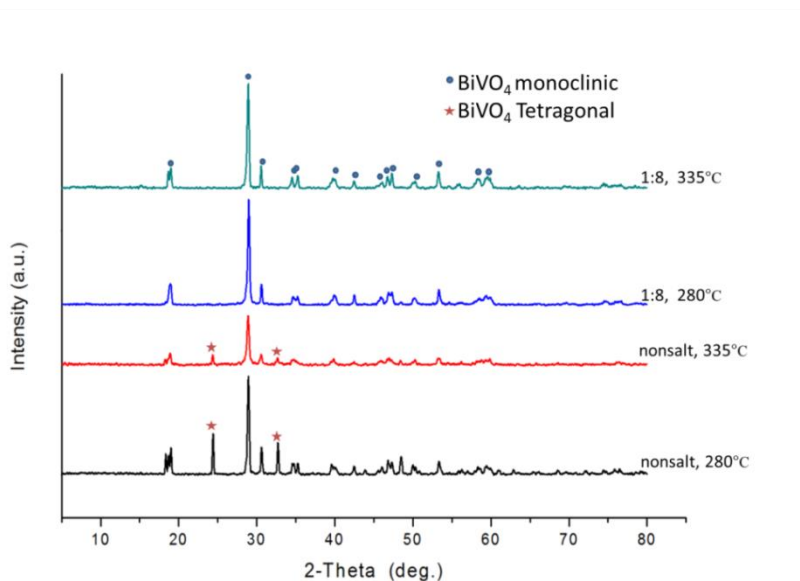
จากการศึกษาสมบัติการเป็นตัวเร่งปฏิกิริยาเชิงแสงของผงบิสมัทวานาเดตที่เตรียมด้วยอัตราส่วนสารตั้งต้นบิสมัทวานาเดตต่อเกลือลิเทียมไนเตรตต่างๆ ด้วยการย่อยสลายสารละลายโรดามีนบีภายใต้การฉายแสงที่ตามองเห็น (visible-light region, 400 nm-700 nm) ดังที่แสดงในภาพที่ 4.16, 4.17 และ ตารางที่ 4.4 พบว่าผงบิสมัทวานาเดตที่เตรียมด้วยอัตราส่วนสารตั้งต้นบิสมัทวานาเดตต่อเกลือลิเทียมไนเตรตที่ 1:8 อุณหภูมิ 280 องศาเซลเซียส เป็นเวลา 4 ชั่วโมง สามารถย่อยสลายสารละลายโรดามีนบีภายในระยะเวลา 120 นาทีได้อย่างมีประสิทธิภาพมากที่สุด ซึ่งสามารถย่อยสลายได้ถึง 34.65 เปอร์เซ็นต์ และมีค่าคงที่อัตราการเกิดปฏิกิริยาโฟโตคะตะลิสต์ เท่ากับ 35.5×10^{-3} ต่อนาที ($R^2 = 0.9791$) ซึ่งมากกว่าผงบิสมัทวานาเดตที่เตรียมแบบไม่เติมเกลือที่สามารถย่อยสลายสารละลายโรดามีนบีได้ 33.52 เปอร์เซ็นต์ (ค่าคงที่อัตราการเกิดปฏิกิริยาโฟโตคะตะลิสต์ เท่ากับ 32.3×10^{-3} ต่อนาที, $R^2 = 0.9944$) และผงบิสมัทวานาเดตที่เตรียมด้วยอัตราส่วนสารตั้งต้นบิสมัทวานาเดตต่อเกลือลิเทียมไนเตรตที่ 1:2, 1:4 และ 1:12 สามารถย่อยสลายสารละลายโรดามีนบีได้เพียง 21.67, 8.4 และ 12.18 ตามลำดับ (ค่าคงที่อัตราการเกิดปฏิกิริยาโฟโตคะตะลิสต์เท่ากับ 16.6×10^{-3} , 6.9×10^{-3} และ 10.3×10^{-3} ต่อนาที ตามลำดับ, $R^2 = 0.9284$, 0.956 และ 0.9857 ตามลำดับ)

เนื่องจากผงบิสมัทวานาเดตที่เตรียมด้วยอัตราส่วนสารตั้งต้นบิสมัทวานาเดตต่อเกลือลิเทียมไนเตรตที่ 1:8 มีความสามารถในการย่อยสลายสารละลายโรดามีนบีได้มากที่สุด ดังนั้นจึงได้

เลือกผงบิสมัทวานาเดตที่เตรียมด้วยอัตราส่วนสารตั้งต้นบิสมัทวานาเดตต่อเกลือลิเทียมไนเตรตที่ 1:8 ไปทำการวิเคราะห์ต่อไป โดยทำการศึกษาเพิ่มอุณหภูมิที่ใช้ในการแคลไซน์

1.2) ศึกษาผลของการเพิ่มอุณหภูมิแคลไซน์

-ผลวิเคราะห์โครงสร้างและองค์ประกอบเฟสของผงตัวอย่างบิสมัทวานาเดต



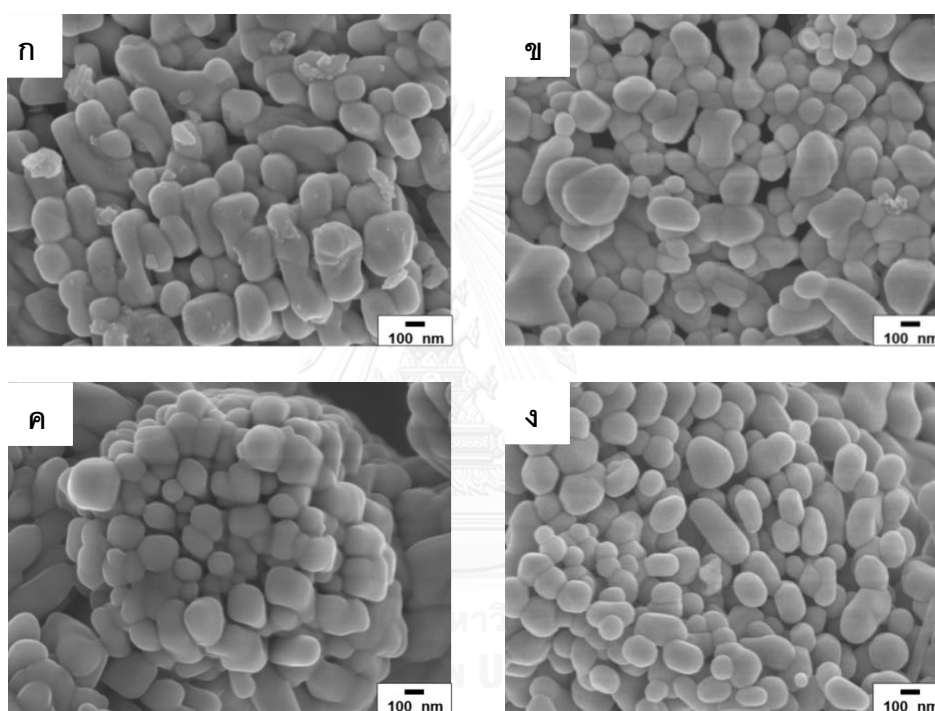
ภาพที่ 4.18 กราฟ XRD ของผงตัวอย่างบิสมัทวานาเดตที่เตรียมแบบไม่เติมเกลือ และแบบเติมเกลือที่อัตราส่วนสารตั้งต้นบิสมัทวานาเดตต่อเกลือลิเทียมไนเตรต 1:8 โดยแคลไซน์ที่อุณหภูมิ 280 และ 335 องศาเซลเซียส เป็นเวลา 4 ชั่วโมง

จากภาพที่ 4.18 ได้แสดงผลการวิเคราะห์องค์ประกอบทางเฟสของผงตัวอย่างบิสมัทวานาเดตที่เตรียมแบบไม่เติมเกลือ และแบบเติมเกลือที่อัตราส่วนสารตั้งต้นบิสมัทวานาเดตต่อเกลือลิเทียมไนเตรต 1:8 โดยศึกษาผลอุณหภูมิในการแคลไซน์ที่เปลี่ยนแปลงต่อโครงสร้างและองค์ประกอบของเฟส โดยอุณหภูมิที่เลือกคือที่อุณหภูมิ 280 และ 335 องศาเซลเซียส จากการศึกษาพบว่าผงตัวอย่างบิสมัทวานาเดตที่เตรียมแบบไม่เติมเกลือแคลไซน์ที่อุณหภูมิ 280 และ 335 องศาเซลเซียส ประกอบไปด้วยโครงสร้างโมโนคลินิก (BiVO_4 , Monoclinic, JCPD file no. 00-014-0688) และเตตระโกนอล (BiVO_4 , Tetragonal, JCPD file no. 00-014-0133) ในขณะที่ผงตัวอย่างบิสมัทวานาเดตที่เตรียมแบบเติมเกลือที่อัตราส่วนสารตั้งต้นบิสมัทวานาเดต

ต่อเกลือลิเทียมไนเตรต 1:8 แคลไซน์ที่อุณหภูมิ 280 และ 335 องศาเซลเซียส ประกอบไปด้วย โครงสร้างโมโนคลินิกเพียงเฟสเดียว

จากข้อมูลสรุปได้ว่าการเติมเกลือลิเทียมไนเตรตมีส่วนช่วยในการในการทำให้ทำให้เกิด โครงสร้างโมโนคลินิกเพียงเฟสเดียว และมีความเป็นผลึกที่สูงขึ้น

-ผลวิเคราะห์โครงสร้างจุลภาค และสัณฐานวิทยาของบิส്മัทวานาเดต

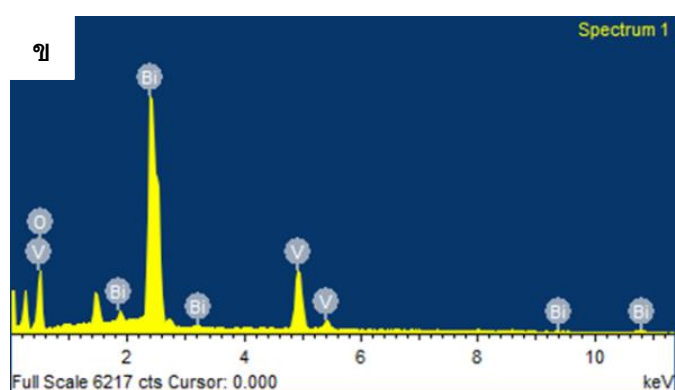
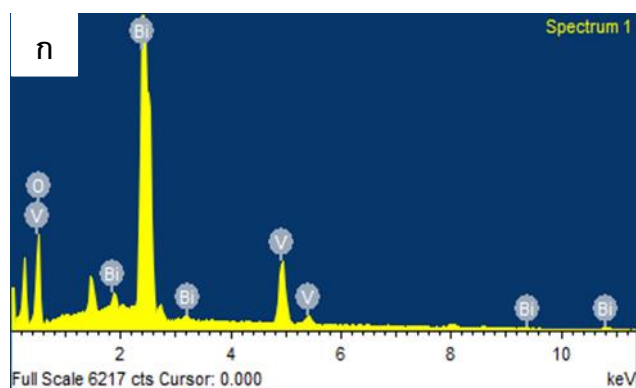


ภาพที่ 4.19 ภาพถ่าย FE-SEM ผงตัวอย่างบิส്മัทวานาเดตที่สังเคราะห์ด้วย กระบวนการเกิดปฏิกิริยาในสถานะของแข็งแบบไม่เติมเกลือแคลไซน์ที่อุณหภูมิ (ก) 280 องศาเซลเซียส และ (ข) 335 องศาเซลเซียส และแบบเติมเกลือที่อัตราส่วนสารตั้งต้น บิส്മัทวานาเดตต่อเกลือลิเทียมไนเตรตที่ 1.8 แคลไซน์ที่อุณหภูมิ (ค) 280 องศา เซลเซียส และ (ง) 335 องศาเซลเซียส เป็นเวลา 4 ชั่วโมง

เมื่อนำผงตัวอย่างที่สังเคราะห์ด้วยกระบวนการเกิดปฏิกิริยาในสถานะของแข็งแบบไม่เติม เกลือ และเติมเกลือที่อัตราส่วนสารตั้งต้นบิส്മัทวานาเดตต่อเกลือลิเทียมไนเตรตที่ 1:8 แคลไซน์ ที่ 280 และ 335 องศาเซลเซียสมาวิเคราะห์โครงสร้างทางจุลภาคด้วย FE-SEM ที่กำลังขยาย 50,000 เท่า แสดงดังภาพที่ 4.19 พบว่าจากภาพที่ 4.19(ก) จะแสดงถึงโครงสร้างอนุภาคแบบ

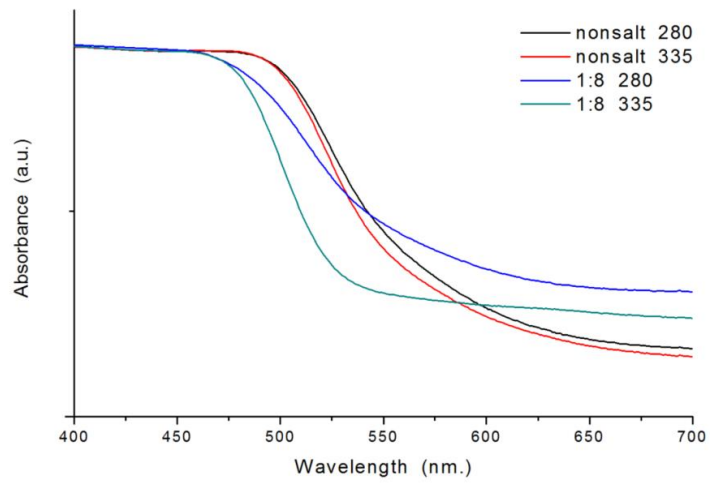
อนุภาคกลมที่เชื่อมติดกัน และมีการเกาะกลุ่มกัน (ขนาดอนุภาคเฉลี่ยในช่วง 165-300 นาโนเมตร) ในขณะที่ 4.19(ข) จะแสดงถึงโครงสร้างอนุภาคแบบอนุภาคกลมที่มีขนาดโตขึ้นเมื่อเพิ่มอุณหภูมิในการแคลไซน์ (ขนาดอนุภาคเฉลี่ยในช่วง 120-415 นาโนเมตร) และมีการกระจายตัวที่สม่ำเสมอมากขึ้น จากภาพที่ 4.19(ค) แสดงถึงโครงสร้างอนุภาคแบบอนุภาคกลม (ขนาดอนุภาคเฉลี่ยในช่วง 220-360 นาโนเมตร) และมีการเกาะกลุ่มกัน ในขณะที่ 4.19(ง) แสดงถึงโครงสร้างอนุภาคแบบอนุภาคกลม (ขนาดอนุภาคเฉลี่ยในช่วง 100-285 นาโนเมตร) อนุภาคค่อนข้างแยกกัน มีการกระจายตัวที่สม่ำเสมอมากขึ้น จากข้อมูลดังกล่าวพบว่าการเติมเกลือลิเทียมไนเตรตมีส่วนช่วยให้อนุภาคมีการกระจายตัวที่ดีขึ้น เมื่อเปรียบเทียบกับอนุภาคที่ได้รับการเตรียมแบบไม่เติมเกลือ จะได้อนุภาคที่ค่อนข้างจะเกาะกลุ่มและเชื่อมต่อกัน

โดยในงานวิจัยที่ผ่านมาได้มีการอธิบายเกี่ยวกับการเติมเกลือลิเทียมไนเตรตว่า การเติมเกลือที่อัตราส่วนที่เหมาะสมจะช่วยให้รูปร่างอนุภาคที่สังเคราะห์ได้ดีขึ้น ในขณะที่เดียวกันเกลือจะช่วยทำให้อนุภาคมีความเป็นเนื้อเดียวกันมากขึ้น(30)

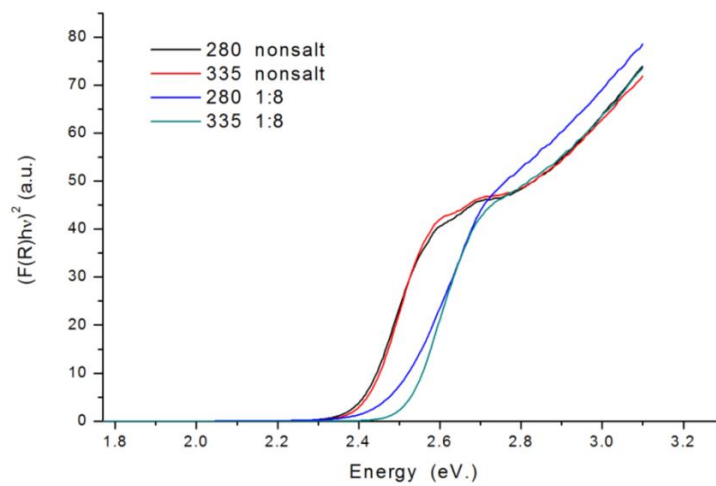


ภาพที่ 4.20 ผลวิเคราะห์ EDS ของผงตัวอย่างบิสมัทวานาเดตที่เตรียมแบบไม่เติมเกลือ และแบบเติมเกลือที่อัตราส่วนสารตั้งต้นบิสมัทวานาเดตต่อเกลือลิเทียมไนเตรต 1:8 โดยแคลไซน์ที่อุณหภูมิ 280 และ 335 องศาเซลเซียส

เมื่อนำผงตัวอย่างบิสมัทวานาเดตมาวิเคราะห์ด้วยเทคนิค EDS ซึ่งแสดงให้เห็นว่าอนุภาคที่สังเคราะห์ได้นั้นมีความบริสุทธิ์ ไม่มีเกลือเหลืออยู่ โดยแสดงสเปกตรัมประกอบไปด้วยธาตุบิสมัท วานาเดียม และออกซิเจนเท่านั้น ดังแสดงที่ภาพ 4.20



ภาพที่ 4.21 กราฟแสดงค่าการดูดกลืนแสงที่ความยาวคลื่นต่างๆ ของบิสมัทวานาเดตที่สังเคราะห์ด้วยกระบวนการเกิดปฏิกิริยาในสถานะของแข็งแบบไม่เติมเกลือ และแบบเติมเกลือที่อุณหภูมิต่างๆ



ภาพที่ 4.22 กราฟพล็อตระหว่าง $(F(R)hv)^2$ กับพลังงานโฟตอนของบิสมัทวานาเดตที่สังเคราะห์ด้วยกระบวนการเกิดปฏิกิริยาในสถานะของแข็งแบบไม่เติมเกลือ และแบบเติมเกลือที่อุณหภูมิต่างๆ

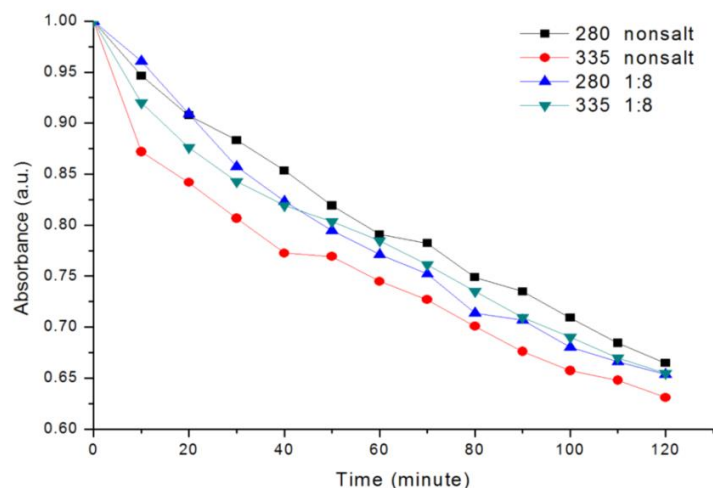
-ผลการวิเคราะห์สมบัติทางแสงและแถบช่องว่างพลังงาน

ตารางที่ 4.5 แถบช่องว่างพลังงานของบิสมัทวานาเดตที่สังเคราะห์ด้วยกระบวนการเกิดปฏิกิริยาในสถานะของแข็งแบบไม่เติมเกลือ และแบบเติมเกลือที่อุณหภูมิต่างๆ

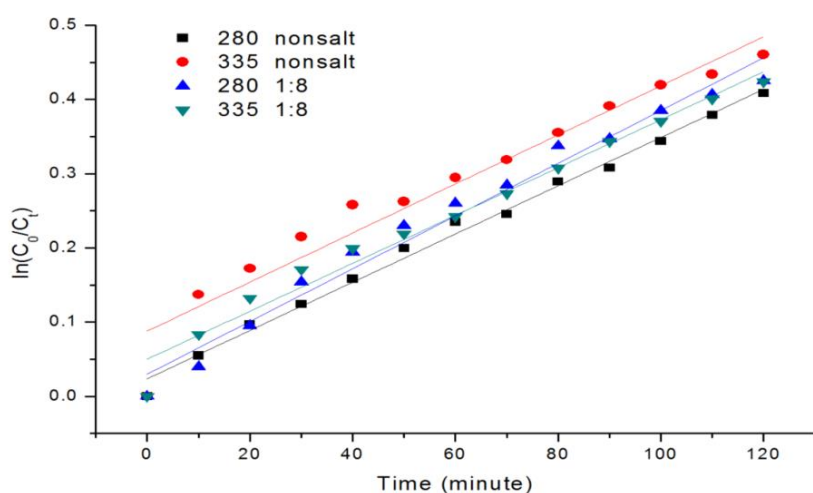
สภาวะในการเตรียม, อุณหภูมิ แคลไซน์ (องศาเซลเซียส)	แถบช่องว่าง พลังงาน (อิเล็กตรอนโวลต์)	ความยาวคลื่นที่ ตอบสนอง (นาโนเมตร)
1) แบบไม่เติมเกลือ, 280	2.37	≤ 524
2) แบบไม่เติมเกลือ, 335	2.38	≤ 522
3) BiVO ₄ :LiNO ₃ 1:8, 280	2.44	≤ 509
4) BiVO ₄ :LiNO ₃ 1:8, 335	2.48	≤ 501

จากการศึกษาการดูดกลืนแสงของผงตัวอย่างบิสมัทวานาเดตในช่วงความยาวคลื่นแสงที่ตามองเห็น (400-700 นาโนเมตร) ด้วยเทคนิค UV/DRS จากภาพที่ 4.21 พบว่าผงตัวอย่างบิสมัทวานาเดตที่สังเคราะห์ด้วยอัตราส่วนสารตั้งต้นบิสมัทวานาเดตต่อเกลือลิเทียมไนเตรตที่ต่างๆ สามารถดูดกลืนแสงได้ตั้งแต่ความยาวคลื่น 400 นาโนเมตร และจะมีการดูดกลืนแสงลดลงอย่างมากในช่วงความยาวคลื่นประมาณ 501-524 นาโนเมตร และค่อยๆ ลดลง จากนั้นเมื่อนำข้อมูลที่ได้มาวิเคราะห์หาค่าแถบช่องว่างพลังงานของผงตัวอย่างบิสมัทวานาเดต โดยทำการพล็อตกราฟระหว่าง $(F(R)hv)^2$ กับพลังงาน โฟตอนของบิสมัทวานาเดตที่สังเคราะห์ที่สภาวะต่างๆ ดังภาพที่ 4.22 พบว่าผงตัวอย่างที่สังเคราะห์ได้มีค่าแถบช่องว่างพลังงานอยู่ในช่วง 2.37-2.48 อิเล็กตรอนโวลต์ ซึ่งสามารถตอบสนองต่อแสงในช่วงที่ตามองเห็นที่ความยาวคลื่นไม่เกิน 524 นาโนเมตร ดังแสดงในตารางที่ 4.5

-ผลวิเคราะห์สมบัติการเป็นตัวเร่งปฏิกิริยาเชิงแสงของผงตัวอย่างบิสมัทวานาเดต
(Photocatalytic activity)



ภาพที่ 4.23 การลดลงของค่าการดูดกลืนแสงของสารละลายโรดามีนบีภายใต้แสงที่ตามองเห็นที่ 120 นาทีของผงตัวอย่างบิสมัทวานาเดตที่เตรียมแบบไม่เติมเกลือและแบบเติมเกลือที่อัตราส่วนสารตั้งต้นบิสมัทวานาเดตต่อเกลือลิเทียมไนเตรต 1:8 โดยแคลไซน์ที่อุณหภูมิตั้งที่ 280 และ 335 องศาเซลเซียส



ภาพที่ 4.24 อัตราการเกิดปฏิกิริยาเชิงแสงของผงตัวอย่างบิสมัทวานาเดตที่เตรียมแบบไม่เติมเกลือ และแบบเติมเกลือที่อัตราส่วนสารตั้งต้นบิสมัทวานาเดตต่อเกลือลิเทียมไนเตรต 1:8 โดยแคลไซน์ที่ 280 และ 335 องศาเซลเซียส

ตารางที่ 4.6 ค่าประสิทธิภาพของการสลายตัวของสารละลายโรดามีนบีภายใต้แสงที่ตามองเห็นที่ 120 นาที และค่าคงที่อัตราการเกิดปฏิกิริยาโฟโตคะตะลิสต์ของตัวอย่างบิสมัทวานาเดตผงตัวอย่างบิสมัทวานาเดตที่เตรียมแบบไม่เติมเกลือ และแบบเติมเกลือที่อัตราส่วนสารตั้งต้นบิสมัทวานาเดตต่อเกลือลิเทียมไนเตรต 1:8 แคลไซน์ที่ 280 และ 335 องศาเซลเซียส

สภาวะในการเตรียม, อุณหภูมิแคลไซน์ (องศาเซลเซียส)	ค่าประสิทธิภาพการย่อยสลายของสารละลายโรดามีนบี (Photodegradation efficiency, %)	ค่าคงที่อัตราการเกิดปฏิกิริยาโฟโตคะตะลิสต์ ($\times 10^{-3} \text{ min}^{-1}$)
1) แบบไม่เติมเกลือ, 280	33.52	32.3
2) แบบไม่เติมเกลือ, 335	36.9	34.6
3) $\text{BiVO}_4:\text{LiNO}_3$ 1:8, 280	34.65	32.8
4) $\text{BiVO}_4:\text{LiNO}_3$ 1:8, 335	34.53	32.4

จากการศึกษาสมบัติการเป็นตัวเร่งปฏิกิริยาเชิงแสงของผงตัวอย่างบิสมัทวานาเดตที่เตรียมแบบไม่เติมเกลือ และแบบเติมเกลือที่อัตราส่วนสารตั้งต้นบิสมัทวานาเดตต่อเกลือลิเทียมไนเตรต 1:8 โดยแคลไซน์ที่อุณหภูมิ 280 และ 335 องศาเซลเซียส เป็นเวลา 4 ชั่วโมง ดังที่แสดงที่ภาพที่ 4.23 และ 4.24 พบว่าผงตัวอย่างที่เตรียมแบบไม่เติมเกลือ โดยแคลไซน์ที่อุณหภูมิ 335 องศาเซลเซียส สามารถย่อยสลายสารละลายโรดามีนบีภายในระยะเวลาที่ 120 นาที ได้อย่างมีประสิทธิภาพมากที่สุด ซึ่งสามารถย่อยสลายได้ถึง 36.9 เปอร์เซ็นต์ และมีค่าคงที่อัตราการเกิดปฏิกิริยาโฟโตคะตะลิสต์ เท่ากับ 34.6×10^{-3} ต่อนาที ($R^2 = 0.9517$) ส่วนผงตัวอย่างที่เตรียมแบบไม่เติมเกลือ แคลไซน์ที่อุณหภูมิ 280 องศาเซลเซียส และผงตัวอย่างที่เตรียมแบบเติมเกลือ แคลไซน์ที่อุณหภูมิ 280 และ 335 องศาเซลเซียส สามารถย่อยสลายสารละลายโรดามีนบีได้ 33.52, 34.65 และ 34.53 ตามลำดับ (ค่าคงที่อัตราการเกิดปฏิกิริยาโฟโตคะตะลิสต์ เท่ากับ 32.3×10^{-3} , 32.8×10^{-3} และ 32.4×10^{-3} ต่อนาที ตามลำดับ, $R^2 = 0.9944$, 0.9616 และ 0.9705 ตามลำดับ) ดังตารางที่ 4.6 จากข้อมูลดังกล่าวพบว่าปัจจัยที่ส่งผลต่อการเป็นตัวเร่งปฏิกิริยาเชิงแสงของผงตัวอย่างบิสมัทวานาเดตคืออุณหภูมิในการแคลไซน์ พบว่าการเพิ่มอุณหภูมิในการแคลไซน์ในการสังเคราะห์ผงตัวอย่างแบบไม่เติมเกลือหลอมละลาย จะช่วยส่งเสริมการย่อยสลายสารละลายโรดามีนบี ผงตัวอย่างที่

เตรียมแบบไม่เต็มเกลือ พิจารณาจากผลตัวอย่างที่เตรียมแบบไม่เต็มเกลือ แคลไซต์ที่อุณหภูมิ 335 องศาเซลเซียสจะให้ประสิทธิภาพในการย่อยสลายสารละลายโรดามีนบีมากกว่าตัวอย่างที่เตรียมแบบไม่เต็มเกลือ แคลไซต์ที่อุณหภูมิ 280 องศาเซลเซียส ต่อมาเมื่อพิจารณาถึงการเติมเกลือลิเทียมไนเตรตพบว่า การเตรียมผลตัวอย่างแบบเต็มเกลือแคลไซต์ที่อุณหภูมิ 280 องศาเซลเซียสให้ประสิทธิภาพในการเป็นตัวเร่งปฏิกิริยาที่ดีมากกว่าการเตรียมผลตัวอย่างแบบไม่เต็มเกลือ แคลไซต์ที่อุณหภูมิ 280 องศาเซลเซียส แต่เมื่อมีปัจจัยในการเพิ่มอุณหภูมิการแคลไซต์เข้ามาเกี่ยวข้องในการสังเคราะห์ พบว่าการเตรียมผลตัวอย่างแบบไม่เต็มเกลือ แคลไซต์ที่อุณหภูมิ 335 องศาเซลเซียสให้ประสิทธิภาพในการย่อยสลายโรดามีนบีที่ดีกว่าการเตรียมผลตัวอย่างแบบไม่เต็มเกลือ แคลไซต์ที่อุณหภูมิ 280 องศาเซลเซียส และแบบเต็มเกลือ แคลไซต์ที่ อุณหภูมิ 280 และ 335 องศาเซลเซียส

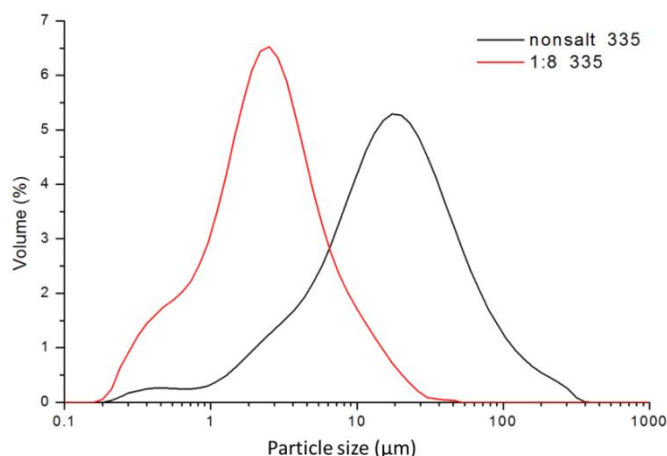
จากนั้นได้นำผลตัวอย่างบิสมัทวานาเดตที่สามารถย่อยสลายโรดามีนบีได้อย่างมีประสิทธิภาพสูงสุด นั่นคือ ผลบิสมัทวานาเดตที่เตรียมแบบไม่เต็มเกลือ แคลไซต์ที่อุณหภูมิ 335 องศาเซลเซียส นำมาหาพื้นที่ผิวจำเพาะและการกระจายตัวของอนุภาคต่อไป โดยทำการวิเคราะห์เปรียบเทียบกับผลบิสมัทวานาเดตที่เตรียมแบบเต็มเกลือลิเทียมไนเตรต ที่อัตราส่วนสารตั้งต้นบิสมัทวานาเดตต่อเกลือลิเทียมไนเตรต 1:8 แคลไซต์ที่อุณหภูมิ 335 องศาเซลเซียส

ตารางที่ 4.7 พื้นที่ผิวจำเพาะ (Specific surface area) ของผงตัวอย่างบิส്മัทวานาเดตที่เตรียมแบบไม่เติมเกลือและเติมเกลือลิเทียมไนเตรตที่อัตราส่วนสารตั้งต้นบิส്മัทวานาเดตต่อเกลือ 1:8 แคลไซน์ที่อุณหภูมิ 335 องศาเซลเซียส

สภาวะในการเตรียม,อุณหภูมิแคลไซน์ (องศาเซลเซียส)	พื้นที่ผิวจำเพาะ (ตารางเมตรต่อกรัม)
1) แบบไม่เติมเกลือ, 335	2.39
2) แบบเติมเกลือ BiVO_4 : LiNO_3 1:8, 335	2.48

จากผลการวิเคราะห์พื้นที่ผิวจำเพาะของผงบิส്മัทวานาเดต พบว่าผงตัวอย่างที่เตรียมแบบเติมเกลือที่อัตราส่วนสารตั้งต้นบิส്മัทวานาเดตต่อเกลือลิเทียมไนเตรต 1:8 สังเคราะห์ที่อุณหภูมิ 335 องศาเซลเซียส ที่มีค่าพื้นที่ผิวจำเพาะสูงกว่าเมื่อเทียบกับผงตัวอย่างที่เตรียมแบบไม่เติมเกลือ ดังตารางที่ 4.7

-ผลวิเคราะห์การกระจายตัวของอนุภาคบิส്മัทวานาเดตที่เตรียมแบบไม่เติมเกลือ และเติมเกลือลิเทียมไนเตรตที่อัตราส่วน 1:8



ภาพที่ 4.25 การกระจายขนาดอนุภาคบิส്മัทวานาเดตที่เตรียมแบบไม่เติมเกลือ และเติมเกลือลิเทียมไนเตรตที่อัตราส่วนสารตั้งต้นบิส്മัทวานาเดตต่อเกลือ 1:8 แคลไซน์ ที่อุณหภูมิ 335 องศาเซลเซียส

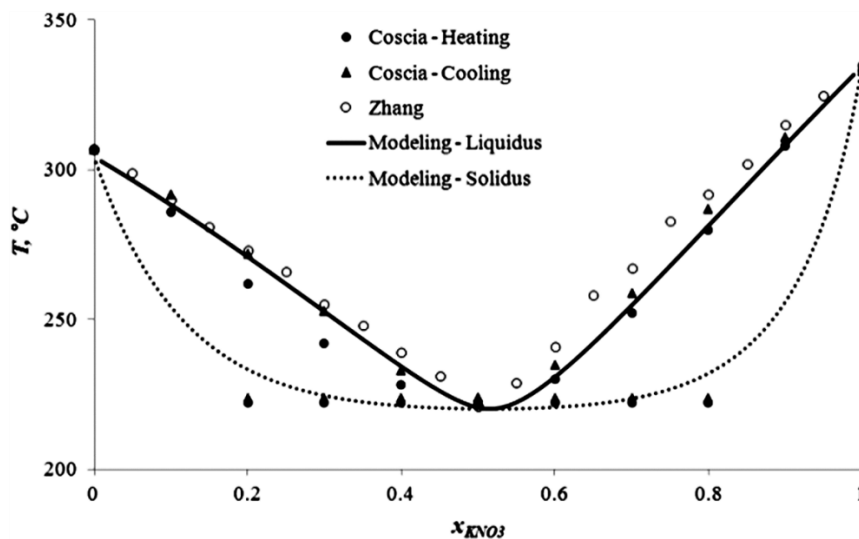
ตารางที่ 4.8 การกระจายขนาดอนุภาคบิส്മัทวานาเดตที่เตรียมแบบไม่เติมเกลือ และเติมเกลือลิเทียมไนเตรตที่อัตราส่วนสารตั้งต้นบิส്മัทวานาเดตต่อเกลือ 1:8 แคลไซน์ ที่อุณหภูมิ 335 องศาเซลเซียส

สภาวะในการเตรียม, อุณหภูมิแคลไซน์ (องศาเซลเซียส)	d(0.1)	d(0.5)	d(0.9)
1) แบบไม่เติมเกลือ, 335	3.028	15.879	62.173
2) แบบเติมเกลือ BiVO ₄ :LiNO ₃ , 335	0.560	2.195	7.282

ผลการเติมเกลือลิเทียมไนเตรตต่อขนาดและการกระจายขนาดอนุภาคบิส്മัทวานาเดต วิเคราะห์ด้วยวิธี Laser light scattering แสดงในภาพที่ 4.25 และตารางที่ 4.8 พบว่า ผง ตัวอย่างที่เตรียมแบบเติมและไม่เติมเกลือ มีการกระจายขนาดค่อนข้างกว้าง โดยผงตัวอย่างที่ เตรียมแบบไม่เติมเกลือ แคลไซน์ที่อุณหภูมิ 335 องศาเซลเซียส มีขนาดอนุภาคเฉลี่ยที่ใหญ่กว่า อนุภาคที่ได้จากการสังเคราะห์โดยเติมเกลือลิเทียมไนเตรต แคลไซน์ที่อุณหภูมิ 335 องศา เซลเซียส

2) ผลของการเติมเกลือโซเดียมไนเตรต

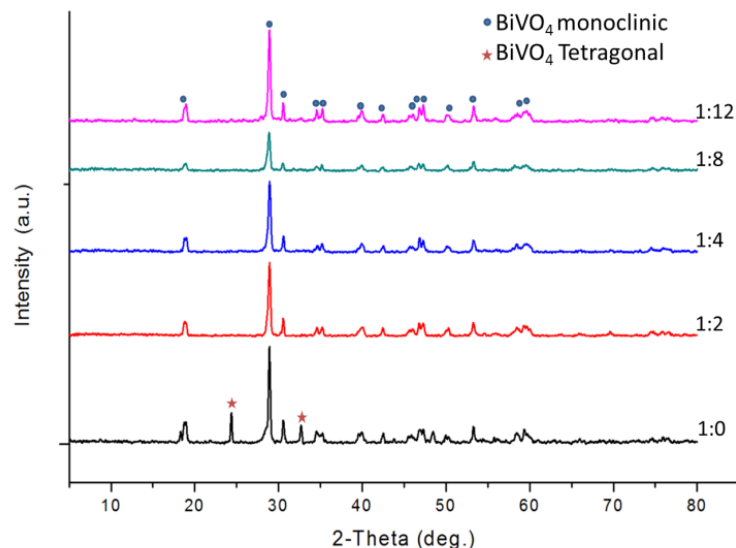
2.1) ศึกษาผลของอัตราส่วนของสารตั้งต้นบิสมีทวานาเดตต่อเกลือโซเดียมไนเตรตต่างๆ



ภาพที่ 4.26 แผนภาพเฟสไดอะแกรมของ NaNO₃ – KNO₃

ในการสังเคราะห์ผงตัวอย่างบิสมีทวานาเดตนี้ได้ทำการเลือกที่จะเติมเกลือโซเดียมไนเตรต ซึ่งจุดหลอมเหลวของโซเดียมไนเตรตที่ 310 องศาเซลเซียส จึงได้ทำการเลือกอุณหภูมิที่ใช้ในการสังเคราะห์ที่ 340 องศาเซลเซียส เนื่องจากว่าต้องการใช้อุณหภูมิที่สูงพอที่จะทำให้เกลือที่เลือกใช้เกิดการหลอมละลายได้ ดังที่แสดงในภาพที่ 4.26

-ผลวิเคราะห์โครงสร้างและองค์ประกอบเฟสของผงตัวอย่างบิสมัทวานาเดต

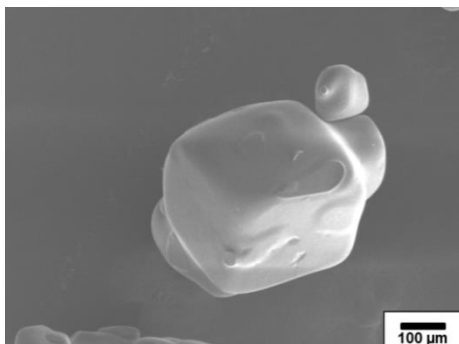


ภาพที่ 4.27 กราฟ XRD ของผงตัวอย่างผงตัวอย่างบิสมัทวานาเดตที่สังเคราะห์ด้วยกระบวนการเกิดปฏิกิริยาในสถานะของแข็งที่อัตราส่วนสารตั้งต้นบิสมัทวานาเดตต่อเกลือโซเดียมไนเตรตต่างๆ ที่อุณหภูมิ 340 องศาเซลเซียส เป็นเวลา 4 ชั่วโมง

จากผลการวิเคราะห์องค์ประกอบทางเฟสของผงตัวอย่างบิสมัทวานาเดตที่เตรียมด้วยกระบวนการเกิดปฏิกิริยาในสถานะของแข็ง-เกลือหลอมละลายที่อุณหภูมิเดียวกันคือ 340 องศาเซลเซียส โดยเติมเกลือหลอมละลายที่อัตราส่วนสารตั้งต้นบิสมัทวานาเดตต่อเกลือโซเดียมไนเตรตต่างๆ เป็นเวลา 4 ชั่วโมง ดังแสดงในภาพที่ 4.27 พบว่าผงตัวอย่างบิสมัทวานาเดตที่สังเคราะห์แบบไม่เติมเกลือ จะประกอบไปด้วยโครงสร้างโมโนคลินิก (BiVO_4 , Monoclinic, JCPD file no. 00-014-0688) และเตตระโกนอล (BiVO_4 , Tetragonal, JCPD file no. 00-014-0133) ในขณะที่ผงตัวอย่างบิสมัทวานาเดตที่สังเคราะห์โดยใช้อัตราส่วนสารตั้งต้นบิสมัทวานาเดตต่อเกลือโซเดียมไนเตรตที่ 1:2, 1:4, 1:8 และ 1:12 ประกอบไปด้วยโครงสร้างโมโนคลินิกเพียงเฟสเดียว

จากข้อมูลสรุปได้ว่าการเติมเกลือโซเดียมไนเตรตช่วยส่งเสริมการเกิดโครงสร้างเป็นโมโนคลินิกเพียงเฟสเดียวได้

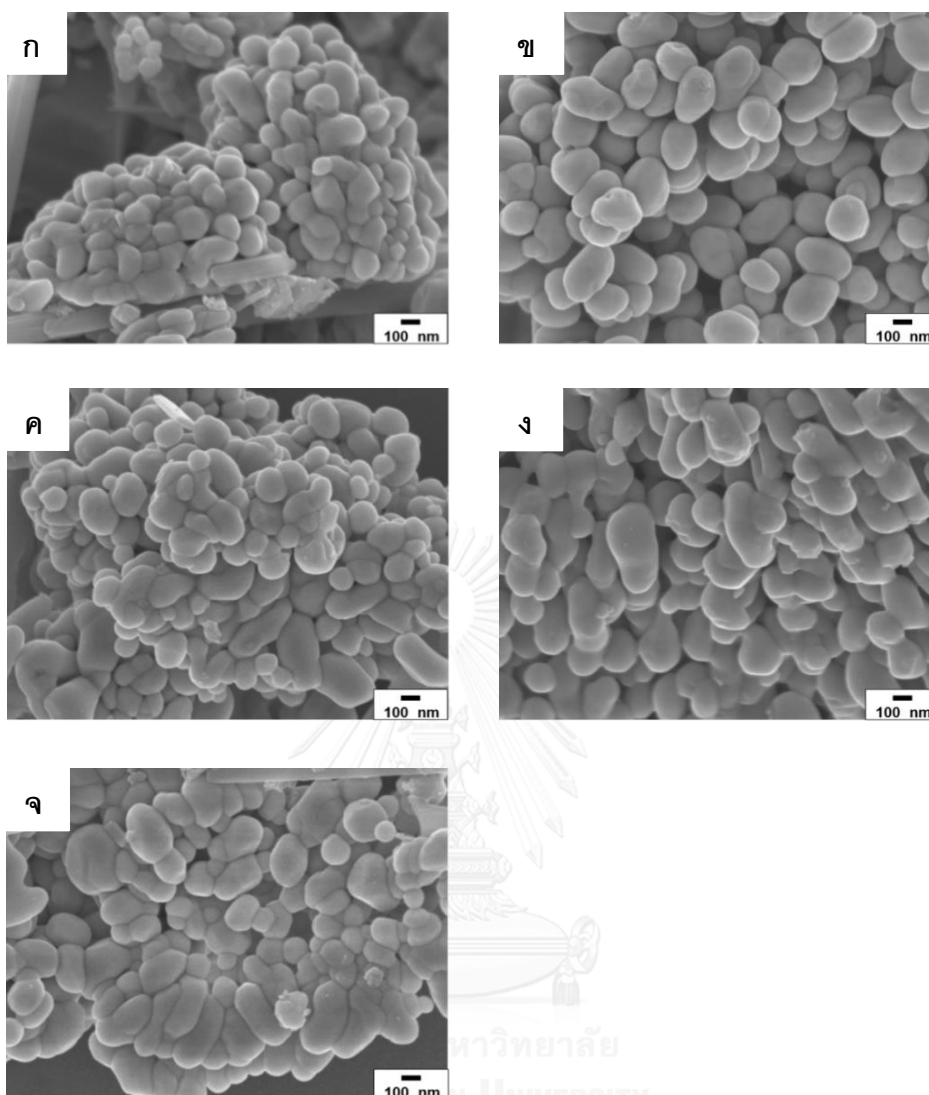
-ผลวิเคราะห์โครงสร้างจุลภาค และสัณฐานวิทยา



ภาพที่ 4.28 ภาพถ่าย FE-SEM ของเกลือไซเดียมที่กำลังขยาย 150 เท่า

จากภาพที่ 4.28 ได้แสดงภาพถ่าย Fe-SEM ของเกลือลิเทียมไนเตรดที่กำลังขยาย 150 เท่า แสดงให้เห็นเกลือมีลักษณะเป็นผลึก และมีขนาดใหญ่

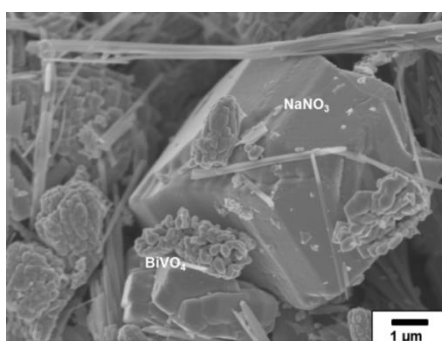




ภาพที่ 4.29 ภาพถ่าย FE-SEM ผงตัวอย่างบิสมัทวานาเดตที่สังเคราะห์ด้วยกระบวนการเกิดปฏิกิริยาในสถานะของแข็ง แคลไซน์ที่อุณหภูมิ 340 องศาเซลเซียส (ก) แบบไม่เติมเกล็ด และแบบเติมเกล็ดที่อัตราส่วนสารตั้งต้นบิสมัทวานาเดตต่อเกล็ดซิลเดียมไนเตรต (ข) 1:2 (ค) 1:4 (ง) 1:8 (จ) 1:12

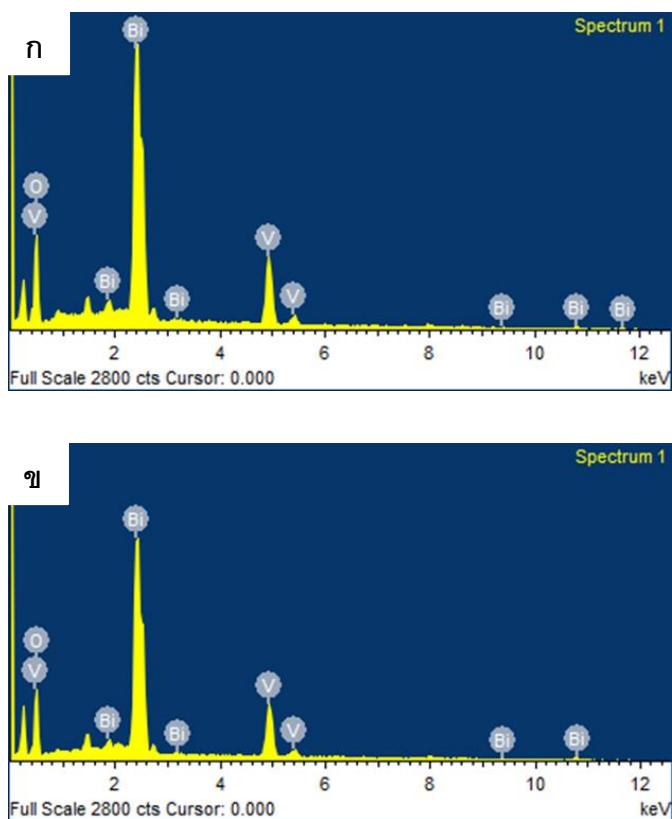
เมื่อนำผงบิสมัทวานาเดตที่สังเคราะห์ด้วยกระบวนการเกิดปฏิกิริยาในสถานะของแข็ง โดยเติมเกล็ดหลอมละลายที่อัตราส่วนสารตั้งต้นบิสมัทวานาเดตต่อเกล็ดซิลเดียมไนเตรตที่แตกต่างกันมาวิเคราะห์โครงสร้างทางจุลภาคด้วย FE-SEM ที่กำลังขยาย 50,000 เท่า แสดงดังภาพที่ 4.29 พบว่าผงบิสมัทวานาเดตที่เตรียมแบบไม่เติมเกล็ด แคลไซน์ที่อุณหภูมิ 340 องศาเซลเซียส โครงสร้างอนุภาคมีลักษณะเป็นทรงกลม เกาะกลุ่มกัน ขนาดอนุภาคเฉลี่ยเท่ากับ 200 นาโนเมตร ส่วนผงบิสมัทวานาเดตที่เตรียมแบบเติมเกล็ดที่อัตราส่วนสารตั้งต้นบิสมัทวานาเดตต่อ

เกลือโซเดียมไนเตรต 1:2 พบว่าโครงสร้างอนุภาคมีลักษณะเป็นทรงกลม โดยมีขนาดอนุภาคเฉลี่ยเท่ากับ 335 นาโนเมตร อนุภาคมีการกระจายตัวมากขึ้น เมื่อเปรียบเทียบกับผงบิสมัทวานาเดตที่เตรียมที่อัตราส่วน 1:4, 1:8, 1:12 พบว่าอนุภาคมีลักษณะกลม มีขนาดที่แตกต่างกัน และมีการเกาะกันเป็นกลุ่ม โดยขนาดอนุภาคเฉลี่ยเท่ากับ 65-265, 200-500 และ 130-400 นาโนเมตร



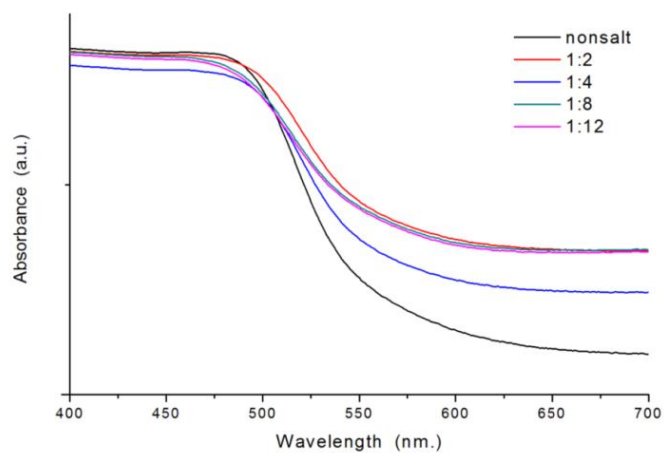
ภาพที่ 4.30 ภาพถ่าย FE-SEM ผงตัวอย่างก่อนล้างเกลือสังเคราะห์ที่อัตราส่วนสารตั้งต้นบิสมัทวานาเดตต่อเกลือโซเดียมไนเตรตที่ 1:8 กำลังขยาย 10000 เท่า

เมื่อนำผงตัวอย่างบิสมัทวานาเดต ซึ่งเตรียมที่อัตราส่วนสารตั้งต้นบิสมัทวานาเดตต่อเกลือโซเดียมไนเตรตที่ 1:8 ที่ยังไม่ได้ล้างเกลือ ที่สังเคราะห์ที่อุณหภูมิ 340 องศาเซลเซียส มาวิเคราะห์โครงสร้างทางจุลภาคพบว่า ผลึกเกลือโซเดียมไนเตรตไม่ได้เข้าไปทำปฏิกิริยากับอนุภาคบิสมัทวานาเดต ที่จะทำให้เกิดสารใหม่ ดังที่แสดงในภาพที่ 4.30 และเมื่อนำไปล้างผลึกเกลือจะหายไป ดังแสดงที่ภาพ 4.29 เหลือแต่อนุภาคบิสมัทวานาเดต

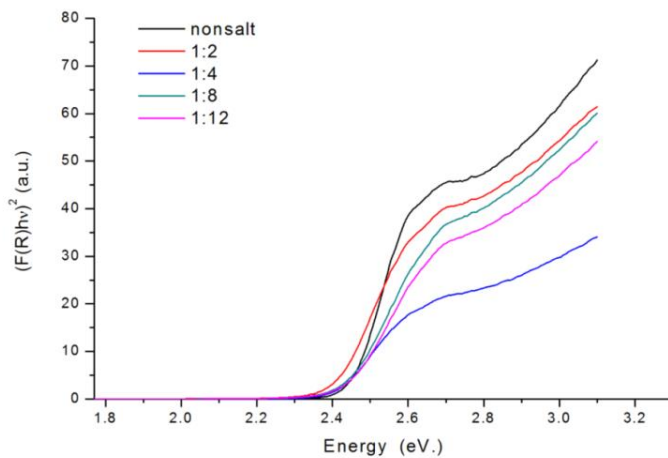


ภาพที่ 4.31 ผลวิเคราะห์ EDS ของผงตัวอย่างบิสมีทวานาเดตที่สังเคราะห์ที่อัตราส่วนสารตั้งต้นบิสมีทวานาเดตต่อเกลือโซเดียมในเตรตที่แตกต่างกัน (ก) 1:0 (ข) 1:8 แคลไซน์ที่อุณหภูมิ 340 องศาเซลเซียส

เมื่อนำผงตัวอย่างบิสมีทวานาเดตที่สังเคราะห์ได้มาวิเคราะห์ด้วยเทคนิค EDS ซึ่งแสดงให้เห็นว่าอนุภาคที่สังเคราะห์ได้นั้นมีความบริสุทธิ์ ไม่มีเกลือเหลืออยู่ โดยแสดงสเปกตรัมประกอบไปด้วยธาตุบิสมีท วานาเดียม และออกซิเจนเท่านั้น ดังแสดงในภาพที่ 4.31



ภาพที่ 4.32 กราฟแสดงค่าการดูดกลืนแสงที่ความยาวคลื่นต่างๆ ของบิสมัทวานาเดตสังเคราะห์ด้วยอัตราส่วนสารตั้งต้นบิสมัทวานาเดตต่อเกลือโซเดียมไนเตรตต่างๆ



ภาพที่ 4.33 กราฟพล็อตระหว่าง $(F(R)hv)^2$ กับพลังงานโฟตอนของบิสมัทวานาเดตสังเคราะห์ด้วยอัตราส่วนสารตั้งต้นบิสมัทวานาเดตต่อเกลือโซเดียมไนเตรตที่ต่างๆ

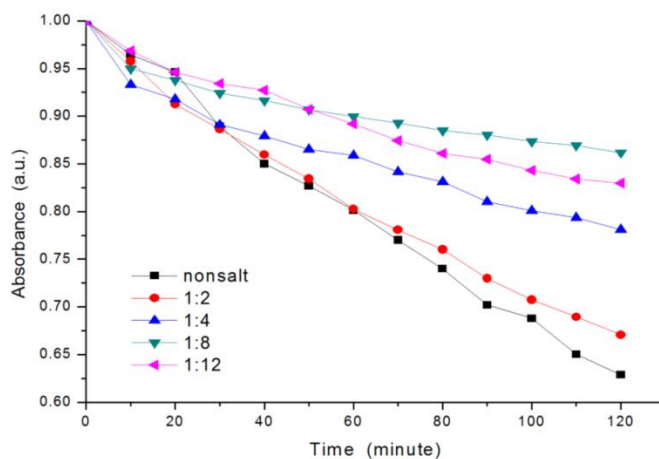
-ผลการวิเคราะห์สมบัติทางแสงและแถบช่องว่างพลังงาน

ตารางที่ 4.9 แถบช่องว่างพลังงานของบิสมัทวานาเดตที่สังเคราะห์ด้วยกระบวนการเกิดปฏิกิริยาในสถานะของแข็งสังเคราะห์ด้วยอัตราส่วนสารตั้งต้นบิสมัทวานาเดตต่อเกลือโซเดียมไนเตรตต่างๆ

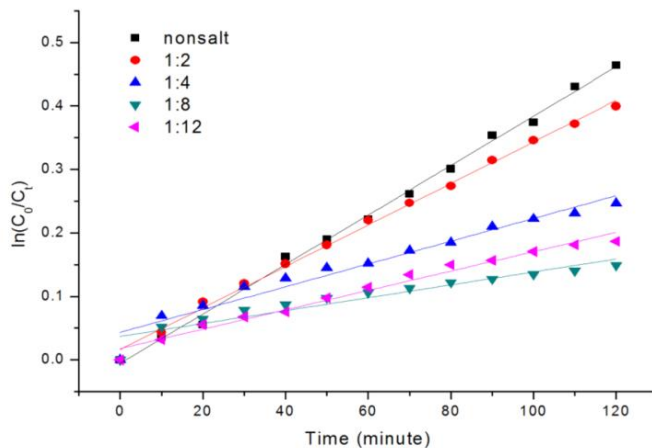
สภาวะในการเตรียม	แถบช่องว่างพลังงาน (อิเล็กตรอนโวลต์)	ความยาวคลื่นที่ตอบสนอง (นาโนเมตร)
1) แบบไม่เติมเกลือ	2.42	≤ 513
2) BiVO ₄ : NaNO ₃ 1:2	2.38	≤ 522
3) BiVO ₄ : NaNO ₃ 1:4	2.36	≤ 526
4) BiVO ₄ : NaNO ₃ 1:8	2.41	≤ 515
5) BiVO ₄ : NaNO ₃ 1:12	2.40	≤ 518

จากการศึกษาการดูดกลืนแสงของผงตัวอย่างบิสมัทวานาเดตในช่วงความยาวคลื่นแสงที่ตามองเห็น (400-700 นาโนเมตร) ด้วยเทคนิค UV/DRS จากภาพที่ 4.32 พบว่า ผงตัวอย่างบิสมัทวานาเดตที่สังเคราะห์ด้วยอัตราส่วนสารตั้งต้นบิสมัทวานาเดตต่อเกลือโซเดียมไนเตรตต่างๆ สามารถดูดซับแสงได้ตั้งแต่ความยาวคลื่น 400 นาโนเมตร และจะมีการดูดกลืนแสงลดลงอย่างมากในช่วงความยาวคลื่นประมาณ 513-526 นาโนเมตร และจะค่อยๆ ลดลง จากนั้นเมื่อนำข้อมูลที่ได้มาวิเคราะห์หาค่าแถบช่องว่างพลังงานของผงตัวอย่างบิสมัทวานาเดต โดยทำการพล็อตกราฟระหว่าง $(F(R)hv)^2$ กับพลังงานโฟตอนของบิสมัทวานาเดตที่สังเคราะห์ที่อัตราส่วนต่างๆ ดังภาพที่ 4.33 พบว่า แถบช่องว่างพลังงานของผงตัวอย่างบิสมัทวานาเดตสังเคราะห์ที่อัตราส่วนต่างๆ จะมีค่าอยู่ในช่วง 2.36-2.42 อิเล็กตรอนโวลต์ และสามารถตอบสนองต่อแสงในช่วงตามองเห็นที่ความยาวคลื่นไม่เกิน 526 นาโนเมตร ดังแสดงในตารางที่ 4.9

-ผลวิเคราะห์สมบัติการเป็นตัวเร่งปฏิกิริยาเชิงแสงของตัวอย่างบิสมัทวานาเดต (Photocatalytic activity)



ภาพที่ 4.34 การลดลงของค่าการดูดกลืนแสงของสารละลายโรดามีนบีภายใต้แสงที่ตามองเห็นที่ 120 นาทีของผงตัวอย่างบิสมัทวานาเดตที่เตรียมด้วยอัตราส่วนสารตั้งต้นบิสมัทวานาเดตต่อเกลือโซเดียมไนเตรตต่างๆ แคลไซน์ที่อุณหภูมิตั้งต้น 340 องศาเซลเซียส



ภาพที่ 4.35 อัตราการเกิดปฏิกิริยาเชิงแสงของบิสมัทวานาเดตที่เตรียมด้วยอัตราส่วนสารตั้งต้นบิสมัทวานาเดตต่อเกลือโซเดียมไนเตรตต่างๆ แคลไซน์ที่อุณหภูมิตั้งต้น 340 องศาเซลเซียส

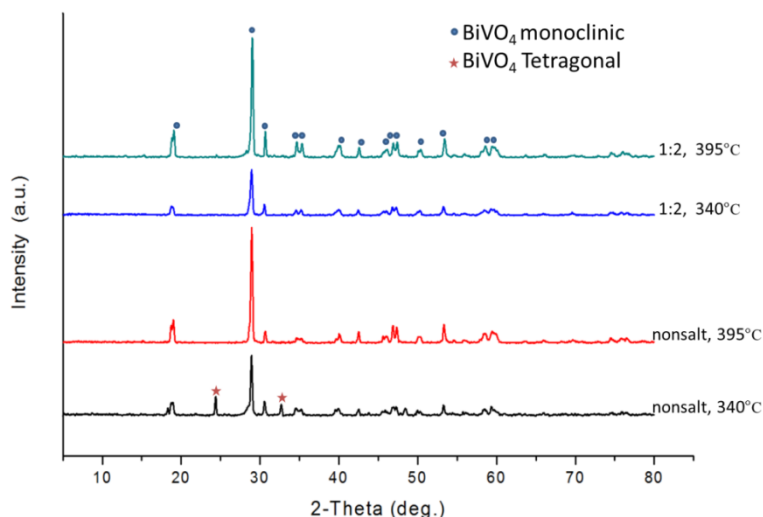
ตารางที่ 4.10 ค่าประสิทธิภาพของการสลายตัวของสารละลายโรดามีนบีที่ 120 นาทีภายใต้แสงที่ตามองเห็น และและค่าคงที่อัตราการเกิดปฏิกิริยาโฟโตคะตะลิสต์ ตัวอย่างบิสมัทวานาเดตที่เตรียมด้วยอัตราส่วนสารตั้งต้นบิสมัทวานาเดตต่อเกลือโซเดียมไนเตรตต่างๆ อุณหภูมิ 340 องศาเซลเซียส

อัตราส่วนสารตั้งต้น $\text{BiVO}_4 : \text{NaNO}_3$	ค่าประสิทธิภาพของกา สลายตัวของ สารละลายโรดามีนบี (Photodegradation efficiency, %)	ค่าคงที่อัตราการ เกิดปฏิกิริยาโฟโตคะตะ ลิสต์ ($\times 10^{-3} \text{ min}^{-1}$)
1) แบบไม่เติมเกลือ	37.13	38.9
2) 1:2	32.94	32.7
3) 1:4	21.9	17.9
4) 1:8	13.83	10.2
5) 1:12	17.02	15.3

จากการศึกษาสมบัติการเป็นตัวเร่งปฏิกิริยาเชิงแสงของผงบิสมัทวานาเดตที่เตรียมด้วยอัตราส่วนสารตั้งต้นบิสมัทวานาเดตต่อเกลือโซเดียมไนเตรตต่างๆ ด้วยการย่อยสลายสารละลายโรดามีนบีภายใต้การฉายแสงที่ตามองเห็น (visible-light region, 400 nm-700 nm) ดังที่แสดงที่ภาพที่ 4.34 และ 4.35 พบว่าผงบิสมัทวานาเดตที่เตรียมแบบไม่เติมเกลือ แคลไซน์ที่อุณหภูมิ 340 องศาเซลเซียส เป็นเวลา 4 ชั่วโมง สามารถย่อยสลายสารละลายโรดามีนบีภายในระยะเวลาที่ 120 นาทีได้อย่างมีประสิทธิภาพมากที่สุด ซึ่งสามารถย่อยสลายได้ถึง 37.13 เปอร์เซ็นต์ และมีค่าคงที่อัตราการเกิดปฏิกิริยาโฟโตคะตะลิสต์เท่ากับ 38.9×10^{-3} , $R^2 = 0.9969$) ในขณะที่ผงบิสมัทวานาเดตที่เตรียมด้วยอัตราส่วนสารตั้งต้นบิสมัทวานาเดตต่อเกลือโซเดียมไนเตรตที่ 1:2, 1:4, 1:8 และ 1:12 สามารถย่อยสลายสารละลายโรดามีนบีได้ 32.94, 21.9, 13.83 และ 17.02 เปอร์เซ็นต์ ตามลำดับ (ค่าคงที่อัตราการเกิดปฏิกิริยาโฟโตคะตะลิสต์เท่ากับ 32.7×10^{-3} , 17.9×10^{-3} , 10.2×10^{-3} และ 15.3×10^{-3} ต่อหน้าที่ ตามลำดับ, $R^2 = 0.9967$, 0.9528 , 0.9012 และ 0.9802 ตามลำดับ) ดังจะเห็นได้จากตารางที่ 4.10

2.2) ศึกษาผลของการเพิ่มอุณหภูมิแคลไซน์

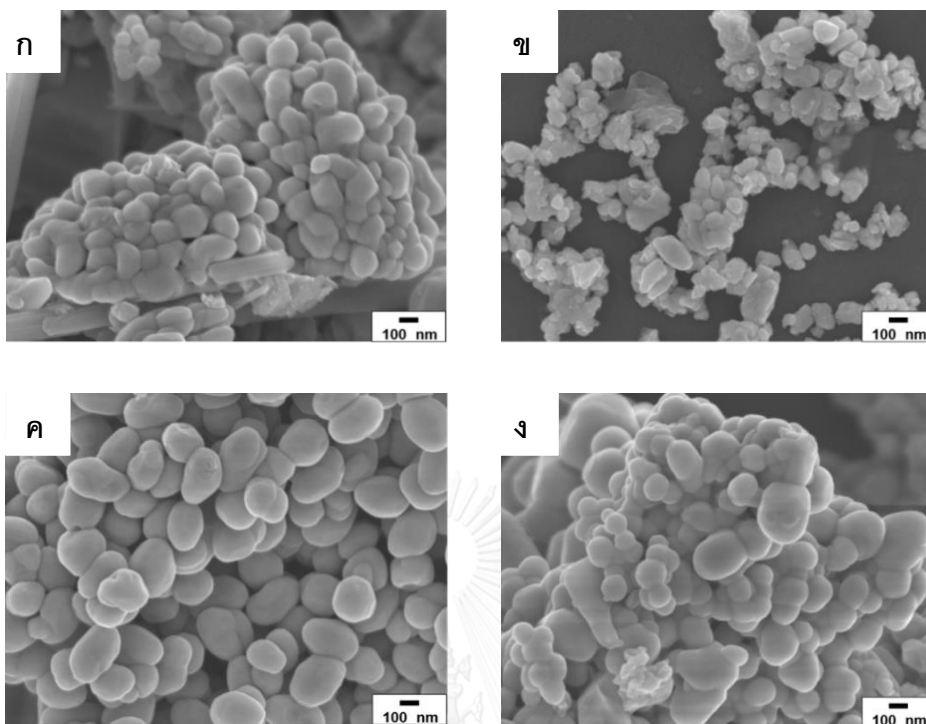
-ผลวิเคราะห์โครงสร้างและองค์ประกอบเฟสของผงตัวอย่างบิสมัทวานาเดต



ภาพที่ 4.36 กราฟ XRD ของผงตัวอย่างบิสมัทวานาเดตที่เตรียมแบบไม่เติมเกลือ และแบบเติมเกลือที่อัตราส่วนสารตั้งต้นบิสมัทวานาเดตต่อเกลือเกลือโซเดียมไนเตรต 1:2 โดยแคลไซน์ที่อุณหภูมิ 340 และ 395 องศาเซลเซียส

จากผลการวิเคราะห์องค์ประกอบทางเฟสของผงตัวอย่างบิสมัทวานาเดตที่เตรียมแบบไม่เติมเกลือ และแบบเติมเกลือที่อัตราส่วนสารตั้งต้นบิสมัทวานาเดตต่อเกลือโซเดียมไนเตรต 1:2 โดยศึกษาผลอุณหภูมิในการสังเคราะห์ที่เปลี่ยนแปลงต่อโครงสร้างและองค์ประกอบของเฟส โดยอุณหภูมิที่เลือกคือที่อุณหภูมิ 340 และ 395 องศาเซลเซียส จากภาพที่ 4.36 ได้แสดงผลการวิเคราะห์องค์ประกอบทางเฟสของผงตัวอย่างบิสมัทวานาเดตที่เตรียมแบบไม่เติมเกลือ สังเคราะห์ที่อุณหภูมิ 340 องศาเซลเซียส ประกอบไปด้วยโครงสร้างโมโนคลินิก (BiVO_4 , Monoclinic, JCPD file no. 00-014-0688) และเตตระโกนอล (BiVO_4 , Tetragonal, JCPD file no. 00-014-0133) ในขณะที่ผงตัวอย่างบิสมัทวานาเดตแบบไม่เติมเกลือสังเคราะห์ที่อุณหภูมิ 395 องศาเซลเซียส และแบบเติมเกลือโดยใช้อัตราส่วนสารตั้งต้นบิสมัทวานาเดตต่อเกลือโซเดียมไนเตรตที่ 1:2 สังเคราะห์ที่อุณหภูมิ 340 และ 395 องศาเซลเซียส ประกอบไปด้วยโครงสร้างโมโนคลินิกเพียงเฟสเดียว จึงแสดงให้เห็นว่าการเพิ่มอุณหภูมิในการสังเคราะห์และการเติมเกลือส่งผลต่อการเกิดโครงสร้างเฟสของบิสมัทวานาเดต

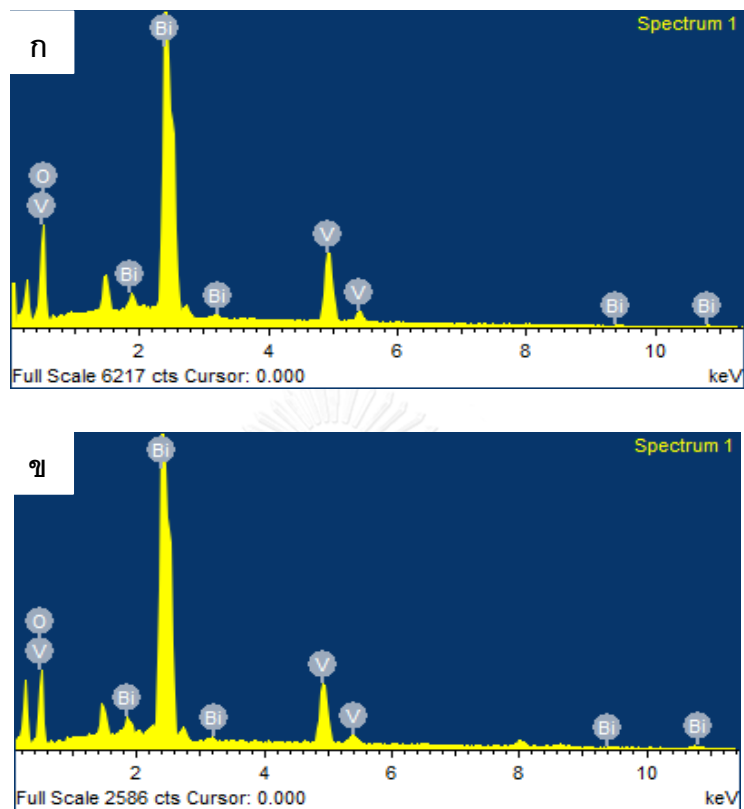
-ผลวิเคราะห์โครงสร้างจุลภาค และสัณฐานวิทยาของบิสมัทวานาเดต



ภาพที่ 4.37 ภาพถ่าย FE-SEM ผงบิสมัทวานาเดตที่สังเคราะห์ด้วยกระบวนการเกิดปฏิกิริยาในสถานะของแข็งแบบไม่เติมเกล็ด แคลไซน์ที่อุณหภูมิ (ก) 340 องศาเซลเซียส และ (ข) 395 องศาเซลเซียส และแบบเติมเกล็ดที่อัตราส่วนสารตั้งต้นบิสมัทวานาเดตต่อเกลือโซเดียมไนเตรดที่ 1:2 แคลไซน์ที่อุณหภูมิ (ค) 340 องศาเซลเซียส (ง) 395 องศาเซลเซียส เป็นเวลา 4 ชั่วโมง

เมื่อนำผงบิสมัทวานาเดตที่เตรียมแบบไม่เติมเกล็ด และแบบเติมเกล็ดที่อัตราส่วนสารตั้งต้นบิสมัทวานาเดตต่อเกลือโซเดียมไนเตรดที่ 1:2 แคลไซน์ที่อุณหภูมิ 340 องศาเซลเซียส และ 395 องศาเซลเซียส มาวิเคราะห์โครงสร้างทางจุลภาคด้วย FE-SEM ที่กำลังขยาย 50,000 เท่า แสดงดังภาพที่ 4.37 พบว่าผงบิสมัทวานาเดตที่เตรียมแบบไม่เติมเกล็ด แคลไซน์ที่อุณหภูมิ 340, 395 องศาเซลเซียส มีลักษณะอนุภาคเป็นทรงกลม และเกาะกลุ่มกัน ขนาดอนุภาคเฉลี่ยเท่ากับ 200, 65 นาโนเมตร ตามลำดับ ส่วนผงบิสมัทวานาเดตที่เตรียมแบบเติมเกล็ดแคลไซน์ที่อุณหภูมิ 340 องศาเซลเซียส มีลักษณะอนุภาคเป็นทรงกลม และกระจายตัวดีกว่าผงบิสมัทวานาเดตที่สังเคราะห์แบบไม่เติมเกล็ด ขนาดอนุภาคเฉลี่ยเท่ากับ 335 นาโนเมตร เมื่อเปรียบเทียบกับผงอนุภาคบิสมัทวานาเดตที่เตรียมแบบเติมเกล็ดแคลไซน์ที่อุณหภูมิ 395 องศาเซลเซียส

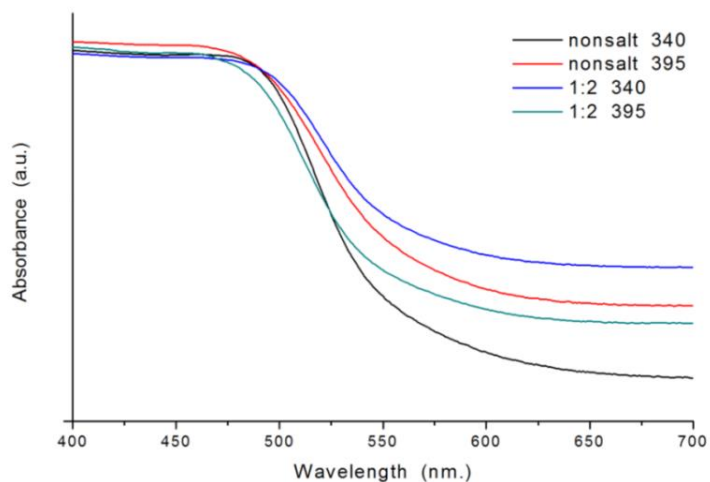
พบว่ามึลักษณะอนุภาคเป็นทรงกลม เกาะกลุ่มกัน และมีขนาดที่แตกต่างกัน โดยขนาดอนุภาคเฉลี่ยนเท่ากับ 135-365 นาโนเมตร



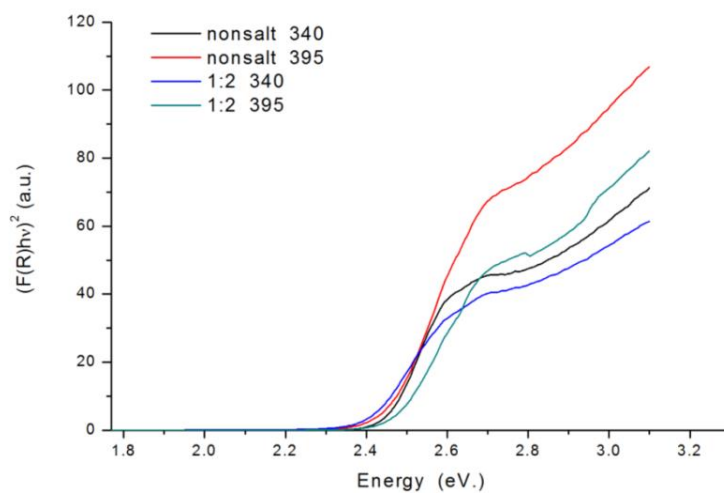
ภาพที่ 4.38 ผลวิเคราะห์ EDS ของผงตัวอย่างบิสมัทวานาเดตที่สังเคราะห์ด้วยกระบวนการเกิดปฏิกิริยาในสถานะของแข็งที่อุณหภูมิ 395 องศาเซลเซียส (ก) แบบไม่เติมเกลือ และ (ข) แบบเติมเกลือที่อัตราส่วนสารตั้งต้นบิสมัทวานาเดตต่อเกลือโซเดียมไนเตรดที่แตกต่างกัน 1:2 เป็นเวลา 4 ชั่วโมง

ภาพที่ 4.38 ได้แสดงถึงผลการนำผงตัวอย่างบิสมัทวานาเดตมาวิเคราะห์ด้วยเทคนิค EDS ซึ่งแสดงให้เห็นว่าอนุภาคที่สังเคราะห์ได้นั้นมีความบริสุทธิ์ ไม่มีเกลือเหลืออยู่ โดยแสดงสเปกตรัมประกอบไปด้วยธาตุบิสมัท วานาเดียม และออกซิเจนเท่านั้น

-ผลการวิเคราะห์สมบัติทางแสงและแถบช่องว่างพลังงาน



ภาพที่ 4.39 กราฟแสดงค่าการดูดกลืนแสงที่ความยาวคลื่นต่างๆ ของบิสมัทวานาเดตที่สังเคราะห์ด้วยกระบวนการเกิดปฏิกิริยาในสถานะของแข็งแบบเต็มและไม่เต็มเกล็ด แคลไซน์อุณหภูมิต่างๆ



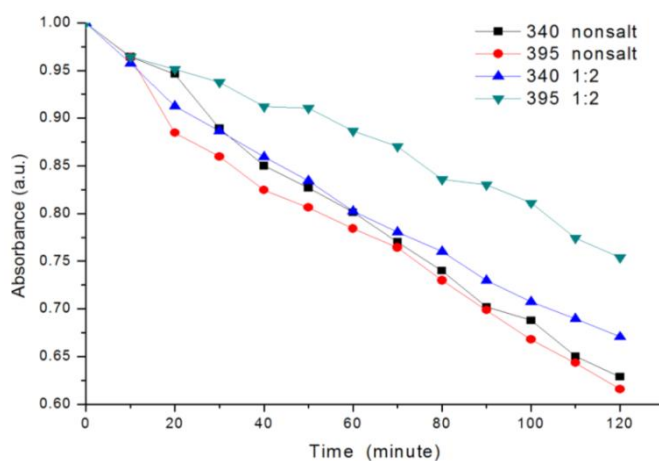
ภาพที่ 4.40 กราฟพล็อตระหว่าง $(F(R)hv)^2$ กับพลังงานโฟตอนของบิสมัทวานาเดตที่สังเคราะห์ด้วยกระบวนการเกิดปฏิกิริยาในสถานะของแข็งแบบเต็มและไม่เต็มเกล็ด แคลไซน์ที่อุณหภูมิต่างๆ

ตารางที่ 4.11 แถบช่องว่างพลังงานของบิสมัทวานาเดตที่สังเคราะห์ด้วยกระบวนการเกิดปฏิกิริยาในสถานะของแข็งแบบเต็มและไม่เต็มเกลือที่อุณหภูมิต่างๆ

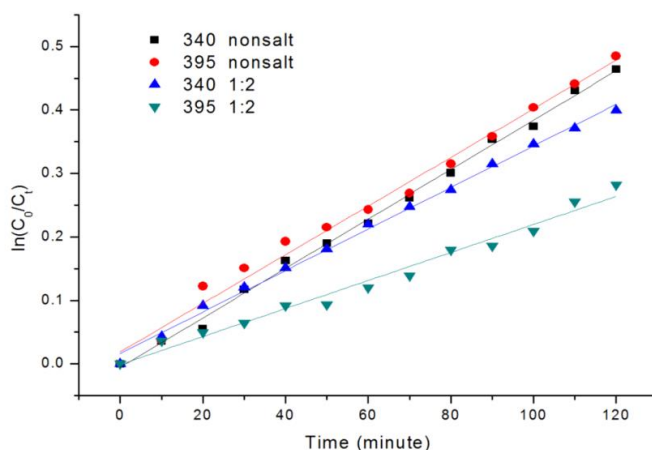
สภาวะในการเตรียม, อุณหภูมิ (องศาเซลเซียส)	แถบช่องว่างพลังงาน (อิเล็กตรอนโวลต์)	ความยาวคลื่นที่ตอบสนอง (นาโนเมตร)
1) แบบไม่เต็มเกลือ, 340	2.42	≤ 513
2) แบบไม่เต็มเกลือ, 395	2.42	≤ 513
3) $\text{BiVO}_4 \cdot \text{NaNO}_3$ 1:2, 340	2.38	≤ 522
4) $\text{BiVO}_4 \cdot \text{NaNO}_3$ 1:2, 395	2.42	≤ 513

จากการศึกษาการดูดกลืนแสงของผงตัวอย่างบิสมัทวานาเดตในช่วงความยาวคลื่นแสงที่ตามองเห็น (400-700 นาโนเมตร) ด้วยเทคนิค UV/DRS พบว่า จากภาพที่ 4.39 ผงตัวอย่างบิสมัทวานาเดตที่เตรียมแบบไม่เต็มเกลือ และแบบเต็มเกลือที่อัตราส่วนสารตั้งต้นบิสมัทวานาเดตต่อเกลือโซเดียมไนเตรดที่ 1:2 แคลไซน์ที่อุณหภูมิ 340, 395 องศาเซลเซียส สามารถดูดซับแสงได้ตั้งแต่ความยาวคลื่น 400 นาโนเมตร และจะมีการดูดกลืนแสงลดลงอย่างมากในช่วงความยาวคลื่นประมาณ 513-522 นาโนเมตร และค่อยๆ ลดลง จากนั้นเมื่อนำข้อมูลที่ได้มาวิเคราะห์หาค่าแถบช่องว่างพลังงานของผงตัวอย่างบิสมัทวานาเดต โดยทำการพล็อตกราฟระหว่าง $(F(R)h\nu)^2$ กับพลังงานโฟตอนของบิสมัทวานาเดตที่สังเคราะห์ที่สภาวะต่างๆ ดังภาพที่ 4.40 พบว่าแถบช่องว่างพลังงานของผงตัวอย่างบิสมัทวานาเดตสังเคราะห์ที่อุณหภูมิที่ต่างๆ จะมีค่าอยู่ในช่วง 2.38-2.42 อิเล็กตรอนโวลต์ และสามารถตอบสนองต่อแสงในช่วงที่ตามองเห็นที่ความยาวคลื่นไม่เกิน 522 นาโนเมตร ดังแสดงในตารางที่ 4.11

-ผลวิเคราะห์สมบัติการเป็นตัวเร่งปฏิกิริยาเชิงแสงของตัวอย่างบิสมัทวานาเดต (Photocatalytic activity)



ภาพที่ 4.41 การลดลงของค่าการดูดกลืนแสงของสารละลายโรดามีนบีภายใต้แสงที่ตามองเห็นที่ 120 นาทีของผงตัวอย่างบิสมัทวานาเดตที่เตรียมแบบไม่เติมเกลือ และแบบเติมเกลือที่อัตราส่วนสารตั้งต้นบิสมัทวานาเดตต่อเกลือโซเดียมไนเตรต 1:2 โดยแคลไซน์ที่อุณหภูมิตั้งที่ 340 และ 395 องศาเซลเซียส



ภาพที่ 4.42 อัตราการเกิดปฏิกิริยาเชิงแสงของผงตัวอย่างบิสมัทวานาเดตที่เตรียมแบบไม่เติมเกลือ และแบบเติมเกลือที่อัตราส่วนสารตั้งต้นบิสมัทวานาเดตต่อเกลือโซเดียมไนเตรต 1:2 โดยแคลไซน์ที่อุณหภูมิตั้งที่ 340 และ 395 องศาเซลเซียส

ตารางที่ 4.12 ค่าประสิทธิภาพของการสลายตัวของสารละลายโรดามีนบีภายใต้แสงที่ตามองเห็นที่ 120 นาที และค่าคงที่อัตราการเกิดปฏิกิริยาโฟโตคะตะลิสต์ของตัวอย่างบิสมัทวานาเดตที่เตรียมแบบไม่เติมเกลือ และแบบเติมเกลือที่อัตราส่วนสารตั้งต้นบิสมัทวานาเดตต่อเกลือโซเดียมไนเตรต 1:2 โดยแคลไซน์ที่อุณหภูมิตั้ง 340 และ 395 องศาเซลเซียส

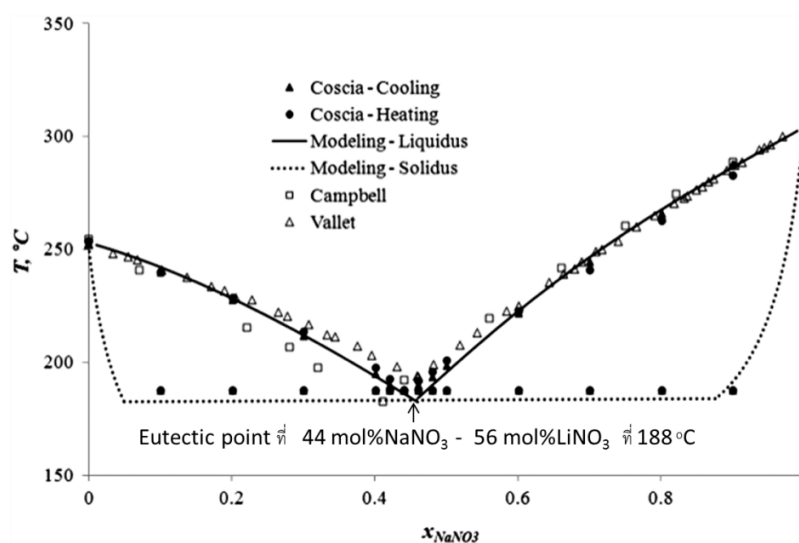
อัตราส่วนสารตั้งต้น BiVO ₄ : NaNO ₃ , อุณหภูมิตั้ง (องศาเซลเซียส)	ค่าประสิทธิภาพของการสลายตัว ของสารละลายโรดามีนบี (Photodegradation efficiency, %)	ค่าคงที่อัตราการเกิดปฏิกิริยา โฟโตคะตะลิสต์ ($\times 10^{-3} \text{ min}^{-1}$)
1) แบบไม่เติมเกลือ, 340	37.13	37.7
2) แบบไม่เติมเกลือ, 395	38.42	37.8
3) 1:2, 340	32.94	31.0
4) 1:2, 395	24.60	22.1

จากการศึกษาสมบัติการเป็นตัวเร่งปฏิกิริยาเชิงแสงของผงบิสมัทวานาเดตที่เตรียมแบบไม่เติมเกลือ และแบบเติมเกลือที่อัตราส่วนสารตั้งต้นบิสมัทวานาเดตต่อเกลือโซเดียมไนเตรต 1:2 โดยแคลไซน์ที่อุณหภูมิตั้ง 340 และ 395 องศาเซลเซียส ด้วยการย่อยสลายสารละลายโรดามีนบีภายใต้การฉายแสงที่ตามองเห็น (visible-light region, 400 nm-700 nm) ดังที่แสดงที่ภาพที่ 4.41, 4.42 และตารางที่ 4.12 พบว่าผงบิสมัทวานาเดตที่เตรียมแบบไม่เติมเกลือ แคลไซน์ที่อุณหภูมิตั้ง 395 องศาเซลเซียส สามารถย่อยสลายสารละลายโรดามีนบีที่ 120 นาทีภายใต้แสงที่ตามองเห็น ได้อย่างมีประสิทธิภาพมากที่สุด ซึ่งสามารถย่อยสลายได้ถึง 38.42 เปอร์เซ็นต์ และมีค่าคงที่อัตราการเกิดปฏิกิริยาโฟโตคะตะลิสต์ เท่ากับ 37.8×10^{-3} ต่อนาที ($R^2 = 0.9906$) ในขณะที่ผงบิสมัทวานาเดตที่เตรียมแบบไม่เติมเกลือ แคลไซน์ที่อุณหภูมิตั้ง 340 องศาเซลเซียส และเตรียมแบบเติมเกลือที่อัตราส่วนสารตั้งต้นบิสมัทวานาเดตต่อเกลือโซเดียมไนเตรตที่ 1:2 ที่อุณหภูมิตั้ง 340 และ 395 องศาเซลเซียส สามารถย่อยสลายสารละลายโรดามีนบีได้ 37.13, 32.94 และ 24.60 เปอร์เซ็นต์ ตามลำดับ (ค่าคงที่อัตราการเกิดปฏิกิริยาโฟโตคะตะลิสต์

เท่ากับ 37.7×10^{-3} , 31.0×10^{-3} , 22.1×10^{-3} ต่อหน้าที่ ตามลำดับ, $R^2 = 0.9929$, 0.9852 และ 0.9814 ตามลำดับ

3) ผลของการเติมเกลือผสมลิเทียมไนเตรต-โซเดียมไนเตรต

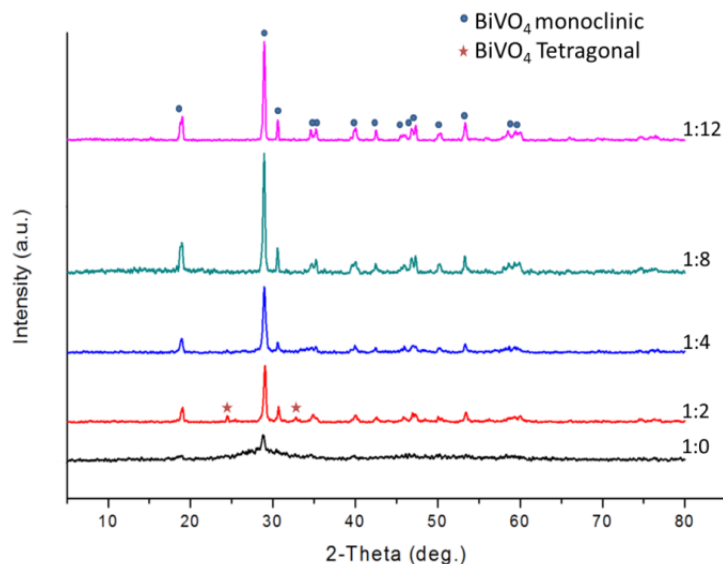
3.1) ศึกษาผลของอัตราส่วนของสารตั้งต้นบิสัมัทวานาเดตต่อเกลือผสมลิเทียมไนเตรต-โซเดียมไนเตรต



ภาพที่ 4.43 แผนภาพเฟสไดอะแกรมของ LiNO_3 - NaNO_3

โดยในการสังเคราะห์ผงตัวอย่างบิสัมัทวานาเดตนี้ได้ทำการเลือกที่จะเติมเกลือผสมลิเทียมไนเตรต-โซเดียมไนเตรต ซึ่งจากแผนภาพเฟสไดอะแกรมของ LiNO_3 - NaNO_3 ได้แสดงว่าที่ 44 เปอร์เซ็นต์ของโมลโซเดียมไนเตรตและ 56 เปอร์เซ็นต์ของโมลลิเทียมไนเตรตจะมีจุดยูเทคติกอยู่ที่ 188 องศาเซลเซียส จึงได้ทำการเลือกอุณหภูมิที่ใช้ในการสังเคราะห์ที่ 218 องศาเซลเซียส เนื่องจากว่าต้องการใช้อุณหภูมิที่สูงพอที่จะทำให้เกลือที่เลือกใช้เกิดการหลอมละลายได้ดังที่แสดงในภาพที่ 4.43

-ผลวิเคราะห์โครงสร้างและองค์ประกอบเฟสของบิสมัทวานาเดต



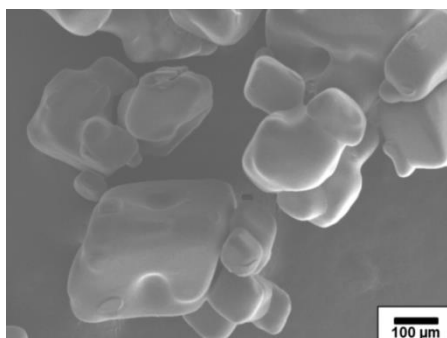
ภาพที่ 4.44 กราฟ XRD ของบิสมัทวานาเดตที่สังเคราะห์ด้วยกระบวนการเกิดปฏิกิริยาในสถานะของแข็งที่อัตราส่วนสารตั้งต้นบิสมัทวานาเดตต่อเกลือผสมลิเทียมไนเตรต-โซเดียมไนเตรต แคลไซน์ที่อุณหภูมิ 218 องศาเซลเซียส เป็นเวลา 4 ชั่วโมง

จากผลการวิเคราะห์องค์ประกอบทางเฟสของผงตัวอย่างบิสมัทวานาเดตที่เตรียมด้วยกระบวนการเกิดปฏิกิริยาในสถานะของแข็ง-เกลือหลอมละลายที่อุณหภูมิเดียวกันคือ 218 องศาเซลเซียส แต่อัตราส่วนของสารตั้งต้นต่อเกลือผสมลิเทียมไนเตรต-โซเดียมไนเตรตที่แตกต่างกัน ดังแสดงในภาพที่ 4.44 พบว่าผงตัวอย่างบิสมัทวานาเดตที่สังเคราะห์แบบไม่เติมเกลือจะมีความเป็นอสัณฐาน (amorphous) ส่วนผงตัวอย่างบิสมัทวานาเดตที่สังเคราะห์โดยใช้อัตราส่วนสารตั้งต้นบิสมัทวานาเดตต่อเกลือผสมลิเทียมไนเตรต-โซเดียมไนเตรตที่ 1: 2 จะประกอบไปด้วยโครงสร้างโมโนคลินิก (BiVO_4 , Monoclinic, JCPD file no. 00-014-0688) เป็นหลัก และเตตระโกนอล (BiVO_4 , Tetragonal, JCPD file no. 00-014-0133) เกิดร่วม ในขณะที่ผงตัวอย่างบิสมัทวานาเดตที่สังเคราะห์โดยใช้อัตราส่วนสารตั้งต้นบิสมัทวานาเดตต่อเกลือผสมลิเทียมไนเตรต-โซเดียมไนเตรตที่ 1:4, 1:8 และ 1:12 จะประกอบไปด้วยโครงสร้างโมโนคลินิกเพียงเฟสเดียว

จากข้อมูลจะสรุปได้ว่าการเติมเกลือผสมลิเทียมไนเตรต-โซเดียมไนเตรตมีส่วนในช่วยทำให้อนุภาคมีความเป็นผลึกมากขึ้น ซึ่งถ้าพิจารณาจากขนาดผลึกจะเห็นได้ว่าการเพิ่มอัตราส่วนใน

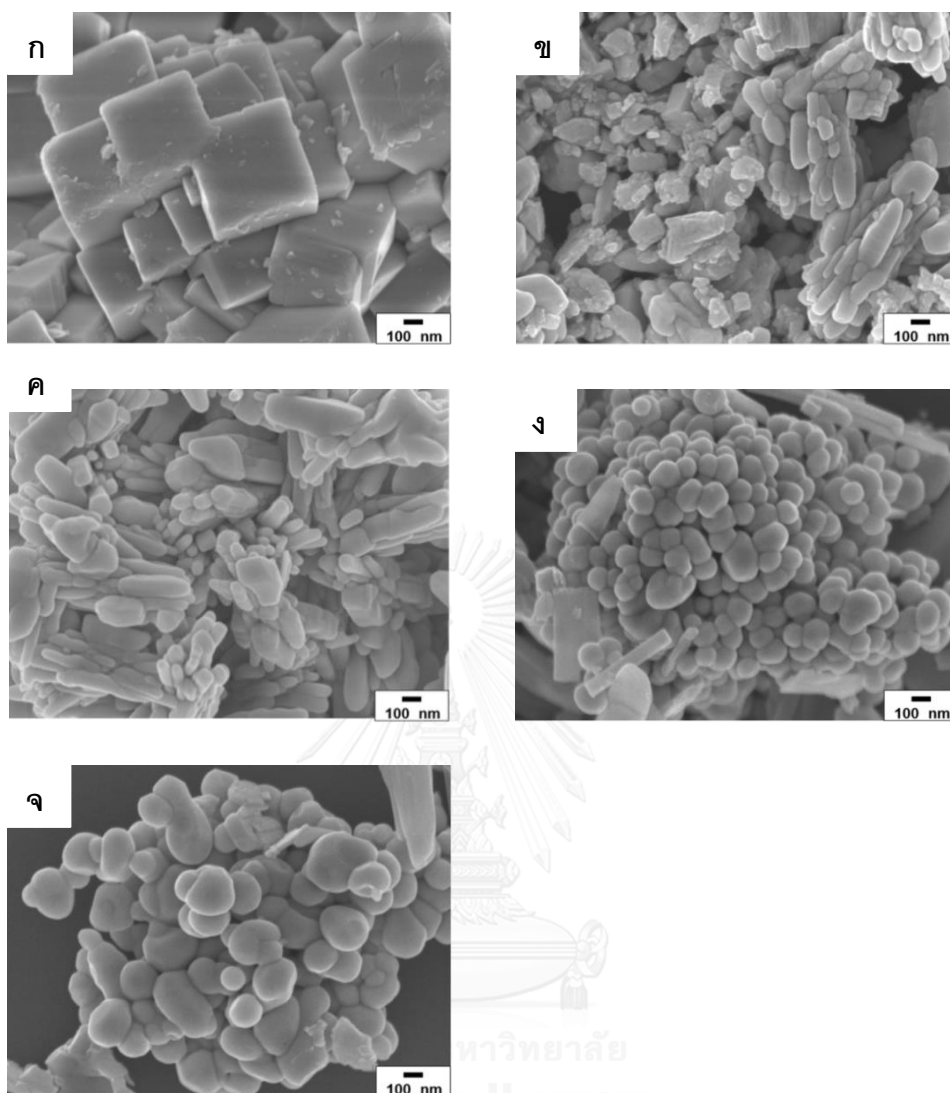
การเติมเกลือจะช่วยให้ผลึกมีการเติบโตขึ้นมา และการสังเคราะห์ผงตัวอย่างโดยใช้เกลือที่อัตราส่วนของสารตั้งต้นต่อเกลือผลสมลิเทียมไนเตรต-โซเดียมไนเตรต 1:4 ขึ้นไป จะพบโครงสร้างโมโนคลีนิกแบบสมบรูณ์

-ผลวิเคราะห์โครงสร้างจุลภาค และสัณฐานวิทยา



ภาพที่ 4.45 ภาพถ่าย FE-SEM เกลือผลสมลิเทียมไนเตรต-โซเดียมไนเตรตที่กำลังขยาย 150 เท่า

จากภาพที่ 4.45 ได้แสดงภาพถ่าย FE-SEM ของเกลือผลสมลิเทียมไนเตรต-โซเดียมไนเตรตที่กำลังขยาย 150 เท่า จะเห็นได้ว่าเกลือมีลักษณะเป็นผลึก และมีขนาดไม่สม่ำเสมอ

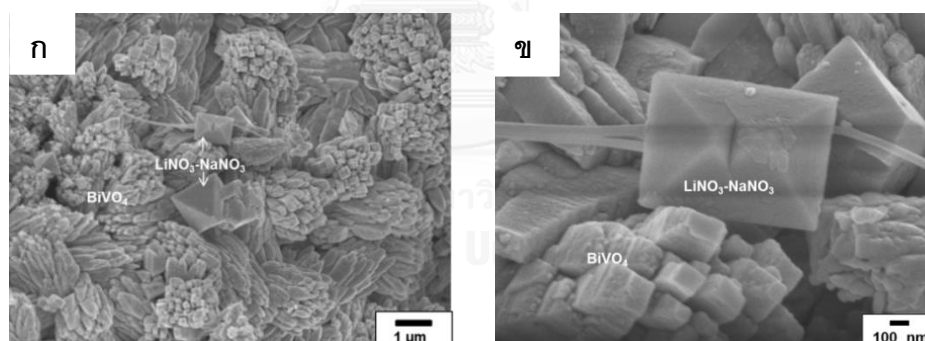


ภาพที่ 4.46 ภาพถ่าย FE-SEM ผงตัวอย่างบิสมัทวานาเดตที่สังเคราะห์ด้วยกระบวนการเกิดปฏิกิริยาในสถานะของแข็ง แคลไซน์ที่อุณหภูมิ 218 องศาเซลเซียส (ก) แบบไม่เติมเกลือ และแบบเติมเกลือที่อัตราส่วนสารตั้งต้นบิสมัทวานาเดตต่อเกลือผสมลิเทียมไนเตรต-โซเดียมไนเตรตที่ (ข) 1:2 (ค) 1:4 (ง) 1:8 (จ) 1:12

จากภาพถ่าย FE-SEM จะเห็นได้ว่า ผงตัวอย่างบิสมัทวานาเดตที่สังเคราะห์แบบไม่เติมเกลือจะมีรูปร่างอนุภาคเป็นอนุภาคผลึกรูป polyhedrons ค่อนข้างใหญ่ ขนาดอนุภาคเฉลี่ยที่วัดจากภาพถ่าย FE-SEM เท่ากับ 780 นาโนเมตร ดังรูปภาพที่ 4.46 (ก) ต่อมาเมื่อมีการเติมผสมลิเทียมไนเตรต-โซเดียมไนเตรตพบว่า ผงตัวอย่างที่เตรียมแบบเติมเกลือโดยใช้อัตราส่วนสารตั้งต้นบิสมัทวานาเดตต่อเกลือผสมลิเทียมไนเตรต-โซเดียมไนเตรต 1:2 และ 1:4 อนุภาคจะมีลักษณะแห้ง โดยผงตัวอย่างที่เตรียมที่อัตราส่วน 1:2 จะมีขนาดอนุภาคเฉลี่ยความกว้างและ

ความยาวเฉลี่ยเท่ากับ 70, 500 นาโนเมตร ตามลำดับ) และผงตัวอย่างที่เตรียมที่อัตราส่วน 1:4 จะมีขนาดอนุภาคเฉลี่ยความกว้างและความยาวเฉลี่ยเท่ากับ 150, 570 นาโนเมตร ตามลำดับ ดังรูปภาพที่ 4.46 (ข) และ 4.46 (ค) โดยผงตัวอย่างที่เตรียมที่อัตราส่วน 1:4 จะมีรูปร่างที่ใหญ่ขึ้นมาเล็กน้อย ในขณะที่ผงตัวอย่างที่เตรียมที่อัตราส่วน 1:8 และ 1:12 อนุภาคจะมีรูปร่างเป็นทรงกลม โดยมีขนาดอนุภาคเฉลี่ยเท่ากับ 200 และ 300 นาโนเมตร ตามลำดับ ดังรูปภาพที่ 4.46 (ง) และ 4.46 (จ) การเพิ่มอัตราส่วนเกลือเพิ่มขึ้นมีส่วนทำให้อนุภาคโตขึ้นเล็กน้อย

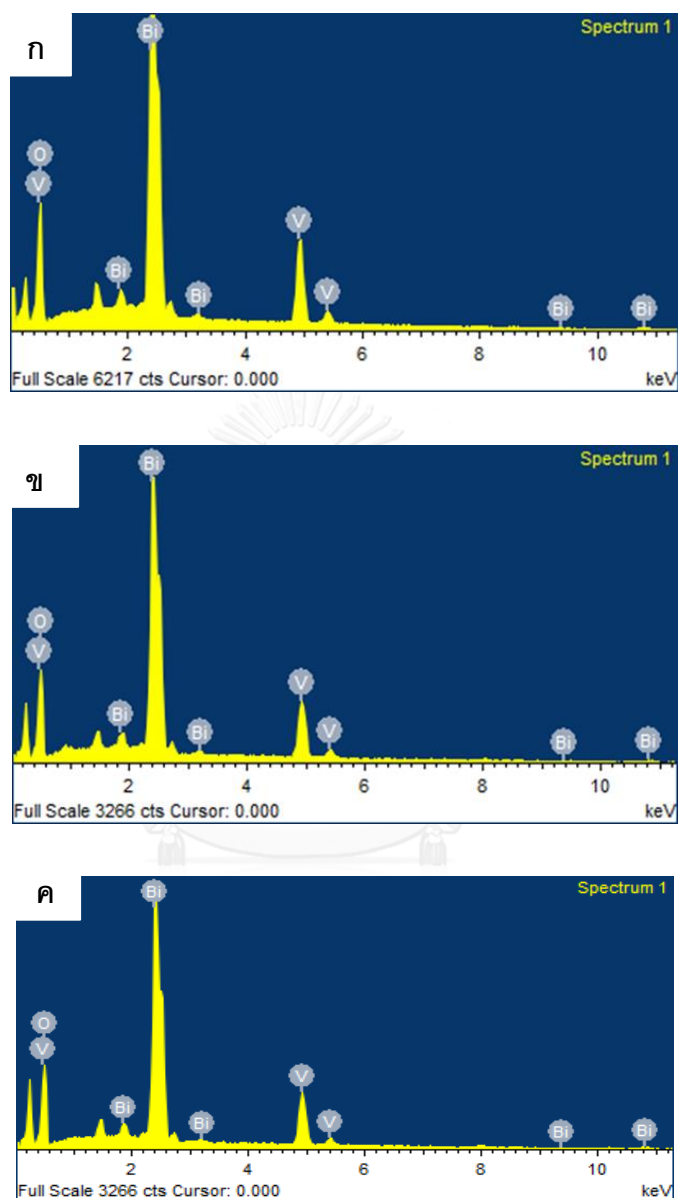
เมื่อพิจารณาจากภาพถ่าย FE-SEM จะพบว่าเกลือผสมลิเทียมไนเตรต-โซเดียมไนเตรต จะช่วยในการทำให้อนุภาคบิส്മัทวาเนตมีรูปร่างที่เล็กลง และการกระจายตัวสม่ำเสมอมากขึ้น ซึ่งจากงานวิจัยที่ผ่านมาได้มีการวิจัยว่าการที่อนุภาคมีขนาดเล็กลงได้เมื่อเติมเกลือนั้นจะต้องขึ้นอยู่กับเกลือที่ใช้สภาวะที่เหมาะสมซึ่งในที่นี้คือ อัตราส่วนสารตั้งต้นบิส്മัทวาเนตต่อเกลือ และอุณหภูมิที่เหมาะสมนั่นเอง [34]



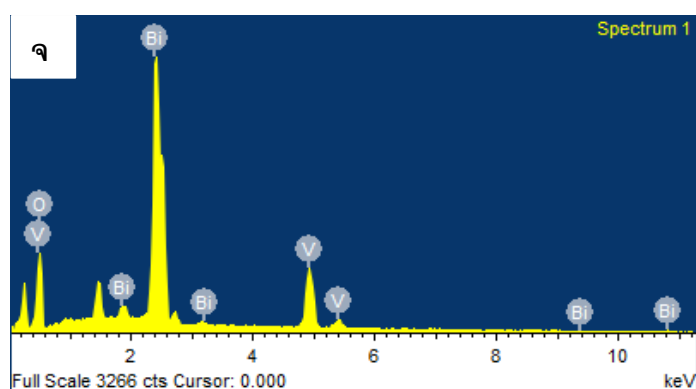
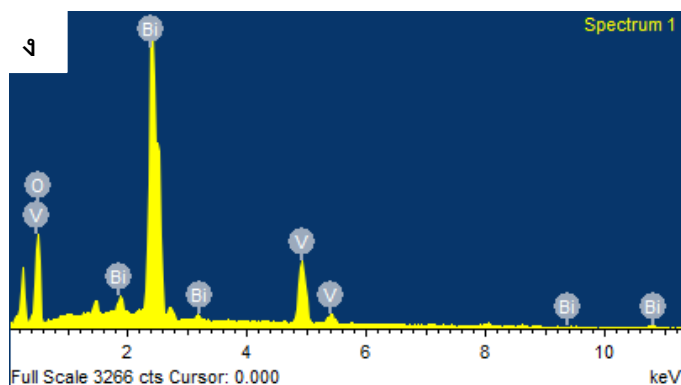
ภาพที่ 4.47 ภาพถ่าย FE-SEM ผงตัวอย่างบิส്മัทวาเนตก่อนนำไปล้างที่สังเคราะห์ด้วยอัตราส่วนสารตั้งต้นบิส്മัทวาเนตต่อเกลือผสมลิเทียม-โซเดียมไนเตรตที่ 1:4 อุณหภูมิ 218 องศาเซลเซียส ที่กำลังขยาย (ก) 10000 เท่า และ (ข) 50000 เท่า

เมื่อนำผงตัวอย่างบิส്മัทวาเนต ซึ่งเตรียมที่อัตราส่วนสารตั้งต้นบิส്മัทวาเนตต่อเกลือผสมลิเทียม-โซเดียมไนเตรตที่ 1:4 ที่ยังไม่ได้อ้างเกลือ ที่สังเคราะห์ที่อุณหภูมิ 218 องศาเซลเซียส มาวิเคราะห์โครงสร้างทางจุลภาคพบว่า ผลึกเกลือผสมลิเทียมไนเตรต-โซเดียมไนเตรต ไม่ได้เข้าไปทำปฏิกิริยากับอนุภาคบิส്മัทวาเนต ที่จะทำให้เกิดสารใหม่ ดังที่แสดงในภาพที่

4.47 และเมื่อนำไปล้างผลึกเกลือจะหายไป ดังแสดงที่ภาพ 4.46 เหลือแต่อนุภาคบิสมัทวานาเดต

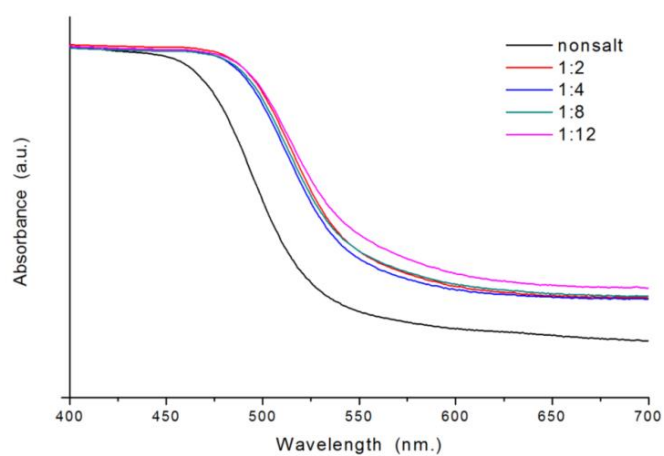


ภาพที่ 4.48 ผลวิเคราะห์ EDS ของผงตัวอย่างบิสมัทวานาเดตที่สังเคราะห์ด้วยกระบวนการเกิดปฏิกิริยาในสถานะของแข็ง แคลไซน์ที่อุณหภูมิ 218 องศาเซลเซียส (ก) แบบไม่เต็มเกลือ และแบบเต็มเกลือที่อัตราส่วนสารตั้งต้นบิสมัทวานาเดตต่อเกลือผสมลิเทียมไนเตรต-โซเดียมไนเตรต (ข) 1:2 (ค) 1:4

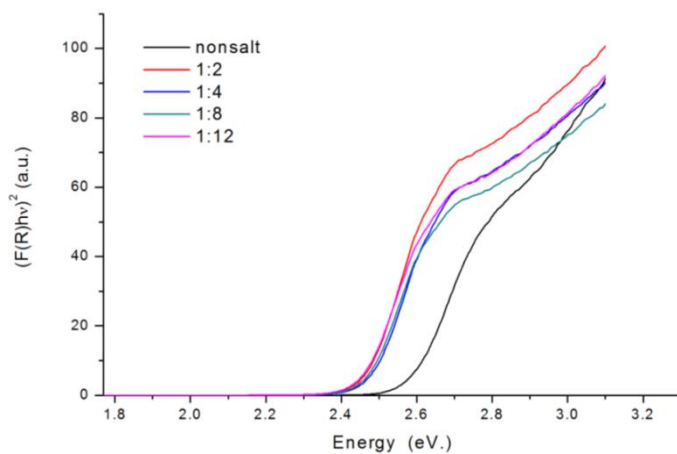


ภาพที่ 4.48(ต่อ) ผลวิเคราะห์ EDS ของผงตัวอย่างบิสมัทวานาเดตที่สังเคราะห์ด้วยกระบวนการเกิดปฏิกิริยาในสถานะของแข็ง แคลไซน์ที่อุณหภูมิ 218 องศาเซลเซียสแบบเต็มเกลือที่อัตราส่วนสารตั้งต้นบิสมัทวานาเดตต่อเกลือผสมลิเทียมไนเตรต-โซเดียมไนเตรต (ง) 1:8 และ (จ) 1:12

เมื่อนำผงตัวอย่างบิสมัทวานาเดตมาวิเคราะห์ด้วยเทคนิค EDS ซึ่งแสดงให้เห็นว่าอนุภาคที่สังเคราะห์ได้นั้นมีความบริสุทธิ์ ไม่มีเกลือเหลืออยู่ โดยแสดงสเปกตรัมประกอบไปด้วยธาตุบิสมัท วานาเดียม และออกซิเจนเท่านั้น ดังที่แสดงให้เห็นในภาพที่ 4.48(ก-จ)



ภาพที่ 4.49 กราฟแสดงค่าการดูดกลืนแสงที่ความยาวคลื่นต่างๆ ของบิสมัทวานาเดตด้วยสังเคราะห์อัตราส่วนสารตั้งต้นบิสมัทวานาเดตต่อเกลือผสมลิเทียม-โซเดียมไนเตรดต่างๆ



ภาพที่ 4.50 กราฟพล็อตระหว่าง $(F(R)hv)^2$ กับพลังงานโฟตอนของบิสมัทวานาเดตด้วยสังเคราะห์อัตราส่วนสารตั้งต้นบิสมัทวานาเดตต่อเกลือผสมลิเทียม-โซเดียมไนเตรดต่างๆ

-ผลการวิเคราะห์สมบัติทางแสงและแถบช่องว่างพลังงาน

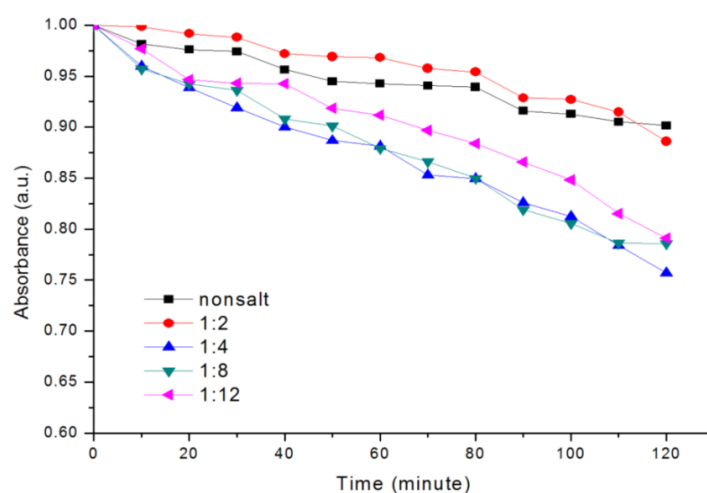
ตารางที่ 4.13 แถบช่องว่างพลังงานของบิสมีทวานาเดตที่สังเคราะห์ที่อัตราส่วนสารตั้งต้นบิสมีทวานาเดตต่อเกลือผสมลิเทียมไนเตรต-โซเดียมไนเตรตต่างๆ แคลไซน์ที่อุณหภูมิ 218 องศาเซลเซียส

สภาวะในการเตรียม	แถบช่องว่างพลังงาน (อิเล็กตรอนโวลต์)	ความยาวคลื่นที่ ตอบสนอง (นาโนเมตร)
1) แบบไม่เติมเกลือ	2.55	≤ 487
2) $\text{BiVO}_4:\text{LiNO}_3\text{-NaNO}_3$ 1:2	2.44	≤ 509
3) $\text{BiVO}_4:\text{LiNO}_3\text{-NaNO}_3$ 1:4	2.43	≤ 511
4) $\text{BiVO}_4:\text{LiNO}_3\text{-NaNO}_3$ 1:8	2.43	≤ 511
5) $\text{BiVO}_4:\text{LiNO}_3\text{-NaNO}_3$ 1:12	2.43	≤ 511

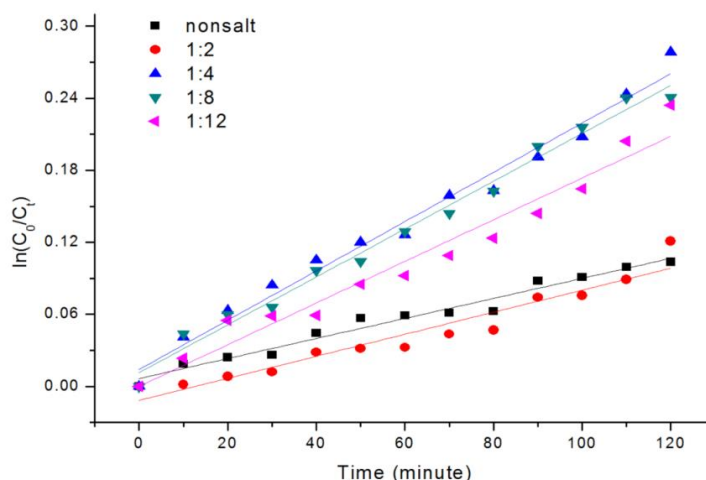
จากการศึกษาการดูดกลืนแสงของผงตัวอย่างบิสมีทวานาเดตที่สังเคราะห์ที่อัตราส่วนสารตั้งต้นบิสมีทวานาเดตต่อเกลือผสมลิเทียมไนเตรต-โซเดียมไนเตรตต่างๆ แคลไซน์ที่อุณหภูมิ 218 องศาเซลเซียส ในช่วงความยาวคลื่นแสงที่ตามองเห็น (400-700 นาโนเมตร) ด้วยเทคนิค UV/DRS พบว่า จากภาพที่ 4.49 ผงตัวอย่างบิสมีทวานาเดตนี้สามารถดูดซับแสงได้ตั้งแต่ความยาวคลื่น 400 นาโนเมตร และจะมีการดูดกลืนแสงลดลงอย่างมากในช่วงความยาวคลื่นประมาณ 487-511 นาโนเมตร และค่อยๆ ลดลง เมื่อพิจารณากราฟของผงตัวอย่างบิสมีทวานาเดตที่สังเคราะห์แบบไม่เติมเกลือลิเทียมไนเตรต-โซเดียมไนเตรต จะเห็นได้ว่ากราฟมีความชันต่ำกว่าผงตัวอย่างที่สังเคราะห์ที่เติมเกลือลิเทียมไนเตรต-โซเดียมไนเตรตส่งผลให้ได้ค่าแถบช่องว่างพลังงานที่มีค่ามากกว่าผงตัวอย่างที่สังเคราะห์ที่เติมเกลือ และเมื่อพิจารณากราฟ XRD ของผงตัวอย่างที่เตรียมแบบไม่เติมเกลือ แคลไซน์ที่ 218 องศาเซลเซียส พบว่ามีโครงสร้างแบบออสถูเนียน เกิดความเป็นผลึกไม่สมบูรณ์ ซึ่งส่งผลให้เกิดแถบช่องว่างพลังงานไม่สมบูรณ์ด้วย(32) จากนั้นเมื่อนำข้อมูลที่ได้มาวิเคราะห์หาค่าแถบช่องว่างพลังงานของผงตัวอย่างบิสมีทวานาเดต โดยทำการพล็อตกราฟระหว่าง $(F(R)h\nu)^2$ กับพลังงานโฟตอน ของบิสมีทวานาเดตที่สังเคราะห์ที่สภาวะต่างๆ ดังภาพที่ 4.50 พบว่าแถบช่องว่างพลังงานของผงตัวอย่างบิสมีทวานาเดตสังเคราะห์ที่อุณหภูมิที่ต่างๆ จะมีค่าอยู่ในช่วง 2.43-2.55 อิเล็กตรอนโวลต์ และสามารถ

ตอบสนองต่อแสงที่ตามองเห็นในช่วงความยาวคลื่นไม่เกิน 511 นาโนเมตร ดังแสดงในตารางที่ 4.13

-ผลวิเคราะห์สมบัติการเป็นตัวเร่งปฏิกิริยาเชิงแสงของตัวอย่างบิสมัทวานาเดต (Photocatalytic activity)



ภาพที่ 4.51 การลดลงของค่าการดูดกลืนแสงของสารละลายโรดามีนบีภายใต้แสงที่ตามองเห็นที่ 120 นาฬิกาของผงตัวอย่างบิสมัทวานาเดตที่เตรียมด้วยอัตราส่วนสารตั้งต้นบิสมัทวานาเดตต่อเกลือผสมลิเทียมไนเตรต-โซเดียมไนเตรตต่างๆ แคลไซน์ที่ อุณหภูมิ 218 องศาเซลเซียส



ภาพที่ 4.52 อัตราการเกิดปฏิกิริยาเชิงแสงของผงตัวอย่างบิสมัทวานาเดตที่เตรียมด้วยอัตราส่วนสารตั้งต้นบิสมัทวานาเดตต่อเกลือผสมลิเทียมไนเตรต-โซเดียมไนเตรตต่างๆ แคลไซน์ที่อุณหภูมิตั้งที่ 218 องศาเซลเซียส

ตารางที่ 4.14 ค่าประสิทธิภาพของการสลายตัวของสารละลายโรดามีนบีภายใต้แสงที่ตามองเห็นที่ 120 นาที และค่าคงที่อัตราการเกิดปฏิกิริยาโฟโตคะตะลิสต์ของผงตัวอย่างบิสมัทวานาเดตที่เตรียมด้วยอัตราส่วนสารตั้งต้นบิสมัทวานาเดตต่อเกลือผสมลิเทียมไนเตรต-และโซเดียมไนเตรตต่างๆ แคลไซน์ที่อุณหภูมิตั้งที่ 218 องศาเซลเซียส

สภาวะในการเตรียม	ค่าประสิทธิภาพ สลายตัวของ สารละลายโรดามีนบี (Photodegradation efficiency, %)	ค่าคงที่อัตราการ เกิดปฏิกิริยาโฟโตคะตะ ลิสต์ ($\times 10^{-3} \text{ min}^{-1}$)
1) แบบไม่เติมเกลือ	9.84	0.8
2) $\text{BiVO}_4:\text{LiNO}_3\text{-NaNO}_3$ 1:2	11.40	0.9
3) $\text{BiVO}_4:\text{LiNO}_3\text{-NaNO}_3$ 1:4	24.31	2.1
4) $\text{BiVO}_4:\text{LiNO}_3\text{-NaNO}_3$ 1:8	21.40	2
5) $\text{BiVO}_4:\text{LiNO}_3\text{-NaNO}_3$ 1:12	20.89	1.7

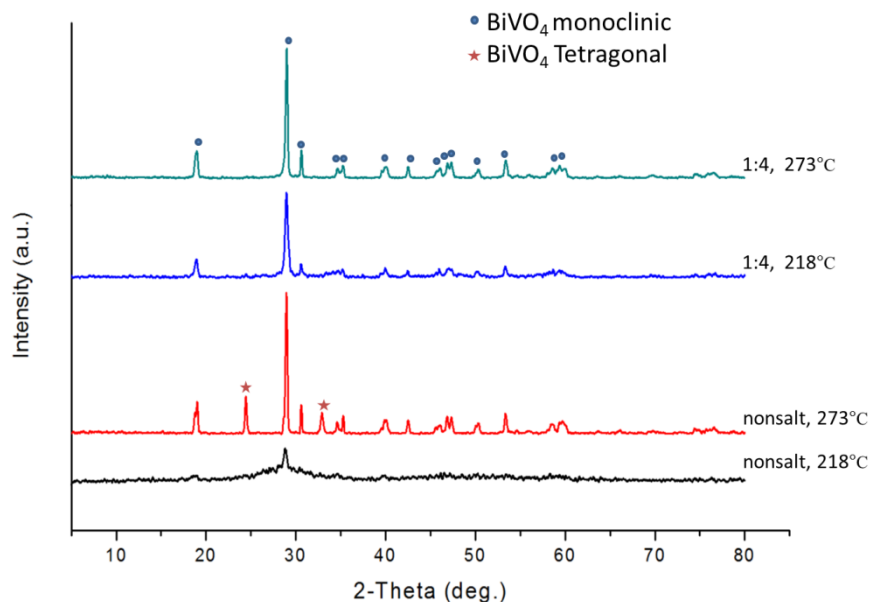
จากการศึกษาสมบัติการเป็นตัวเร่งปฏิกิริยาเชิงแสงของผงบิสมัทวานาเดตที่เตรียมด้วยอัตราส่วนสารตั้งต้นบิสมัทวานาเดตต่อเกลือผสมลิเทียมไนเตรตและโซเดียมไนเตรตต่างๆ แคลไซน์ที่ 218 องศาเซลเซียสด้วยการย่อยสลายสารละลายโรดามีนบีภายใต้การฉายแสงที่ตา

มองเห็น (visible-light region, 400 nm-700 nm) ดังที่แสดงที่ภาพที่ 4.51, 4.52 และตารางที่ 4.14 พบว่าผงตัวอย่างที่เตรียมด้วยอัตราส่วนสารตั้งต้นบิสมีทวานาเดตต่อเกลือลิเทียมไนเตรต-โซเดียมไนเตรตที่ 1:4 สามารถย่อยสลายสารละลายโรดามีนบีภายในระยะเวลาที่ 120 นาทีได้อย่างมีประสิทธิภาพมากที่สุด ซึ่งสามารถย่อยสลายได้ถึง 24.31 เปอร์เซ็นต์และมีค่าคงที่อัตราการเกิดปฏิกิริยาโฟโตคะตะลิสต์ เท่ากับ 2.1×10^{-3} ต่อนาที ($R^2 = 0.9827$) ในขณะที่ผงบิสมีทวานาเดตที่เตรียมแบบไม่เติมเกลือ และแบบเติมเกลือโดยอัตราส่วนสารตั้งต้นบิสมีทวานาเดตต่อเกลือผสมลิเทียมไนเตรต-โซเดียมไนเตรตที่ 1:2, 1:8 และ 1:12 สามารถย่อยสลายสารละลายโรดามีนบีได้ 9.84, 11.40, 21.40 และ 20.89 เปอร์เซ็นต์ ตามลำดับ (ค่าคงที่อัตราการเกิดปฏิกิริยาโฟโตคะตะลิสต์ เท่ากับ 0.8×10^{-3} , 0.9×10^{-3} , 2×10^{-3} และ 1.7×10^{-3} ต่อนาที ตามลำดับ, $R^2 = 0.9722$, 0.9299 , 0.988 และ 0.9611 ตามลำดับ)

จากข้อมูลจะพบว่า การเตรียมตัวอย่างที่เคลือบที่อุณหภูมิต่ำ ซึ่งในที่นี้คือ อุณหภูมิ 218 องศาเซลเซียส การเติมเกลือผสมลิเทียมไนเตรต-โซเดียมไนเตรต จะมีส่วนช่วยทำให้บิสมีทวานาเดตย่อยสลายสารละลายโรดามีนบีได้ดีกว่าการเตรียมตัวอย่างแบบไม่เติมเกลือ

3.2) ศึกษาผลของการเพิ่มอุณหภูมิแคลไซต์

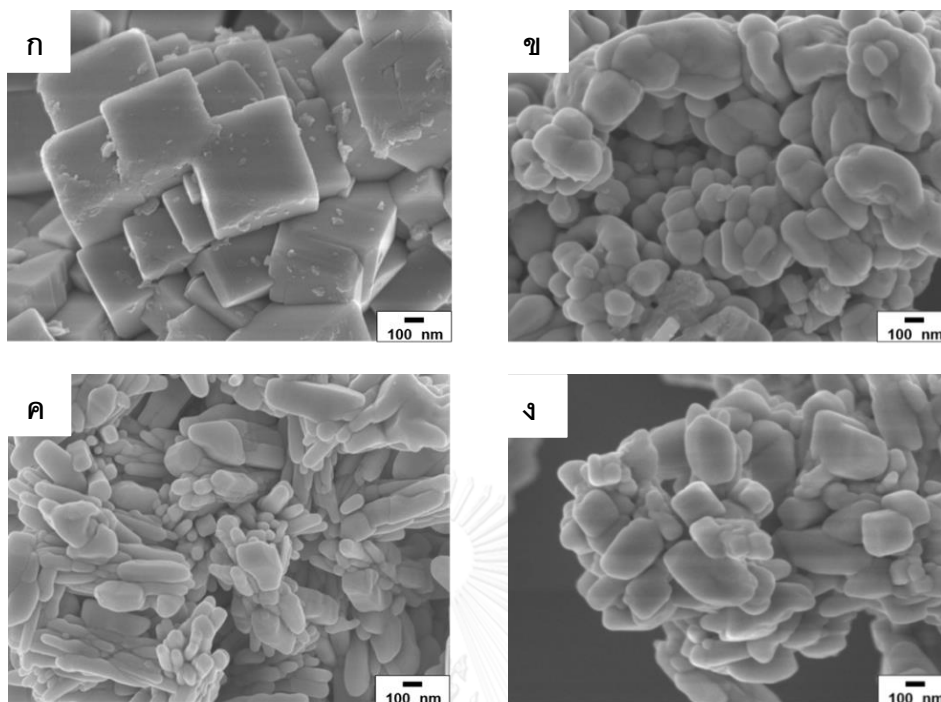
-ผลวิเคราะห์โครงสร้างและองค์ประกอบเฟสของผงตัวอย่างบิสมัทวานาเดต



ภาพที่ 4.53 กราฟ XRD ของผงตัวอย่างบิสมัทวานาเดตที่เตรียมแบบไม่เต็มเกลือ และแบบเต็มเกลือที่อัตราส่วนสารตั้งต้นบิสมัทวานาเดตต่อเกลือผสมลิเทียมไนเตรต-โซเดียมไนเตรต 1:4 โดยแคลไซต์ที่อุณหภูมิ 218 และ 273 องศาเซลเซียส

จากผลการวิเคราะห์องค์ประกอบทางเฟสของผงตัวอย่างบิสมัทวานาเดตที่สังเคราะห์ที่เตรียมแบบไม่เต็มเกลือ และแบบเต็มเกลือที่อัตราส่วนสารตั้งต้นบิสมัทวานาเดตต่อเกลือผสมลิเทียมไนเตรต-โซเดียมไนเตรต 1:4 โดยแคลไซต์ที่อุณหภูมิ 218 และ 273 องศาเซลเซียส ดังแสดงในภาพที่ 4.53 พบว่าผงบิสมัทวานาเดตที่เตรียมแบบไม่เต็มเกลือ แคลไซต์ที่อุณหภูมิ 218 องศาเซลเซียส มีลักษณะเป็นอสัณฐาน (amorphous) ในขณะที่ผงบิสมัทวานาเดตที่เตรียมแบบไม่เต็มเกลือ แคลไซต์ที่อุณหภูมิ 273 องศาเซลเซียส จะประกอบไปด้วยโครงสร้างโมโนคลินิก (BiVO_4 , Monoclinic, JCPD file no. 00-014-0688) และเตตระโกนอล (BiVO_4 , Tetragonal, JCPD file no. 00-014-0133) ส่วนบิสมัทวานาเดตที่เตรียมแบบเต็มเกลือ แคลไซต์ที่อุณหภูมิ 218 และ 273 องศาเซลเซียส จะประกอบไปด้วยโครงสร้างโมโนคลินิกเพียงเฟสเดียว จากข้อมูลสรุปได้ว่าการเติมเกลือผสมลิเทียมไนเตรต-โซเดียมไนเตรตมีส่วนทำให้โครงสร้างมีความผลึกมากขึ้น และส่งเสริมให้เกิดโครงสร้างโมโนคลินิกที่สมบูรณ์

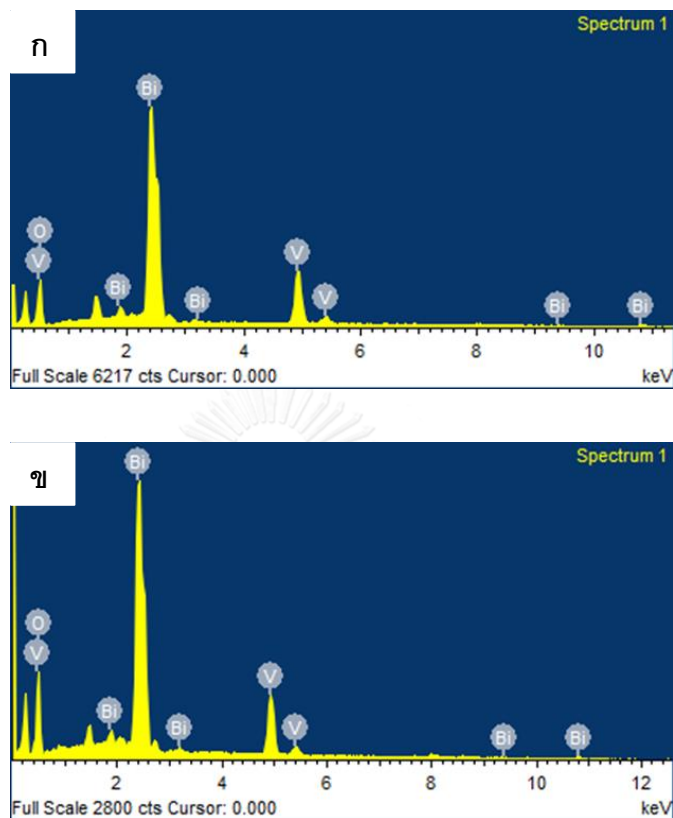
-ผลวิเคราะห์โครงสร้างจุลภาค และสัณฐานวิทยาของบิสม์ทวานาเดต



ภาพที่ 4.54 ภาพถ่าย FE-SEM ผงตัวอย่างบิสม์ทวานาเดตที่สังเคราะห์ด้วยกระบวนการเกิดปฏิกิริยาในสถานะของแข็งแบบไม่เต็มเกลือ แคลไซต์ที่ (ก) 218 องศาเซลเซียส (ข) 273 องศาเซลเซียส แบบเต็มเกลือที่อัตราส่วนสารตั้งต้นบิสม์ทวานาเดตต่อเกลือผสมลิเทียมไนเตรต-โซเดียมไนเตรต ที่ 1:4 แคลไซต์ที่ (ค) 218 องศาเซลเซียส (ง) 273 องศาเซลเซียส

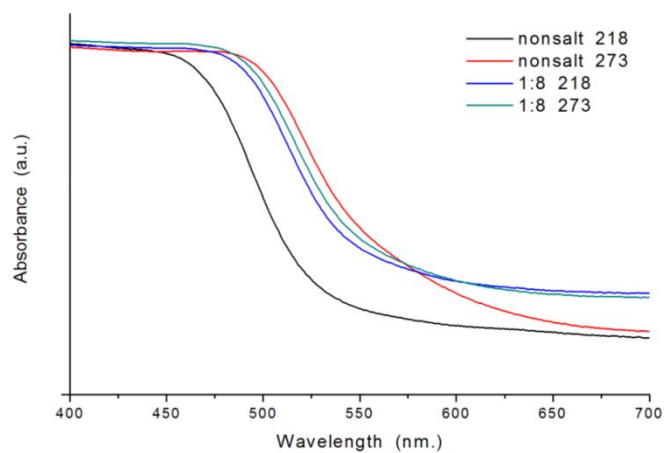
จากภาพถ่าย FE-SEM จะเห็นได้ว่าผงบิสม์ทวานาเดตที่เตรียมแบบไม่เต็มเกลือที่แคลไซต์ที่อุณหภูมิ 218 องศาเซลเซียส จะมีลักษณะเป็นอนุภาคผลึกรูป polyhedrons ค่อนข้างใหญ่ ขนาดอนุภาคเฉลี่ยที่วัดจากภาพถ่าย FE-SEM เท่ากับ 780 นาโนเมตร ดังภาพที่ 4.54 (ก) ส่วนผงบิสม์ทวานาเดตที่เตรียมแบบไม่เต็มเกลือแคลไซต์ที่อุณหภูมิ 273 องศาเซลเซียส จะมีรูปร่างอนุภาคกลม มีขนาดเล็กลงมา มีขนาดและรูปร่างไม่สม่ำเสมอ ดังภาพที่ 4.54 (ข) อนุภาคเฉลี่ยเท่ากับ 170-570 นาโนเมตร ผงบิสม์ทวานาเดตแบบเต็มเกลือผสมลิเทียมไนเตรต-โซเดียมไนเตรต แคลไซต์ที่ 218 องศาเซลเซียสจะมีรูปร่างเป็นแท่ง มีขนาดและรูปร่างไม่สม่ำเสมอ โดยมีขนาดอนุภาคเฉลี่ยความกว้างและความยาวเฉลี่ยเท่ากับ 150, 570 นาโนเมตร ตามลำดับ ดังภาพที่ 4.54 (ค) และผงตัวอย่างที่เตรียมแบบเต็มเกลือแคลไซต์ที่ 273 องศา

เซลล์ซีเอส 4.54 (ง) จะมีรูปร่างอนุภาคกลม มีขนาดและรูปร่างไม่สม่ำเสมอ อนุภาคเฉลี่ยเท่ากับ 170-445 นาโนเมตร

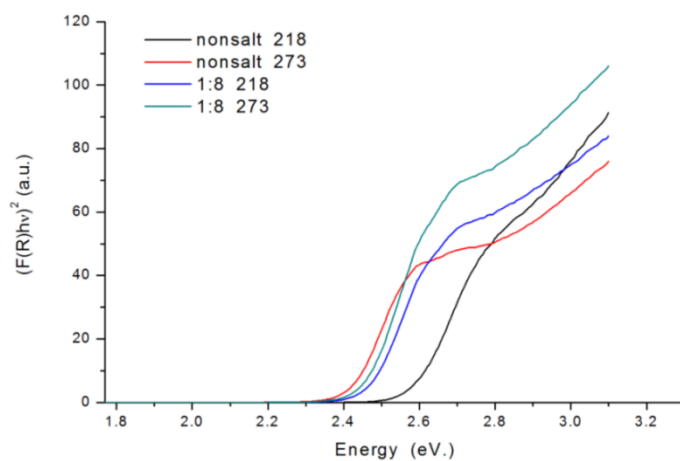


ภาพที่ 4.55 ผลวิเคราะห์ EDS ของผงตัวอย่างบิสมีทวานาเดตที่สังเคราะห์ด้วยกระบวนการเกิดปฏิกิริยาในสถานะของแข็ง (ก) แบบไม่เต็มเกลียว แคลไซน์ที่ 340 องศาเซลเซียส (ข) แบบเต็มเกลียวที่อัตราส่วนสารตั้งต้นบิสมีทวานาเดตต่อเกลือผสมลิเทียมไนเตรต-โซเดียมไนเตรต ที่ 1:8 แคลไซน์ที่ 340 องศาเซลเซียส

เมื่อนำผงตัวอย่างบิสมีทวานาเดตที่สังเคราะห์ได้มาวิเคราะห์ด้วยเทคนิค EDS ซึ่งแสดงให้เห็นว่าอนุภาคที่สังเคราะห์ได้นั้นมีความบริสุทธิ์ ไม่มีเกลือเหลืออยู่ โดยแสดงสเปกตรัมประกอบไปด้วยธาตุบิสมีท วานาเดียม และออกซิเจนเท่านั้น ดังแสดงในภาพที่ 4.55



ภาพที่ 4.56 กราฟแสดงค่าการดูดกลืนแสงที่ความยาวคลื่นต่างๆ ของบิสมัทวานาเดตที่สังเคราะห์ด้วยกระบวนการเกิดปฏิกิริยาในสถานะของแข็งแบบเต็มและไม่เต็มเกลือ แคลไซน์ที่อุณหภูมิต่างๆ



ภาพที่ 4.57 กราฟพล็อตระหว่าง $(F(R)hv)^2$ กับพลังงานโฟตอนของบิสมัทวานาเดตที่สังเคราะห์ด้วยกระบวนการเกิดปฏิกิริยาในสถานะของแข็งแบบเต็มและไม่เต็มเกลือ แคลไซน์ที่อุณหภูมิต่างๆ

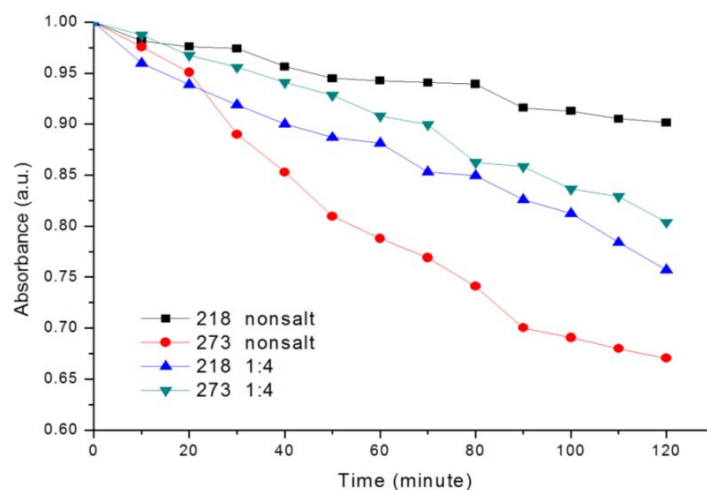
-ผลการวิเคราะห์สมบัติทางแสงและแถบช่องว่างพลังงาน

ตารางที่ 4.15 แถบช่องว่างพลังงานของบิสมีทอานาเดตที่สังเคราะห์ด้วยกระบวนการเกิดปฏิกิริยาในสถานะของแข็ง

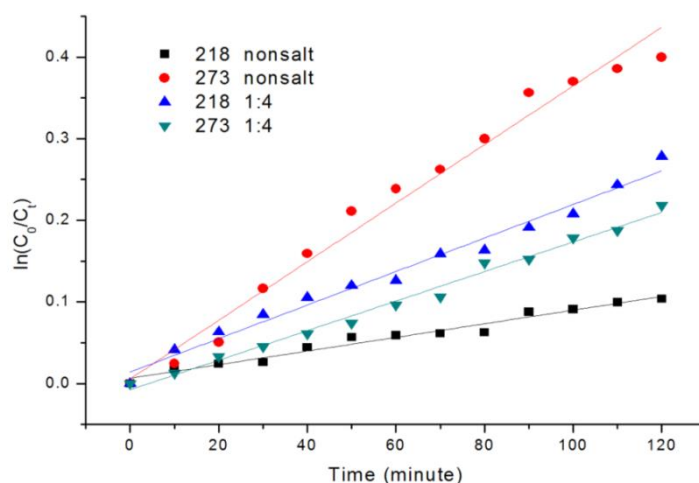
สภาวะในการเตรียม, อุณหภูมิ (องศาเซลเซียส)	แถบช่องว่างพลังงาน (อิเล็กตรอนโวลต์)	ความยาวคลื่นที่ ตอบสนอง (นาโนเมตร)
1) แบบไม่เติมเกลือ, 218	2.55	≤ 487
2) แบบไม่เติมเกลือ, 273	2.38	≤ 522
3) BiVO ₄ :LiNO ₃ -NaNO ₃ 1:4, 218	2.43	≤ 511
4) BiVO ₄ :LiNO ₃ -NaNO ₃ 1:4, 273	2.42	≤ 513

จากการศึกษาการดูดกลืนแสงของผงตัวอย่างบิสมีทอานาเดตที่สังเคราะห์สภาวะต่างๆ ในช่วงความยาวคลื่นแสงที่ตามองเห็น (400-700 นาโนเมตร) ด้วยเทคนิค UV/DRS พบว่า จากภาพที่ 4.56 ผงตัวอย่างบิสมีทอานาเดตที่สังเคราะห์สภาวะต่างๆ สามารถดูดซับแสงได้ตั้งแต่ความยาวคลื่น 400 นาโนเมตร และจะมีการดูดกลืนแสงลดลงอย่างมากในช่วงความยาวคลื่นประมาณ 487-522 นาโนเมตร และค่อยๆ ลดลง เมื่อพิจารณากราฟของผงตัวอย่างบิสมีทอานาเดตที่เตรียมแบบไม่เติมเกลือ และแคล์ไซท์ 218 องศาเซลเซียส จะเห็นได้ว่ากราฟมีความชันต่ำกว่า ผงตัวอย่างที่เตรียมแบบเติมเกลือผสมลิเทียมไนเตรต-โซเดียมไนเตรต ส่งผลทำให้ได้ค่าแถบช่องว่างพลังงานที่มีค่ามากกว่าผงตัวอย่างที่สังเคราะห์ที่เติมเกลือเมื่อพิจารณากราฟ XRD จะพบว่าผงตัวอย่างดังกล่าวมีความเป็นออสัญฐาน มีการเกิดของผลึกไม่สมบูรณ์ส่งผลให้แถบช่องว่างพลังงานเกิดความไม่สมบูรณ์ด้วย(32) จากนั้นเมื่อนำข้อมูลที่ได้มาวิเคราะห์หาค่าแถบช่องว่างพลังงานของผงตัวอย่างบิสมีทอานาเดต โดยทำการพล็อตกราฟระหว่าง $(F(R)h\nu)^2$ กับพลังงานโฟตอนของบิสมีทอานาเดตที่สังเคราะห์ที่สภาวะต่างๆ ดังภาพที่ 4.57 พบว่าแถบช่องว่างพลังงานของผงตัวอย่างบิสมีทอานาเดตสังเคราะห์ที่อุณหภูมิที่ต่างๆ จะมีค่าอยู่ในช่วง 2.38-2.55 อิเล็กตรอนโวลต์ และสามารถตอบสนองต่อในช่วงแสงที่ตามองเห็นที่ความยาวคลื่นไม่เกิน 522 นาโนเมตร ดังแสดงในตารางที่ 4.15 จากข้อมูลแถบช่องว่างพลังงานของบิสมีทอานาเดตสามารถวิเคราะห์ได้ว่าการเติมเกลือผสมลิเทียมไนเตรต-โซเดียมไนเตรตมีส่วนช่วยในการลดช่องว่างของแถบช่องว่างพลังงาน

-ผลวิเคราะห์สมบัติการเป็นตัวเร่งปฏิกิริยาเชิงแสงของตัวอย่างบิสมัทวานาเดต
(Photocatalytic activity)



ภาพที่ 4.58 การลดลงของค่าการดูดกลืนแสงของสารละลายโรดามีนบีที่ 120 นาที่ภายใต้แสงที่ตามองเห็นของผงตัวอย่างบิสมัทวานาเดตที่เตรียมแบบไม่เติมเกลือ และแบบเติมเกลือที่อัตราส่วนสารตั้งต้นบิสมัทวานาเดตต่อเกลือผสมลิเทียมไนเตรต-โซเดียมไนเตรต 1:4 โดยแคล์ไซน์ที่อุณหภูมิ 218 และ 273 องศาเซลเซียส



ภาพที่ 4.59 อัตราการเกิดปฏิกิริยาเชิงแสงของผงตัวอย่างบิสมัทวานาเดตที่เตรียมแบบไม่เติมเกลือ และแบบเติมเกลือที่อัตราส่วนสารตั้งต้นบิสมัทวานาเดตต่อเกลือผสมลิเทียมไนเตรต-โซเดียมไนเตรต 1:4 โดยแคล์ไซน์ที่อุณหภูมิ 218 และ 273 องศาเซลเซียส

ตารางที่ 4.16 ค่าประสิทธิภาพของการสลายตัวของสารละลายโรดามีนบีภายใต้แสงที่ตามองเห็นที่ 120 นาที และค่าคงที่อัตราการเกิดปฏิกิริยาโฟโตคะตะลิสต์ของผงตัวอย่างบิสมัทวานาเดตที่เตรียมแบบไม่เติมเกลือ และแบบเติมเกลือที่อัตราส่วนสารตั้งต้นบิสมัทวานาเดตต่อเกลือผสมลิเทียมไนเตรต-โซเดียมไนเตรต 1:4 โดยแคลไซน์ที่อุณหภูมิ 218 และ 273 องศาเซลเซียส

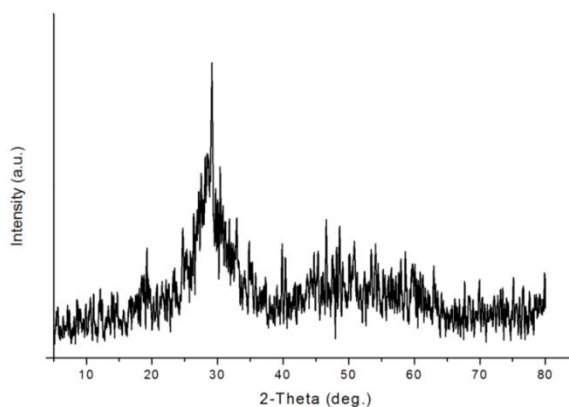
สภาวะในการเตรียม, อุณหภูมิ (องศาเซลเซียส)	ค่าประสิทธิภาพสลายตัว ของสารละลายโรดามีนบี (Photodegradation efficiency, %)	ค่าคงที่อัตราการ เกิดปฏิกิริยาโฟโต คะตะลิสต์ ($\times 10^{-3} \text{ min}^{-1}$)
1) แบบไม่เติมเกลือ, 218	9.84	0.8
2) แบบไม่เติมเกลือ, 273	32.94	3.6
3) BiVO_4 : LiNO_3 - NaNO_3 1:4, 218	24.31	2.1
4) BiVO_4 : LiNO_3 - NaNO_3 1:4, 273	19.62	1.8

จากการศึกษาสมบัติการเป็นตัวเร่งปฏิกิริยาเชิงแสงของผงบิสมัทวานาเดตที่เตรียมแบบไม่เติมเกลือ และแบบเติมเกลือที่อัตราส่วนสารตั้งต้นบิสมัทวานาเดตต่อเกลือผสมลิเทียมไนเตรต-โซเดียมไนเตรต 1:4 โดยแคลไซน์ที่อุณหภูมิ 218 และ 273 องศาเซลเซียส ดังที่แสดงที่ภาพที่ 4.58, 4.59 และตารางที่ 4.16 พบว่าผงบิสมัทวานาเดตที่เตรียมแบบไม่เติมเกลือ โดยสังเคราะห์ที่อุณหภูมิ 273 องศาเซลเซียส สามารถย่อยสลายสารละลายโรดามีนบีภายในระยะเวลาที่ 120 นาทีภายใต้การฉายแสงที่ตามองเห็น (visible-light region, 400 nm-700 nm) ได้อย่างมีประสิทธิภาพมากที่สุด ซึ่งสามารถย่อยสลายได้ถึง 32.94 เปอร์เซ็นต์ และมีค่าคงที่อัตราการเกิดปฏิกิริยาโฟโตคะตะลิสต์ เท่ากับ 3.6×10^{-3} ต่อนาที ($R^2 = 0.9808$) ในขณะที่ผงบิสมัทวานาเดตที่เตรียมแบบไม่เติมเกลือที่อุณหภูมิ 218 องศาเซลเซียส และแบบเติมเกลือผสมลิเทียมไนเตรต-โซเดียมไนเตรตที่อุณหภูมิ 218 องศาเซลเซียส และ 273 องศาเซลเซียส สามารถย่อยสลายสารละลายโรดามีนบีได้ 9.84, 24.31 และ 19.62 เปอร์เซ็นต์ ตามลำดับ(ค่าคงที่อัตราการเกิดปฏิกิริยาโฟโตคะตะลิสต์ เท่ากับ 0.8×10^{-3} , 2.1×10^{-3} และ 1.8×10^{-3} ต่อนาที, $R^2 = 0.9722$, 0.9827 และ 0.9899 ตามลำดับ)

4.2 ผลของการเตรียมตัวเร่งปฏิกิริยาเชิงแสงชนิดบิสมัทวานาเดตด้วยกระบวนการตกตะกอนร่วม-แคลไซน์

4.2.1 ศึกษาผลของการสังเคราะห์โดยไม่เติมเกลือที่อุณหภูมิต่างๆ

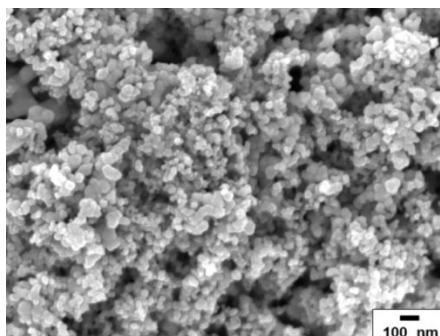
-ผลวิเคราะห์โครงสร้างและองค์ประกอบเฟสของผงตัวอย่างบิสมัทวานาเดตก่อนการแคลไซน์



ภาพที่ 4.60 กราฟ XRD ของสารตั้งต้นบิสมัทวานาเดต (precursor) เตรียมด้วยกระบวนการตกตะกอนร่วม ก่อนการแคลไซน์

จากผลการวิเคราะห์องค์ประกอบเฟสของสารตั้งต้นบิสมัทวานาเดต เตรียมด้วยกระบวนการตกตะกอนร่วม และผ่านการอบที่อุณหภูมิ 100 องศาเซลเซียส ในภาพที่ 4.60 แสดงโครงสร้างที่เป็น อสัณฐาน (amorphous) ซึ่งยังไม่เป็นผลึกอย่างสมบูรณ์

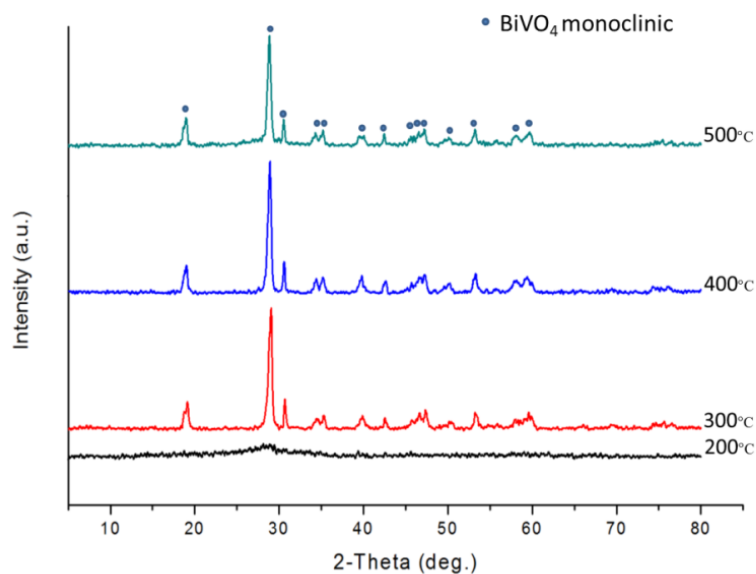
-ผลวิเคราะห์โครงสร้างจุลภาคของสารตั้งต้นบิสมัทวานาเดต



ภาพที่ 4.61 ภาพถ่าย FE-SEM ของสารตั้งต้นบิสมัทวานาเดต (precursor) ที่ได้จากระบวนการตกตะกอนร่วม ก่อนการแคลไซน์

เมื่อนำสารตั้งต้นบิสมัทวานาเดต (precursor) มาวิเคราะห์ด้วยเทคนิค FE-SEM ที่กำลังขยาย 50000 เท่า ดังแสดงในภาพที่ 4.61 พบว่า อนุภาคมีลักษณะคล้ายทรงกลมขนาดเล็ก และเกาะกลุ่มกัน จากนั้นนำสารตั้งต้นบิสมัทวานาเดตนี้ไปทำการแคลไซน์ที่อุณหภูมิ 200, 300, 400 และ 500 องศาเซลเซียส ตามลำดับ แล้วนำผงตัวอย่างบิสมัทวานาเดตที่สังเคราะห์ได้มาวิเคราะห์องค์ประกอบทางเฟสต่อไป

-ผลวิเคราะห์โครงสร้างและองค์ประกอบเฟสของผงตัวอย่างบิสมัทวานาเดต



ภาพที่ 4.62 กราฟ XRD ของผงตัวอย่างบิสมัทวานาเดตที่สังเคราะห์ด้วยกระบวนการตกตะกอนร่วมแบบไม่เติมเกลือ โดยแคลไซน์ที่อุณหภูมิ 200-500 องศาเซลเซียส เป็นเวลา 4 ชั่วโมง

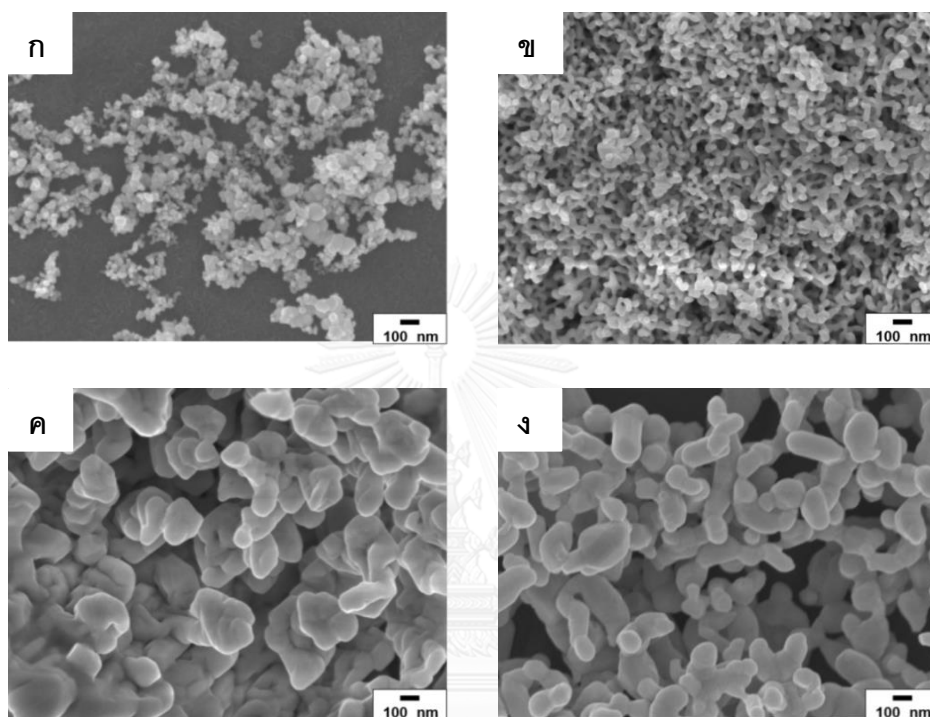
จากภาพที่ 4.62 แสดงโครงสร้างและองค์ประกอบเฟสของผงตัวอย่างบิสมัทวานาเดตที่ผ่านการแคลไซน์ ในช่วงอุณหภูมิ 200-500 องศาเซลเซียส พบว่า ผงตัวอย่างที่แคลไซน์ที่อุณหภูมิ 200 องศาเซลเซียส จะมีโครงสร้างเป็นอสัณฐาน มีความเป็นผลึกไม่สมบูรณ์ ในขณะที่เมื่อมีการเพิ่มอุณหภูมิในการแคลไซน์จะช่วยให้ผงตัวอย่างบิสมัทวานาเดตมีความเป็นผลึกมากขึ้น โดยผงตัวอย่างบิสมัทวานาเดตที่เผาแคลไซน์ที่ 300, 400 และ 500 องศาเซลเซียสจะประกอบไปด้วยโครงสร้างโมโนคลินิก (BiVO_4 , Monoclinic, JCPD file no. 00-014-0688)

โดยผงบิสมัทวานาเดตที่แคลไซน์ที่อุณหภูมิ 300, 400 และ 500 องศาเซลเซียส จะมีขนาดผลึกเท่ากับ 25.61, 67.94 และ 72.78 นาโนเมตร ตามลำดับ

จากข้อมูลสามารถสรุปได้ว่าการเพิ่มอุณหภูมิในการเผาแคลไซน์ (calcination temperature) ในการสังเคราะห์ตัวอย่างแบบตกตะกอนร่วมนั้น ส่งผลทำให้ตัวอย่างของบิสมัทวานาเดตมีความเป็นผลึกที่มากขึ้น โดยความเป็นผลึกจะชัดเจนขึ้นเมื่อใช้อุณหภูมิในการแคลไซน์

ตั้งแต่ 300 องศาเซลเซียสเป็นต้นไป นอกจากนั้นแล้วการเพิ่มอุณหภูมิในการแคลไซน์ส่งเสริมให้ผลึกมีขนาดโตขึ้น

-ผลวิเคราะห์โครงสร้างจุลภาคของบิสมาทวานาเดตที่ผ่านการแคลไซน์ที่อุณหภูมิต่าง ๆ

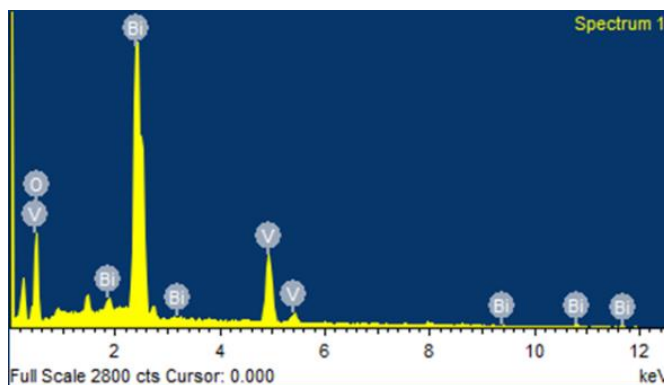


ภาพที่ 4.63 ภาพถ่าย FE-SEM ของผงตัวอย่างบิสมาทวานาเดตที่สังเคราะห์ด้วยกระบวนการตกตะกอนร่วมและแคลไซน์ที่อุณหภูมิ (ก) 200 (ข) 300 (ค) 400 (ง) 500 องศาเซลเซียส เป็นเวลา 4 ชั่วโมง

จากการนำผงตัวอย่างบิสมาทวานาเดตที่สังเคราะห์ด้วยกระบวนการตกตะกอนร่วม แคลไซน์ที่อุณหภูมิในช่วง 200-500 องศาเซลเซียส มาศึกษาโครงสร้างจุลภาคด้วยเทคนิค FE-SEM กำลังขยาย 50000 เท่า พบว่าอนุภาคของตัวอย่างบิสมาทวานาเดตแคลไซน์ที่ 200 องศาเซลเซียส (ภาพที่ 4.63 (ก)) มีลักษณะรูปร่างคล้ายกับสารตั้งต้นบิทวานาเดต (ภาพที่ 4.61)

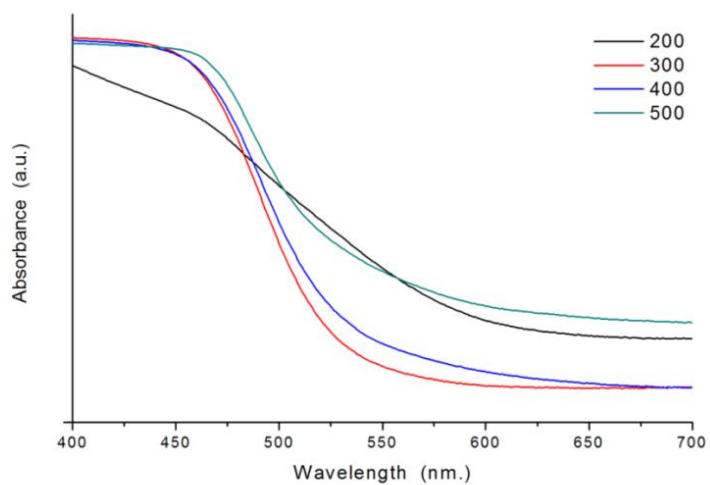
ในขณะที่ผงตัวอย่างที่แคลไซน์ 300, 400 และ 500 องศาเซลเซียส ดังภาพที่ 4.63(ข), 4.63 (ค) และ 4.63(ง) อนุภาคจะมีการเชื่อมต่อกันคล้ายลักษณะกิ่งขนาดเล็ก (irregular dendritic-like) โดยที่ผงตัวอย่างที่แคลไซน์ที่ 300 องศาเซลเซียสจะมีขนาดเล็กกว่าผงตัวอย่างที่

เผาแคลไซน์ที่ 400 และ 500 องศาเซลเซียส โดยเมื่อมีการเพิ่มอุณหภูมิการแคลไซน์จะทำให้อนุภาคมีขนาดใหญ่ขึ้น และอนุภาคมีการเชื่อมต่อกันมากขึ้น

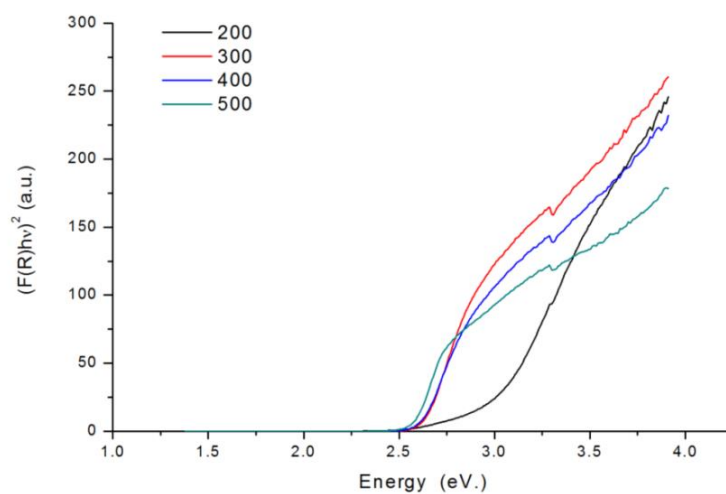


ภาพที่ 4.64 ผลวิเคราะห์ EDS ของผงตัวอย่างบิสมีทวานาเดตที่สังเคราะห์ด้วยกระบวนการตกตะกอนร่วมและแคลไซน์ที่ 500 องศาเซลเซียส

เมื่อนำผงตัวอย่างบิสมีทวานาเดตมาวิเคราะห์ด้วยเทคนิค EDS ซึ่งแสดงให้เห็นว่าอนุภาคที่สังเคราะห์ได้นั้นมีความบริสุทธิ์ ไม่มีเกลือที่ใช้เป็นตัวหลอมละลายเหลืออยู่ โดยแสดงสเปกตรัมประกอบไปด้วยธาตุบิสมีท วานาเดียม และออกซิเจน เท่านั้นดังที่แสดงให้เห็นในภาพที่ 4.64



ภาพที่ 4.65 กราฟแสดงค่าการดูดกลืนแสงที่ความยาวคลื่นต่างๆ ของบิสมัทวานาเดตที่สังเคราะห์โดยแคลไซน์ที่อุณหภูมิต่างๆ



ภาพที่ 4.66 กราฟพล็อตระหว่าง $(F(R)hv)^2$ กับพลังงานโฟตอนของบิสมัทวานาเดตที่แคลไซน์ที่อุณหภูมิต่างๆ

-ผลการวิเคราะห์สมบัติทางแสงและแถบช่องว่างพลังงาน

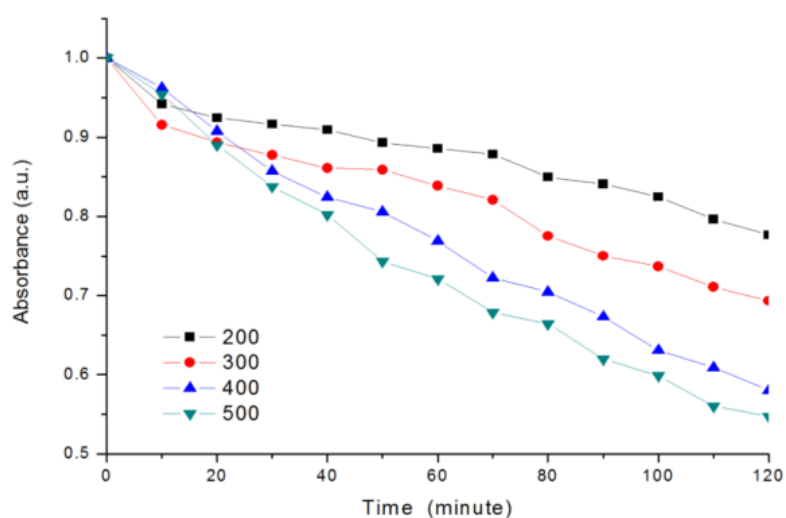
ตารางที่ 4.17 แถบช่องว่างพลังงานของผงตัวอย่างบิสมัทวานาเดตที่แคลไซน์ที่
อุณหภูมิที่ต่างกัน

อุณหภูมิแคลไซน์ (องศาเซลเซียส)	แถบช่องว่างพลังงาน (อิเล็กตรอนโวลต์)	ความยาวคลื่นที่ ตอบสนอง (นาโนเมตร)
1) 200	2.89	≤ 430
2) 300	2.58	≤ 481
3) 400	2.58	≤ 481
4) 500	2.56	≤ 485

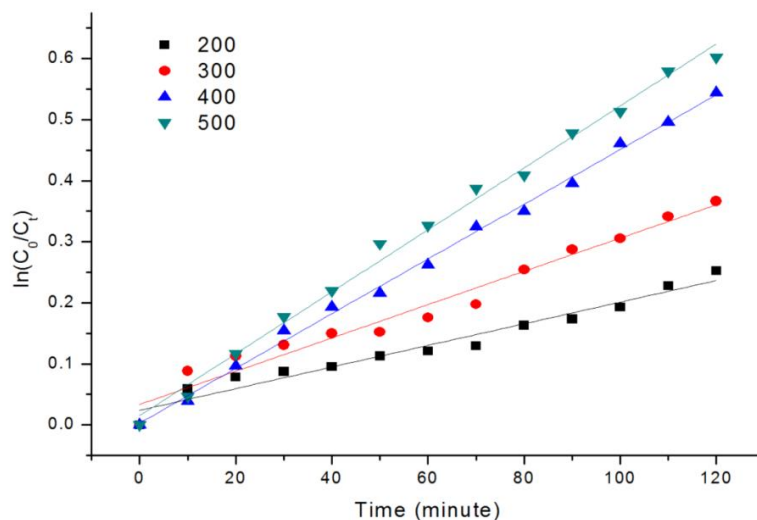
จากการศึกษาการดูดกลืนแสงของผงตัวอย่างบิสมัทวานาเดตที่สังเคราะห์ด้วย
กระบวนการตกตะกอนร่วม ที่แคลไซน์ที่อุณหภูมิในช่วง 200-500 องศาเซลเซียส ในช่วงความ
ยาวคลื่นแสงที่ตามองเห็น (400-700 นาโนเมตร) ด้วยเทคนิค UV/DRS พบว่า จากภาพที่
4.65 ผงตัวอย่างบิสมัทวานาเดตที่สังเคราะห์ที่อุณหภูมิต่างๆ สามารถดูดซับแสงได้ที่ความยาว
คลื่นมากกว่า 400 นาโนเมตร (อยู่ในช่วง ≤ 485 nm) และจะมีการดูดกลืนแสงลดลงอย่าง
มากในช่วงความยาวคลื่นมากกว่า 430 นาโนเมตร จากนั้นเมื่อนำข้อมูลที่ได้มาวิเคราะห์หาค่า
แถบช่องว่างพลังงานของผงตัวอย่างบิสมัทวานาเดต โดยทำการพล็อตกราฟระหว่าง $(F(R)h\nu)^2$
กับพลังงานโฟตอนของบิสมัทวานาเดตที่สังเคราะห์ที่อุณหภูมิต่างๆ ดังภาพที่ 4.66 พบว่าแถบ
ช่องว่างพลังงานของผงตัวอย่างที่แคลไซน์ที่ 200 องศาเซลเซียสจะให้ค่าแถบช่องว่างพลังงานที่
มากกว่าผงตัวอย่างที่แคลไซน์ที่อุณหภูมิต่างๆ แถบช่องว่างพลังงานของผงตัวอย่างบิสมัทวานา
เดตแคลไซน์ที่อุณหภูมิต่างๆ จะมีค่าอยู่ในช่วง 2.56-2.89 อิเล็กตรอนโวลต์ และสามารถ

ตอบสนองต่อแสงในช่วงที่ตามองเห็นที่มีความยาวคลื่นไม่เกิน 485 นาโนเมตร ดังแสดงในตารางที่ 4.17

-ผลวิเคราะห์สมบัติการเป็นตัวเร่งปฏิกิริยาเชิงแสงของตัวอย่างบิสมัทวานาเดต (Photocatalytic activity)



ภาพที่ 4.67 การลดลงของค่าการดูดกลืนแสงของสารละลายโรดามีนบีภายใต้แสงที่ตามองเห็นของผงตัวอย่างบิสมัทวานาเดตที่สังเคราะห์ด้วยกระบวนการตกตะกอนร่วมและแคลไซน์ที่อุณหภูมิ 200-500 องศาเซลเซียส



ภาพที่ 4.68 อัตราการเกิดปฏิกิริยาเชิงแสงของผงตัวอย่างบิสฟีนอลเอเดทที่สังเคราะห์ด้วยกระบวนการตกตะกอนร่วมและแคลไซน์ที่อุณหภูมิ 200-500 องศาเซลเซียส

ตารางที่ 4.18 ค่าประสิทธิภาพของการย่อยสลายตัวของสารละลายโรดามีนบีภายใต้แสงที่ตามองเห็นที่ 120 นาที และค่าคงที่อัตราการเกิดปฏิกิริยาโฟโตคะตะลิสต์ของผงตัวอย่างบิสฟีนอลเอเดทที่สังเคราะห์ด้วยกระบวนการตกตะกอนร่วมและแคลไซน์ที่อุณหภูมิ 200-500 องศาเซลเซียส

อุณหภูมิแคลไซน์ (องศาเซลเซียส)	ค่าประสิทธิภาพของการสลายตัวของ สารละลาย โรดามีนบี (Photodegradation efficiency, %)	ค่าคงที่อัตราการ เกิดปฏิกิริยา โฟโตคะตะลิสต์ ($\times 10^{-3} \text{ min}^{-1}$)
1) 200	22.33	17.9
2) 300	30.68	27.3
3) 400	41.97	44.8
4) 500	45.24	50.7

จากการศึกษาสมบัติการเป็นตัวเร่งปฏิกิริยาเชิงแสงของผงบิสฟีนอลเอเดทที่เตรียมด้วยกระบวนการตกตะกอนร่วม โดยแคลไซน์ที่อุณหภูมิต่างๆ (ช่วงอุณหภูมิ 200-500 องศาเซลเซียส) เป็นเวลา 4 ชั่วโมง ดังที่แสดงที่ภาพที่ 4.67, 4.68 และตารางที่ 4.18 พบว่าผงบิสฟีนอลเอเดทที่แคลไซน์ที่อุณหภูมิ 500 องศาเซลเซียส สามารถย่อยสลายสารละลายโรดามีนบี

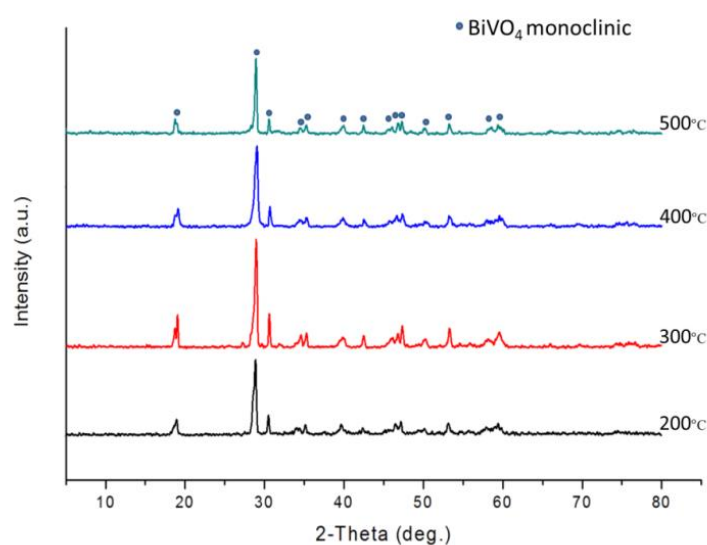
ปีภายในระยะเวลาที่ 120 นาทีได้อย่างมีประสิทธิภาพสูงสุด ซึ่งสามารถย่อยสลายได้ถึง 45.24 เปอร์เซ็นต์ และมีค่าคงที่อัตราการเกิดปฏิกิริยาโฟโตคะตะลิสต์เท่ากับ 50.7×10^{-3} ต่อนาที ($R^2 = 0.9969$) ในขณะที่ผงบิสมัทวานาเดตแคลไซต์ที่อุณหภูมิ 200, 300 และ 400 องศาเซลเซียส สามารถย่อยสลายสารละลายโรดามีนบีได้ 22.33, 30.68 และ 41.97 เปอร์เซ็นต์ ตามลำดับ และมีค่าคงที่อัตราการเกิดปฏิกิริยาโฟโตคะตะลิสต์เท่ากับ 17.9×10^{-3} , 27.3×10^{-3} และ 44.8×10^{-3} ต่อนาที ตามลำดับ ($R^2 = 0.969$, 0.9682 และ 0.9969 ตามลำดับ) จากนั้นได้ทำการเลือกผงบิสมัทวานาเดตแคลไซต์ที่อุณหภูมิ 500 องศาเซลเซียส ซึ่งสมบัติการเร่งปฏิกิริยาเชิงแสงดีสุด ไปวัดพื้นที่ผิวจำเพาะ พบว่ามีพื้นที่ผิวจำเพาะ 3.92 ตารางเมตรต่อกรัม

จากข้อมูลสรุปได้ว่าการเพิ่มอุณหภูมิในการแคลไซต์ ส่งผลให้เกิดความเป็นผลึกเกิดขึ้น โครงสร้างทางจุลภาคของอนุภาคมีรูปร่างที่ชัดเจนขึ้น และมีการโตของอนุภาคเกิดขึ้นเมื่อเพิ่มอุณหภูมิ ซึ่งส่งผลต่อประสิทธิภาพการสลายตัวสารละลายโรดามีนบี โดยผงบิสมัทวานาเดตที่แคลไซต์ที่อุณหภูมิที่สูงกว่าจะให้ประสิทธิภาพการย่อยสลายโรดามีนบีที่ดีกว่าผงบิสมัทวานาเดตที่แคลไซต์ที่อุณหภูมิต่ำกว่า

4.2.2 ศึกษาผลของการเตรียมตัวเร่งปฏิกิริยาเชิงแสงชนิดผงตัวอย่างบิสมัทวานาเดตด้วยกระบวนการตกตะกอนร่วมและแคลไซน์โดยเติมเกลือหลอมละลายที่อุณหภูมิต่างๆ

4.2.2.1 ผลการเติมเกลือผสมลิเทียมไนเตรต-โซเดียมไนเตรต ผ่านการแคลไซน์ที่อุณหภูมิต่างๆ (ช่วงอุณหภูมิ 200 – 500 องศาเซลเซียส)

-ผลวิเคราะห์โครงสร้างและองค์ประกอบเฟสของผงตัวอย่างบิสมัทวานาเดต



ภาพที่ 4.69 กราฟ XRD ของผงตัวอย่างบิสมัทวานาเดตที่สังเคราะห์ด้วยกระบวนการตกตะกอนร่วมและเติมเกลือผสมลิเทียมไนเตรต-โซเดียมไนเตรต ผ่านการแคลไซน์ที่อุณหภูมิต่างๆ (ช่วงอุณหภูมิ 200 – 500 องศาเซลเซียส) เป็นเวลา 4 ชั่วโมง

เมื่อทำการสังเคราะห์ผงตัวอย่างบิสมัทวานาเดตที่สังเคราะห์ด้วยกระบวนการตกตะกอนร่วมแบบเติมเกลือผสมลิเทียมไนเตรต-โซเดียมไนเตรต โดยได้ทำการเลือกอัตราส่วนสารตั้งต้นบิสมัทวานาเดตต่อเกลือผสมลิเทียมไนเตรต-โซเดียมไนเตรต ที่ 1:4 เนื่องจากในการสังเคราะห์ผงตัวอย่างบิสมัทวานาเดตที่สังเคราะห์ด้วยกระบวนการเกิดปฏิกิริยาในสถานะของแข็งนั้นผงตัวอย่างที่เตรียมด้วยอัตราส่วนดังกล่าวสามารถย่อยสลายสารละลายโรดามีนบีได้อย่างมีประสิทธิภาพสูงที่สุด

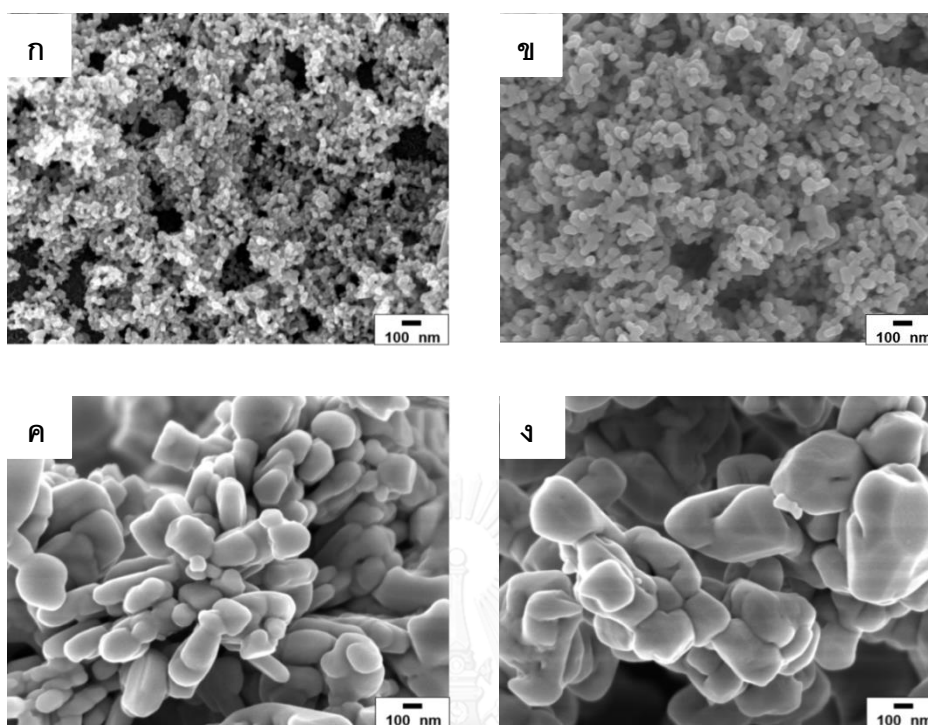
โดยกลไกของการเกิดปฏิกิริยาเมื่อมีการเติมเกลือหลอมละลายคือ เมื่อเติมเกลือ (molten salts) ลงในสารตั้งต้นบิสมัทวานาเดตที่ได้เตรียมจากการตกตะกอนซึ่งมีความเป็นผลึกต่ำ ในการ

สังเคราะห์ เกลือจะทำหน้าที่หลักคือ ทำหน้าที่เป็นตัวทำละลาย(solvent) โดยที่ไม่ทำปฏิกิริยากับสารสารตั้งต้นบิสมาทวานาเดต ที่อุณหภูมิสูงกว่าจุดหลอมเหลวของเกลือ สารตั้งต้นบิสมาทวานาเดตจะถูกหลอมละลายในตัวกลางที่เป็นเกลือหลอมละลาย ซึ่งส่งผลในการเร่งการแพร่ (diffusion) และการเคลื่อนที่ (transportation) ของสาร เนื่องจากความหนืดที่ต่ำลง และช่วยให้เกิดความสม่ำเสมอในการการตกผลึกใหม่ (recrystallization) ของบิสมาทวานาเดต เมื่อในระบบเข้าสู่จุดอิ่มตัว ส่งเสริมให้เกิดนิวเคลียสของผลึกและการโตของผลึกต่อไป (nucleation and growth) ดังนั้นผลึกของบิสมาทวานาเดตที่ได้จึงมีความเป็นผลึกที่ดี (good crystallinity) คือผลึกมีการจัดเรียงตัวอย่างเป็นระบบที่สม่ำเสมอ และมีสัณฐานและขนาดอนุภาคที่สม่ำเสมอ

จากผลวิเคราะห์โครงสร้างและองค์ประกอบเฟสดังแสดงในภาพที่ 4.69 พบว่าผงตัวอย่างบิสมาทวานาเดตเตรียมแบบเติมเกลือผสมลิเทียมไนเตรต-โซเดียมไนเตรต แคลไซต์ตั้งแต่อุณหภูมิ 200 องศาเซลเซียสขึ้นไป จะประกอบไปด้วยโครงสร้างโมโนคลินิก (BiVO_4 , Monoclinic, JCPD file no. 00-014-0688) เพียงเฟสเดียว โดยผงตัวอย่างที่เตรียมได้มีความเป็นผลึกชัดเจนตั้งแต่อุณหภูมิ 200 องศาเซลเซียส เมื่อเทียบกับผงตัวอย่างที่เตรียมแบบไม่เติมเกลือแคลไซต์ที่อุณหภูมิ 200 องศาเซลเซียส (ภาพที่ 4.62) ยังเป็นอสัณฐาน

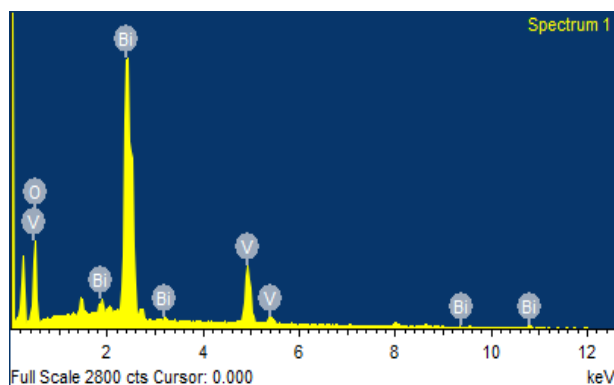
จากนั้นได้นำผงตัวอย่างบิสมาทวานาเดตเตรียมแบบเติมเกลือผสมลิเทียมไนเตรต-โซเดียมไนเตรต แคลไซต์ที่อุณหภูมิ 200 องศาเซลเซียส ไปวิเคราะห์พื้นที่ผิวจำเพาะด้วยเทคนิคบีอีที พบว่าผงตัวอย่างดังกล่าวมีพื้นที่ผิวจำเพาะ 16.27 ตารางเมตรต่อกรัม

-ผลวิเคราะห์โครงสร้างจุลภาค และสัณฐานวิทยาของบิสม์ทวานาเดต



ภาพที่ 4.70 ภาพถ่าย FE-SEM ผงตัวอย่างบิสม์ทวานาเดตที่สังเคราะห์ด้วยกระบวนการตกตะกอนร่วม แบบเติมเกลือผสมลิเทียมไนเตรต-โซเดียมไนเตรต ผ่านการแคลไซน์ที่อุณหภูมิ (ก) 200 (ข) 300 (ค) 400 (ง) 500 องศาเซลเซียส

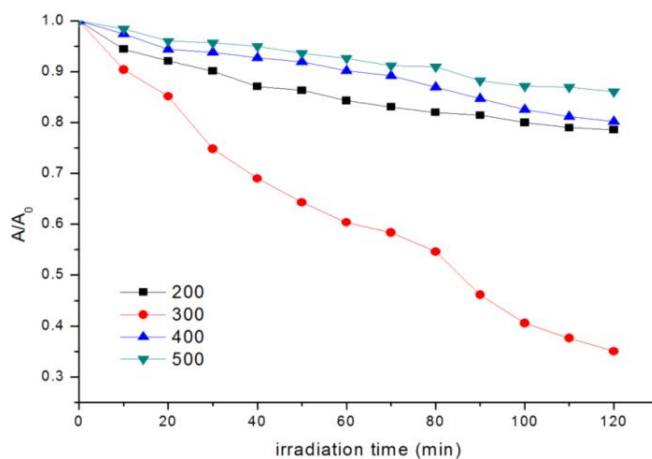
จากการนำผงตัวอย่างบิสม์ทวานาเดตที่สังเคราะห์ด้วยกระบวนการตกตะกอนร่วม แบบเติมเกลือผสมลิเทียมไนเตรต-โซเดียมไนเตรต ผ่านการเผาแคลไซน์ที่อุณหภูมิในช่วง 200-500 องศาเซลเซียส มาศึกษาโครงสร้างจุลภาคด้วยเทคนิค FE-SEM กำลังขยาย 50000 เท่า พบว่าผงตัวอย่างบิสม์ทวานาเดตที่เตรียมแบบเติมเกลือผสมลิเทียมไนเตรต-โซเดียมไนเตรตผ่านการเผาแคลไซน์ที่อุณหภูมิในช่วง 200-300 องศาเซลเซียส (ภาพที่ 4.70(ก) และ ภาพที่ 4.70(ข)) มีรูปร่างและขนาดใกล้เคียงกับผงตัวอย่างบิสม์ทวานาเดตแบบไม่เติมเกลือที่เผาแคลไซน์ที่ 200-300 องศาเซลเซียส (ภาพที่ 4.63(ก), 4.63(ข)) แต่อนุภาคบิสม์ทวานาเดตที่เตรียมแบบเติมเกลือผสมลิเทียมไนเตรต-โซเดียมไนเตรต แคลไซน์ที่ 400 และ 500 องศาเซลเซียส มีขนาดใหญ่กว่าและรูปร่างผลึกต่างกับอนุภาคที่สังเคราะห์แบบไม่เติมเกลือ (ภาพที่ 4.63(ค), 4.63(ง)) โดยขนาดอนุภาคเฉลี่ยที่วัดภาพถ่าย FE-SEM ของผงตัวอย่างที่เตรียมแบบเติมเกลือผสมลิเทียมไนเตรต-โซเดียมไนเตรต แคลไซน์ที่ 400 และ 500 องศาเซลเซียส เท่ากับ 70-220 นาโนเมตร, 400-800 นาโนเมตร ตามลำดับ)



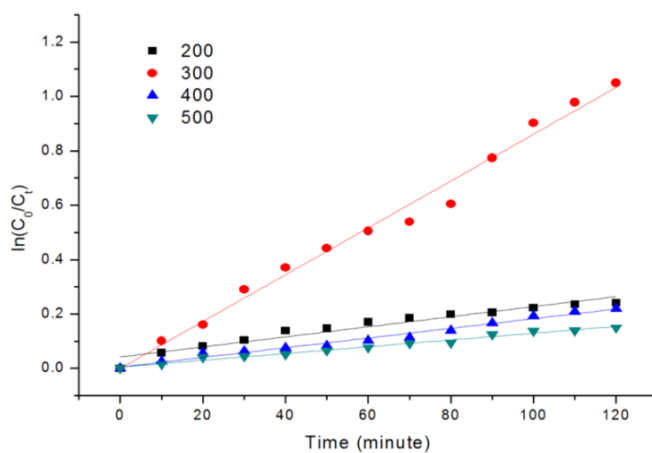
ภาพที่ 4.71 ผลวิเคราะห์ EDS ของผงตัวอย่างบิสมัทวานาเดตที่สังเคราะห์ด้วยกระบวนการตกตะกอนร่วมแบบเติมเกลือผสมลิเทียมไนเตรต-โซเดียมไนเตรต ผ่านการแคลไซต์ที่อุณหภูมิ 200 องศาเซลเซียส

เมื่อนำผงตัวอย่างบิสมัทวานาเดตมาวิเคราะห์ด้วยเทคนิค EDS ซึ่งแสดงให้เห็นว่าอนุภาคที่สังเคราะห์ได้นั้นมีความบริสุทธิ์ ไม่มีเกลือที่ใช้ในการหลอมละลายเหลืออยู่ โดยแสดงสเปกตรัมประกอบไปด้วยธาตุบิสมัท วานาเดียม และออกซิเจน เท่านั้นดังที่แสดงให้เห็นในภาพที่ 4.71

-ผลวิเคราะห์สมบัติการเป็นตัวเร่งปฏิกิริยาเชิงแสงของตัวอย่างบิสมัทวานาเดต
(Photocatalytic activity)



ภาพที่ 4.72 การลดลงของค่าการดูดกลืนแสงของสารละลายโรดามีนบีภายใต้แสงที่ตามองเห็นที่ 120 นาทีของผงตัวอย่างบิสมัทวานาเดตที่สังเคราะห์ด้วยกระบวนการตกตะกอนร่วม แบบเติมเกลือผสมลิเทียมไนเตรต-โซเดียมไนเตรต แคลไซน์ที่อุณหภูมิ 200-500 องศาเซลเซียส



ภาพที่ 4.73 อัตราการเกิดปฏิกิริยาเชิงแสงของผงตัวอย่างบิสมัทวานาเดตที่สังเคราะห์ด้วยกระบวนการตกตะกอนร่วม แบบเติมเกลือผสมลิเทียมไนเตรต-โซเดียมไนเตรต แคลไซน์ที่อุณหภูมิ 200-500 องศาเซลเซียส

ตารางที่ 4.19 ค่าประสิทธิภาพของการสลายตัวของสารละลายโรดามีนบีภายใต้แสงที่ตามองเห็นที่ 120 นาที และค่าคงที่อัตราการเกิดปฏิกิริยาโฟโตคะตะลิสต์ของผงตัวอย่างบิสมัทวานาเดตที่สังเคราะห์ด้วยกระบวนการตกตะกอนร่วม แบบเติมเกลือผสมลิเทียมไนเตรต-โซเดียมไนเตรต แคลไซน์ที่อุณหภูมิตั้ง 200-500 องศาเซลเซียส

อุณหภูมิแคลไซน์ (องศาเซลเซียส)	ค่าประสิทธิภาพการย่อยสลาย ของสารละลายโรดามีนบี (Photodegradation efficiency, %)	ค่าคงที่อัตราการ เกิดปฏิกิริยาโฟโตคะตะ ลิสต์ ($\times 10^{-3} \text{ min}^{-1}$)
1) 200	21.43	19.2
2) 300	64.98	86.1
3) 400	19.77	17.8
4) 500	13.9	12.4

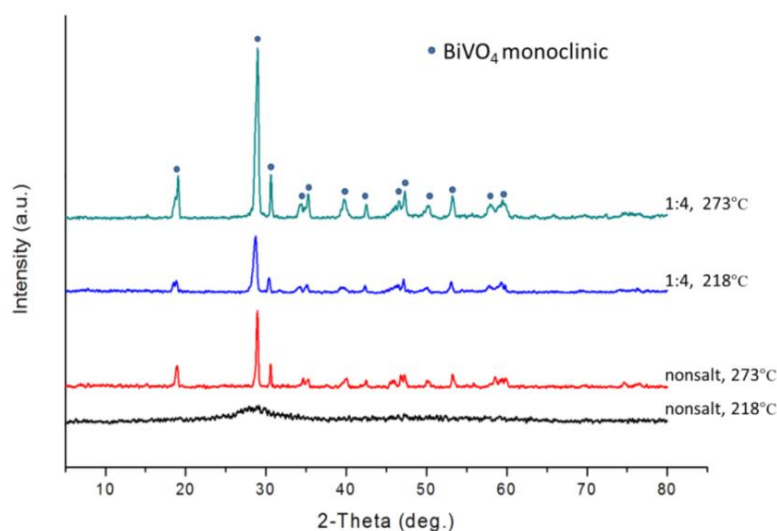
จากการศึกษาสมบัติการเป็นตัวเร่งปฏิกิริยาเชิงแสงของผงบิสมัทวานาเดตที่เตรียมเติมเกลือผสมลิเทียมไนเตรต-โซเดียมไนเตรต แคลไซน์ที่อุณหภูมิตั้ง 200-500 องศาเซลเซียส ด้วยการย่อยสลายสารละลายโรดามีนบีภายใต้การฉายแสงที่ตามองเห็น (visible-light region, 400 nm-700 nm) ดังที่แสดงที่ภาพที่ 4.72, 4.73 และตารางที่ 4.19 พบว่าผงบิสมัทวานาเดตที่ทำการเผาแคลไซน์ที่อุณหภูมิตั้ง 300 องศาเซลเซียส สามารถย่อยสลายสารละลายโรดามีนบีภายในระยะเวลาที่ 120 นาที ได้อย่างมีประสิทธิภาพมากที่สุด ซึ่งสามารถย่อยสลายได้ถึง 64.98 เปอร์เซ็นต์ และมีค่าคงที่อัตราการเกิดปฏิกิริยาโฟโตคะตะลิสต์ เท่ากับ 86.1 ($R^2 = 0.988$) ในขณะที่ผงบิสมัทวานาเดตที่อุณหภูมิตั้ง 200, 400 และ 500 องศาเซลเซียส สามารถย่อยสลายสารละลายโรดามีนบีได้ลดลง คือ 21.43, 19.77 และ 13.9 เปอร์เซ็นต์ ตามลำดับ (ค่าคงที่อัตราการเกิดปฏิกิริยาโฟโตคะตะลิสต์ เท่ากับ 19.2, 17.8 และ 12.4 ตามลำดับ, $R^2 = 0.953$, 0.9833 และ 0.9849 ตามลำดับ)

เมื่อเปรียบเทียบกับผลการย่อยสลายสารละลายโรดามีนบีของผงบิสมัทวานาเดตที่สังเคราะห์แบบตกตะกอนร่วม โดยเตรียมแบบไม่เติมเกลือ ดังตารางที่ 4.18 พบว่า ผงบิสมัทวานาเดตแคลไซน์ที่ 300 องศาเซลเซียส แบบไม่เติมเกลือจะสามารถย่อยสลายสารละลายโรดามีน

ปีได้เพียง 30.68 เปอร์เซ็นต์ ในขณะที่ผงบิสมัทวานาเดตที่เตรียมแบบเติมเกลือผสมลิเทียมไนเตรต-โซเดียมไนเตรต จะสามารถย่อยสลายได้ถึง 64.98 เปอร์เซ็นต์

4.2.2.2 ผลการเติมเกลือผสมลิเทียมไนเตรต-โซเดียมไนเตรต ที่สภาวะเดียวกับการเตรียมด้วยกระบวนการเกิดปฏิกิริยาในของแข็ง

-โครงสร้างและองค์ประกอบเฟสของผงตัวอย่างบิสมัทวานาเดต



ภาพที่ 4.74 กราฟ XRD ของบิสมัทวานาเดตที่สังเคราะห์แบบไม่เติมเกลือ และแบบเติมเกลือ ที่อัตราส่วนสารตั้งต้นบิสมัทวานาเดตต่อเกลือผสมลิเทียมไนเตรต-โซเดียมไนเตรตที่ 1:4 และแคลไซน์ที่อุณหภูมิ 218 และ 273 องศาเซลเซียส เป็นเวลา 4 ชั่วโมง

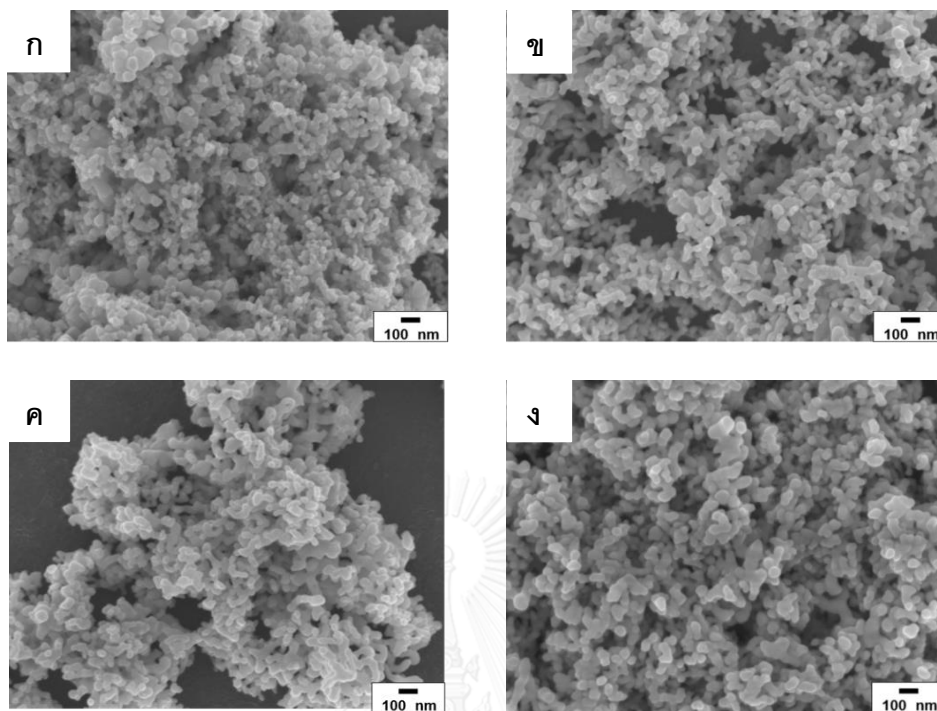
เมื่อทำการสังเคราะห์ผงตัวอย่างบิสมัทวานาเดตที่สังเคราะห์ด้วยกระบวนการตกตะกอนร่วมแบบเติมเกลือผสมลิเทียมไนเตรต-โซเดียมไนเตรต โดยได้ทำการเลือกอัตราส่วนสารตั้งต้นบิสมัทวานาเดตต่อเกลือผสมลิเทียมไนเตรต-โซเดียมไนเตรต ที่ 1:4 เนื่องจากว่าในการสังเคราะห์ผงตัวอย่างบิสมัทวานาเดตที่สังเคราะห์ด้วยกระบวนการเกิดปฏิกิริยาในสถานะของแข็งนั้น ผงตัวอย่างที่เตรียมด้วยอัตราส่วนสารตั้งต้นบิสมัทวานาเดตต่อเกลือผสมลิเทียมไนเตรต-โซเดียมไนเตรตที่ 1:4 สามารถย่อยสลายสารละลายโรดามีนบีได้อย่างมีประสิทธิภาพมากที่สุด

จากผลวิเคราะห์โครงสร้างและองค์ประกอบเฟสดังแสดงในภาพที่ 4.74 พบว่าผงตัวอย่าง บิส്മัทวานาเดตที่เตรียมแบบไม่เติมเกลือ แคลไซต์ที่อุณหภูมิ 218 องศาเซลเซียส จะมีโครงสร้าง เป็นอสังฐาน ส่วนผงตัวอย่างที่เตรียมแบบไม่เติมเกลือ แคลไซต์ที่อุณหภูมิ 273 องศาเซลเซียส และเตรียมแบบเติมเกลือ แคลไซต์ที่อุณหภูมิ 218 และ 273 องศาเซลเซียส จะประกอบไปด้วย โครงสร้างโมโนคลินิก (BiVO_4 , Monoclinic, JCPD file no. 00-014-0688) เพียงเฟสเดียว

โดยขนาดผลึกของผงบิส്മัทวานาเดตที่เตรียมแบบไม่เติมเกลือ แคลไซต์ 273 องศาเซลเซียส และเตรียมแบบเติมเกลือ แคลไซต์ที่อุณหภูมิ 218 และ 273 องศาเซลเซียสเท่ากับ 23.77, 22.64 และ 25.74 นาโนเมตร ตามลำดับ



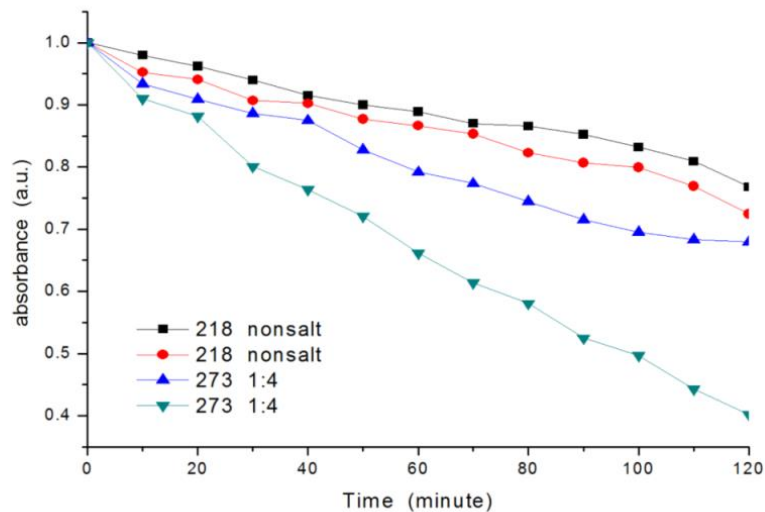
-ผลวิเคราะห์โครงสร้างจุลภาค และสัณฐานวิทยาของบิส്മัทวานาเดต



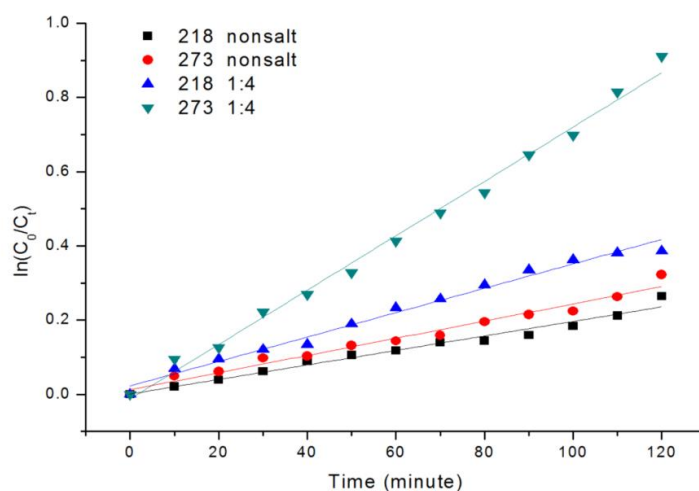
ภาพที่ 4.75 ภาพถ่าย FE-SEM ผงตัวอย่างบิส്മัทวานาเดตที่สังเคราะห์แบบไม่เติมเกลือแคลเซียมที่อุณหภูมิต่ำ (ก) 218 องศาเซลเซียส และ (ข) 273 องศาเซลเซียส และแบบเติมเกลือ ที่อัตราส่วนสารตั้งต้นบิส്മัทวานาเดตต่อเกลือผสมลิเทียมไนเตรต-โซเดียมไนเตรดที่ 1:4 แคลเซียมที่อุณหภูมิต่ำ (ค) 218 องศาเซลเซียส และ (ง) 273 องศาเซลเซียส

จากภาพที่ 4.75 จะเห็นได้ว่าผงตัวอย่างบิส്മัทวานาเดตที่สังเคราะห์แบบไม่เติมเกลือ และแบบเติมเกลือผสมลิเทียมไนเตรต-โซเดียมไนเตรด แคลเซียมที่อุณหภูมิต่ำ 218 องศาเซลเซียส และ 273 องศาเซลเซียส จะมีรูปร่างและลักษณะอนุภาคที่คล้ายกัน โดยอนุภาคจะมีลักษณะใกล้เคียงกับผงตัวอย่างบิส്മัทวานาเดตแบบไม่เติมเกลือที่เผาแคลเซียมที่ 200-300 องศาเซลเซียส (ภาพที่ 4.63(ก), 4.63(ข))

-ผลวิเคราะห์สมบัติการเป็นตัวเร่งปฏิกิริยาเชิงแสงของตัวอย่างบิสมัทวานาเดต
(Photocatalytic activity)



ภาพที่ 4.76 การลดลงของค่าการดูดกลืนแสงของสารละลายโรดามีนบีภายใต้แสงที่ตามองเห็นที่ 120 นาทีของผงตัวอย่างบิสมัทวานาเดตที่เตรียมแบบไม่เติมเกลือและแบบเติมเกลือ ที่อัตราส่วนสารตั้งต้นบิสมัทวานาเดตต่อเกลือผสมลิเทียมไนเตรต-โซเดียมไนเตรตที่ 1:4 และแคล์ไซน์ที่ 218 องศาเซลเซียส และ 273 องศาเซลเซียส



ภาพที่ 4.77 อัตราการเกิดปฏิกิริยาเชิงแสงของผงตัวอย่างบิสมัทวานาเดตที่เตรียมแบบไม่เติมเกลือ และแบบเติมเกลือ ที่อัตราส่วนสารตั้งต้นบิสมัทวานาเดตต่อเกลือผสมลิเทียมไนเตรต-โซเดียมไนเตรตที่ 1:4 และแคลไซน์ที่ 218 และ 273 องศาเซลเซียส

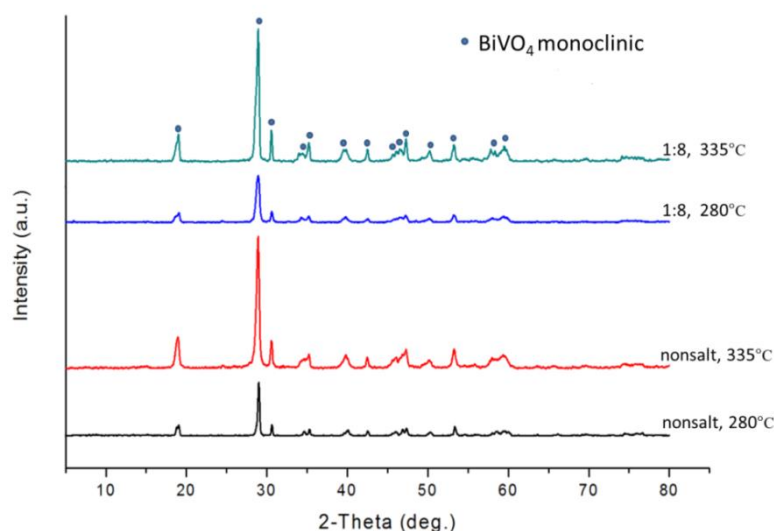
ตารางที่ 4.20 ค่าประสิทธิภาพของการสลายตัวของสารละลายโรดามีนบี ภายใต้แสงที่ตามองเห็นที่ 120 นาที่ และค่าคงที่อัตราการเกิดปฏิกิริยาโฟโตคะตะลิสต์ของตัวอย่างบิสมัทวานาเดตที่เตรียมแบบไม่เติมเกลือ และแบบเติมเกลือ ที่อัตราส่วนสารตั้งต้นบิสมัทวานาเดตต่อเกลือผสมลิเทียมไนเตรต-โซเดียมไนเตรตที่ 1:4 และแคลไซน์ที่ 218 และ 273 องศาเซลเซียส

สภาวะในการเตรียม, อุณหภูมิ (องศาเซลเซียส)	ค่าประสิทธิภาพของการสลายตัวของสารละลายโรดามีนบี (Photodegradation efficiency, %)	ค่าคงที่อัตราการเกิดปฏิกิริยาโฟโตคะตะลิสต์ ($\times 10^{-3} \text{ min}^{-1}$)
1) แบบไม่เติมเกลือ, 218	23.19	19
2) แบบไม่เติมเกลือ, 273	27.53	23.2
3) $\text{BiVO}_4:\text{LiNO}_3\text{-NaNO}_3$ 1:4, 218	32.05	32.9
4) $\text{BiVO}_4:\text{LiNO}_3\text{-NaNO}_3$ 1:4, 273	59.8	73.3

จากภาพที่ 4.76, 4.77 และตารางที่ 4.20 พบว่าผงบิสมัทวานาเดตที่เตรียมด้วยอัตราส่วนสารตั้งต้นบิสมัทวานาเดตต่อเกลือผสมลิเทียมไนเตรต-โซเดียมไนเตรตที่ 1:4 ที่อุณหภูมิ 273 องศาเซลเซียส สามารถย่อยสลายสารละลายโรดามีนบีภายในระยะเวลาที่ 120 นาทีได้อย่างมีประสิทธิภาพมากที่สุด ซึ่งสามารถย่อยสลายได้ถึง 59.8 เปอร์เซ็นต์ และมีค่าคงที่อัตราการเกิดปฏิกิริยาโฟโตคะตะลิสต์ เท่ากับ 73.3×10^{-3} ต่อนาที ($R^2 = 0.9934$) โดยเมื่อเปรียบเทียบผงบิสมัทวานาเดตที่สังเคราะห์ด้วยกระบวนการเกิดปฏิกิริยาในสถานะของแข็ง แบบเติมเกลือผสมลิเทียมไนเตรต-โซเดียมไนเตรตที่อัตราส่วนเดียวกัน และอุณหภูมิเดียวกัน ซึ่งให้ค่าการย่อยสลายโรดามีนบีเพียง 19.62 เปอร์เซ็นต์ (ตารางที่ 4.16) แสดงให้เห็นว่าการสังเคราะห์ผงบิสมัทวานาเดตด้วยกระบวนการตกตะกอน-แคลไซน์ แบบเติมเกลือผสมลิเทียมไนเตรต-โซเดียมไนเตรตให้ประสิทธิภาพในการย่อยสลายโรดามีนบีได้ดีกว่าผงบิสมัทวานาเดตที่เตรียมด้วยกระบวนการเกิดปฏิกิริยาในสถานะของแข็ง แบบเติมเกลือผสมลิเทียมไนเตรต-โซเดียมไนเตรต สำหรับผงบิสมัทวานาเดตแบบไม่เติมเกลือที่สังเคราะห์ที่ 218 องศาเซลเซียส และ 273 องศาเซลเซียส และแบบเติมเกลือที่อัตราส่วนสารตั้งต้นบิสมัทวานาเดตต่อเกลือผสมลิเทียมไนเตรต-โซเดียมไนเตรต 1:4 ที่อุณหภูมิ 218 องศาเซลเซียส สามารถย่อยสลายสารละลายโรดามีนบีได้ 23.19, 27.53 และ 32.05 เปอร์เซ็นต์ ตามลำดับ (ค่าคงที่อัตราการเกิดปฏิกิริยาโฟโตคะตะลิสต์ เท่ากับ 19×10^{-3} , 23.2×10^{-3} และ 32.9×10^{-3} ตามลำดับ, $R^2 = 0.978$, 0.9761 และ 0.9858 ตามลำดับ)

4.2.2.3 ผลการเติมเกลือลิเทียมไนเตรต ที่สภาวะเดียวกับการเตรียมด้วย กระบวนการเกิดปฏิกิริยาในของแข็ง

-โครงสร้างและองค์ประกอบเฟสของผงตัวอย่างบิสมัทวานาเดต



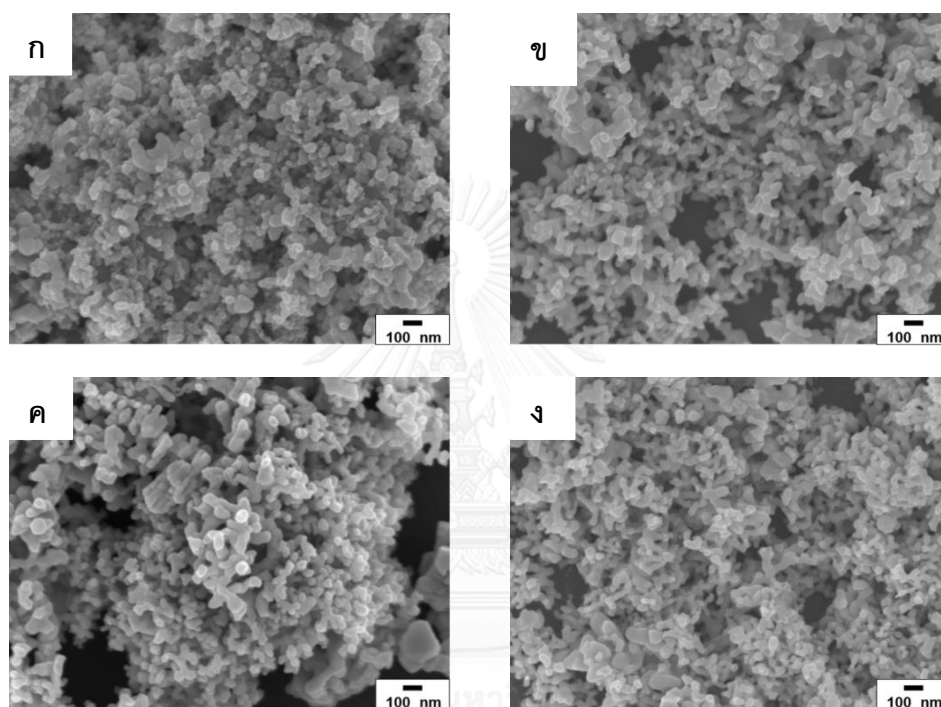
ภาพที่ 4.78 กราฟ XRD ของผงตัวอย่างบิสมัทวานาเดตที่สังเคราะห์ที่เตรียมแบบ ไม่เติมเกลือและแบบเติมเกลือที่อัตราส่วนสารตั้งต้นบิสมัทวานาเดตต่อเกลือลิเทียมไนเตรต 1:8 แคลไซน์ที่อุณหภูมิ 280 และ 335 องศาเซลเซียส เป็นเวลา 4 ชั่วโมง

เมื่อทำการสังเคราะห์ผงตัวอย่างบิสมัทวานาเดตที่สังเคราะห์ด้วยกระบวนการตกตะกอนร่วมแบบเติมเกลือลิเทียมไนเตรต โดยได้ทำการเลือกอัตราส่วนสารตั้งต้นบิสมัทวานาเดตต่อเกลือลิเทียมไนเตรตที่ 1:8 เนื่องจากว่าในการสังเคราะห์ผงตัวอย่างบิสมัทวานาเดตที่สังเคราะห์ด้วยกระบวนการเกิดปฏิกิริยาในสถานะของแข็งนั้นผงตัวอย่างที่เตรียมด้วยอัตราส่วนสารตั้งต้นบิสมัทวานาเดตต่อเกลือลิเทียมไนเตรตที่ 1:8 สามารถย่อยสลายสารละลายโรดามีนบีได้อย่างมีประสิทธิภาพมากที่สุด

จากผลวิเคราะห์โครงสร้างและองค์ประกอบเฟสดังแสดงในภาพที่ 4.78 พบว่าผงตัวอย่างบิสมัทวานาเดตที่เตรียมแบบไม่เติมเกลือและแบบเติมเกลือลิเทียมไนเตรต แคลไซน์ที่อุณหภูมิ 280 องศาเซลเซียส และ 335 องศาเซลเซียส จะประกอบไปด้วยโครงสร้างโมโนคลินิก (BiVO₄, Monoclinic, JCPD file no. 00-014-0688) เพียงเฟสเดียว

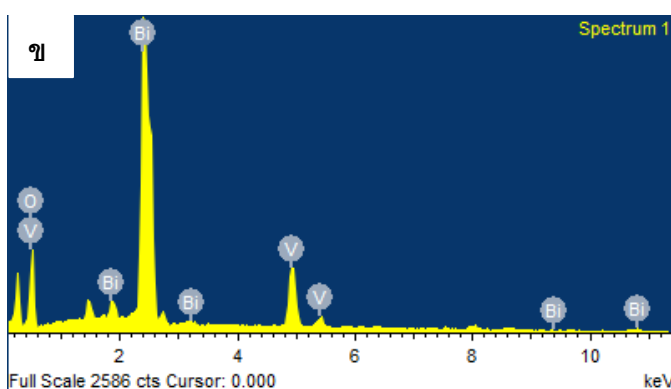
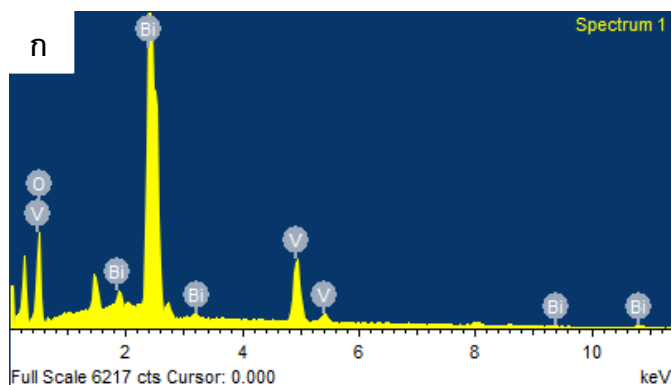
ขนาดผลึกของผงตัวอย่างบิส്മัทวานาเดตที่สังเคราะห์ที่เตรียมแบบไม่เติมเกลือที่อุณหภูมิ 280 องศาเซลเซียส และ 335 องศาเซลเซียส และแบบเติมเกลือที่อัตราส่วนสารตั้งต้นบิส്മัทวานาเดตต่อเกลือลิเทียมไนเตรต 1:8 ที่อุณหภูมิ 280 องศาเซลเซียส และ 335 องศาเซลเซียส มีขนาด 28.57 31.30, 28.95, และ 31.65 นาโนเมตรตามลำดับ

-ผลวิเคราะห์โครงสร้างจุลภาค และสัณฐานวิทยาของบิส്മัทวานาเดต



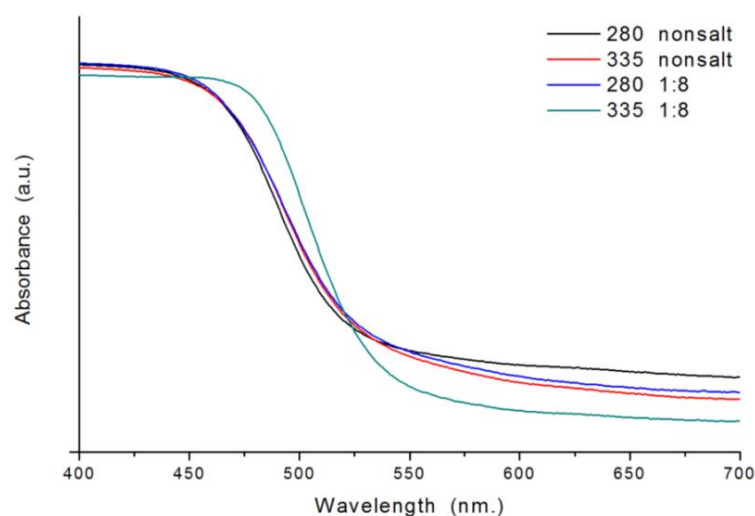
ภาพที่ 4.79 ภาพถ่าย FE-SEM ผงตัวอย่างบิส്മัทวานาเดตที่เตรียมแบบไม่เติมเกลือที่ อุณหภูมิ (ก) 280 องศาเซลเซียส และ (ข) 335 องศาเซลเซียส และแบบเติมเกลือที่อัตราส่วนสารตั้งต้นบิส്മัทวานาเดตต่อเกลือลิเทียมไนเตรต 1:8 แคลไซน์ที่ อุณหภูมิ (ค) 280 องศาเซลเซียส และ (ง) 335 องศาเซลเซียส

จากภาพ 4.79 พบว่า ผงตัวอย่างบิส്മัทวานาเดตที่เตรียมแบบไม่เติมเกลือและเติมเกลือลิเทียมไนเตรต แคลไซน์ที่อุณหภูมิ 280 และ 335 องศาเซลเซียส จะมีรูปร่างและลักษณะอนุภาคที่คล้ายกัน และมีลักษณะใกล้เคียงกับผงตัวอย่างบิส്മัทวานาเดตแบบไม่เติมเกลือที่เผาแคลไซน์ที่ 200-300 องศาเซลเซียส (ภาพที่ 4.63(ก), 4.63(ข))

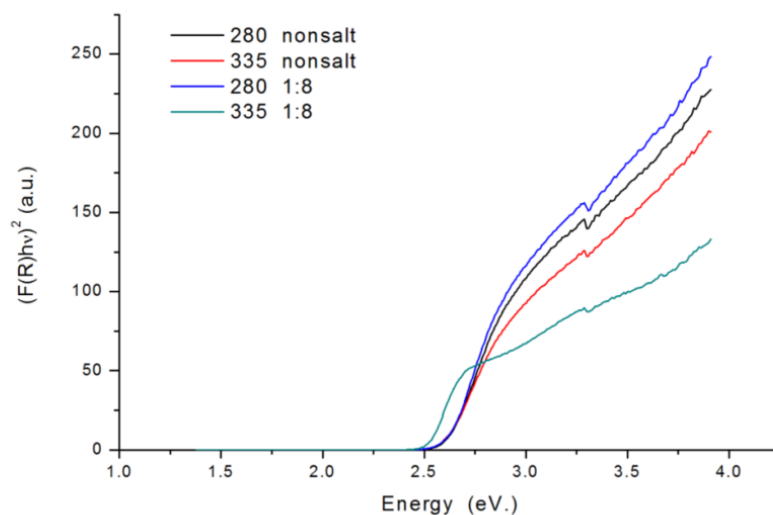


ภาพที่ 4.80 ผลวิเคราะห์ EDS ของผงตัวอย่างบิสมีทวานาเดตที่เตรียม (ก) แบบไม่เติมเกลือ และ (ข) แบบเติมเกลือลิเทียมไนเตรต แคลไซน์ที่อุณหภูมิ 355 องศาเซลเซียส

เมื่อนำผงตัวอย่างบิสมีทวานาเดตมาวิเคราะห์ด้วยเทคนิค EDS ซึ่งแสดงให้เห็นว่าอนุภาคที่สังเคราะห์ได้นั้นมีความบริสุทธิ์ ไม่มีเกลือหลอมละลายเหลืออยู่ โดยแสดงสเปกตรัมประกอบไปด้วยธาตุบิสมีทวานาเดียม และออกซิเจนเท่านั้นดังที่แสดงให้เห็นในภาพที่ 4.80



ภาพที่ 4.81 กราฟแสดงค่าการดูดกลืนแสงที่ความยาวคลื่นต่างๆ ของบิส്മัทวานาเดตที่สังเคราะห์ด้วยกระบวนการตกตะกอนร่วมแบบไม่เติมเกลือ และแบบเติมเกลือ ลิเทียมไนเตรดแคลไซต์ที่อุณหภูมิ 280 และ 355 องศาเซลเซียส



ภาพที่ 4.82 กราฟพล็อตระหว่าง $(F(R)hv)^2$ กับพลังงานโฟตอนของบิส്മัทวานาเดตที่สังเคราะห์ด้วยกระบวนการตกตะกอนร่วมแบบไม่เติมเกลือ และแบบเติมเกลือ ลิเทียมไนเตรดแคลไซต์ที่อุณหภูมิ 280 และ 355 องศาเซลเซียส

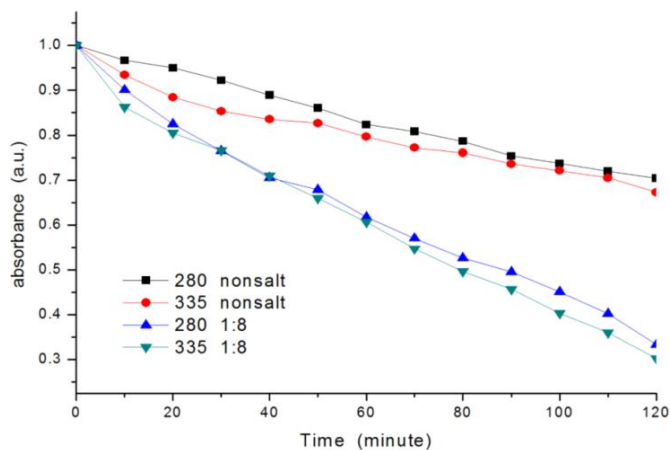
-ผลการวิเคราะห์สมบัติทางแสงและแถบช่องว่างพลังงาน

ตารางที่ 4.21 แถบช่องว่างพลังงานของบิสมัทวานาเดตที่สังเคราะห์ด้วยกระบวนการตกตะกอนร่วมแบบไม่เติมเกลือ และแบบเติมเกลือลิเทียมไนเตรดแคลไซน์ที่อุณหภูมิ 280 และ 335 องศาเซลเซียส

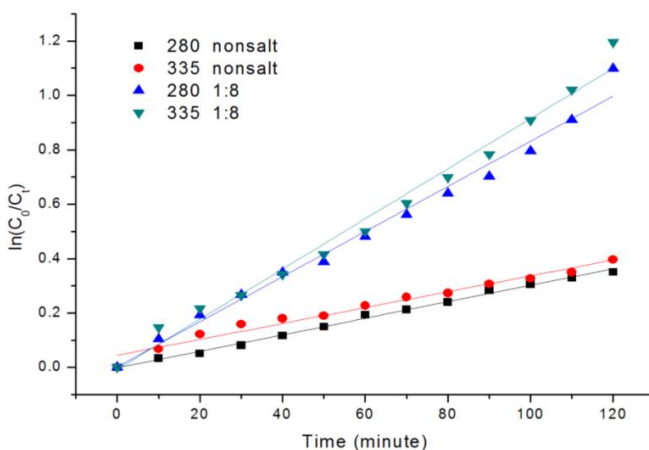
สภาวะในการเตรียม,อุณหภูมิ แคลไซน์ (องศาเซลเซียส)	แถบช่องว่าง พลังงาน (อิเล็กตรอนโวลต์)	ความยาวคลื่นที่ ตอบสนอง (นาโนเมตร)
1) แบบไม่เติมเกลือ, 280	2.37	≤ 524
2) แบบไม่เติมเกลือ, 335	2.38	≤ 522
3) $\text{BiVO}_4:\text{LiNO}_3$ 1:8, 280	2.44	≤ 509
4) $\text{BiVO}_4:\text{LiNO}_3$ 1:8, 335	2.48	≤ 501

จากการศึกษาการดูดกลืนแสงของผงตัวอย่างบิสมัทวานาเดตในช่วงความยาวคลื่นแสงที่ตามองเห็น (400-700 นาโนเมตร) ด้วยเทคนิค UV/DRS จากภาพที่ 4.81 พบว่าผงตัวอย่างบิสมัทวานาเดตที่สังเคราะห์ด้วยกระบวนการเกิดปฏิกิริยาในสถานะของแข็งแบบไม่เติมเกลือ และแบบเติมเกลือที่อัตราส่วนสารตั้งต้นบิสมัทวานาเดตต่อเกลือลิเทียมไนเตรด 1:8 แคลไซน์ที่อุณหภูมิ 280 และ 335 องศาเซลเซียส สามารถดูดกลืนแสงได้ตั้งแต่ความยาวคลื่น 400 นาโนเมตร และจะมีการดูดกลืนแสงลดลงอย่างมากในช่วงความยาวคลื่นประมาณ 501-524 นาโนเมตร และค่อยๆ ลดลง จากนั้นเมื่อนำข้อมูลที่ได้มาวิเคราะห์หาค่าแถบช่องว่างพลังงานของผงตัวอย่างบิสมัทวานาเดต โดยทำการพล็อตกราฟระหว่าง $(F(R)hv)^2$ กับพลังงานโฟตอนของบิสมัทวานาเดตที่สังเคราะห์ที่สภาวะต่างๆ ดังภาพที่ 4.82 พบว่าผงตัวอย่างที่สังเคราะห์ได้มีค่าแถบช่องว่างพลังงานอยู่ในช่วง 2.37-2.48 อิเล็กตรอนโวลต์ ซึ่งสามารถตอบสนองต่อแสงในช่วงที่ตามองเห็นที่ความยาวคลื่นไม่เกิน 524 นาโนเมตร ดังแสดงในตารางที่ 4.21

-ผลวิเคราะห์สมบัติการเป็นตัวเร่งปฏิกิริยาเชิงแสงของตัวอย่างบิสมัทวานาเดต
(Photocatalytic activity)



ภาพที่ 4.83 การลดลงของค่าการดูดกลืนแสงของสารละลายโรดามีนบีภายใต้แสงที่ตามองเห็นที่ 120 นาทีของผงตัวอย่างบิสมัทวานาเดตที่เตรียมแบบไม่เติมเกลือและแบบเติมเกลือที่อัตราส่วนสารตั้งต้นบิสมัทวานาเดตต่อเกลือลิเทียมไนเตรต 1:8 แคลไซน์ที่อุณหภูมิตั้งที่ 280 และ 335 องศาเซลเซียส



ภาพที่ 4.84 อัตราการเกิดปฏิกิริยาเชิงแสงของผงตัวอย่างบิสมัทวานาเดตที่เตรียมแบบไม่เติมเกลือและแบบเติมเกลือที่อัตราส่วนสารตั้งต้นบิสมัทวานาเดตต่อเกลือลิเทียมไนเตรต 1:8 แคลไซน์ที่อุณหภูมิตั้งที่ 280 และ 335 องศาเซลเซียส

ตารางที่ 4.22 ค่าประสิทธิภาพของการสลายตัวของสารละลายโรดามีนบีภายใต้แสงที่ตามองเห็นที่ 120 นาที และค่าคงที่อัตราการเกิดปฏิกิริยาโฟโตคะตะลิสต์ของผงตัวอย่างบิสมัทวานาเดตที่เตรียมแบบไม่เติมเกลือและแบบเติมเกลือที่อัตราส่วนสารตั้งต้นบิสมัทวานาเดตต่อเกลือลิเทียมไนเตรต 1:8 แคลไซน์ที่อุณหภูมิ 280 และ 335 องศาเซลเซียส

สภาวะในการเตรียม, อุณหภูมิแคลไซน์ (องศาเซลเซียส)	ค่าประสิทธิภาพของการสลายตัวของสารละลายโรดามีนบี(Photodegradation efficiency, %)	ค่าคงที่อัตราการเกิดปฏิกิริยาโฟโตคะตะลิสต์ ($\times 10^{-3} \text{ min}^{-1}$)
1) แบบไม่เติมเกลือ, 280	29.6	29.2
2) แบบไม่เติมเกลือ, 335	32.75	29.4
3) $\text{BiVO}_4:\text{LiNO}_3$ 1:8, 280	62.78	83
4) $\text{BiVO}_4:\text{LiNO}_3$ 1:8, 335	66.67	92.2

จากการศึกษาสมบัติการเป็นตัวเร่งปฏิกิริยาเชิงแสงของผงบิสมัทวานาเดตที่เตรียมด้วยอัตราส่วนสารตั้งต้นบิสมัทวานาเดตต่อเกลือลิเทียมไนเตรตต่างๆ ด้วยการย่อยสลายสารละลายโรดามีนบีภายใต้การฉายแสงที่ตามองเห็น (visible-light region, 400 nm-700 nm) ดังที่แสดงที่ภาพที่ 4.83, 4.84 และตารางที่ 4.22 พบว่าผงบิสมัทวานาเดตที่เตรียมด้วยอัตราส่วนสารตั้งต้นบิสมัทวานาเดตต่อเกลือลิเทียมไนเตรตที่ 1:8 ที่แคลไซน์อุณหภูมิ 335 องศาเซลเซียส สามารถย่อยสลายสารละลายโรดามีนบีภายในระยะเวลาที่ 120 นาที ได้อย่างมีประสิทธิภาพมากที่สุดซึ่งสามารถย่อยสลายได้ถึง 66.67 เปอร์เซ็นต์ และมีค่าคงที่อัตราการเกิดปฏิกิริยาโฟโตคะตะลิสต์ เท่ากับ 92.2×10^{-3} ต่อนาที, $R^2 = 0.9855$) เมื่อเปรียบเทียบกับผงบิสมัทวานาเดตที่สังเคราะห์ด้วยกระบวนการเกิดปฏิกิริยาในของแข็ง แบบเติมเกลือลิเทียมไนเตรต ที่อัตราส่วนและอุณหภูมิในการแคลไซน์เดียวกัน สามารถย่อยสลายได้เพียง 34.53 เปอร์เซ็นต์ (ตารางที่ 4.5) แสดงให้เห็นว่าการสังเคราะห์บิสมัทวานาเดตด้วยกระบวนการตกตะกอนร่วม-แคลไซน์แบบเติมเกลือลิเทียมไนเตรต ให้ประสิทธิภาพในการย่อยสลายได้ดีกว่าการสังเคราะห์บิสมัทวานาเดตด้วยกระบวนการเกิดปฏิกิริยาในของแข็งทั้งแบบเติมเกลือ และไม่เติมเกลือลิเทียมไนเตรต

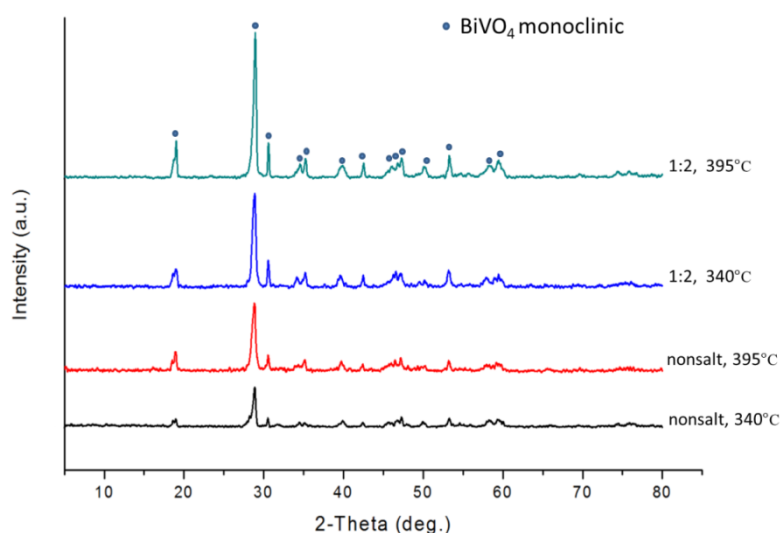
สำหรับผงบิสมัทวานาเดตที่เตรียมแบบไม่เติมเกลือ แคลไซน์ที่อุณหภูมิ 280 และ 335 องศาเซลเซียส และแบบเติมเกลือลิเทียมไนเตรต แคลไซน์ที่ 280 องศาเซลเซียส สามารถย่อยสลายสารละลายโรดามีนบีได้ 29.6, 32.75 และ 62.78เปอร์เซ็นต์ ตามลำดับ (ค่าคงที่อัตรา การเกิดปฏิกิริยาโฟโตคะตะลิสต์ เท่ากับ 29.2×10^{-3} , 29.4×10^{-3} และ 83×10^{-3} ต่อนาที ตามลำดับ, $R^2 = 0.993$, 0.975 และ 0.9863 ตามลำดับ)

จากข้อมูลสรุปได้ว่าการเติมเกลือลิเทียมไนเตรต และการเพิ่มอุณหภูมิในการแคลไซน์มีส่วนช่วยให้สามารถย่อยสลายสารละลายโรดามีนบีได้อย่างมีประสิทธิภาพมากยิ่งขึ้น



4.2.2.4 ผลการเติมเกลือโซเดียมไนเตรต ที่อุณหภูมิต่างๆ ที่สภาวะเดียวกับการเตรียมด้วยกระบวนการเกิดปฏิกิริยาในของแข็ง

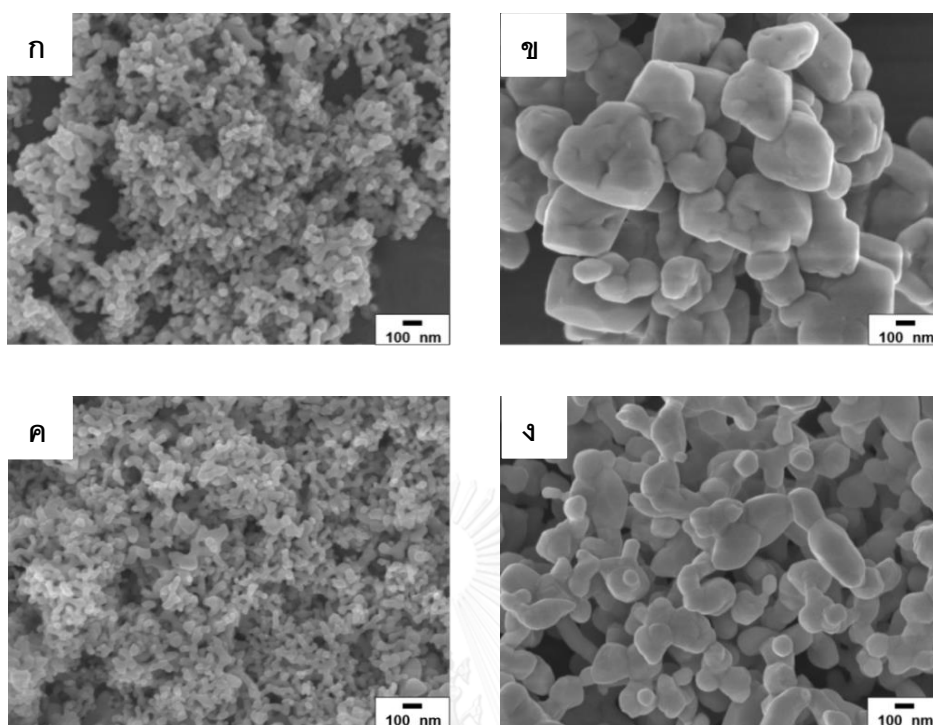
-โครงสร้างและองค์ประกอบเฟสของผงตัวอย่างบิสมัทวานาเดต



ภาพที่ 4.85 กราฟ XRD ของบิสมัทวานาเดตที่สังเคราะห์ด้วยกระบวนการตกตะกอนร่วมเตรียมแบบไม่เติมเกลือและแบบเติมเกลือที่อัตราส่วนสารตั้งต้นบิสมัทวานาเดตต่อเกลือโซเดียมไนเตรต 1:2 แคลไซน์ที่อุณหภูมิ 340 และ 395 องศาเซลเซียสเป็นเวลา 4 ชั่วโมง

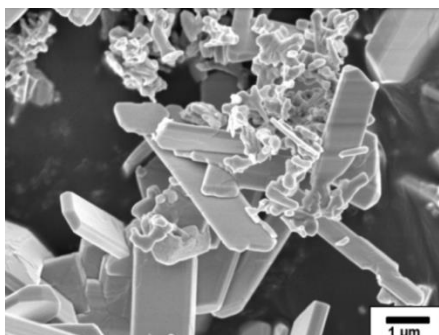
จากผลวิเคราะห์โครงสร้างและองค์ประกอบเฟสดังแสดงในภาพที่ 4.85 พบว่าผงตัวอย่างบิสมัทวานาเดตที่เตรียมแบบไม่เติมเกลือและแบบเติมเกลือที่อัตราส่วนสารตั้งต้นบิสมัทวานาเดตต่อเกลือโซเดียมไนเตรต 1:2 ที่อุณหภูมิ 340 และ 395 องศาเซลเซียส จะประกอบไปด้วยโครงสร้างโมโนคลินิก (BiVO₄, Monoclinic, JCPD file no. 00-014-0688) เพียงเฟสเดียว

-ผลวิเคราะห์โครงสร้างจุลภาค และสัณฐานวิทยาของบิสมัทวานาเดต



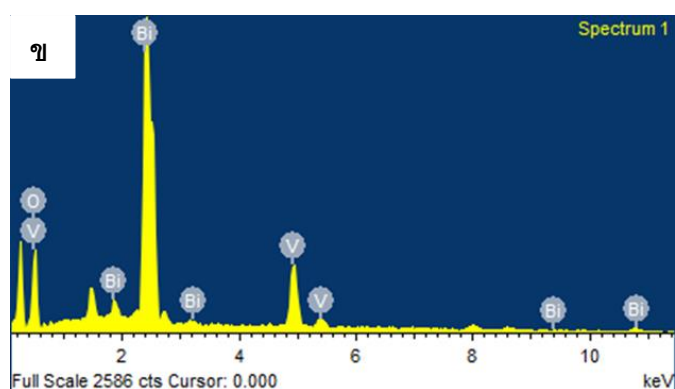
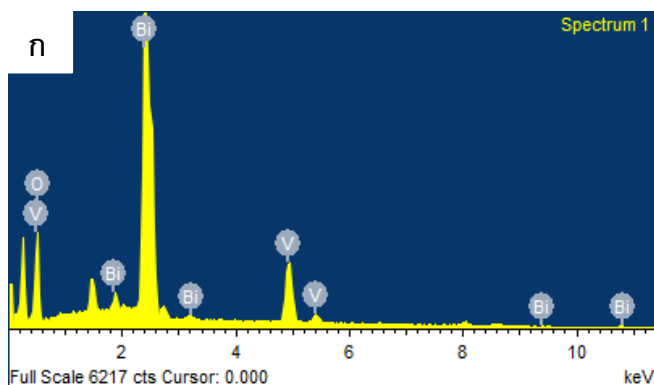
ภาพที่ 4.86 ภาพถ่าย FE-SEM ผงตัวอย่างบิสมัทวานาเดตที่สังเคราะห์ที่เตรียมแบบไม่เติมเกลือแคลไซต์ที่อุณหภูมิ (ก) 340 องศาเซลเซียส และ (ข) 395 องศาเซลเซียส และแบบเติมเกลือที่อัตราส่วนสารตั้งต้นบิสมัทวานาเดตต่อเกลือโซเดียมไนเตรต 1:2 แคลไซต์ที่อุณหภูมิ (ค) 340 องศาเซลเซียส และ (ง) 395 องศาเซลเซียส

จากภาพที่ 4.86(ก) และ 4.86(ค) พบว่าผงตัวอย่างบิสมัทวานาเดตที่เตรียมแบบไม่เติมเกลือและเติมเกลือโซเดียมไนเตรต แคลไซต์ที่อุณหภูมิ 340 องศาเซลเซียส มีลักษณะอนุภาคที่คล้ายกัน อนุภาคมีการเชื่อมต่อกัน ส่วนผงตัวอย่างที่แบบไม่เติมเกลือ แคลไซต์ที่อุณหภูมิ 395 องศาเซลเซียส (ภาพที่ 4.86(ข)) มีลักษณะอนุภาคขนาดใหญ่ ขนาดและรูปร่างไม่สม่ำเสมอ (ขนาดอนุภาคเฉลี่ยที่วัดจากภาพถ่าย FE-SEM เท่ากับช่วง 240-640 นาโนเมตร) ในขณะที่ผงตัวอย่างที่เตรียมแบบเติมเกลือโซเดียมไนเตรต แคลไซต์ที่อุณหภูมิ 395 องศาเซลเซียส (ภาพที่ 4.86(ง)) อนุภาคจะมีขนาดเล็กลงมา และอนุภาคมีการเชื่อมต่อกัน โดยมีขนาดอนุภาคเฉลี่ยที่วัดจากภาพถ่าย FE-SEM เท่ากับช่วง 100-400 นาโนเมตร



ภาพที่ 4.87 ภาพถ่าย FE-SEM ผงตัวอย่างก่อนล้างเกลือ แบบเติมเกลือที่อัตราส่วนสารตั้งต้นบิสมีทวานาเดตต่อเกลือโซเดียมไนเตรตที่ 1:2 แคลไซน์ที่อุณหภูมิ 395 องศาเซลเซียส ที่กำลังขยาย 10000 เท่า

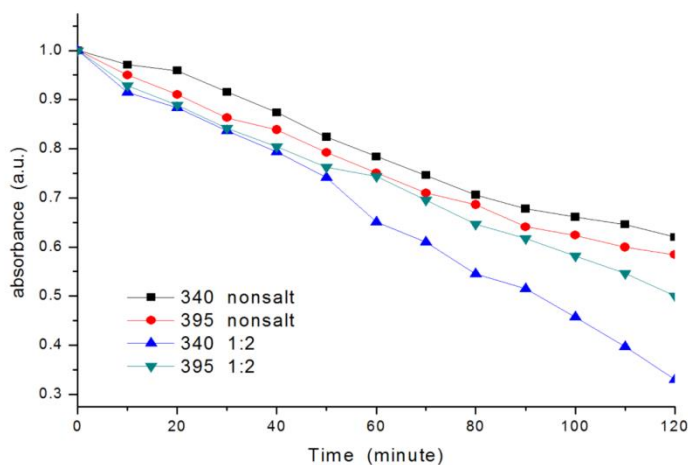
เมื่อนำผงตัวอย่างที่เตรียมแบบเติมเกลือที่อัตราส่วนสารตั้งต้นบิสมีทวานาเดตต่อเกลือโซเดียมไนเตรตที่ 1:2 แคลไซน์ที่อุณหภูมิ 395 องศาเซลเซียส มาวิเคราะห์โครงสร้างทางจุลภาคพบว่า ผลึกเกลือโซเดียมไนเตรตไม่ได้เข้าไปทำปฏิกิริยากับอนุภาคบิสมีทวานาเดต ดังแสดงในภาพที่ 4.87 และเมื่อนำไปล้างเกลือโซเดียมไนเตรตก็จะหายไป



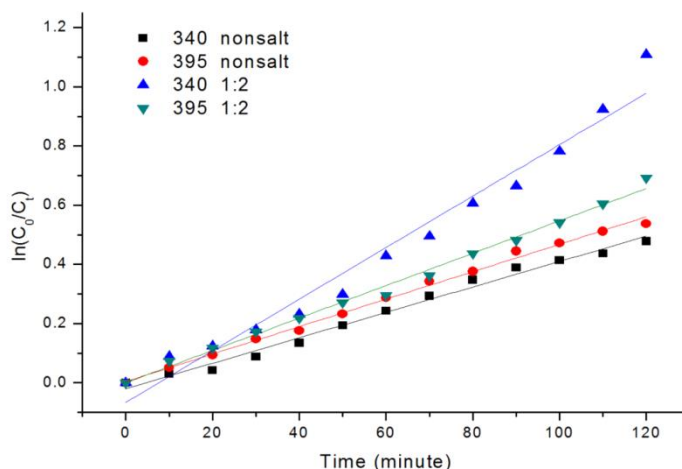
ภาพที่ 4.88 ผลวิเคราะห์ EDS ของผงตัวอย่างบิสมีทวานาเดตที่สังเคราะห์ด้วยกระบวนการตกตะกอนร่วม (ก) แบบไม่เติมเกลือ และ (ข) แบบเติมเกลือโซเดียมไนเตรต โดยแคลไซน์ที่ 395 องศาเซลเซียส

เมื่อนำผงตัวอย่างบิสมีทวานาเดตมาวิเคราะห์ด้วยเทคนิค EDS ซึ่งแสดงให้เห็นว่าอนุภาคที่สังเคราะห์ได้นั้นมีความบริสุทธิ์ ไม่มีเกลือหลงเหลืออยู่ โดยแสดงสเปกตรัมประกอบไปด้วยธาตุบิสมีท วานาเดียม และออกซิเจนเท่านั้นดังที่แสดงให้เห็นในภาพที่ 4.88

-ผลวิเคราะห์สมบัติการเป็นตัวเร่งปฏิกิริยาเชิงแสงของตัวอย่างบิสมัทวานาเดต
(Photocatalytic activity)



ภาพที่ 4.89 การลดลงของค่าการดูดกลืนแสงของสารละลายโรดามีนบีภายใต้แสงที่ตามองเห็นที่ 120 นาที่ของผงตัวอย่างบิสมัทวานาเดตที่เตรียมแบบไม่เติมเกลือและแบบเติมเกลือที่อัตราส่วนสารตั้งต้นบิสมัทวานาเดตต่อเกลือโซเดียมไนเตรต 1:2 แคลไซน์ที่อุณหภูมิ 340 และ 395 องศาเซลเซียส



ภาพที่ 4.90 อัตราการเกิดปฏิกิริยาเชิงแสงของผงตัวอย่างบิสฟีนอลเอที่เตรียมแบบไม่เติมเกลือ และแบบเติมเกลือที่อัตราส่วนสารตั้งต้นบิสฟีนอลเอต่อเกลือโซเดียมไนเตรต 1:2 แคลไซน์ที่อุณหภูมิ 340 และ 395 องศาเซลเซียส

ตารางที่ 4.23 ค่าประสิทธิภาพของการสลายตัวของสารละลายโรดามีนบีภายใต้แสงที่ตามองเห็นที่ 120 นาที และค่าคงที่อัตราการเกิดปฏิกิริยาโฟโตคะตะลิสต์ของตัวอย่างบิสฟีนอลเอที่แบบไม่เติมเกลือและแบบเติมเกลือที่อัตราส่วนสารตั้งต้นบิสฟีนอลเอต่อเกลือโซเดียมไนเตรต 1:2 แคลไซน์ที่อุณหภูมิ 340 และ 395 องศาเซลเซียส

อัตราส่วนสารตั้งต้น BiVO ₄ :NaNO ₃ , อุณหภูมิแคล ไซน์ (องศาเซลเซียส)	ค่าประสิทธิภาพของการ สลายตัวของสารละลายโร ดามีนบี (Photodegradation efficiency, %)	ค่าคงที่อัตราการเกิด ปฏิกิริยา โฟโตคะตะ ลิสต์ ($\times 10^{-3} \text{ min}^{-1}$)
1) แบบไม่เติมเกลือ, 340	38.00	39.7
2) แบบไม่เติมเกลือ, 395	41.58	46.4
3) 1:2, 340	67.01	87.2
4) 1:2, 395	49.96	54.7

จากการศึกษาสมบัติการเป็นตัวเร่งปฏิกิริยาเชิงแสงของผงบิสฟีนอลเอที่แบบไม่เติมเกลือ และแบบเติมเกลือที่อัตราส่วนสารตั้งต้นบิสฟีนอลเอต่อเกลือโซเดียมไนเตรต 1:4 แคลไซน์ที่อุณหภูมิ 340 องศาเซลเซียส และ 395 องศาเซลเซียส เป็นเวลา 4 ชั่วโมง ด้วยการย่อยสลาย

สารละลายโรดามีนบีภายใต้การฉายแสงที่ตามองเห็น (visible-light region, 400 nm-700 nm) ดังที่แสดงที่ภาพที่ 4.79, 4.80 และตารางที่ 4.23 พบว่าผงบิสมัทวานาเดตที่เตรียมด้วยอัตราส่วน สารตั้งต้นบิสมัทวานาเดตต่อเกลือโซเดียมไนเตรตที่ 1:2 แคลไซน์ที่อุณหภูมิ 340 องศาเซลเซียส สามารถย่อยสลายสารละลายโรดามีนบีภายในระยะเวลา 120 นาทีได้อย่างมีประสิทธิภาพมากที่สุด ซึ่งสามารถย่อยสลายได้ถึง 67.01 เปอร์เซ็นต์ (ค่าคงที่อัตราการเกิดปฏิกิริยาโฟโตคะตะลิสต์ เท่ากับ 87.2×10^{-3} ต่อนาที, $R^2 = 0.9705$) เมื่อเปรียบเทียบกับผงบิสมัทวานาเดตที่สังเคราะห์ ด้วยกระบวนการเกิดปฏิกิริยาในสถานะของแข็ง ที่อุณหภูมิแคลไซน์ และอัตราส่วนเกลือที่ใช้ เดียวกัน สามารถย่อยสลายได้เพียง 32.94 เปอร์เซ็นต์ (ตารางที่ 4.12) แสดงให้เห็นว่าบิสมัทวานาเดตที่สังเคราะห์ด้วยกระบวนการตกตะกอนร่วม-แคลไซน์ แบบเติมเกลือโซเดียมไนเตรตจะให้ค่า ประสิทธิภาพในการย่อยสลายสารละลายโรดามีนบีได้ดีกว่าผงบิสมัทวานาเดตที่สังเคราะห์ด้วยวิธีการ เกิดปฏิกิริยาในสถานะของแข็ง ทั้งแบบเติมและไม่เติมเกลือโซเดียมไนเตรต สำหรับผงบิสมัทวานาเดตที่เตรียมแบบไม่เติมเกลือ แคลไซน์ที่อุณหภูมิ 340 องศาเซลเซียสสามารถย่อยสลายสารละลาย โรดามีนบีได้เพียง 38.00 เปอร์เซ็นต์ (ค่าคงที่อัตราการเกิดปฏิกิริยาโฟโตคะตะลิสต์ เท่ากับ 39.7×10^{-3} ต่อนาที, $R^2 = 0.9708$) จะเห็นได้ว่าการเติมเกลือโซเดียมไนเตรตมีส่วนช่วยเพิ่มให้ ประสิทธิภาพการย่อยสลายสารละลายโรดามีนบีมีค่ามากขึ้น

เมื่อทำการศึกษามงบิสมัทวานาเดตที่แบบไม่เติมเกลือที่ทำการเพิ่มอุณหภูมิในการแคลไซน์ โดยทำการสังเคราะห์ที่อุณหภูมิ 395 องศาเซลเซียส พบว่าผงบิสมัทวานาเดตที่เตรียมแบบไม่เติม เกลือ และแบบเติมเกลือโซเดียมไนเตรตสามารถย่อยสลายสารละลายโรดามีนบีได้ 41.58 และ 49.96 เปอร์เซ็นต์ ตามลำดับ (ค่าคงที่อัตราการเกิดปฏิกิริยาโฟโตคะตะลิสต์ เท่ากับ 46.4×10^{-3} และ 54.7×10^{-3} ต่อนาที ตามลำดับ, $R^2 = 0.996$ และ 0.9937 ตามลำดับ)

บทที่ 5

สรุปผลการวิจัย อภิปรายผล และข้อเสนอแนะ

5.1 สรุปผลการวิจัย

ผลการศึกษาแบ่ง 2 ส่วน คือ ผลของการเติมเกลือหลอมละลายในการสังเคราะห์บิสมัทวานาเดตด้วยกระบวนการเกิดปฏิกิริยาในสถานะของแข็ง และกระบวนการตกตะกอนร่วม-แคลไซน์

5.1.1 ผลของการเติมเกลือหลอมละลายในการสังเคราะห์บิสมัทวานาเดตด้วยกระบวนการเกิด ปฏิกิริยาในสถานะของแข็ง

การศึกษาค้นคว้าของอุณหภูมิการเกิดปฏิกิริยาในสถานะของแข็งในการสังเคราะห์บิสมัทวานาเดต ที่อุณหภูมิ 200-700 องศาเซลเซียส พบว่ากรณีที่ไม่เติมเกลือที่อุณหภูมิตั้งแต่ 400 องศาเซลเซียสเป็นต้นไปจะเกิดโครงสร้างโมโนคลินิกอย่างสมบูรณ์เพียงเฟสเดียว การเพิ่มอุณหภูมิในการทำปฏิกิริยาช่วยทำให้อนุภาคมีความเป็นผลึก และขนาดโตขึ้น โดยอุณหภูมิที่ใช้ในการแคลไซน์ที่ 400 องศาเซลเซียส ให้ประสิทธิภาพในการย่อยสลายที่โรดามีนบีภายใต้แสงช่วงที่ตามองเห็นได้ดีกว่าอุณหภูมิอื่นๆ ซึ่งเป็นผลมาจากความเป็นผลึกที่สมบูรณ์ และขนาดอนุภาคที่ไม่โตเกินไป ทำให้สามารถเกิดปฏิกิริยาที่พื้นที่ผิวได้มาก จากนั้นเมื่อศึกษาการเตรียมบิสมัทวานาเดตด้วยกระบวนการเกิดปฏิกิริยาในของแข็งโดยมีการเติมเกลือที่ต่างชนิดกัน คือ เกลือลิเทียมไนเตรต เกลือโซเดียมไนเตรต และเกลือผสมลิเทียม-โซเดียมไนเตรต โดยอุณหภูมิที่ใช้ในการทำปฏิกิริยา คือ 280, 340 และ 218 องศาเซลเซียส ตามลำดับ ซึ่งพิจารณาจากอุณหภูมิที่สูงพอที่จะทำให้เกลือที่เลือกใช้ในการหลอมละลาย โดยอัตราส่วนสารตั้งต้นต่อเกลือที่เลือกใช้คือ 1:0-1:12 พบว่าการเตรียมแบบเติมเกลือทุกชนิดที่สัดส่วนตั้งแต่ 1:4 จะช่วยส่งเสริมให้เกิดโครงสร้างโมโนคลินิกอย่างสมบูรณ์เมื่อเทียบกับแบบไม่เติมเกลือที่อุณหภูมิเดียวกันซึ่งยังพบเฟสของเตตระโกนอล โดยสัดส่วนของเกลือส่งผลต่อโครงสร้างจุลภาคขนาดอนุภาค ที่มีผลต่อประสิทธิภาพการย่อยสลายโรดามีนบี โดยการเตรียมแบบเติมเกลือลิเทียมไนเตรตพบว่าที่อัตราส่วนสารตั้งต้นต่อเกลือลิเทียมไนเตรต 1:8 จะให้ค่าประสิทธิภาพในการสลายตัวโรดามีนบีได้ดีกว่าอัตราส่วนอื่น (34.65%) ซึ่งใกล้เคียงกับที่ไม่เติมเกลือ (33.5%) ในขณะที่การเตรียมแบบเติมเกลือโซเดียมไนเตรตที่ทุกสัดส่วนนั้น ให้ประสิทธิภาพที่ต่ำกว่าการเตรียมแบบไม่เติมเกลือ

(37.13%) ส่วนเกลือผสมลิเทียมไนเตรต-โซเดียมไนเตรต พบว่าที่อัตราส่วนสารตั้งต้นต่อเกลือผสมลิเทียมไนเตรต-โซเดียมไนเตรตที่ 1:4 จะให้ค่าประสิทธิภาพในการย่อยสลายโรดามีนบี (24.31%) ได้ดีกว่าอัตราส่วนอื่นๆซึ่งมากกว่าที่ไม่เติมเกลือ (9.84%)) จากนั้นได้ศึกษาผลของการเพิ่มอุณหภูมิโดยเลือกที่อัตราส่วนสารตั้งต้นต่อเกลือที่ให้ผลการย่อยสลายประสิทธิภาพสลายตัวโรดามีนบีที่ดีจากผลเบื้องต้น โดยการเตรียมแบบเติมเกลือลิเทียมไนเตรต เกลือโซเดียมไนเตรต และเกลือผสมลิเทียม-โซเดียมไนเตรต ได้เพิ่มอุณหภูมิในการทำปฏิกิริยาเป็น 335, 395 และ 273 องศาเซลเซียส พบว่ามีแนวโน้มลดลงเล็กน้อยในประสิทธิภาพย่อยสลายโรดามีนบี ในขณะที่การเพิ่มอุณหภูมิในช่วงดังกล่าวในการเตรียมโดยไม่เติมเกลือช่วยส่งเสริมประสิทธิภาพของสารที่เตรียมได้สูงขึ้น แต่เมื่ออุณหภูมิสูงเกิน 400 องศาเซลเซียสประสิทธิภาพที่ได้เริ่มลดต่ำลง

5.1.2 ผลของการเติมเกลือหลอมละลายในการสังเคราะห์บิสมาทวานาเดตด้วยกระบวนการตกตะกอนร่วม-แคลไซน์

การศึกษาค่าผลของอุณหภูมิการแคลไซน์ในการสังเคราะห์บิสมาทวานาเดตที่เตรียมจากกระบวนการตกตะกอนร่วม โดยทำการแคลไซน์ที่ 200-500 องศาเซลเซียส พบว่าการเพิ่มอุณหภูมิทำให้อนุภาคมีความเป็นผลึกมากขึ้นและโตขึ้น โดยการแคลไซน์ตั้งแต่ 300 องศาเซลเซียส ส่งเสริมให้เกิดโครงสร้างโมโนคลินิกอย่างสมบูรณ์เพียงเฟสเดียว โดยที่อุณหภูมิ 500 องศาเซลเซียสจะให้ประสิทธิภาพในการย่อยสลายสารละลายโรดามีนบี (45.24%) ที่ดีกว่าอุณหภูมิอื่นๆ ซึ่งนำไปวัดพื้นที่ผิวจำเพาะได้ 3.92 ตารางเมตรต่อกรัม จากนั้นเมื่อเตรียมบิสมาทวานาเดตแบบเติมเกลือผสมลิเทียมไนเตรต-โซเดียมไนเตรต โดยทำการแคลไซน์ที่ 200-500 องศาเซลเซียส พบว่าได้บิสมาทวานาเดตโครงสร้างโมโนคลินิกอย่างสมบูรณ์ตั้งแต่แคลไซน์ที่อุณหภูมิ 200 องศาเซลเซียส มีพื้นที่ผิวจำเพาะ 16.27 ตารางเมตรต่อกรัม ซึ่งสูงกว่าการเตรียมแบบไม่เติมเกลือมาก ทั้งนี้การเพิ่มอุณหภูมิแคลไซน์ส่งผลให้ความเป็นผลึกสมบูรณ์ขึ้นในขณะที่อนุภาคมีขนาดโตขึ้น ซึ่งจากผลการทดสอบพบว่าบิสมาทวานาเดตที่เตรียมได้จากการเติมเกลือผสมผ่านการแคลไซน์ที่อุณหภูมิ 300 องศาเซลเซียสจะให้ประสิทธิภาพในการย่อยสลายโรดามีนบี (64.98%) ที่สูงกว่าการแคลไซน์ที่อุณหภูมิอื่นๆ ซึ่งให้ค่าสูงใกล้เคียงกับเกลือเดี่ยวอีกสองชนิดที่

อุณหภูมิใกล้เคียงกัน (กลี้อลิเทียมไนเตรต 66.67% ที่ 335 องศาเซลเซียส และ กลี้อโซเดียมไนเตรต 67.01% ที่ 340 องศาเซลเซียส)

เมื่อเปรียบเทียบระหว่างการเตรียมแบบไม่เติมเกลือและเติมเกลือ พบว่าการเตรียมแบบเติมเกลือช่วยให้อนุภาคมีการกระจายตัว และความสม่ำเสมอมากขึ้น จึงส่งเสริมให้ประสิทธิภาพในการย่อยสลายโรดามีนบีที่ต่ำกว่าแบบไม่เติมเกลือ จากผลการศึกษาศึกษาการสังเคราะห์ทั้งสองกระบวนการพบว่ากระบวนการตกตะกอนร่วม-แคลไซต์ จะให้เฟสโมโนคลินิกอย่างสมบูรณ์เมื่อแคลไซต์ตั้งแต่ 300 องศาเซลเซียส ในขณะที่การสังเคราะห์ด้วยกระบวนการเกิดปฏิกิริยาในสถานะของแข็งต้องใช้อุณหภูมิในการทำปฏิกิริยาตั้งแต่ 400 องศาเซลเซียสจึงจะเกิดเฟสโมโนคลินิกสมบูรณ์เพียงเฟสเดียว โดยที่การเตรียมแบบเติมเกลือทุกชนิดของทั้งสองกระบวนการมีส่วนช่วยให้อนุภาคมีความเป็นผลึกมากขึ้น และเกิดเฟสโมโนคลินิกอย่างสมบูรณ์ได้ได้ที่อุณหภูมิต่ำลง และเมื่อเปรียบเทียบผลของประสิทธิภาพการย่อยสลายสารละลายโรดามีนบีพบว่าผงบิสม์ทวานาเดตที่การสังเคราะห์ด้วยกระบวนการตกตะกอนร่วม-แคลไซต์ แบบเติมเกลือให้ประสิทธิภาพที่ดีที่สุด ซึ่งดีกว่าแบบไม่เติมเกลือ และการเกิดปฏิกิริยาในสถานะของแข็ง

5.2 ข้อเสนอแนะสำหรับการวิจัยเพิ่มเติม

ในงานวิจัยและการทดลองนี้สามารถปรับปรุงและพัฒนาได้ดังนี้

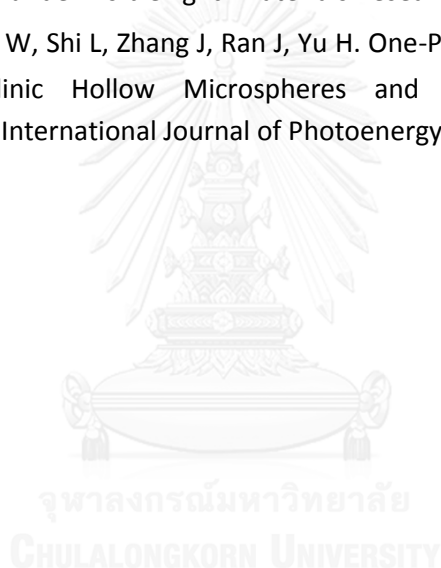
- 1) ศึกษาการสังเคราะห์ชนิดเกลือหลอมละลายอื่นๆ ที่นำมาใช้ในการสังเคราะห์บิสม์ทวานาเดต
- 2) ศึกษาการเกิดปฏิกิริยาเชิงแสงของบิสม์ทวานาเดตในการย่อยสลายสารละลายอินทรีย์อื่นๆ หรือสีย้อม
- 3) ศึกษาการเตรียมบิสม์ทวานาเดตร่วมกับตัวเร่งปฏิกิริยาชนิดอื่นๆ เพื่อเพิ่มประสิทธิภาพในการเกิดปฏิกิริยาเชิงแสงได้แสงที่ตามองเห็น

รายการอ้างอิง

1. E. Zintl LV. European Patent 422947. 1924.
2. Smith HM. High performance pigment. Weinheim : Wiley-VCH-GbbH. 2002;435.
3. Wangab Y, Ma X, Li H, Liu B, Li H, Yin S, et al. Recent Advances in Visible-Light Driven Photocatalysis. 2016.
4. Murakami N, Takebe N, Tsubota T, Ohno T. Improvement of visible light photocatalytic acetaldehyde decomposition of bismuth vanadate/silica nanocomposites by cocatalyst loading. Journal of hazardous materials. 2012;211-212:83-7.
5. Dong L, Guo S, Zhu S, Xu D, Zhang L, Huo M, et al. Sunlight responsive BiVO₄ photocatalyst: Effects of pH on L-cysteine-assisted hydrothermal treatment and enhanced degradation of ofloxacin. Catalysis Communications. 2011;16(1):250-4.
6. <Selective Preparation of Monoclinic and Tetragonal.pdf>.
7. Park Y, McDonald KJ, Choi KS. Progress in bismuth vanadate photoanodes for use in solar water oxidation. Chemical Society reviews. 2013;42(6):2321-37.
8. Colón SOaG. A ternary Er³⁺-BiVO₄/TiO₂ complex heterostructure with excellent photocatalytic performance RSC Advances 2014(14).
9. T. TOJO QZ, F. SAITO. Synthesis of BiAO₄ by Mechanochemical Solid State Reaction between Bi₂O₃ and A₂O₅. Chemistry for Sustainable Development. 2007;15:243-7.
10. Pusit Pookmanee KP, Sukon Phanichphant, Wiyong Kangwansupamonkon. Characterization of Bismuth Vanadate Powder Synthesized by a Hydrothermal Method. Journal of Microscopy Society of Thailand 2009;1(23):95-8.
11. Jiang H, Dai H, Meng X, Zhang L, Deng J, Liu Y, et al. Hydrothermal fabrication and visible-light-driven photocatalytic properties of bismuth vanadate with multiple morphologies and/or porous structures for Methyl Orange degradation. Journal of Environmental Sciences. 2012;24(3):449-57.
12. Pusit POOKMANEE SKaSP. Bismuth Vanadate (BiVO₄) Powder Prepared by the Sol-gel Method. Journal of Metals, Materials and Minerals. 2012;22(2):49-53.

13. Jones R. Soft Condensed Matter. Oxford University Press Inc. 2002.
14. Shi W, Yan Y, Yan X. Microwave-assisted synthesis of nano-scale BiVO₄ photocatalysts and their excellent visible-light-driven photocatalytic activity for the degradation of ciprofloxacin. Chemical Engineering Journal. 2013;215-216:740-6.
15. Kimura T. Molten Salt Synthesis of Ceramic Powders. Advances in Ceramics - Synthesis and Characterization, Processing and Specific Applications. 2011.
16. Wolfgang Laue MT, Erich Scheibler, Karl Wilhelm Wiegand Nitrates and Nitrites. Ullmann's Encyclopedia of Industrial Chemistry. 2000.
17. Patnaik P. Handbook of Inorganic Chemicals. 2002.
18. Bruice P. Organic Chemistry. NJ: Pearson Prentice Hall. 2007.
19. Electromagnetic Waves. Available from: http://www.electron.rmutphysics.com/teaching-glossary/index.php?option=com_content&task=view&id=1058&Itemid=11.
20. Basic Principles of Sunlight. Available from: <http://bxhorn.com/basic-principles-of-sunlight/>.
21. . Available from: <http://www.nst.or.th/article/notes01/article002.htm>.
22. สารกึ่งตัวนำ (Semiconductor) สารานุกรมพลังงานทดแทน 2557. Available from: <https://ienergyguru.com/2015/06/%E0%B8%AA%E0%B8%B2%E0%B8%A3%E0%B8%81%E0%B8%B6%E0%B9%88%E0%B8%87%E0%B8%95%E0%B8%B1%E0%B8%A7%E0%B8%99%E0%B8%B3/>.
23. What is Photocatalyst? Available from: <http://www.greenearthnanoscience.com/what-is-photocatalyst.php>.
24. Zhang Z, Wang W, Shang M, Yin W. Photocatalytic degradation of rhodamine B and phenol by solution combustion synthesized BiVO₄ photocatalyst. Catalysis Communications. 2010;11(11):982-6.
25. Abdul Halim Abdullah NMA, Mohamed Ibrahim Mohamed Tahir. SYNTHESIS OF BISMUTH VANADATE AS VISIBLE-LIGHT PHOTOCATALYST. The Malaysian Journal of Analytical Sciences. 2009;12:151-7.
26. Yu J, Zhang Y, Kudo A. Synthesis and photocatalytic performances of BiVO₄ by ammonia co-precipitation process. Journal of Solid State Chemistry. 2009;182(2):223-8.
27. Martínez-de la Cruz A, Pérez UMG. Photocatalytic properties of BiVO₄ prepared by the co-precipitation method: Degradation of rhodamine B and possible reaction mechanisms under visible irradiation. Materials Research Bulletin. 2010;45(2):135-41.

28. Lee J-S. Molten salt synthesis of NdAlO_3 powders. *Journal of Ceramic Processing Research* 2014;15(1):17-20.
29. Liu Y, Ma J, Liu Z, Dai C, Song Z, Sun Y, et al. Low-temperature synthesis of BiVO_4 crystallites in molten salt medium and their UV-vis absorption. *Ceramics International*. 2010;36(7):2073-7.
30. Li C, Pang G, Sun S, Feng S. Phase transition of BiVO_4 nanoparticles in molten salt and the enhancement of visible-light photocatalytic activity. *Journal of Nanoparticle Research*. 2010;12(8):3069-75.
31. Zhiting Liang YC, Haiyu Qin, Dianzeng Jia. Low-heating solid-state chemical synthesis of monoclinic scheelite BiVO_4 with different morphologies and their enhanced photocatalytic property under visible light. *Materials Research Bulletin*. 2016;84:397-402.
32. Cheng B, Wang W, Shi L, Zhang J, Ran J, Yu H. One-Pot Template-Free Hydrothermal Synthesis of Monoclinic Hollow Microspheres and Their Enhanced Visible-Light Photocatalytic Activity. *International Journal of Photoenergy*. 2012;2012:1-10.





ภาคผนวก ก

JCPDS-International Centre for Diffraction Data (PCPDFWIN) หมายเลข JCPDS 00-041-0688,
Bismuth Vanadate, Monoclinic

Pattern : 00-014-0688		Radiation = 1.540600		Quality : Indexed	
<p>BiVO₄</p> <p>Bismuth Vanadium Oxide Clinobisvanite, syn</p>		<p>2θ</p> <p>15.141 2 0 2 0</p> <p>18.670 25 1 1 0</p> <p>18.988 25 0 1 1</p> <p>28.587 30 -1 3 0</p> <p>28.823 100 -1 2 1</p> <p>28.947 95 1 2 1</p> <p>30.549 25 0 4 0</p> <p>34.495 12 2 0 0</p> <p>35.222 14 0 0 2</p> <p>37.867 2 2 2 0</p> <p>39.456 6 -1 4 1</p> <p>39.546 6 1 4 1</p> <p>39.783 12 2 1 1</p> <p>40.041 10 -1 1 2</p> <p>40.246 8 1 1 2</p> <p>42.340 8 1 5 0</p> <p>42.465 12 0 5 1</p> <p>45.426 6 -2 3 1</p> <p>45.595 4 2 3 1</p> <p>45.888 6 -1 3 2</p> <p>46.035 8 1 3 2</p> <p>46.560 4 0 6 0</p> <p>46.713 16 2 4 0</p> <p>47.306 16 0 4 2</p> <p>49.961 6 -2 0 2</p> <p>50.315 8 2 0 2</p> <p>53.012 2 2 2 2</p> <p>53.245 18 -1 6 1</p> <p>53.312 18 1 6 1</p> <p>53.446 4 3 1 0</p> <p>54.582 4 0 1 3</p> <p>55.733 2 -2 5 1</p> <p>55.881 4 2 5 1</p> <p>56.066 2 -1 5 2</p> <p>56.291 2 1 5 2</p> <p>57.915 4 1 7 0</p> <p>58.075 6 0 7 1</p> <p>58.276 10 -3 2 1</p> <p>58.532 10 3 2 1</p> <p>59.262 8 1 2 3</p>	<p><i>l</i></p> <p><i>h</i></p> <p><i>k</i></p> <p><i>j</i></p>		
<p>Latice : Monoclinic</p> <p>S.G. : I2/a (15)</p> <p>a = 5.19500</p> <p>b = 11.70100</p> <p>c = 5.09200</p> <p>a/b = 0.44398</p> <p>c/b = 0.43518</p>		<p>Mol. weight = 323.92</p> <p>Volume [CD] = 309.52</p> <p>Dx = 6.951</p> <p>beta = 90.38</p> <p>Z = 4</p>			
<p>Color: Orange-yellow</p> <p>Sample preparation: Sample was prepared at NBS, Gaithersburg, Maryland, USA, by heating stoichiometric mixtures of bismuth oxide and vanadium oxide at 895 C for 16 hours.</p> <p>Analysis: Spectrographic analysis: 0.001 to 0.01% each of Al and Si.</p> <p>Temperature of data collection: Pattern taken at 26 C.</p> <p>Additional pattern: See ICSD 100603 (PDF 83-1698); See ICSD 100604 (83-1699); See ICSD 31549 (PDF 75-1866).</p> <p>Data collection flag: Ambient.</p>					
<p>Natl. Bur. Stand. (U.S.) Monogr. 25, volume 3, page 14 (1964)</p>					
<p>Radiation : CuKα1</p> <p>Lambda : 1.54050</p> <p>SS:FOM : F30= 50(0.0178,34)</p>		<p>Filter : Beta</p> <p>d-sp : Not given</p>			

JCPDS-International Centre for Diffraction Data (PCPDFWIN) หมายเลข JCPDS 00-041-0133, Bismuth Vanadate, Tetragonal

Pattern : 00-014-0133		Radiation = 1.540600		Quality : High			
BiVO ₄		2 θ		<i>h</i>	<i>k</i>	<i>l</i>	
Bismuth Vanadium Oxide Dreyerite, syn		18.319	45	1	0	1	
		24.374	100	2	0	0	
		30.676	20	2	1	1	
		32.680	60	1	1	2	
		34.715	20	2	2	0	
		37.137	4	2	0	2	
		39.528	18	3	0	1	
		43.805	12	1	0	3	
		46.995	14	3	2	1	
		48.404	50	3	1	2	
		49.932	16	4	0	0	
		50.765	8	2	1	3	
		53.615	6	4	1	1	
		56.328	12	4	2	0	
		57.013	8	0	0	4	
		60.974	10	3	3	2	
		62.894	10	2	0	4	
		65.495	6	5	0	1	
		68.499	12	2	2	4	
		71.024	4	5	2	1	
		72.115	12	5	1	2	
		78.544	6	6	0	0	
		79.142	10	4	0	4	
		79.806	6	2	1	5	
		81.514	2	6	1	1	
		82.584	6	5	3	2	
		83.723	8	6	2	0	
		84.306	10	4	2	4	
Lattice : Body-centered tetragonal S.G. : I41/amd (141) a = 7.29990 c = 6.45730 Z = 4		Mol. weight = 323.92 Volume [CD] = 344.10 Dx = 6.253					
<p>Color: Orange-yellow Sample source or locality: Sample was obtained from City Chemical Corp., New York, USA. Analysis: Spectrographic analysis: 0.0001-0.01% each of Al and Si. Sample preparation: Sample was also precipitated at NBS, Gaithersburg, Maryland, USA, from solutions of Na₃VO₄ and Bi(NO₃)₃. Temperature of data collection: Pattern taken at 26 C. General comments: Changes to stable monoclinic form on heating to 400-500 C. Additional pattern: See ICSD 100733 (PDF 83-1812). Data collection flag: Ambient.</p>							
Natl. Bur. Stand. (U.S.) Monogr. 25, volume 3, page 14 (1964)							
Radiation : CuK α 1 Lambda : 1.54050 SS/FOM : F28= 76(0.0097,38)		Filter : Beta d-sp : Not given					

ประวัติผู้เขียนวิทยานิพนธ์

นางสาวสายน้ำผึ้ง ไตรรักษ์ เกิดวันที่ 10 กุมภาพันธ์ 2534 สำเร็จการศึกษามัธยมตอนต้นและตอนปลายจากโรงเรียนสวนกุหลาบวิทยาลัย รังสิต สำเร็จการศึกษาระดับปริญญาตรีจากจุฬาลงกรณ์มหาวิทยาลัย สาขาวิชาพอลิเมอร์และสิ่งทอ ภาควิชาวัสดุศาสตร์ คณะวิทยาศาสตร์ ปีการศึกษา 2555 และศึกษาต่อระดับปริญญาโท สาขาวิชาเทคโนโลยีเซรามิก ภาควิชาวัสดุศาสตร์ คณะวิทยาศาสตร์ จุฬาลงกรณ์มหาวิทยาลัย ภายในปีการศึกษา 2556

ในระหว่างการศึกษาในปริญญาโท ได้มีโอกาสเข้าร่วมงานประชุมทางวิชาการและนำเสนอผลงานทางวิชาการรูปแบบโปสเตอร์ในหัวข้อ Photocatalytic Activity of BiVO₄ Synthesized by Molten Salt Method จัดขึ้นวันที่ 24 เดือนพฤษภาคม ปีพุทธศักราช 2559 ในการประชุมทางวิชาการ Petromat PPC Sym 2016 จัดขึ้นโดยศูนย์ความเป็นเลิศด้านเทคโนโลยีปิโตรเคมีและวัสดุ